

KW-GET- 3144
Bruin - 1980

TWEE-DIMENSIONALE GETIJBEREKENING T.B.V. HET
ONTWERP VAN EEN SLIBBERGINGSRESERVOIR
GECOMBINEERD MET JACHTHAVEN VOOR DE KUST VAN
HOEK VAN HOLLAND.

J.J.Bruin

Afstudeerdeontwerp Vloeistofmechanica.

TWEE-DIMENSIONALE GETIJBEREKENING T.B.V.
HET ONTWERP VAN EEN SLIBBERGINGSRESERVOIR
GECOMBINEERD MET JACHTHAVEN VOOR DE KUST
VAN HOEK VAN HOLLAND.

J.J.Bruin

Afstudeerdeelontwerp Vloeistofmechanica.

Begeleider: ir. C.Verspuy, Vakgroep Vloeistofmechanica.

Assistentie van: ir. N.Booij, Vakgroep Vloeistofmechanica.

Technische Hogeschool Delft

Afdeling Civiele Techniek

Delft, april 1980.

INHOUDSOPGAVE

	pag.
1. INLEIDING.	3
2. THEORETISCHE ACHTERGROND VAN TIDES.	6
2.1. Lange-golftheorie.	6
2.2. Berekeningsmethode met programma TIDES.	8
2.3. Behandeling van stranden en droogvallende platen.	13
2.4. Behandeling van ondoorlatende wanden.	15
3. BEREKENINGEN.	16
3.1. Opzet van de berekeningen.	16
3.2. Gegevens voor de berekeningen.	27
3.2.1. Algemeen.	27
3.2.2. Bodem- en kustconfiguratie.	27
3.2.3. Rand- en beginvoorwaarden.	28
3.3. Resultaten van de berekeningen.	32
3.3.1. Print-uitvoer van het programma TIDES.	32
3.3.2. Plot-uitvoer van het programma TIDES.	33
3.3.3. Opmerkingen n.a.v. de plots.	34
3.3.4. Omrekening van doodtij-resultaten naar springtij en gemiddeld tij.	35
3.4. Commentaar op programma TIDES.	38
4. INTERPRETATIE VAN DE BEREKENINGSRESULTATEN.	39
4.1. Betrouwbaarheid van de modellen.	39
4.2. Invloed van de termen van de differentiaalvergelijkingen.	40
5. CONCLUSIES.	44
5.1. Algemeen.	44
5.2. Vergelijking van T_0 -print-uitvoer met die van Burger.	44
5.3. Vergelijking van T_1 - en T_0 -model.	45
5.4. Beschouwing T_2 -berekening.	46
5.5. Beschouwing T_3 -berekening.	
6. SLOTBESCHOUWINGEN.	51
6.1. Suggesties voor nader onderzoek.	51
6.2. Samenvatting van conclusies.	51
6.3. Waarde van het onderzoek.	52

vervolg INHOUDSOPGAVE

	pag.
GERAADPLEEGDE LITERATUUR.	56
LIJST VAN BIJLAGEN.	57
BIJLAGEN A.	

1. INLEIDING.

Voor het ontwerp van een slibbergingsreservoir voor de kust van Hoek van Holland (in het vervolg afgekort tot H.v.H.) wordt gedacht aan een naar het noorden ombuigende verlenging van de Noorderdam van ca. 650 m en een stel golfbrekers, gecombineerd met een jachthaven, op ongeveer 4 km uit de kust en 4 km ten noorden van de kop van de Noorderdam, met een totale lengte van ca. 1400 m. Deze golfbrekers worden met elkaar en met de kust bij Ter Heijde verbonden door zo stabiel mogelijke strandbogen met duinen. Het plan is globaal weergegeven in figuur 1.1.

De golfbrekers van het "vaste punt" annex jachthaven moeten worden aangelegd in een waterdiepte van ca. 11 m.

De strandbogen zullen worden opgespoten met zand te winnen uit het toekomstige slibbergingsreservoir, dat hiertoe verdiept wordt tot ca. NAP - 20 m en zo voor een lange reeks van jaren (minimaal 30 jaar) slib uit het Rotterdamse havengebied zal kunnen bergen.

Gezien de afmetingen van het project, zal, door uitvoering hiervan, het stroombeeld voor de kust een verandering ondergaan.

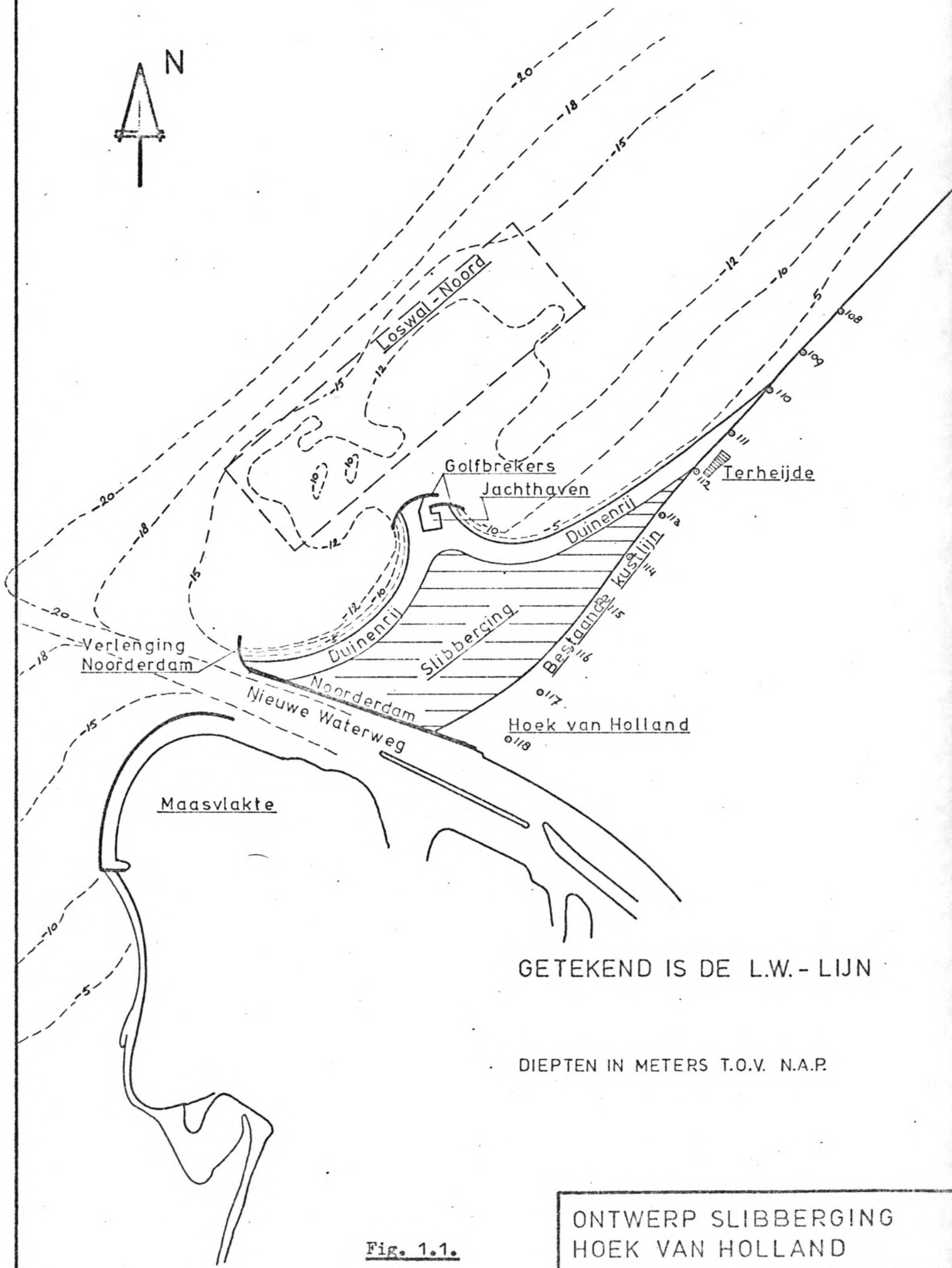
Om hiervan een gefundeerde prognose te kunnen geven wordt een getijberekening uitgevoerd met in het bijzonder tot doel het bepalen van:

- a. stroomsnelheden langs de golfbrekers ten behoeve van het ontwerp ervan;
- b. stroomsnelheden langs de strandbogen ten behoeve van een morfologische berekening;
- c. nieuwe stroomsnelheden in de Eurogeul i.v.m. eventuele hinder voor de scheepvaart;
- d. eventueel ook het stroombeeld en de stroomsnelheden voor de mond van de jachthaven.

Aan de T.H.-Delft is een computerprogramma - TIDES - beschikbaar voor het maken van een twee-dimensionale getijberekening.

Het programma is opgeslagen in een achtergrondgeheugen van het T.H.-Reken-centrum in Delft. Een "gebruikersgids" [1] geeft voorschriften voor gebruik en mogelijkheden voor in- en uitvoer. In hoofdstuk 2 worden globaal de theoretische achtergronden van het programma belicht.

Naast numerieke uitvoer geeft het programma de mogelijkheid om het berekende stroombeeld zichtbaar te maken d.m.v. het plotten van de snelheidsvectoren.



GETEKEND IS DE L.W.-LIJN

DIEPTEN IN METERS T.O.V. N.A.P.

Fig. 1.1.

ONTWERP SLIBBERGING
HOEK VAN HOLLAND

SITUATIE
SCHAAL 1 : 90.000

Om een bestaande situatie langs de randen van het door het model beschreven gebied als randvoorwaarde te kunnen invoeren, moet dit gebied zo groot worden gekozen, dat de voorgenomen verandering van de kustlijn geen invloed meer heeft ter plaatse van de randen.

De berekening betreft dus noodgedwongen een nogal groot gebied. En aangezien het i.v.m. de kosten wenselijk is, om het aantal rekenpunten de 1000 niet te veel te laten overschrijden, zal de schematisatie van de bodem en de kust grof zijn en dus ook de berekeningsresultaten.

Voor een nauwkeuriger berekening van de waterbeweging rondom H.v.H. kan uit het grote gebied een deelgebied worden genomen, voor een fijnmaziger schematisatie en met randvoorwaarden, die volgen uit de vorige berekening. Deze stap wordt nog één maal herhaald.

De opbouw van de modellen, de invoer van randvoorwaarden en de opvolgende berekeningen, inclusief de resultaten, worden behandeld in hoofdstuk 3.

De originele numerieke en plot-uitvoer van de berekeningsresultaten zijn verzameld in aparte Bijlagen B en C. Van de plots zijn verkleiningen bij het rapport gevoegd als Bijlagen A-III t/m VI.

De randvoorwaarden voor de waterbeweging betreffen een periode van doortij.

Er is aangegeven hoe de berekende snelheden kunnen worden omgezet in waarden voor gemiddeld tij en springtij.

Het rapport wordt besloten met conclusies en slotbeschouwingen.

De belangrijkste conclusies zijn:

- De maximale stroomsnelheden langs de kop van de Noorderdam en de golfbrekers van het "vaste punt" zijn 1,1 m/s (springtij - vloed), d.i. ongeveer gelijk aan de maximale stroomsnelheden langs de Noorderdam in de huidige situatie.
- De strandbogen zijn dusdanig gunstig gesitueerd, dat de stroomsnelheden erlangs kleiner zijn dan de snelheden langs de oorspronkelijke kust.
- De nautische situatie in de Eurogeul blijkt praktisch niet te worden beïnvloed door de landaanwinning.

2. THEORETISCHE ACHTERGROND VAN TIDES.

2.1. Lange-golftheorie.

De waterbeweging waarin wij hier geïnteresseerd zijn is de getijbeweging; een min of meer periodieke beweging, die kan worden opgevat als een tweedimensionale lange-golfbeweging. Voor een lange-golfbenadering wordt de beweging t.o.v. een orthogonaal rechtsdraaiend assenstelsel, met de x-as en y-as horizontaal en de z-as verticaal omhoog, beschreven door de volgende differentiaalvergelijkingen:

-bewegingsvergelijkingen

in x-richting:

$$\frac{\partial u}{\partial t} + u \frac{\partial u}{\partial x} + v \frac{\partial u}{\partial y} + g \frac{\partial h}{\partial x} + \Omega \cdot v + g \frac{u \sqrt{u^2 + v^2}}{c^2 D} - \frac{\beta |W| W_x}{\rho \cdot D} = k_x \dots\dots(2.1.1)$$

in y-richting:

$$\frac{\partial v}{\partial t} + v \frac{\partial v}{\partial y} + u \frac{\partial v}{\partial x} + g \frac{\partial h}{\partial y} - \Omega \cdot u + g \frac{v \sqrt{u^2 + v^2}}{c^2 D} - \frac{\beta |W| W_y}{\rho \cdot D} = k_y \dots\dots(2.1.2)$$

-continuïteitsvergelijking:

$$\frac{\partial h}{\partial t} + \frac{\partial(D u)}{\partial x} + \frac{\partial(D v)}{\partial y} = 0 \dots\dots(2.1.3)$$

waarin:

u = snelheid in x-richting, gemiddeld over de hoogte;

v = snelheid in y-richting, gemiddeld over de hoogte;

h = z-coördinaat van de waterspiegel;

$\Omega = 2\omega \sin \theta$, Corioliscoëfficiënt betreffende de geostrofische versnelling

$\Omega \sqrt{u^2 + v^2}$; deze laatste is loodrecht op de bewegingsrichting en op het noordelijk halfrond naar rechts gericht;

ω = hoeksnelheid van de aardrotatie;

θ = breedtegraad;

- C = coëfficiënt van Chézy, een maat voor de bodemwrijving;
 $D = h - z_0$, de waterdiepte met z_0 = niveau van de bodem t.o.v. het referentievlak;
 g = versnelling van de zwaartekracht;
 ρ = soortelijke massa van het water;
 $|W|$ = absolute waarde van de windsnelheid;
 W_x = de x-component van de windsnelheid;
 W_y = de y-component van de windsnelheid;
 k_x = de x-component van de getijverwekkende kracht per eenheid van massa;
 k_y = de y-component van de getijverwekkende kracht per eenheid van massa;
 β = coëfficiënt van de windwrijving.

Een vereenvoudiging van de vergelijkingen kan worden bereikt, doordat we k_x en k_y nul mogen stellen en doordat wij voorlopig geïnteresseerd zijn in een stroombeeld, dat gemiddeld zal optreden waarbij dus de windwrijving buiten beschouwing kan blijven.

De differentiaalvergelijkingen kunnen dan, m.b.v. $D = h - z_0$, worden geschreven als:

$$\frac{\partial u}{\partial t} + u \frac{\partial u}{\partial x} + v \frac{\partial u}{\partial y} + g \frac{\partial h}{\partial x} + \Omega v + g \frac{u \sqrt{u^2 + v^2}}{C^2 (h - z_0)} = 0 \quad \dots\dots (2.1.4)$$

$$\frac{\partial v}{\partial t} + u \frac{\partial v}{\partial x} + v \frac{\partial v}{\partial y} + g \frac{\partial h}{\partial y} - \Omega u + g \frac{v \sqrt{u^2 + v^2}}{C^2 (h - z_0)} = 0 \quad \dots\dots (2.1.5)$$

$$\frac{\partial h}{\partial t} + (h - z_0) \frac{\partial u}{\partial x} + u \frac{\partial (h - z_0)}{\partial x} + (h - z_0) \frac{\partial v}{\partial y} + v \frac{\partial (h - z_0)}{\partial y} = 0 \quad \dots (2.1.6)$$

Dit stelsel vergelijkingen vormt de basis voor de in dit rapport behandelde getijberekening met het programma TIDES.

2.2. Berekeningsmethode met programma TIDES.

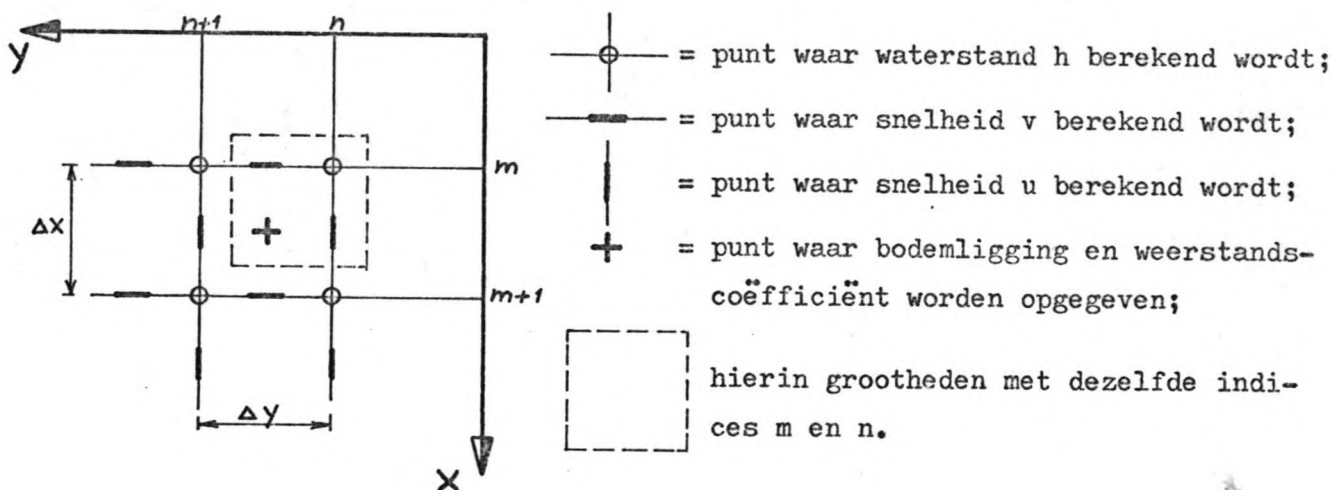
In de voor de berekening benodigde vergelijkingen, de continuïteitsvergelijking (2.1.6) en de bewegingsvergelijkingen voor 2 richtingen (2.1.4) en (2.1.5), komen partiële afgeleiden voor, die benaderd kunnen worden met differentiequotienten.

Met behulp van deze differentiebenaderingen is het nu mogelijk om, uitgaande van bekende waarden van h , u en v , op verschillende tijdstippen en plaatsen, nieuwe waarden van h , u en v te berekenen.

De berekening wordt uitgevoerd door gebruik te maken van een impliciete methode, waarbij achtereenvolgens in afwisselende richting wordt gerekend, ofwel een "alternating direction implicit method". Hierbij worden om beurten nieuwe waarden van h en u en van h en v bepaald door het oplossen van impliciete vergelijkingen in x - resp. y -richting.

Bij de discretisatie wordt een in de ruimte en in de tijd versprongen schema gehanteerd.

Schema, waarbij de tijd buiten beschouwing is gelaten.



Er geldt nu:

$$H(m,n) = h(m.\Delta x, n.\Delta y)$$

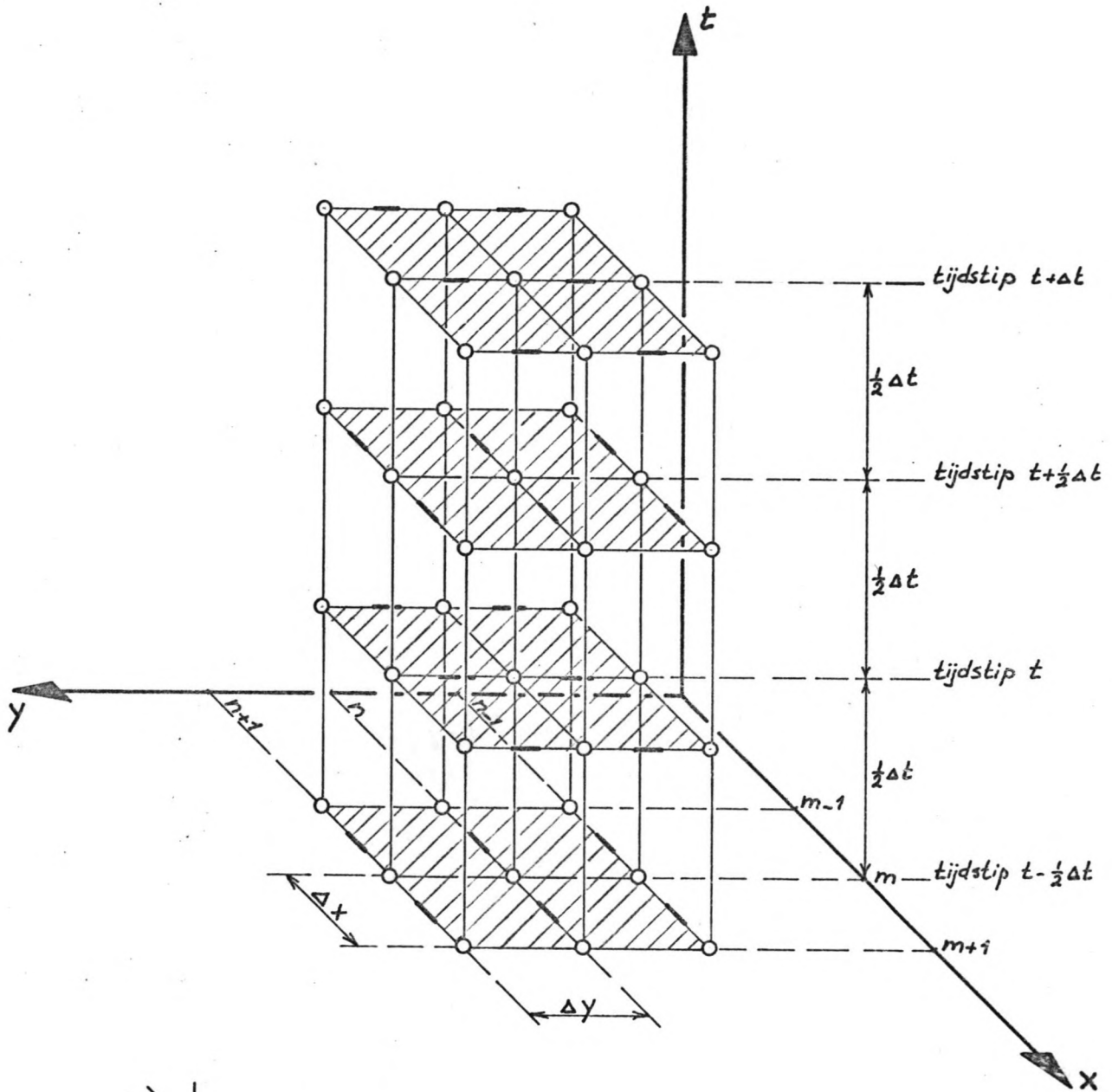
$$U(m,n) = u[(m+\frac{1}{2}).\Delta x, n.\Delta y]$$

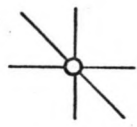
$$V(m,n) = v[m.\Delta x, (n+\frac{1}{2}).\Delta y]$$

$$Z(m,n) = z[(m+\frac{1}{2}).\Delta x, (n+\frac{1}{2}).\Delta y]$$

$$FR(m,n) = f[(m+\frac{1}{2}).\Delta x, (n+\frac{1}{2}).\Delta y]$$

Schema, waarbij ook de tijd in beschouwing is genomen:



-  = h-punt
-  = v-punt
-  = u-punt

Op tijdstip t worden voor het gehele veld door impliciete berekening h en v bepaald, op tijdstip $t + \frac{1}{2}\Delta t$ idem voor h en u , enz.

De differentie-benadering van elk van de termen van de bewegingsvergelijking in x-richting (2.1.4) is als volgt gekozen (waarden met ' stellen nieuwe waarden voor, waarden zonder ' oude):

$$g \frac{\partial h}{\partial x} = g \frac{H'(m+1, n) - H'(m, n)}{\Delta x}$$

$$\frac{\partial u}{\partial t} = \frac{U'(m, n) - U(m, n)}{\Delta t}$$

$$u \frac{\partial u}{\partial x} = U(m, n) \left[\frac{U(m+1, n) - U(m-1, n)}{2 \cdot \Delta x} \right]$$

$$v \frac{\partial u}{\partial y} = V_4 \left[\frac{U(m, n+1) - U(m, n-1)}{2 \cdot \Delta y} \right]$$

$$\Omega v = \Omega V_4$$

$$f \frac{u \sqrt{u^2 + v^2}}{D} = f \frac{U'(m, n) [U^2(m, n) + V_4^2]^{\frac{1}{2}}}{H(m, n) - Z(m, n)}$$

Hierin is:

$$H'(m, n) = h(m \cdot \Delta x, n \cdot \Delta y, t + \frac{1}{2} \cdot \Delta t)$$

$$H(m, n) = h(m \cdot \Delta x, n \cdot \Delta y, \Delta t)$$

$$U'(m, n) = u[(m + \frac{1}{2}) \cdot \Delta x, n \cdot \Delta y, t + \frac{1}{2} \cdot \Delta t]$$

$$U(m, n) = u[(m + \frac{1}{2}) \cdot \Delta x, n \cdot \Delta y, t - \frac{1}{2} \cdot \Delta t]$$

$$V(m, n) = v [m \cdot \Delta x, (n + \frac{1}{2}) \cdot \Delta y, \Delta t]$$

$$V_4 = \frac{1}{4} [V(m, n) + V(m, n-1) + V(m+1, n) + V(m+1, n-1)]$$

De term $\frac{\partial h}{\partial x}$ is voorgesteld door een differentiequotient op het niveau $t + \frac{1}{2} \Delta t$ ter wille van de stabiliteit. De termen $u \frac{\partial u}{\partial x}$ en $v \frac{\partial u}{\partial y}$ zijn voorgesteld door differenties op een ouder tijdstip, n.l. $t - \frac{1}{2} \Delta t$ en t . Weliswaar is dit niet gunstig voor de stabiliteit, maar deze termen zijn over het algemeen niet van grote betekenis (zie ook hoofdstuk 4.2).

Tijdens de berekeningsstap in x-richting moet de bewegingsvergelijking worden gecombineerd met de continuïteitsvergelijking (2.1.6), waarvan de termen volgens dezelfde principes worden gediscretiseerd:

$$\frac{\partial h}{\partial t} = \frac{H'(m,n) - H(m,n)}{\frac{1}{2} \cdot \Delta t}$$

$$(h - z) \frac{\partial u}{\partial x} = [H'(m,n) - Z(m,n)] \frac{U'(m,n) - U'(m-1,n)}{\Delta x}$$

$$u \frac{\partial(h - z)}{\partial x} = U(m,n) \left[\frac{H'(m+1,n) - Z(m+1,n) - H'(m,n) + Z(m,n)}{\Delta x} \right]$$

$$(h - z) \frac{\partial v}{\partial y} = [H'(m,n) - Z(m,n)] \frac{V(m,n) - V(m,n-1)}{\Delta y}$$

$$v \frac{\partial(h - z)}{\partial y} = V(m,n) \left[\frac{H(m,n+1) - Z(m,n+1) - H(m,n) + Z(m,n)}{\Delta y} \right]$$

In de berekeningsslag in x-richting ten tijde $t + \frac{1}{2} \cdot \Delta t$ ontstaat aldus voor elke n een stelsel vergelijkingen, waarin per stap van punt (m,n) naar $(m+1,n)$ als onbekenden voorkomen $U'(m-1,n)$, $H'(m,n)$, $U'(m,n)$, $H'(m+1,n)$ Deze onbekenden worden opgelost, vanuit per rand berekende waarden voor H' of U' , m.b.v. de "double sweep" methode.

Dit wordt gedaan voor $n = 1, 2, \dots$, waarna t met $\frac{1}{2} \cdot \Delta t$ verhoogd wordt en hetzelfde proces wordt uitgevoerd in y-richting met $V'(m,n-1)$, $H'(m,n)$, $V'(m,n)$, $H'(m,n+1)$,.... als onbekenden; dit wordt gedaan voor $m = 1, 2, \dots$

De bewegingsvergelijking in y-richting (2.1.5) wordt op analoge wijze behandeld als die in x-richting:

$$\frac{\partial h}{\partial y} = \frac{H'(m,n+1) - H'(m,n)}{\Delta y}$$

$$\frac{\partial v}{\partial t} = \frac{V' (m,n) - H' (m,n)}{\Delta t}$$

$$v \frac{\partial v}{\partial y} = V (m,n) \left[\frac{V (m,n+1) - V (m,n-1)}{2 \cdot \Delta y} \right]$$

$$u \frac{\partial v}{\partial x} = U_4 \left[\frac{V (m+1,n) - V (m-1,n)}{2 \cdot \Delta x} \right]$$

$$\Omega u = \Omega U_4$$

$$f \frac{v \sqrt{u^2 + v^2}}{D} = f \frac{V' (m,n) [U_4^2 + V^2 (m,n)]^{\frac{1}{2}}}{H (m,n) - Z (m,n)}$$

Hierin is:

$$H' (m,n) = h (m \cdot \Delta x, n \cdot \Delta y, t + \Delta t)$$

$$H (m,n) = h (m \cdot \Delta x, n \cdot \Delta y, t + \frac{1}{2} \Delta t)$$

$$V' (m,n) = v [m \cdot \Delta x, (n + \frac{1}{2}) \Delta y, t + \Delta t]$$

$$V (m,n) = v [m \cdot \Delta x, (n + \frac{1}{2}) \Delta y, \Delta t]$$

$$U (m,n) = u [(m + \frac{1}{2}) \Delta x, n \cdot \Delta y, t + \frac{1}{2} \Delta t]$$

$$U_4 = 1/4 [U (m,n) + U (m-1,n) + U (m,n+1) + U (m-1, n+1)]$$

De termen van de continuïteitsvergelijking bij deze berekeningsstap in y-richting worden als volgt behandeld:

$$\frac{\partial h}{\partial t} = \frac{H' (m,n) - H (m,n)}{\frac{1}{2} \Delta t}$$

$$(h - z) \frac{\partial u}{\partial x} = [H' (m,n) - Z (m,n)] \frac{U (m,n) - U (m-1,n)}{\Delta x}$$

$$u \frac{\partial (h - z)}{\partial x} = U (m,n) \left[\frac{H (m+1,n) - Z (m+1,n) - H (m,n) + Z (m,n)}{\Delta x} \right]$$

$$(h - z) \frac{\partial v}{\partial y} = [H' (m,n) - Z (m,n)] \frac{V' (m,n) - V' (m,n-1)}{\Delta y}$$

$$v \frac{\partial(h - z)}{\partial y} = V(m, n) \left[\frac{H'(m, n + 1) - Z(m, n + 1) - H'(m, n) + Z(m, n)}{\Delta y} \right]$$

Naast de hierboven geschetste algemene berekeningsgang kent het programma nog de behandeling van enkele bijzondere situaties in de bodem- en kust-configuratie.

2.3. Behandeling van stranden en droogvallende platen.

TIDES moet ook getijproblemen kunnen behandelen, waarbij gedeelten van het beschouwde gebied soms wel en soms niet onder water staan.

Bij de continuïteitsvergelijking speelt een belangrijke rol het bergend oppervlak behorend bij een h-punt. De verhoging van de waterstand in dit punt, vermenigvuldigd met het bergend oppervlak, is gelijk aan de som van de instromende minus de uitstromende debieten. Bij de berekening van het bergend oppervlak B wordt de h vergeleken met de vier omringende z-waarden (z = peil van de bodem). h-z is immers de momentane diepte.

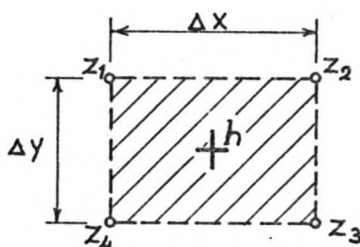


fig. 2.3.1. bovenaanzicht

Als $h >$ alle vier z-waarden, dan wordt gesteld $B = \Delta x \cdot \Delta y$.

Als $h <$ alle vier z-waarden, dan is $B = 0$.

Voor tussenliggende waarden van h wordt een formule voor B gebruikt waarbij een continue overgang wordt bewerkstelligd (zie voorbeeld in fig. 2.3.2).

De formule luidt:

$$B = \Delta x \cdot \Delta y \frac{\sum_{i=1}^4 G(h - z_i)}{\sum_{i=1}^4 |h - z_i|}$$

Hierin is G de volgende functie: $G(x) = x$, als $x > 0$
 $= 0$, als $x \leq 0$

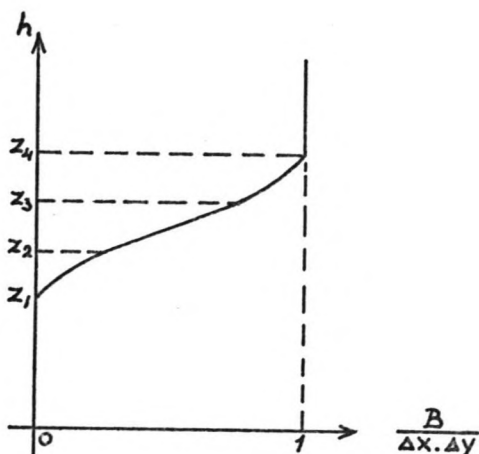


Fig. 2.3.2.
Voorbeeld van het verloop van B als functie van h.

De continue overgang in B is gewenst om te vermijden, dat bij drooglopen schokken in het model worden geïntroduceerd.

Bij de bewegingsvergelijking speelt het doorstromingsprofiel tussen twee h-punten een belangrijke rol (zie fig. 2.3.3). In deze doorsneden worden de debieten berekend. Als voorbeeld wordt de stroom in x-richting bekeken.

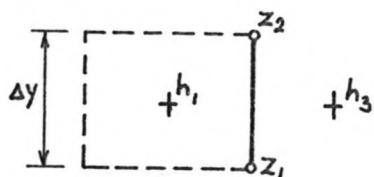


Fig. 2.3.2. Bovenaanzicht.

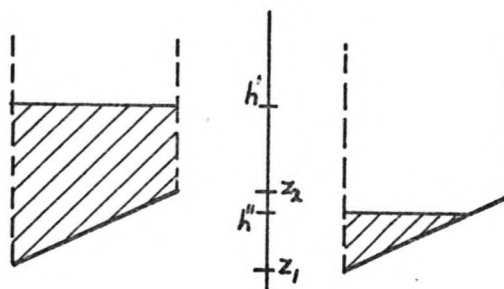


Fig. 2.3.4. Verticale doorsnede.

In de doorsnede wordt voor h genomen: $h = \frac{1}{2} (h_1 + h_3)$.

Deze h wordt vergeleken met z_1 en z_2 (zie fig. 2.3.4). Als h groter is dan de beide z-waarden dan wordt voor het doorstromingsprofiel A genomen:

$$A = \frac{1}{2} \cdot \Delta y \cdot (2h - z_1 - z_2)$$

en voor de hydraulische straal R:

$$R = \frac{1}{2} \cdot (2h - z_1 - z_2) \cdot$$

Als h kleiner is dan de beide z-waarden, dan worden A en R beide gelijk aan nul gesteld.

In het tussenliggende gebied $z_1 < h < z_2$ wordt gesteld:

$$R = \frac{1}{2} (h - z_1)$$

$$A = 2 R^2 \cdot \Delta y / (z_2 - z_1)$$

Op deze manier wordt, afhankelijk van de waarden van h en z , beslist of een bepaald vakje van het mazennet op het land ligt of in het water, of gedeeltelijk onder water. Een strand-kustlijn kan hiermee dus goed worden benaderd, ondanks het rechthoekig mazennet.

2.4. Behandeling van ondoorlatende wanden.

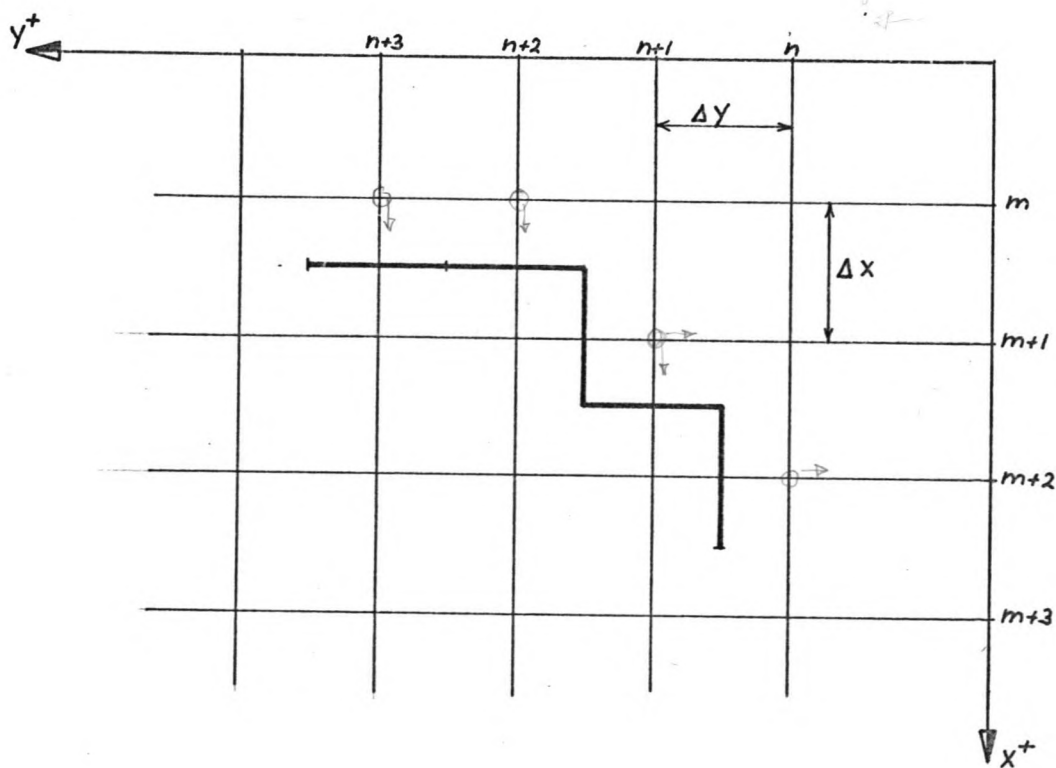
Ondoorlatende wanden (dammen e.d.) kunnen met TIDES worden verwerkt, als ze worden geschematiseerd tot trapjeslijnen.

Het programma kent n.l. de mogelijkheid om in bepaalde punten de watersnelheid een constante of variabele waarde in x - of y -richting te geven.

De snelheid loodrecht op een ondoorlatende wand is nul. Door in bepaalde punten u of v de waarde nul te geven, kan een wand worden geschematiseerd.

Voorbeeld:

Onderstaand schema is het resultaat van het nul stellen van $U(m+1, n+1)$, $U(m, n+2)$, $U(m, n+3)$, $V(m+1, n+1)$ en $V(m+2, n)$.



3. BEREKENINGEN.

3.1 Opzet van de berekeningen.

Om de hoeveelheid werk enigszins te beperken, is aansluiting gezocht bij reeds uitgevoerde berekeningen van de Deltadienst-Rijkswaterstaat met het Rand-Delta II model en van A.M. Burger met zijn Deelontwerp Vloeistofmechanica "Een twee-dimensionale getijberekening betreffende de aanleg van een zanddam ten behoeve van de overslag van L.N.G. voor de kust van Voorne-Putten" [2].

Bij het maken van de modellen moeten de volgende punten worden onderzocht:

- a. Bepalen van de grootte van het model.
- b. Bepalen van de grootte van de mazen.
- c. Schematiseren van de randen en de diepte (dus ook strand-kustlijn).
- d. Schematiseren van dammen.
- e. Bepalen van rand- en beginvoorwaarden.
- f. Bepalen van de tijdstap en de inspeeltijd.

Er zijn achtereenvolgens met 4 modellen berekeningen uitgevoerd, waarvan de korte karakteristieken zijn:

T_0 : Huidige ongewijzigde situatie; bestrijkt gebied van $60 \times 38 \text{ km}^2$; maaswijdte 1600 m.

T_1 : Bestrijkt zelfde gebied met zelfde maaswijdte; gewijzigde situatie door het inbrengen van het geplande project.

T_2 : Verfijning van een deelgebied uit T_1 ; maaswijdte 400 m; bestrijkt gebied van $22,5 \times 10 \text{ km}^2$.

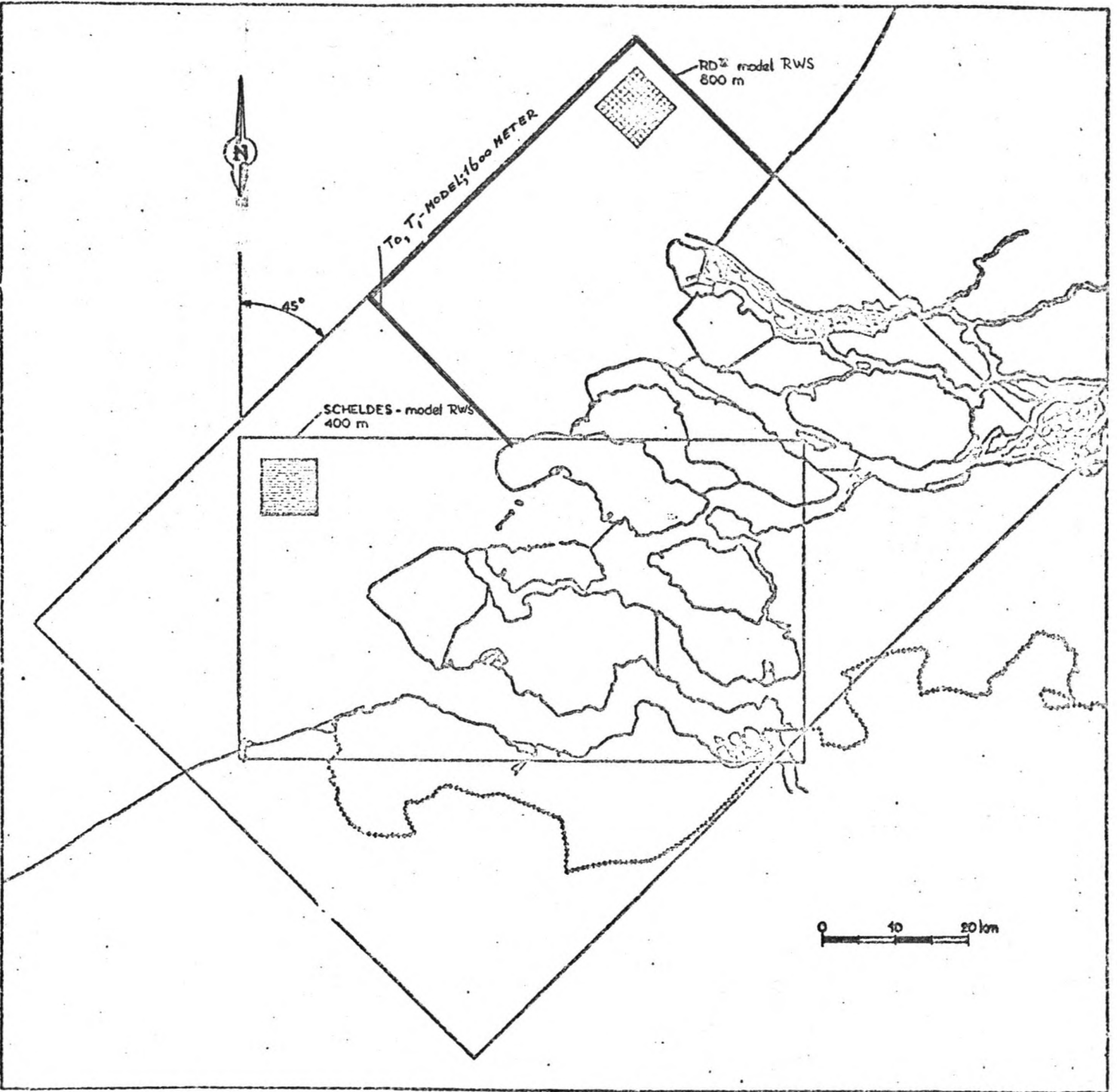
T_3 : Verfijning van een deelgebied uit T_2 ; maaswijdte 200 m; bestrijkt gebied van $12 \times 6,5 \text{ km}^2$.

Verdere bijzonderheden en motivering volgen hierna.

T_0 - model. (fig. 3.1.2.)

Het Rand-Delta II-model van de Deltadienst heeft een rechthoekig assenstelsel met een maaswijdte van 800 m en een oriëntatie t.o.v. de Noord-Zuid-richting van 45° . Het strekt zich uit van Blankenberge tot Kijkduin/Scheveningen en vanaf de kustlijn tot ca. 30 km in zee (fig. 3.1.1).

Hieruit heeft Burger ongeveer de N.O.-helft gelicht, d.i. van Schouwen tot Kijkduin, welk gebied, ook bij een onderzoek met een electrisch analogon, voldoende groot bleek om daarmee zijn berekeningen uit te voeren.



Ligging T₀- en T₁-model.

Ligging Rand-Delta II-model van Rijkswaterstaat.

Schaal 1 : 800.000

Ook voor ons doel wordt ongeveer dit gebied aangenomen voor de beginberekening T_0 . Ons project ligt weliswaar dichterbij de N.O.-rand, maar het steekt duidelijk minder ver uit in zee en de overgang naar de noordelijke kust is zeer vloeiend.

Voor de maaswijdte is 1600 m genomen, een veelvoud van de maaswijdte van het Rand-Delta-model, hetgeen resulteerde in een zeer acceptabel aantal rekenpunten van 850.

Een Fourier-analyse van waterstandswaarnemingen gedurende een periode van 5 dagen plus een getijberekening leverden de waterhoogten in alle punten van het RD II-model als periodieke functie, n.l. in Fourier-componenten (Bijlage A-I-1 t/m 28). De waterhoogten in de randpunten van het T_0 -model kunnen hier dus uit worden gekozen.

Ons T_0 -model, dus een weergave van de huidige situatie, verschilt echter toch op enkele punten van Burger's model:

- a. Uit een vergelijking van Burger's model met kaarten van de kust en een schema van het RD II-model blijkt dat Burger's N.O.-grens niet samenvalt met die van RD II, maar er 4 x 800 m binnen ligt.

Voor onze berekening is het gunstiger om de N.O.-grens zo ver mogelijk weg te leggen. Dus we nemen daarvoor de oorspronkelijke RD II-grens (fig. 3.1.3).

Verder blijken in Burger's model de meetraaien langs de N.O.- en Z.W.-grenzen 9 km te dicht bij elkaar te zijn gekozen. Op een werkelijke afstand van 57 km betekent dit $\frac{9}{57} = 0,16 = 16\%$ verschil. Dit komt een vergelijking van berekende waarden met overeenkomstige metingen niet ten goede. Om de meetraai 57 km ten zuidwesten van de N.O.-grens binnen het T_0 -model te houden, en dus een mogelijkheid tot controle in te bouwen, maken we het model $38 \times 1,6 \text{ km} = 60,8 \text{ km}$ lang.

- b. Aangezien het hier beschouwde project direct ten noorden van de monding van de Nieuwe Waterweg ligt, kunnen wij ons niet net als Burger veroorloven om de Nieuwe Waterweg in het model af te sluiten.

Om de getijstroom en de bovenafvoer in de berekening te betrekken wordt in al onze rekenmodellen de Nieuwe Waterweg weliswaar afgesloten gedacht, maar wordt tevens ter plaatse als randvoorwaarde een, bij de andere randvoorwaarden behorend, periodiek snelheidsverloop ingevoerd.

- c. De kustlijn kan iets beter benaderd worden in de buurt van H.v.H.

Het is beter en mogelijk om de Maasvlakte en de Noorderdam in het model 800 m verder in zee door te voeren.

Voor ons assenstelsel geldt:

Het meest noordelijke punt en oorsprong van het RD II en ons T_0 en T_1 -model is een meetpunt in zee met als plaatsbepaling in Amersfoort-coördinaten $X = - 97391,25$ en $Y = + 12753,74$ (fig. 3.1.3).

Vanuit dit punt zijn de lijnen onder 45° met de noordrichting de N.O.- en N.W.-grens resp. de X- en Y-as van het RD II, T_0 en T_1 -model.

De positieve x-richting wijst naar het zuidoosten. De positieve y-richting wijst naar het zuidwesten. De positieve z-richting is naar boven. $z = 0$ komt overeen met N.A.P.

Het doel van deze T_0 -berekening is:

- a. Berekening van het stroombeeld voor de monding van de Nieuwe Waterweg en meer in het bijzonder in de Eurogeul in de bestaande situatie om goed vergelijkingsmateriaal te hebben voor het berekende stroombeeld in de gewijzigde situatie (T_1 -model).
- b. Onderzoeken, voor zover mogelijk, of de configuratie en de randvoorwaarden goed zijn ingevoerd, door te bekijken of de resultaten zinvol zijn en door ze te vergelijken met Burger's uitkomsten, waar ze niet veel van behoren te verschillen.
- c. Onderzoeken wat de invloed is van de door ons aangebrachte wijzigingen in het T_0 -model.
- d. Vergelijkingsmateriaal bieden voor de T_1 -berekening om te controleren of er geen grove fouten in de invoer zijn gemaakt en of inderdaad de geplande wijziging in de configuratie geen merkbare invloed meer heeft op de stroomsnelheden nabij de randen.

T_1 -model (fig. 3.1.4 en 5.3).

Na in het T_0 -model als wijziging schematisch de ontworpen golfbrekers en strandbogen te hebben aangegeven, wordt met dezelfde randvoorwaarden de T_1 -berekening uitgevoerd met als doel:

- a. Een indruk te geven van de veranderingen in het stroombeeld voor een groter zeegebied, vooral in de omgeving van de scheepvaartgeul.
- b. Het verschaffen van de randvoorwaarden voor de T_2 -berekening, een fijnmaziger berekening van een deelgebied van het T_1 -model.

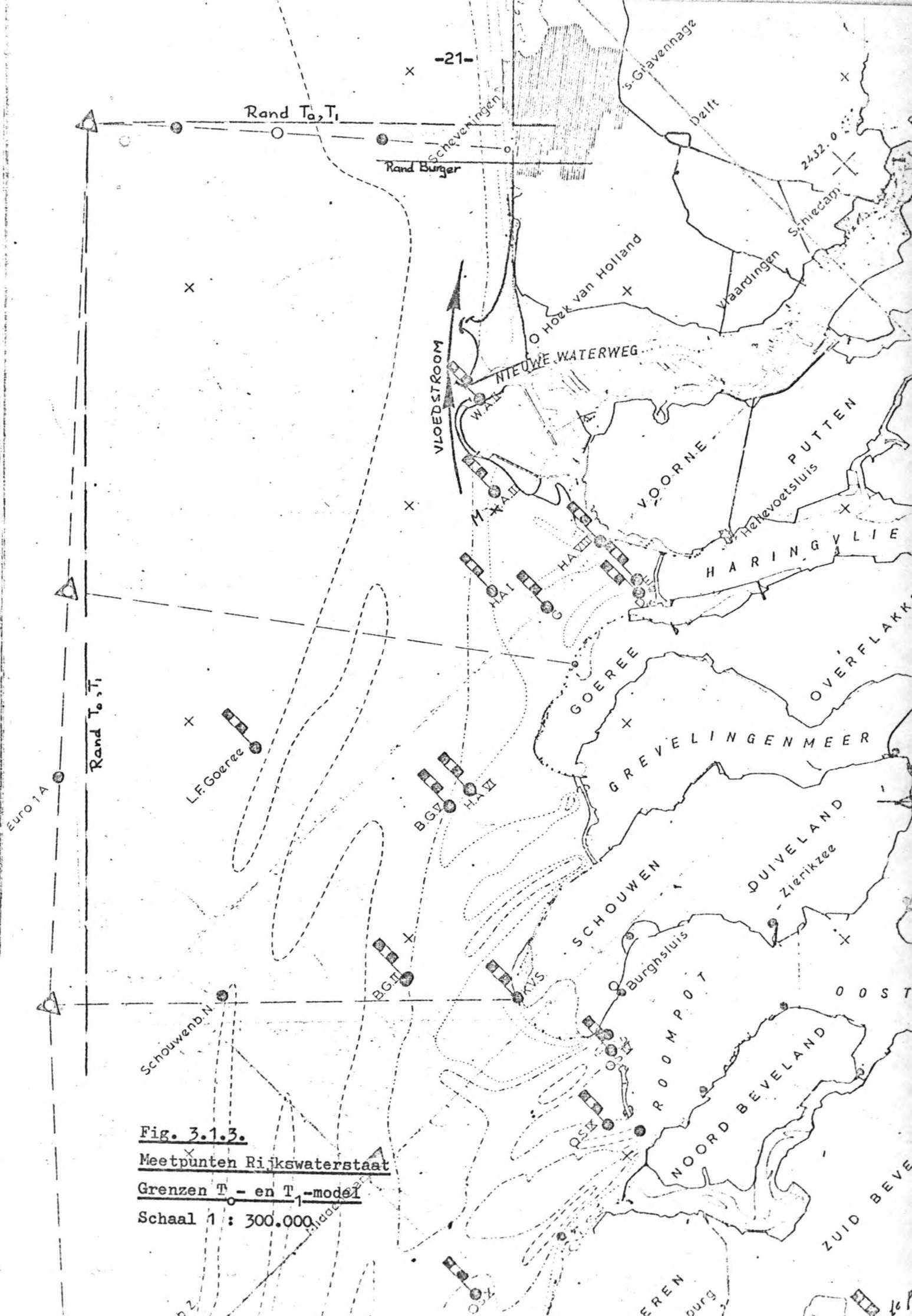


Fig. 3.1.3.

Meetpunten Rijkswaterstaat

Grenzen T_0 - en T_1 -model

Schaal 1 : 300.000

T₂-model (fig. 3.1.5 en 5.4).

Voor een nauwkeuriger berekening van het stroombeeld om het project zelf geldt, dat het project in zijn geheel en voldoende nauwkeurig in het vervolg-model wordt weergegeven. Tevens moet rekening worden gehouden met beperkingen, die het programma stelt:

- het programma laat geen grotere verfijning toe dan met een factor 4;
- i.v.m. de kosten mag het aantal rekenpunten de 1000 niet te veel overschrijden;
- het project moet een voldoende aantal mazen van de rand verwijderd zijn om de invloed van randstoring buiten het voor ons belangrijke gebied te houden.

De grenzen van het T₂-model moeten samenvallen met netlijnen van het T₁-model om hieruit als randvoorwaarden periodiek verlopende waterstanden (of snelheden) te kunnen overnemen.

De maaswijdten moeten zich dan nog zodanig verhouden, dat voldoende randpunten van T₂ samenvallen met punten van T₁.

De N.O.-grens valt samen met die van het T₁-model, omdat ons project nogal dicht bij die rand ligt. De Z.W.-grens ligt op 6200 m van de Noorderdam, dat zijn 15 mazen van 400 m. Voor de N.W.-grens wordt een lijn op 5800 m (14 mazen van 400 m) buiten de Noorderdam aangenomen, hetgeen resulteert in ca. 1200 rekenpunten, wat nog wel acceptabel is.

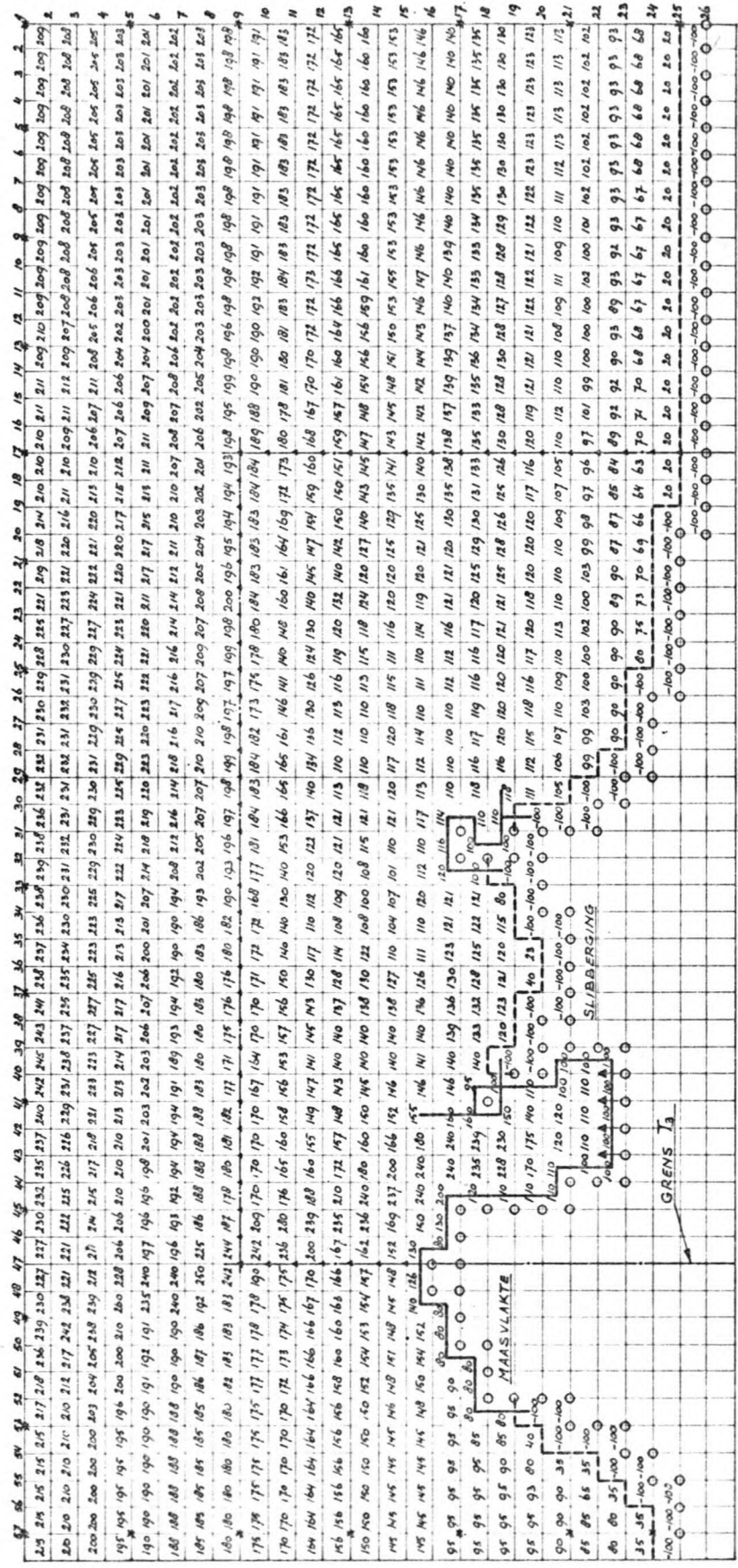
De T₂-berekening kan een goede indruk geven van de te verwachten hoofdgetijstroom over een breedte van ca. 4 km om de kop van de Maasvlakte, de te verlengen Noorderdam en de golfbrekers van de jachthaven en kan dus helpen bij het bepalen van de nautische problemen voor de kust en bij het beoordelen van de gekozen hoofdvorm van het project.

De bodem- en kustconfiguratie zijn echter te grof weergegeven om hieruit bruikbare resultaten te kunnen verwachten voor de berekening van de stabiliteit van golfbrekers en strandbogen. Voor dit laatste is nog een verfijning nodig, de T₃-berekening.

T₃-model (fig. 3.1.6 en 5.5).

Een verfijning met een factor 2, dus een maaswijdte van 200 m, geeft, voor het bepalen van de snelheden langs golfbrekers en strandbogen, een redelijke weergave van de gehele te veranderen configuratie.

T₂ - MODEL 400 m SCHEMATISATIE
 GEWIJZIGE SITUATIE



- = ONDOORLATENDE WAND
- - - = STRANDLIJN
- = PUNT AFGESLOTEN VOOR BEREKENING
- * = PUNT WAARIN R.V.W. UIT T₁
- ⊙ = PUNT LEVERT R.V.W. VOOR T₃

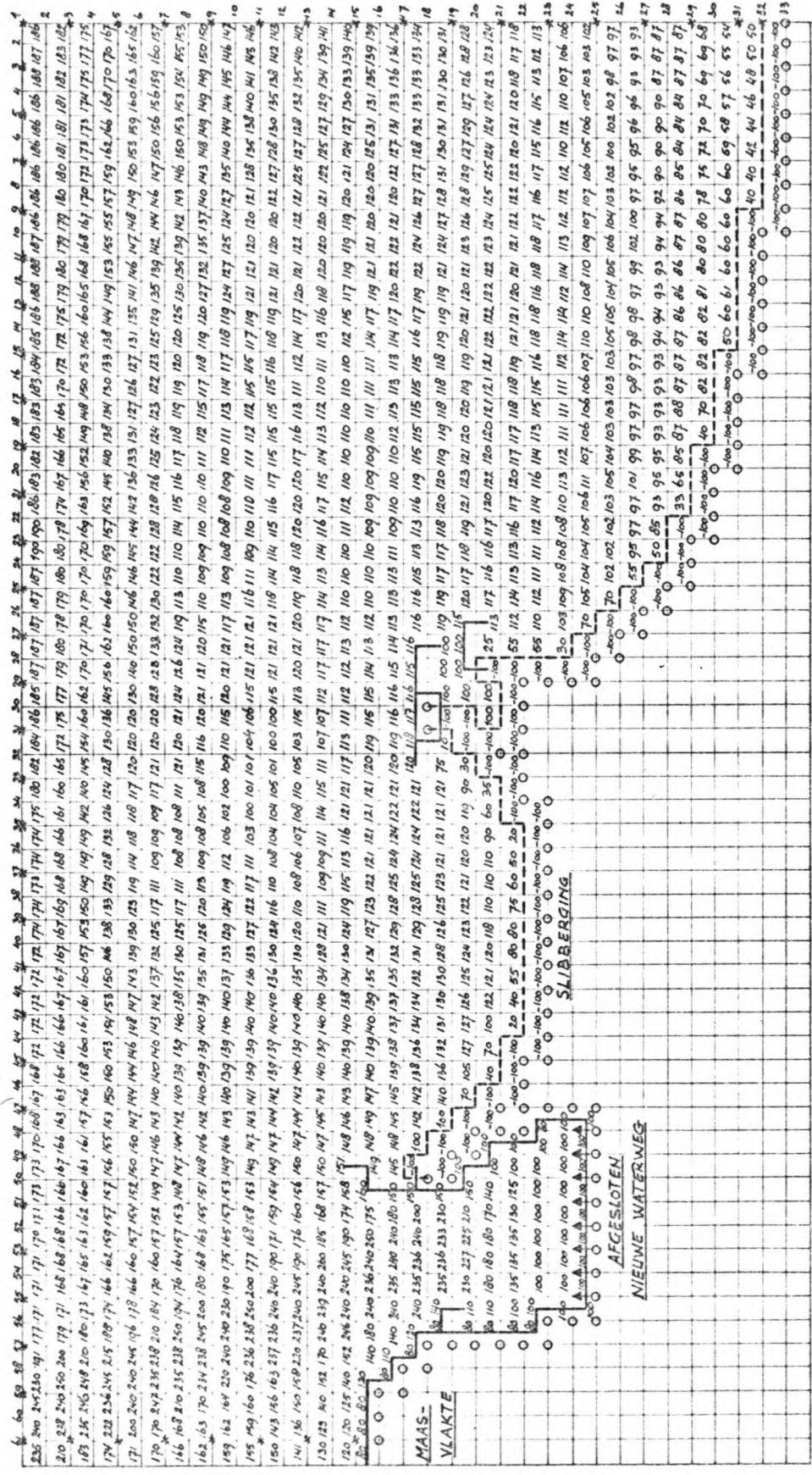
400m

DIEPTEN IN DM. BENEDEN N.A.P.

T₃-MODEL 200 m SCHEMATISATIE
GEWIJZIGDE SITUATIE



y', v'



- = ONDOORLATENDE WAND.
- - - = STRANDLIJN
- = PUNT AFGESLOTEN VOOR BEREKENING
- * = PUNT WAARIN R.V.W. UIT T₂

200 m

DIEPTEN IN DM. BENEDEN N.A.P.

De morphologische processen langs de kust spelen zich hoofdzakelijk af in de brandingszone, een strook van 200 à 300 m. Een model met maaswijdte van 200 m levert dus gemiddelde snelheden langs de kust op, die bruikbaar zijn voor een morphologische berekening.

Met de N.O.-grens aan het einde van de nieuwe strandboog, de N.W.-grens 2700 m (13 mazen van 200 m) vanaf de Noorderdam en de Z.W.-grens 2300 m (11 mazen van 200 m) vanaf de Noorderdam, levert dit een model met ca. 1200 rekenpunten op.

Deze grenzen moeten weer samenvallen met netlijnen van het T_2 -model om hieruit de randvoorwaarden te kunnen overnemen.

Tijdstap.

De uitdrukking $c \frac{\Delta t}{\Delta s}$ moet ter wille van de nauwkeurigheid niet al te groot zijn. Een praktische bovengrens is ongeveer 10.

De voortplantingssnelheid van een lange golf in 20 m diep water is

$$c = \sqrt{g \cdot D} = \sqrt{10 \cdot 20} = 14,1 \text{ m/s.}$$

Voor het T_0 - en T_1 -model is de lengtestap $\Delta s = 1600$ m. Volgens bovengenoemde voorwaarde voor de tijdstap-lengtestap-verhouding moet dan dus gelden $\frac{14,1 \times \Delta t}{1600} \leq 10$, waaruit volgt $\Delta t \leq 1135 \text{ s} = 18,9 \text{ min.}$

We nemen voor het T_0 - en T_1 -model een tijdstap van 15 min. = 900 s, net als Burger, zodat we inderdaad de resultaten kunnen vergelijken.

Voor het T_2 -model is de lengtestap 400 m. Het model ligt in zijn geheel wat dichterbij de kust. Voor de globale bepaling van de voortplantingssnelheid kunnen we een iets geringere diepte nemen.

Voor $D = 18$ m is $c = \sqrt{10 \cdot 18} = 13,4 \text{ m/s.}$

Dus moet gelden $\frac{13,4 \times \Delta t}{400} \leq 10$, waaruit volgt $\Delta t \leq 298 \text{ s} = 5,0 \text{ min.}$

Neem voor het T_2 -model een tijdstap van 5 min. = 300 s, zodat ook aan de voorwaarde is voldaan, dat de tijdstap van T_1 een veelvoud is van die van T_2 . Deze voorwaarde ontstaat door onze wens om resultaten van T_1 te gebruiken als randvoorwaarden voor T_2 .

Voor het T_3 -model is de lengtestap weer gehalveerd tot 200 m. Door ook de tijdstap te halveren tot $2\frac{1}{2}$ min. = 150 s is aan alle voorwaarden voldaan.

Inspeeltijd.

Voor een periodiek probleem zoals een getijgolf kan men gewoonlijk de inspeeltijd gelijk stellen aan enkele malen de looptijd van de getijgolf door het model. Deze looptijd is in het T_0 - en T_1 -model $\frac{60800}{14,1} = 4312 \text{ s} = 1,2 \text{ uur.}$

Een halve getijperiode zou dus waarschijnlijk al voldoen als inspeeltijd. We nemen echter voor al onze berekeningen een gehele getijperiode van 25 uur om onze resultaten gemakkelijk onderling en met die van Burger te kunnen vergelijken. Na deze inspeeltijd wordt nog een volledige getijperiode van 25 uur berekend.

3.2. Gegevens voor de berekeningen.

3.2.1. Algemeen.

De versnelling van de zwaartekracht wordt gesteld op $9,81 \text{ m/sec}^2$. In de uitdrukking voor de geostrofische of Coriolisversnelling $\Delta v = 2\omega v \sin \theta$, die voorkomt in de bewegingsvergelijking en waarin ω = hoeksnelheid van de aardrotatie en θ = breedtegraad, wordt voor de breedte van Nederland een waarde aangehouden van $\Omega = 0,11461 \times 10^{-3} \text{ s}^{-1}$.

In het gehele veld wordt eenzelfde waarde voor de coëfficiënt van de bodemwrijving aangehouden, n.l. $fr = \frac{g}{C^2} = 0,0039$. Dit komt overeen met een Chézy-coëfficiënt van $C = 50 \text{ m}^{\frac{1}{2}} \text{ s}^{-1}$.

3.2.2. Bodem- en kustconfiguratie.

De bodemconfiguratie wordt in de modellen aangebracht door het bodempeil in het midden van de mazen op te geven t.o.v. het referentievlak = N.A.P. De getallen voor het gebied rondom H.v.H. komen van 4 peilkaarten van okt. 1977 van Rijkswaterstaat-Deltadienst-Waterloopkundige Afdeling Hellevoetsluis [4], n.l.:

Blad 1002 Lodingen Kustgebied Monster

Blad 1002^A Lodingen Kustgebied Monster; zeewaarts

Blad 1003 Lodingen Kustgebied H.v.H.

Blad 1003^A Lodingen Kustgebied H.v.H.; zeewaarts

Voor het gebied buiten deze kaarten worden de waarden voor het bodempeil gehaald uit de bodemconfiguratie van Burger's rekenmodellen en dus indirect uit RD II.

Ter plaatse van het geplande project wordt de bodemligging geschat uit het voorlopig ontwerp.

Het grootste deel van de kustlijn wordt geschematiseerd als strand, door aan de zeezijde het negatieve bodempeil in te voeren en aan de landzijde een zodanig hoog positief bodempeil (b.v. N.A.P. + 10 m), dat dit altijd boven water blijft.

De golfbrekers van de Maasvlakte, Noorderdam en geplande jachthaven worden evenals de oevers van de Nieuwe Waterweg beschouwd als ondoorlatende wanden. Hiertoe wordt ter plaatse de stroomsnelheid loodrecht op de wand gelijk aan nul gesteld.

De figuren 3.1.2 en 3.1.4 t/m 3.1.6 geven in schema de bodem- en kustconfiguratie voor de verschillende rekenmodellen.

3.2.3. Rand- en beginvoorwaarden.

In alle berekeningen wordt in alle punten de beginwaterstand gelijk aan het N.A.P.-niveau gesteld, behalve in de punten waar de waterstand als randvoorwaarde is gegeven. Het gemiddeld zeeniveau bij H.v.H. is N.A.P. - 0,03 m.

T₀- en T₁-model.

Voor de T₀- en T₁-berekening zijn de randvoorwaarden identiek.

Op de open randen wordt als randvoorwaarde een periodieke waterstand ingevoerd. De randvoorwaarden worden verkregen uit een Fourier-analyse van getijmetingen, uitgevoerd door Rijkswaterstaat in de periode van 1 t/m 5 sept.'75.

Een getijkromme kan worden beschreven als de som van een middenstand en een aantal sinusvormige componenten elk met een amplitude, hoeksnelheid en fasehoek: $h(t) = h_0 + \sum_n h_n \cos(\omega_n t - \alpha_n)$.

Voor de Fourier-analyse is aangenomen dat de getijbeweging periodiek is met een periode van T = 25 uur.

In het resultaat van de Fourier-analyse

$$h(t) = \sum_{k=0}^{\infty} M_k = \sum_{k=0}^{\infty} A_k \left[\cos \frac{2\pi kt}{T} + B_k \sin \frac{2\pi kt}{T} \right]$$

blijken voor ons alleen de middenstand, het enkeldaags, dubbeldaags en viermaal daags getij van belang te zijn.

De Fourier-coëfficiënten A_k en B_k moeten dus voor onze berekening worden ingevoerd voor k = 0, 1, 2 en 4.

De Deltadienst-Rijkswaterstaat berekende de Fourier-component voor het getij

voor alle punten van het RD II-model en heeft ze m.b.v. amplitude en fase in een schema verzameld, dus van de vorm $M_k = c_k \cos\left(\frac{2\pi kt}{T} - \phi_k\right)$, waarbij c_k = amplitude en ϕ_k = fasehoek worden gegeven. Zie Bijlage A-I. De Fourier-coëfficiënten A_k en B_k kunnen uit de amplitude en fasehoek worden bepaald.

$$c_k \cos\left(\frac{2\pi kt}{T} - \phi_k\right) = c_k \left[\cos\left(\frac{2\pi kt}{T}\right) \cdot \cos \phi_k + \sin \phi_k \cdot \sin \frac{2\pi kt}{T} \right] = \\ = c_k \cos \phi_k \cdot \cos \frac{2\pi kt}{T} + c_k \sin \phi_k \cdot \sin \frac{2\pi kt}{T}.$$

Dus $A_k = c_k \cos \phi_k$ en $B_k = c_k \sin \phi_k$.

Voor de waarden van c_k , ϕ_k , A_k en B_k wordt verwezen naar Bijlagen II-1 en II-2.

De randvoorwaarden worden ingevoerd in de randpunten om de 4800 m.

In de tussenliggende 2 randpunten van het 1600 m-net worden de randvoorwaarden lineair geïnterpoleerd.

Als randvoorwaarde in de Nieuwe Waterweg moet een periodieke snelheid worden ingevoerd.

Er is een afvoerkromme voor de Rotterdamse Waterweg bepaald aan de hand van metingen op 4/9/1975 in meetpunt K van raai 1029 bij H.v.H. (zie fig.3.2.1) Daaruit blijkt voor het in- en uitstromend debiet ten noorden van de splitsingsdam:

maximale vloeddebiet $6300 \text{ m}^3/\text{s}$ treedt op $1/4$ uur na H.W. te H.v.H.

maximale ebdebiet $9000 \text{ m}^3/\text{s}$ treedt op $5\frac{1}{2}$ uur na H.W. te H.v.H.

Uit de gegevens volgt een bovenafvoer van de rivieren door de Waterweg van $\frac{1}{2} (9000 - 6300) = \frac{1}{2} \cdot 2700 = 1350 \text{ m}^3/\text{s}$. Hetgeen goed overeenkomt met de gemeten bovenafvoer van Lobith op 2/9/1975 van $2364 \text{ m}^3/\text{s}$; daarbij behoort een bovenafvoer in de Waterweg van ca. $1500 \text{ m}^3/\text{s}$.

Het in- en uitstromend getijdebet door de geul zuidelijk van de spitsingsdam kan globaal worden bepaald door een kombergingsbeschouwing toe te passen op het Europoort-havengebied.

Continuïteitsvergelijking $\frac{\partial h}{\partial t} \sum F = Q_t$.

Kombergingsoppervlakte van het Europoort-havengebied $\sum F \approx 14 \text{ km}^2$.

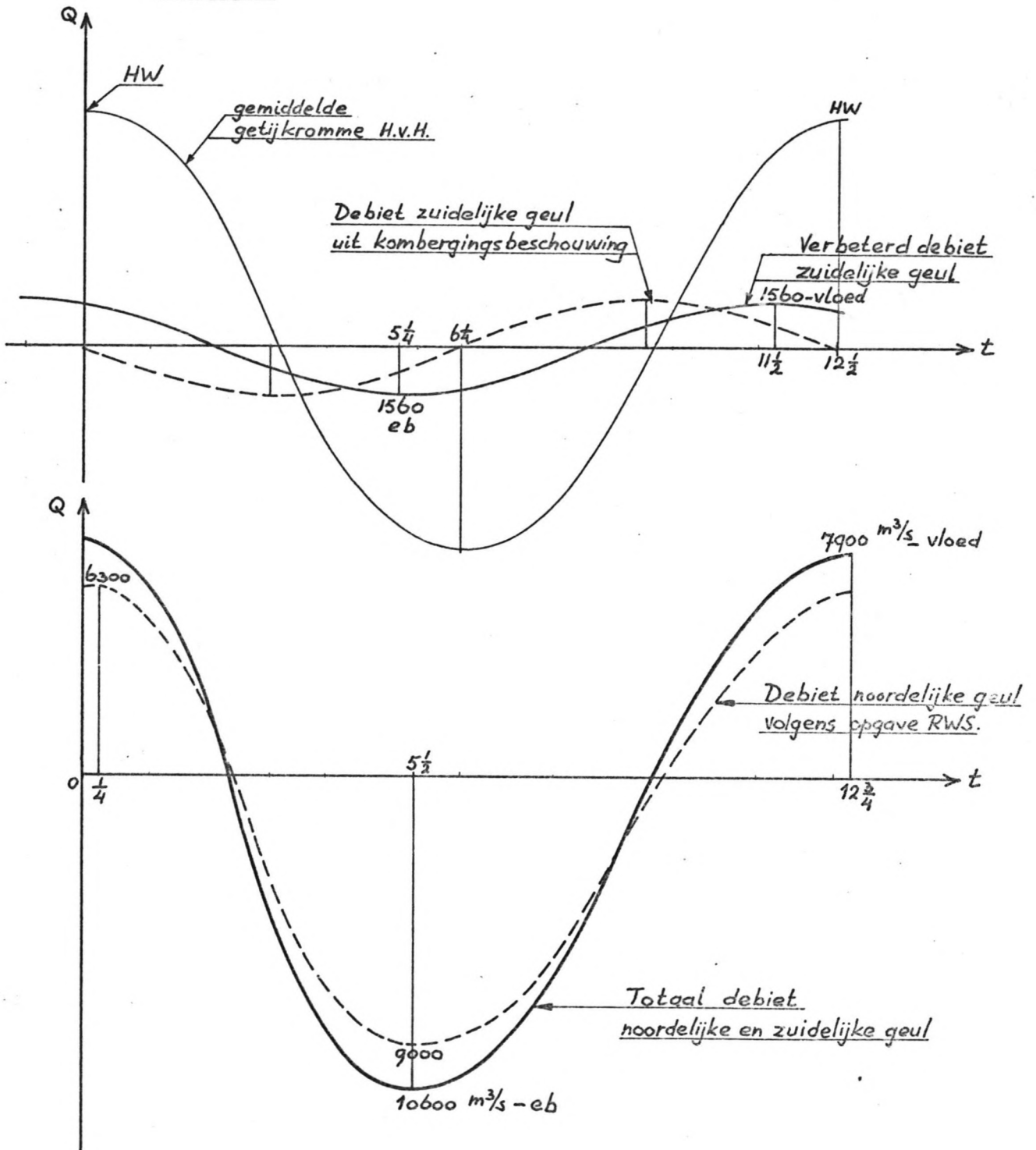
Uit de getijkromme voor H.v.H. wordt geschat de maximale helling van de kromme van het verticale getij in de monding $\frac{\partial h}{\partial t} \approx 1,11 \cdot 10^{-4} \text{ m/s}$.

Het maximale getijdebet is dan: $Q_t = 1,11 \cdot 10^{-4} \cdot 14 \cdot 10^6 \text{ m}^3/\text{s} = 1560 \text{ m}^3/\text{s}$.

Controle op de maximale over de doorsnede gemiddelde snelheid in de zuidelijke geul levert bij een breedte van 500 m en diepte 23 m :

$$\bar{v} = \frac{1560}{23 \cdot 500} = 0,14 \text{ m/s},$$

Fig. 3.2.1. In- en uitstromend debiet door de monding van de Nieuwe Waterweg.



Tijd t in uren na H.W.-H.v.H.

Debiten Q in m^3/s .

hetgeen in overeenstemming is met Rapport M 900-14 van het Waterloopkundig Laboratorium-Delft betreffende een modelonderzoek. Daarin wordt gevonden:

$$\bar{v}_{eb} = 0,13 \text{ m/s en vloedstroom } \bar{v}_{vl} = 0,15 \text{ m/s.}$$

Deze laatste waarde treedt op ca. 1 uur vóór H.W.-H.v.H., dat is ca. 2 uur later dan bij een kombergingsbeschouwing wordt verwacht.

We superponeren bovenstaande debieten tot totalen voor de gehele monding van de Nieuwe Waterweg (zie ook fig. 3.2.1):

$$\text{maximaal vloeddebiet } Q_v = 6300 + 1600 = 7900 \text{ m}^3/\text{s optredend bij H.W.-H.v.H.,}$$

$$\text{maximaal ebdebiet } Q_e = 9000 + 1600 = 10600 \text{ m}^3/\text{s optredend 6,25 uur na}$$

H.W.-H.v.H.

Dit periodieke debiet kan worden geschreven als:

$$Q(t) = -1350 + 9250 \cos(\omega t - \varphi) = -1350 + 9250 (\cos \varphi \cdot \cos \omega t + \sin \varphi \cdot \sin \omega t),$$

waarin $\omega = \frac{4\pi}{T}$ de hoeksnelheid is behorend bij het dominerende dubbeldaags getij en φ de faseachterstand van het maximale positieve debiet op $t = 0$.

Het debiet in positieve x-richting wordt positief genoemd en is maximaal bij H.W.-H.v.H.

De fasehoek van het dubbeldaags getij in H.v.H. blijkt in de opgave van de Fourier-componenten door de Deltadienst 301° te zijn (Bijlagen I en II).

Dit betekent dat op $t = 0$ in het model de maximale positieve waarde voor dit getij (hoogwater-H.v.H.) nog een faseachterstand van 301° heeft. De fasehoek van het in te voeren debiet is dus ook $\varphi = 301^\circ$.

$$\text{Nu is dus } Q(t) = -1350 + 4764 \cos \omega t - 7929 \sin \omega t \text{ m}^3/\text{s.}$$

Dit debiet moet tot een snelheid worden omgerekend om als randvoorwaarde voor de berekening te kunnen dienen.

De snelheid wordt ingevoerd 3200 m binnen de monding. Om modeltechnische redenen is daar de breedte 1600 m en de diepte 10 m.

Dus de in te voeren snelheid is:

$$\begin{aligned} v_x(t) &= \frac{1}{16} \cdot 10^{-3} (-1350 + 4764 \cos \omega t - 7929 \sin \omega t) = \\ &= -0,0844 + 0,2978 \cos \omega t - 0,4956 \sin \omega t \text{ m/s.} \end{aligned}$$

T₂-model.

Tijdens de T₁-berekening worden gedurende de gehele getijperiode van 25 uur na een inspeelperiode van 25 uur, voor alle toekomstige randpunten van het T₂-model, de bij elke tijdstap van 15 minuten berekende waterhoogten weggeschreven op een achtergrondgeheugen.

Deze waarden worden als randvoorwaarden gebruikt voor de T₂-berekening.

Voor tussengelegen randpunten wordt lineair geïnterpoleerd.

Ook in de tijd wordt lineair geïnterpoleerd, aangezien de tijdstappen voor de T_2 -berekening 5 minuten zijn.

De modelbegrenzing bij de Nieuwe Waterweg heeft in het T_2 -model weer een breedte van 1600 m en een diepte van 10 m. Het in te voeren periodieke snelheidsverloop is dus gelijk aan dat voor T_0 .

T_3 -model

Tijdens de T_2 -berekening worden vervolgens gedurende de periode van 25 uur na de inspeelperiode van 25 uur voor alle toekomstige randpunten van het T_3 -model de bij elke tijdstap van 5 minuten berekende waterhoogten weggeschreven op een achtergrondgeheugen.

Deze waarden worden als randvoorwaarden gebruikt voor de T_3 -berekening. Voor de tussengelegen randpunten wordt lineair geïnterpoleerd evenals voor de tussengelegen tijdstippen, aangezien de tijdstap voor de T_3 -berekening $2\frac{1}{2}$ minuut bedraagt.

Ook voor het T_3 -model heeft de afgesloten Nieuwe Waterweg dezelfde dwarsafmetingen als in het T_0 -model en dus ook hetzelfde periodieke snelheidsverloop.

3.3. Resultaten van de berekeningen.

3.3.1. Print-uitvoer van het programma TIDES.

Over de inspeeltijd van 25 uur = 90000 s. zal geen uitvoer worden geproduceerd. Bij het refereren naar berekeningsresultaten zal het einde van de inspeeltijd als $t = 0$ worden aangenomen met de tijdsaanduiding in uren na dit moment.

Het programma geeft de mogelijkheid om na elk geheel aantal tijdstappen voor alle rekenpunten de waarde voor h , u en v af te drukken.

Deze gedrukte uitvoer wordt voor de verschillende berekeningen geproduceerd voor een gehele getijperiode voor elk heel uur vanaf het tijdstip $t = 0$ t/m $t = 25$ uur (Bijlage B - één exemplaar).

De resultaten van $t = 0$ en $t = 25$ voor de 2^e periode van 25 uur stemmen voor alle berekeningen zeer goed overeen, waaruit we dus kunnen concluderen, dat de inspeeltijd van 25 uur voldoende is.

3.3.2. Plot-uitvoer van het programma TIDES.

Na elk geheel aantal tijdstappen kan een plot worden gemaakt van een schema van het rekenmodel met daarin voor elk gewenst rekenpunt de snelheidsvector. Deze vorm van uitvoer is zeer overzichtelijk; direct is een overzicht te krijgen van grootte en richting van de snelheid. Alle originele plots zijn verzameld in één exemplaar Bijlage C; verkleiningen van de plots zijn als Bijlage A-IV bij elke afdruk van het rapport gevoegd.

T₀-model

Gezien het doel van de T₀-berekening, worden hiervan geen plots gemaakt. Controle van het rekenmodel en vergelijking met Burger's berekening kunnen heel goed zonder plots geschieden.

De zes T₀-plots, die Burger heeft gemaakt, worden trouwens wel bij dit rapport afgedrukt.

T₁-model

Om het budget enigszins te beperken en omdat de plots nogal prijzig zijn, is getracht niet van de gehele berekeningsgang plots uit te voeren, maar alleen van de voor ons belangrijke fasen in het getij. We zijn vooral geïnteresseerd in de maximale absolute waarden van de snelheden. Het moment van optreden is te schatten uit onze T₀-berekening, Burger's plots en uit een beschouwing van het dominerende dubbeldaags getij M₂.

Getracht is om 3 plots, met 1 uur tussenruimte, van de snelheden te maken rond elk moment van maximale vloed- en ebstroom, te weten t = 3,9,15 en 21 uur. Voor een gehele getijperiode zouden dit 12 plots zijn.

Dit bleek echter in de huidige opzet van het programma niet mogelijk te zijn. Na een plot-opdracht blijft het programma plots uitvoeren met het oorspronkelijk opgegeven tijdsinterval tot de berekening wordt gestopt.

De plot-uitvoer kan dus niet tijdelijk worden gestopt.

Het resultaat was dat er plots zijn uitgevoerd voor elk heel uur.

Vanwege de overzichtelijkheid zijn de snelheidsvectoren niet voor elk rekenpunt getekend, maar met een tussenruimte van 2 lengtestappen.

T₂-model

De plotter van het rekencentrum kan maximaal per berekening 10.000 "punch

records" verwerken, waarvan er naar schatting voor één snelheidsvector 3 nodig zijn. Dit stelt dus een grens aan het aantal plots en/of het aantal snelheidsvectoren per plot.

Na beschouwing van de T_1 -berekening zijn zeker plots nodig op de tijden $t = 3, 9, 15, 17, 21$ en 23 uur. Tevens rekening houdend met de bij het vorige model genoemde overwegingen is besloten om plots uit te voeren op de on-even uren vanaf $t = 0$, dus totaal 13 plots.

Om het aantal vectoren per plot nog wat te reduceren, worden alle plot-punten van de buitenste rand en een aantal in de noordhoek weggelaten. Het gebied rondom het project, Eurogeul, Waterweg en langs de kust wordt ongemoeid gelaten.

De definitieve berekening begon om niet te achterhalen redenen pas te plotten bij $t = 15$ uur. Gelukkig waren er nog plots voor $t = 1$ t/m 11 uur van een vroegere T_2 -berekening, die na 11 uur was afgebroken wegens het overschrijden van de toen gestelde maximale rekentijd. Het missen van alleen plot 13 was geen reden om de gehele berekening à raison van f. 1000,- te herhalen. Te meer daar wel de complete print-uitvoer aanwezig is.

T_3 -model

Voor dit model, het meest gedetailleerde en voor ons meest interessante, zouden plots op elk uur wel op zijn plaats zijn. De grens van maximaal 10.000 punch records geldt echter ook hier. Daarom worden hier, net als bij het T_2 -model, 13 plots gemaakt, waarin nog een aantal punten zijn weggelaten.

De plots verschaffen naast de maximale snelheden ook een indruk van het verloop in de tijd van de getijstroom in combinatie met de rivierafvoer. De eerste berekening is na 21 uur afgebroken wegens het overschrijden van de toen gestelde maximale rekentijd. I.v.m. de kosten is er toen een berekening gemaakt van slechts 25 uur, waarbij we de uitvoer vanaf 21 uur gebruiken als aanvulling van onze afgebroken berekening. Beide uitvoeren van $t = 21$ uur zijn nagenoeg gelijk, zodat we mogen verwachten, dat een inspeeltijd van 21 uur ook voldoende is.

3.3.3. Opmerkingen n.a.v. de plots.

a. Het idee om naast de snelheidscomponenten u en v ook de grootte van de

snelheid $\sqrt{u^2 + v^2}$ en eventueel de richting af te drukken, zo de print-uitvoer overzichtelijker te maken en om daarmee het aantal plots te kunnen reduceren, was niet direct uitvoerbaar. Voor het plotten van de snelheidsvectoren wordt n.l. geen gebruik gemaakt van lengte en richting, maar van x- en y-componenten.

- b. De schuine getrokken lijnen dwars door plots T_2-9 en 21 zijn geen plot- of andere fouten, maar worden veroorzaakt doordat links in de plot de snelheidsvectoren zo groot zijn, dat ze buiten de rand vallen. Er wordt dan in het betreffende punt de grootte van de vector als getal geplot plus de schuine lijn volgens de richting van de vector.

3.3.4. Omrekening van doodtij-resultaten naar springtij en gemiddeld tij.

Basis van de berekeningen zijn getijmetingen van 1 t/m 5 september 1975. Volgens de "Getijtafels voor Nederland 1975" [7] is dat een periode van doodtij, waarvoor was voorspeld voor H.v.H. t.o.v. N.A.P.:

gemiddeld HW	+ 0,86 m
gemiddeld LW	- 0,65 m
gemiddeld tijverschil	1,50 m

Uit onze getijberekening T_3 vinden we voor deze periode van doodtij:

gemiddeld HW	+ 0,76 m
gemiddeld LW	- 0,71 m
gemiddeld tijverschil	1,47 m

De gemiddelde getijkromme voor H.v.H. levert:

gemiddeld HW	+ 1,00 m
gemiddeld LW	- 0,71 m
gemiddeld tijverschil	1,71 m

Uit de getijtafel voor 1975 kunnen de volgende waarden voor het gemiddeld springtij bij H.v.H. worden gehaald:

HW	+ 1,26 m
LW	- 0,89 m
tijverschil	2,14 m

De resultaten van deze berekeningen gelden voor een periode van doodtij. Een groter getijverschil gaat, bij verder gelijk blijvende omstandigheden, gepaard met grotere stroomsnelheden.

Voor de beoordeling van nautische problemen en de berekening van golfbrekers en morphologische processen zijn de stroomsnelheden van belang zoals ze optreden in perioden van springtij en gemiddeld tij.

Onderzocht zal worden of de maximale stroomsnelheden, optredend bij doodtij, op een simpele wijze d.m.v. vermenigvuldigingsfactoren omgezet kunnen worden in maximale snelheden bij springtij en gemiddeld tij.

Voor een algemene beschouwing omtrent de invloed van de verschillende termen van de bewegingvergelijkingen en continuïteitsvergelijking wordt verwezen naar hoofdstuk 4.2. en de bijbehorende bijlagen.

Op het moment van maximale stroomsnelheid kan de bewegingsvergelijking (2.1.4) in de stroomrichting worden geschreven als:

$$u \frac{\partial u}{\partial x} + g \frac{\partial h}{\partial x} + g \frac{u |u|}{c^2 D} = 0;$$

de x-as is langs de stromingsrichting genomen, dus v en diens gevolgde termen $v \frac{\partial u}{\partial y}$ en Ωv zijn dan gelijk aan nul.

Op het moment van maximale u is de traagheidsterm $\frac{\partial u}{\partial t} = 0$.

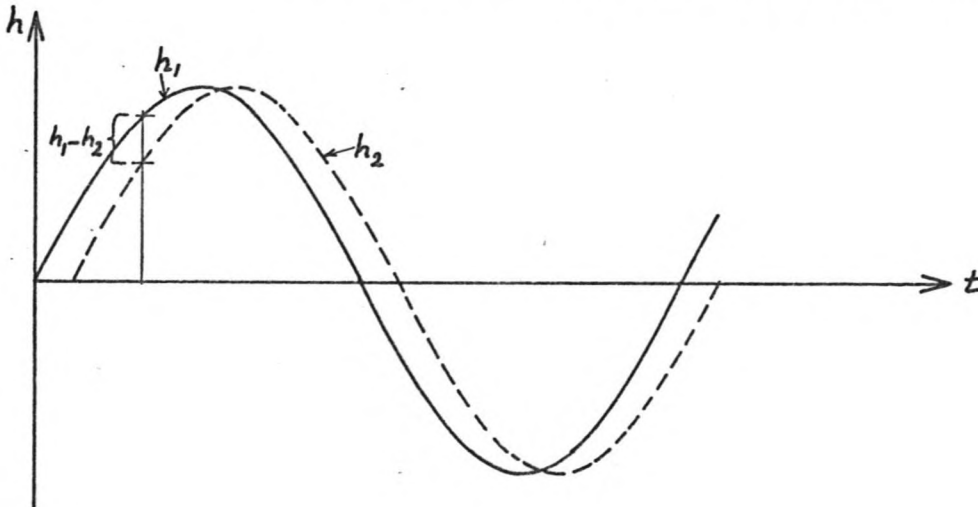
Als we nu de relatief geringe invloed van de convectieve term $u \frac{\partial u}{\partial x}$ buiten beschouwing laten, resteert als bewegingsvergelijking

$$\frac{\partial h}{\partial x} + \frac{u |u|}{c^2 D} = 0$$

Het verval tussen 2 punten op afstand $L_{1,2}$ als gevolg van de weerstandsterm kan geschreven worden als:

$$h_1 - h_2 = \frac{u |u|}{c^2 D} L_{1,2}$$

Verder nemen we aan, dat bij vergroting van het tijverschil een evenredige vergroting van de ordinaten van de h-t-krommen optreedt zonder faseverschuiving en zonder vervorming, behoudens het steiler worden van de krommen.



De waarde voor $h_1 - h_2$ op een bepaald tijdstip, en dus ook de waarde voor $u|u|$, zijn dan evenredig met het tijverskil. Of in formulevorm:

$$\text{max. stroomsnelheid} = \text{constante} * \sqrt{\text{getijverschil.}}$$

Onder bovengenoemde aannamen kunnen nu de factoren bepaald worden, waarmee de reeds bepaalde stroomsnelheden bij doodtij vermenigvuldigd moeten worden, om de snelheden bij gemiddeld tij en springtij te berekenen:

$$v_{\text{springtij}} = \sqrt{\frac{214}{147}} \cdot v_{\text{doodtij}} = 1,21 \cdot v_{\text{doodtij}}$$

$$v_{\text{gem. tij}} = \sqrt{\frac{171}{147}} \cdot v_{\text{doodtij}} = 1,08 \cdot v_{\text{doodtij}}$$

De beschouwing in hoofdstuk 4.2 leert echter, dat vooral voor dieper water de weerstandsterm van minder belang is.

Een ander uitgangspunt kan dan zijn, dat $\frac{\partial h}{\partial t}$ evenredig is met $\frac{\partial u}{\partial x}$ op hetzelfde moment. De continuïteitsvergelijking voor een één-dimensionale stroming kan n.l., door de waterdiepte D als constant aan te nemen, worden vereenvoudigd tot:

$$\frac{\partial h}{\partial t} + D \frac{\partial u}{\partial x} = 0.$$

Ook nu wordt weer aangenomen, dat bij vergroting van het tijverschil en van de maximale stroomsnelheden bij eb en vloed een evenredige vergroting van de ordinaten van de h-t kromme resp. de u-t kromme optreedt, zonder faseverschuiving en zonder vervorming. $\frac{\partial h}{\partial t}$ is dan evenredig met het tijverschil en $\frac{\partial u}{\partial x}$ met u_{max} . Dus:

$$\text{max. stroomsnelheid} = \text{constante} * \text{getijverschil.}$$

De vermenigvuldigingsfactoren kunnen dan weer worden bepaald

$$v_{\text{springtij}} = \frac{214}{147} \cdot v_{\text{doodtij}} = 1,46 \cdot v_{\text{doodtij}}$$

$$v_{\text{gem. tij}} = \frac{171}{147} \cdot v_{\text{doodtij}} = 1,16 \cdot v_{\text{doodtij}}$$

Beide benaderingen leveren vermenigvuldigingsfactoren op, die relatief weinig van elkaar verschillen, n.l., voor springtij ca. 17 % en voor gemiddeld tij ca. 7 %.

Voor het verkrijgen van bruikbare praktijkwaarden is het dus verantwoord om het gemiddelde van beide benaderingen te nemen:

$$v_{\text{springtij}} = \frac{1,46 + 1,21}{2} \cdot v_{\text{doodtij}} = 1,34 \cdot v_{\text{doodtij}}$$

$$v_{\text{gem. tij}} = \frac{1,16 + 1,08}{2} \cdot v_{\text{doodtij}} = 1,12 \cdot v_{\text{doodtij}}$$

3.4. Commentaar op programma TIDES.

- a. Het programma TIDES biedt de mogelijkheid om op een bepaald moment tijdens of aan het einde van een berekening de totale toestand weg te schrijven in een achtergrondgeheugen en deze later weer te gebruiken als beginvoorwaarde voor een nieuwe berekening. Dit is vooral nuttig bij lange, uitgebreide en dus dure berekeningen. Als er dan iets mis gaat, of er moet iets in veranderd worden, dan kan eventueel rekentijd worden bespaard door een tussentijds resultaat als start te laten dienen voor de verbeterde berekening.

Het kan gewenst zijn om op elk moment van de berekening bovenstaande procedure te kunnen uitvoeren.

Momenteel kan dit echter alleen maar voor een moment, dat in de berekening wordt gestart met het begin van een lijst of cyclus van randvoorwaarden, hetgeen een ernstige beperking van de mogelijkheden is.

- b. Het moet mogelijk zijn om het maken van plots te stoppen en later te vervolgen, om zodoende alleen plots te verkrijgen op en rondom eventueel te voorspellen kritieke of anderszins interessante momenten.

Plots zijn n.l. nogal duur.

Een andere reden is de praktische omstandigheid, dat de plotprocedure max. ca. 10.000 punch records kan verwerken, waarvan er ca. 3 nodig zijn voor elk punt waar een snelheidsvector geplott moet worden. Er is dus een praktisch bereikbaar maximum gesteld aan het aantal plots en/of het aantal punten.

Bijvoorbeeld in onze T_1 -berekening, met t.o.v. het T_2 - en T_3 -model nog een bescheiden aantal punten, wilden we om de 2 stappen in x- en y-richting, d.w.z. in 326 punten, de snelheidsvectoren plotten om het uur en gedurende één getijperiode van 25 uur. Dit zou ca. $326 \times 25 \times 3 = 24450$ punch records vereisen; dus meer dan twee maal te veel.

Op dit moment is zo'n probleem alleen op te lossen door:

1. het aantal te behandelen punten te verminderen,
2. het aantal plots te verminderen door met grotere tussenpozen te laten plotten,
3. een berekening meerdere keren uit te voeren en iedere keer over een andere periode te laten plotten,
4. een combinatie van 1,2 en 3.

4. INTERPRETATIE VAN DE BEREKENINGSRESULTATEN.

4.1. Betrouwbaarheid van de modellen.

Om de betrouwbaarheid van de resultaten van de twee-dimensionale getijberekeningen met een gewijzigde kust te kunnen beoordelen, is het noodzakelijk, dat het T_0 -model wordt geijkt aan de bestaande situatie.

Series waarnemingen van waterhoogten en snelheden in meetpunten, die binnen het T_0 -model vallen en door Rijkswaterstaat gedaan van 1 t/m 5 september 1975, zijn door Burger vergeleken met de berekeningsresultaten in de overeenkomstige punten van het model. Die berekeningen zijn uitgevoerd met randvoorwaarden, die weer bepaald zijn uit metingen ook uit de periode 1 t/m 5 september 1975. Het resultaat van de vergelijking was bevredigend. De waterhoogten kwamen zeer goed overeen. De berekende snelheden waren weliswaar iets groter (tot ca. 10 %) dan de gemeten snelheden, maar alleen al in het meten van de snelheden op zee kan gemakkelijk een fout van 10 % gemaakt worden.

Bij veel snelheidsmetingen wordt n.l. van te voren geschat op welke diepte de snelheid gelijk zal zijn aan de gemiddelde snelheid en wordt daarna de snelheidsmeter op die diepte gebracht voor een waarneming. Het niveau van bodem en waterspiegel en het snelheidsprofiel moeten dan bekend zijn. Fouten in de waarnemingsdiepte van bv. 1 m zijn licht gemaakt en kunnen ook heel goed resulteren in systematische fouten in de snelheidsmetingen van 10 %. De conclusie was dus gerechtvaardigd, dat het T_0 -model geacht wordt de bestaande situatie wat betreft C-waarde, bodem- en kustconfiguratie, randvoorwaarden, e.d., goed weer te geven. Bij de harmonische componenten M_0 , M_1 , M_2 en M_4 , die als randvoorwaarden dienen, zijn dus geen belangrijke getijcomponenten verwaarloosd.

Ook de gewijzigde toestand in het $T_{1,2,3}$ -model zal dus waarschijnlijk redelijk betrouwbaar worden berekend.

Bij de hier doorgevoerde verfijning van de maaswijdte moet men zich wel realiseren, dat slechts enkele factoren, zoals bodemconfiguratie en de vorm van dammen, nauwkeurig kunnen worden benaderd. Factoren als randvoorwaarden en bodemwrijving worden door verfijning niet betrouwbaarder.

Een groot voordeel is wel dat we in de uitvoer tot een sterkere differentiatie naar plaats kunnen komen.

De waarde van deze ver doorgevoerde verfijning (van 1600 tot 200 m) zou eventueel eens moeten worden getoetst aan metingen in werkelijkheid of in een fysisch model.

De berekeningsresultaten langs de randen zijn niet betrouwbaar. Als randvoorwaarden worden waterhoogten opgegeven als harmonische componenten. Het programma neemt zelf nog 1 of 2 vaste randvoorwaarden aan. Bv. op een rand evenwijdig aan de x-as is $\frac{\partial u}{\partial y} = \frac{\partial v}{\partial y} = 0$ nodig voor het rekenproces, hetgeen niet met de werkelijkheid behoeft te stroken.

Een oplossing voor dit probleem kan gevonden worden door de randen verder weg te kiezen en bv. over 5 maaslangten hetzelfde bodemprofiel in te voeren.

Uit de plots blijkt duidelijk, dat de berekeningen in de buurt van de randen en bij de scherpe overgangen van de doorgaande wanden aan storingen onderhevig zijn.

Ook de resultaten in de rivier zien er niet zo betrouwbaar uit, ook niet bij het T_3 -model, waar de rivier toch 8 mazen breed is. De in het schema als getrapte doorgaande wanden weergegeven oevers hebben kennelijk een storende invloed. Dit is echter geen bezwaar, daar het onderzoek gericht is op het verkrijgen van resultaten buiten de monding.

4.2. Invloed van de termen van de differentiaalvergelijkingen.

De invloed van de verschillende termen van de bewegingsvergelijkingen en continuïteitsvergelijking is door Burger onderzocht in 2 punten. Punt (7,24) van zijn T_0 -model ligt in volle zee met over een behoorlijk gebied een gelijkmatig bodemprofiel met een diepte van ca. 22 m; de stroomlijnen zijn daar nagenoeg recht. Het andere punt is (15,22) van het T_1 -model; de diepte is daar ca. 16 m en de stroomlijnen zijn daar licht gekromd door de invloed van een golfbreker op ca. 3 km afstand.

De bewuste termen zijn door Burger bepaald met uitvoer om het halve uur voor h , u en v uit een TIDES-berekening over een totale periode van 12 uur. Het verloop in de tijd van h , u en v en de termen van de bewegingsvergelijkingen en continuïteitsvergelijking zijn door Burger geschetst in Bijlagen A-VII-4 t/m 10 voor T_0 -(7,24) en in Bijlagen A-VII-14 t/m 20 voor punt T_1 -(15,22). Een samenvatting van deze schetsen is te vinden in de tabellen van Bijlagen A-VII-11 en A-VII-21. Hierin zijn de termen van de bewegingsvergelijkingen weergegeven als vervallen in mm over de lengte van één maas van het netwerk, dus 1600 m.

De conclusies t.a.v. de invloed van de afzonderlijke termen worden hieronder

samengevat. Daarbij worden o.a. de extreme waarden met elkaar vergeleken door ze uit te drukken als percentage van de tijdsafgeleide van de snelheid.

Punt T₀-(7,24) - rechte stroomlijnen.

Bewegingsvergelijking in y-richting (2.1.5); N.O.→Z.W.; ≈ stroomrichting:

1. $\frac{\partial v}{\partial t}$ invloed belangrijk; door de keuze van het assenstelsel is $v > u$, maar met eenzelfde periodieke verloop, dus $\frac{\partial v}{\partial t} > \frac{\partial u}{\partial t}$ (ca. factor 2).
2. $u \frac{\partial v}{\partial x}$ zeer geringe invloed; ca. 2 % van $\frac{\partial v}{\partial t}$; door combinatie van zeer kleine $\frac{\partial v}{\partial x}$ met vrij kleine u .
3. $v \frac{\partial v}{\partial y}$ invloed relatief klein, ca. 11 % van $\frac{\partial v}{\partial t}$.
4. $-\Omega u$ doordat u veel kleiner is dan v , is de Coriolisterm hier minder groot dan voor de bewegingsvergelijking in x-richting; invloed toch nog aanzienlijk, ca. 30 % van $\frac{\partial v}{\partial t}$.
5. $g \frac{\partial h}{\partial y}$ door de grotere snelheid in de y-richting is het verval hier ook groter dan in de x-richting; de term heeft een overheersende invloed op de bewegingsvergelijking; ca. 128 % van $\frac{\partial v}{\partial t}$.
6. $f \frac{v\sqrt{u^2+v^2}}{D}$ ca. 64 % van $\frac{\partial v}{\partial t}$; toch nog vrij belangrijke invloed door grootte van v .

Bewegingsvergelijking in x-richting (2.1.4); N.W.→Z.O.:

1. $\frac{\partial u}{\partial t}$ invloed belangrijk; ca. 47 % van $\frac{\partial v}{\partial t}$.
2. $u \frac{\partial u}{\partial x}$ invloed erg klein; stroomlijnen nagenoeg recht, dus $\frac{\partial u}{\partial x}$ erg klein; ca. 2 % van $\frac{\partial u}{\partial t}$.
3. $v \frac{\partial u}{\partial y}$ relatief kleine invloed, ca. 10 % van $\frac{\partial u}{\partial t}$; gevolg van kleine $\frac{\partial u}{\partial y}$.
4. Ωv de Coriolisterm speelt een belangrijke rol in de bewegingsvergelijking; ca. 174 % van $\frac{\partial u}{\partial t}$.
5. $g \frac{\partial h}{\partial x}$ belangrijkste term in de bewegingsvergelijking, ca. 242 % van $\frac{\partial u}{\partial t}$; de functie heeft een regelmatig verloop.
6. $f \frac{u\sqrt{u^2+v^2}}{D}$ de invloed van de weerstandsterm is niet groot, ca. 35 % van $\frac{\partial u}{\partial t}$; dit is een gevolg van de, t.o.v. de golfhoogte, grote diepte van 22 m en de vrij kleine u .

Samenvattend kan worden geconcludeerd, dat behalve de termen 1. en 5. van de

bewegingsvergelijkingen, de termen 4. en 6. toch ook een vrij bepalende rol spelen. De zogenaamde convectieve termen 2. en 3. zijn, zoals te verwachten bij een min of meer rechtlijnig stroombeeld, relatief onbelangrijk voor de beschrijving van de waterbeweging.

Continuïteitsvergelijking (2.1.6):

Bij de continuïteitsvergelijking kunnen de volgende opmerkingen geplaatst worden.

Geen der termen kan bij deze keuze van het assenstelsel worden verwaarloosd. De extreme waarden van de termen worden vergeleken en uitgedrukt in percentages van de grootste, n.l. $D \frac{\partial v}{\partial y}$.

1. $\frac{\partial h}{\partial t}$ ca. 32 % van $D \frac{\partial v}{\partial y}$.

2. $D \frac{\partial u}{\partial x}$ ca. 28 % van $D \frac{\partial v}{\partial y}$; verloop van $D \frac{\partial u}{\partial x}$ is vrijwel gelijkvormig met $\frac{\partial u}{\partial x}$, doordat $D (=h-z_0)$ slechts weinig fluctueert in de tijd.

3. $u \frac{\partial D}{\partial x} = u \left(\frac{\partial h}{\partial x} + \frac{\partial z_0}{\partial x} \right)$; ca. 34 % van $D \frac{\partial v}{\partial y}$; de verandering van de bodemligging in x-richting $\frac{\partial z_0}{\partial x}$ is constant in de tijd; de verandering van de waterhoogte in de x-richting $\frac{\partial h}{\partial x}$ heeft hier altijd een waarde die klein is t.o.v. $\frac{\partial z_0}{\partial x}$; dus $\frac{\partial D}{\partial x}$ is vrijwel constant in de tijd; dit verklaart dat de kromme van $u \frac{\partial D}{\partial x}$ vrijwel gelijkvormig is met die van u .

4. $D \frac{\partial v}{\partial y}$ verloopt vrijwel gelijkvormig met $\frac{\partial v}{\partial y}$; dit is de term met de grootste extreme waarde.

5. $v \frac{\partial D}{\partial y}$ ca. 62 % van $D \frac{\partial v}{\partial y}$; omdat $\frac{\partial D}{\partial y}$ hier een vrijwel constante negatieve waarde heeft, is het verloop van $v \frac{\partial D}{\partial y}$ gelijkvormig aan de negatieve v-kromme.

Punt $T_1-(15,22)$ - gekromde stroomlijnen.

Voor punt $T_1-(15,22)$ met geringere diepte (16 m) en gekromde stroomlijnen valt waar te nemen, dat de convectieve termen $v \frac{\partial u}{\partial y}$ en $u \frac{\partial v}{\partial x}$, aanzienlijk groter zijn dan bij punt $T_0-(7,24)$.

De extreme waarden van de afzonderlijke termen uit de differentiaalvergelijkingen worden weer met elkaar vergeleken.

Bewegingsvergelijking in y-richting (2.1.5); N.O.→Z.W.:

1. $\frac{\partial v}{\partial t}$ invloed belangrijk; ook hier $v > u$, dus $\frac{\partial v}{\partial t} > \frac{\partial u}{\partial t}$ (ca. factor 1,7).
2. $u \frac{\partial v}{\partial x}$ ca. 27 % van $\frac{\partial v}{\partial t}$.
3. $v \frac{\partial v}{\partial y}$ ca. 9 % van $\frac{\partial v}{\partial t}$.
4. $-\Omega u$ ca. 40 % van $\frac{\partial v}{\partial t}$.
5. $g \frac{\partial h}{\partial y}$ ca. 137 % van $\frac{\partial v}{\partial t}$.
6. $f \frac{v\sqrt{v^2+u^2}}{D}$ ca. 58 % van $\frac{\partial v}{\partial t}$.

Bewegingsvergelijking in x-richting (2.1.4); N.W.→Z.O.:

1. $\frac{\partial u}{\partial t}$ invloed belangrijk; ca. 60 % van $\frac{\partial v}{\partial t}$.
2. $u \frac{\partial u}{\partial x}$ ca. 4 % van $\frac{\partial u}{\partial t}$.
3. $v \frac{\partial u}{\partial y}$ ca. 30 % van $\frac{\partial u}{\partial t}$.
4. Ωv ca. 113 % van $\frac{\partial u}{\partial t}$.
5. $g \frac{\partial h}{\partial x}$ ca. 363 % van $\frac{\partial u}{\partial t}$.
6. $f \frac{u\sqrt{u^2+v^2}}{D}$ ca. 48 % van $\frac{\partial u}{\partial t}$.

Continuïteitsvergelijking (2.1.6):

De extreme waarden van de termen worden vergeleken en uitgedrukt in percentages van de grootste, n.l. $D \frac{\partial v}{\partial y}$.

1. $\frac{\partial h}{\partial t}$ ca. 60 % van $D \frac{\partial v}{\partial y}$.
2. $D \frac{\partial u}{\partial x}$ ca. 64 % van $D \frac{\partial v}{\partial y}$.
3. $u \frac{\partial D}{\partial x}$ ca. 69 % van $D \frac{\partial v}{\partial y}$.
4. $D \frac{\partial v}{\partial y}$ grootste term.
5. $v \frac{\partial D}{\partial y}$ ca. 23 % van $D \frac{\partial v}{\partial y}$.

Bij dit stroombeeld met gekromde stroomlijnen hebben inderdaad de convectieve termen $v \frac{\partial u}{\partial y}$ en $u \frac{\partial v}{\partial x}$ uit de bewegingsvergelijkingen een aanzienlijke invloed en kunnen dus zeker niet verwaarloosd worden.

5. CONCLUSIES.

5.1. Algemeen.

In dit hoofdstuk worden uit verschillende berekeningsresultaten conclusies getrokken t.a.v. de punten, waarvoor de berekeningen zijn opgezet. Tevens zal worden getracht om aan te geven, welke waarde aan die conclusies kan worden gehecht.

De berekeningen zijn uitgevoerd voor een periode van doodtij. Indien er in dit hoofdstuk waarden voor de snelheden worden gegeven zonder enige toevoeging, dan worden ze geacht te gelden voor doodtij. Snelheden bij gemiddeld of springtij krijgen een aparte vermelding. In hoofdstuk 3.3.4 is uiteengezet hoe de snelheden bij doodtij kunnen worden omgezet voor springtij of gemiddeld tij.

Het dominerende dubbeldaags getij heeft, zoals voor de berekeningen is ingevoerd, een fasehoek van 301° bij H.v.H. (zie Bijlagen A-I-19 en A-II-1). Dit betekent, dat H.W.-H.v.H. in de berekeningen wordt verwacht omstreeks de tijden $t = \frac{301}{360} \cdot 12,5 \text{ uur} = 10,45 \text{ uur}$ en $t = 10,45 + 12,5 = 22,95 \text{ uur}$.

Voor L.W.-H.v.H. zijn die tijden $t = 10,45 - 6,25 = 4,20 \text{ uur}$ en $t = 10,45 + 6,25 = 16,70 \text{ uur}$.

Uit de print-uitvoer van berekende waterhoogten blijkt voor alle modellen H.W.-H.v.H. op te treden omstreeks $t = 10$ en $t = 23$ uur en L.W.-H.v.H. omstreeks $t = 5$ en $t = 17$ uur.

Deze noodgedwongen op hele uren afgeronde tijden stemmen goed overeen met de verwachte waarden.

De tijd $t = 23$ uur levert de hoogste waarde voor het hoogwater en wordt als "H.W.-H.v.H." in de plots vermeld.

5.2. Vergelijking van T_0 -print-output met die van Burger.

Bij vergelijking van de gedrukte uitvoer van de T_0 -berekening met die van Burger blijkt het algemene beeld, voor wat betreft waterhoogten en stroomsnelheden, goed overeen te stemmen. Buiten de gebieden, waarvoor in deze berekening de invoergegevens enigszins zijn veranderd, dus buiten de directe omgeving van de Maasvlakte en de monding van de Nieuwe Waterweg, zijn de snelheden op vergelijkbare tijden praktisch gelijk. In de waterhoogten is in het geheel

geen verschil te constateren.

We mogen dus concluderen, dat onze berekeningsopzet juist is geweest.

De betere benadering van de configuratie van de Maasvlakte heeft tot gevolg, dat het stroombeeld rondom de Maasvlakte wat regelmatiger is geworden. De stroomsnelheden zijn wat beter in overeenstemming met die in de omgeving; plaatselijk voorkomende onverwacht hoge waarden van 0,6 m/s zijn in de nieuwe berekening teruggebracht tot 0,2 m/s.

De invloed van het in de Nieuwe Waterweg als randvoorwaarde ingevoerde periodieke debiet is uiteraard in de mond het sterkst merkbaar, de maximale stroomsnelheden gaan daar in het model omhoog van 0,09 m/s tot 0,35 m/s. De invloed van de rivier is in het model merkbaar tot 10 à 15 km uit de kust, met een vrij geringe uitwaaiering. De snelheidscomponent in x-richting is daar nog 0,05 m/s groter. Aangezien de y-component van de snelheid enkele malen groter is dan de x-component, resulteert dit dus hoofdzakelijk in een lichte verdraaiing van de snelheidsvectoren.

5.3. Vergelijking van T_1 - en T_0 -model.

Voor beide berekeningen zijn de resultaten nabij de randen identiek. Slechts in de oostelijke hoek is er tussen de 2 modellen een verschil in enkele waarden voor de snelheden van maximaal 0,02 m/s. We mogen dus concluderen, dat de grenzen van ons T_1 -model ver genoeg van het geplande project verwijderd zijn om daar als randvoorwaarde voor de berekening een bestaande, bekende toestand in te mogen voeren, dus ook de randvoorwaarden van het T_0 -model.

Het aanbrengen van de golfbrekers en strandbogen in de configuratie heeft geen invloed op de waterstanden en de x-componenten van de snelheden in het gehele model, verder niet op de stroming langs de Maasvlakte en op de dwars-snelheid in de Eurogeul, behalve direct in de mond. Daar is bij de ebstroom een ca. 8 % vergroting van de dwarsstroom (van 0,51 m/s tot 0,55 m/s; springtij) berekend en bij de vloedstroom een ca. 13 % verkleining (van 0,64 m/s tot 0,56 m/s; springtij).

De maximale snelheden langs de golfbrekers van het "vaste punt" zijn t.g.v. de vloedstroom groter dan bij de ebstroom, n.l. 0,88 m/s tegen 0,63 m/s (bij

springtij). De invloed van deze dammen strekt zich bij de vloedstroom uit tot 4 km in zee; op die afstand is nog een verhoging van de snelheid merkbaar van 0,48 m/s tot 0,53 m/s (ca. 10 %).

Door de grove schematisatie lenen deze modellen zich alleen voor globale indrukken en onderlinge vergelijking. In de buurt van de kust mag aan de waarden voor de snelheid niet veel waarde worden gehecht, aangezien de berekende snelheden gemiddelden zijn over een breedte van 1600 m (zie fig. 5.1).

Kwantitatieve conclusies omtrent plaatselijke snelheden kunnen beter uit de volgende modellen worden getrokken.

5.4. Beschouwing T₂-berekening.

De schematisatie van de aan te leggen dammen en strandbogen is ook in dit model nog niet bruikbaar om de snelheden er langs te bepalen (zie fig. 5.2). Het model leent zich wel tot een beschouwing van de nautische gevolgen in de Eurogeul en het algemene stromingsbeeld in een strook van 4 km langs de kust met daarin de hoofdvorm van het project.

Het stroombeeld is zodanig vloeiend, dat de golfbrekers van de jachthaven geen uitzonderlijk obstakel vormen, de stroomsnelheden zijn daar ongeveer gelijk aan die voor de Maasvlakte en om de kop van de Noorderdam. Verder is duidelijk, dat de getijstroom geen aanval van betekenis doet op de ontworpen strandbogen. Er is dus voorlopig geen reden om de vorm van het project te wijzigen.

In dit model wordt in de geplote snelheidsvectoren de invloed duidelijk zichtbaar van het variabele rivierdebiet.

De maximale dwarsstroom in de aanvaargeul treedt op tijdens de vloedstroom.

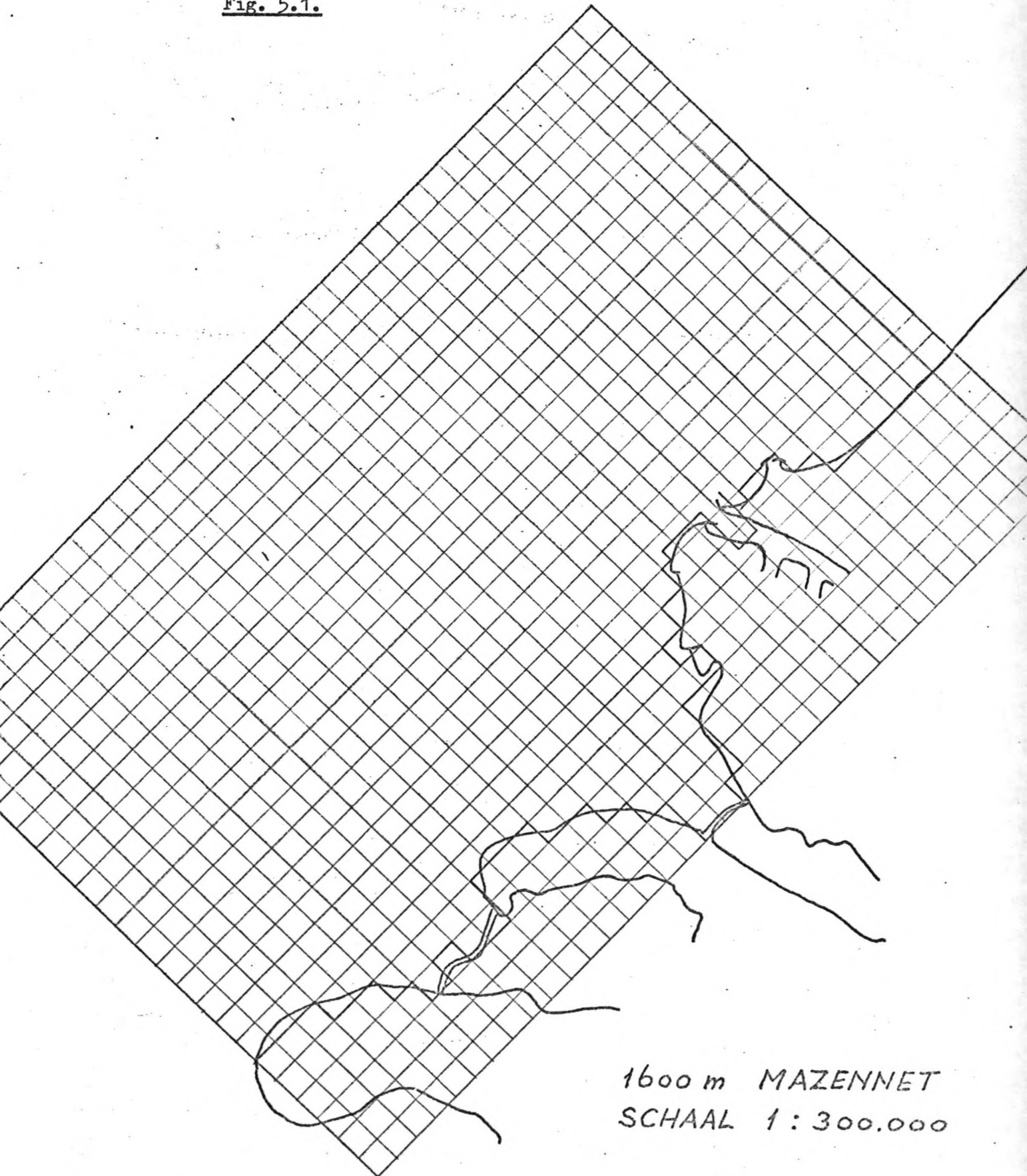
Overzicht van maximale stroomsnelheden in m/s.

	Doodtij		Springtij	
	Eb	Vloed	Eb	Vloed
dwarsstroom Eurogeul	0,50	0,45	0,67	0,60
dwarsstroom havenmond	0,40	0,65	0,54	0,87
langs golfbreker jachthaven	0,50	0,65	0,67	0,87
langs Noorderdam	0,25	0,68	0,34	0,91
langs Maasvlakte	0,59	0,69	0,79	0,92
uitgaande stroom in havenmond	0,75		1,00	

T₁ - MODEL

VERGELIJKING KUSTLIJN EN
SCHEMATISATIE

Fig. 5.1.



T₂ - MODEL

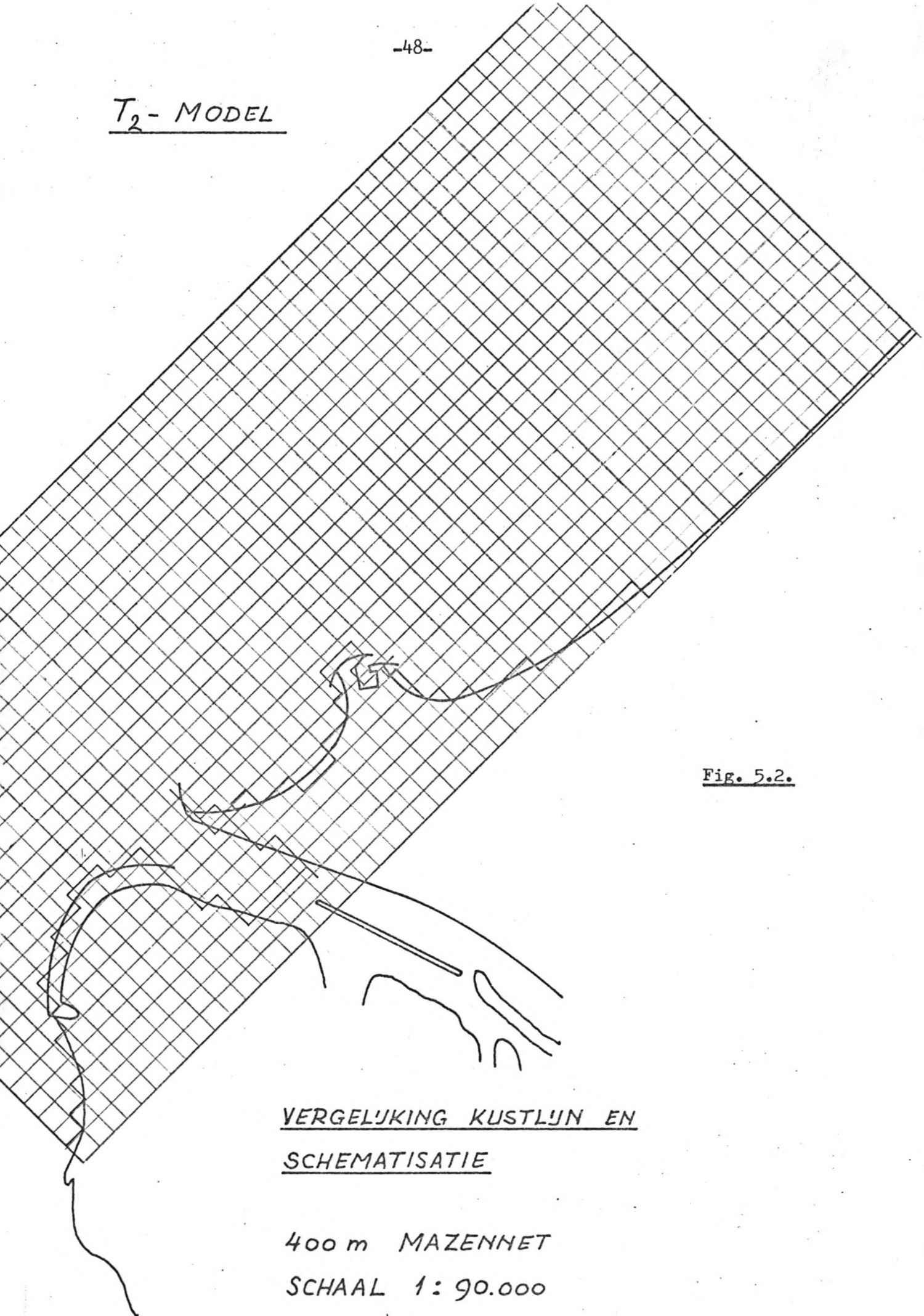


Fig. 5.2.

VERGELIJING KUSTLIJN EN
SCHEMATISATIE

400 m MAZENNET

SCHAAL 1: 90.000

5.5. Beschouwing T₃-berekening.

Uit het plotbeeld blijkt duidelijk, dat de Eurogeul nogal dicht bij de Z.W.-rand van het model ligt en dat door de randstoringen alleen voorzichtige conclusies t.a.v. het stroombeeld in de Eurogeul mogelijk zijn (fig. 5.3 en Bijlagen A-VI).

Het algemene stroombeeld is ook in dit model zeer acceptabel. De strandbogen liggen goed beschut en de verlengde Noorderdam levert geen problemen op. Slechts de stroomsnelheid langs de dam van het vaste punt is van 0,87 m/s opgelopen tot 1,01 m/s (springtij), maar hierbij moet wel rekening gehouden worden met het feit, dat de geplande vloeiende vorm voor de golfbrekers niet in het schema kan worden weergegeven.

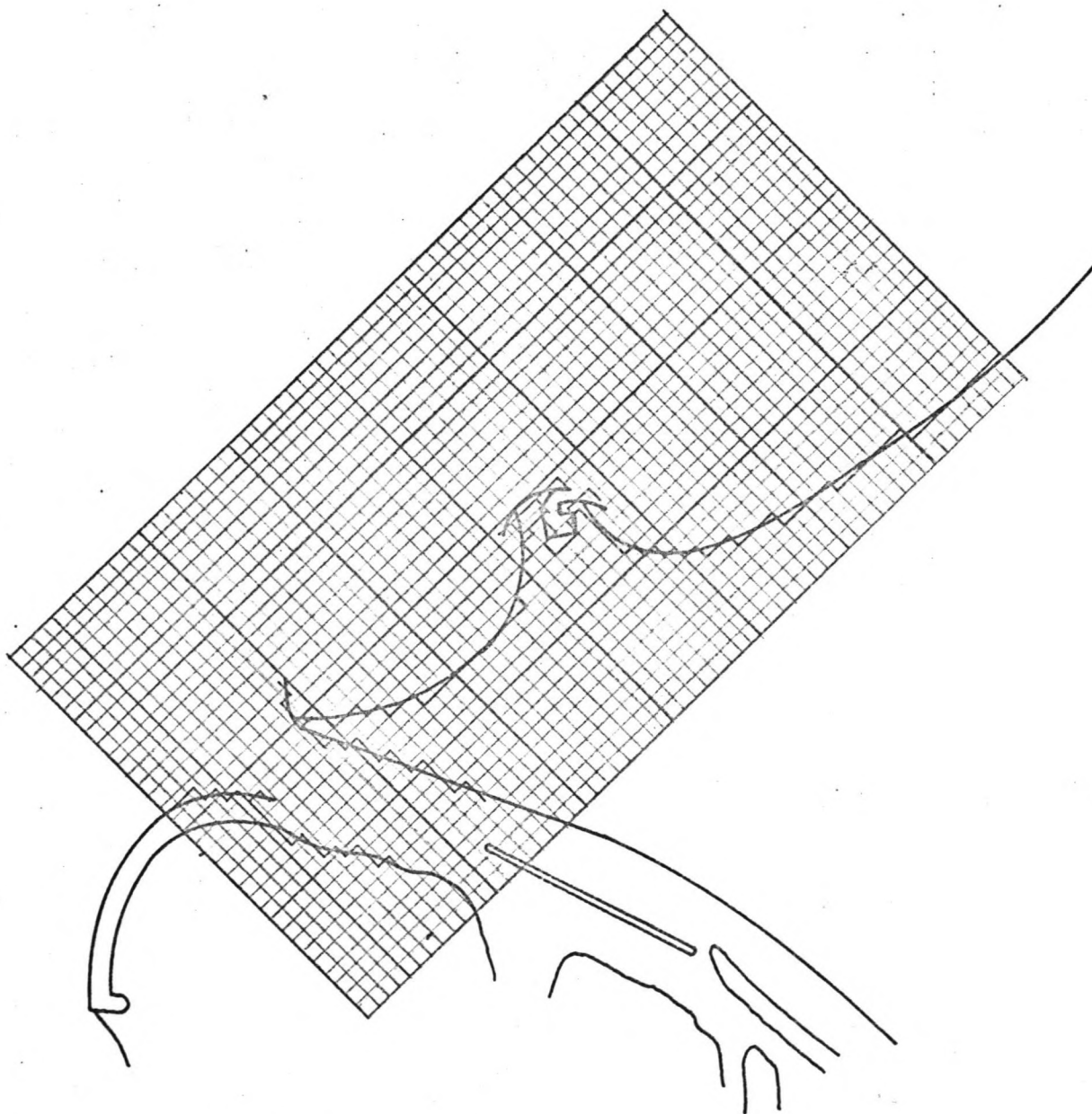
Overzicht van maximale stroomsnelheden in m/s.

	Doodtij		Springtij	
	Eb	Vloed	Eb	Vloed
dwaarsstroom jachthavenmond	0,43		0,58	
langs golfbreker jachthaven	0,70	0,75	0,94	1,01
langs Noorderdam	0,35	0,50	0,47	0,67
dwaarsstroom Eurogeul	0,48	0,53	0,64	0,71
dwaarsstroom havenmond		0,46		0,62
uitgaande stroom in havenmond	0,53		0,71	

T₃ - MODEL

VERGELIJKING KUSTLIJN EN
SCHEMATISATIE

Fig. 5.3.



200 m MAZENNET

SCHAAL 1:90.000

6. SLOTBESCHOUWINGEN.

6.1. Suggesties voor verder onderzoek.

In het kader van dit afstudeerdeelontwerp was niet voldoende tijd en geld beschikbaar om het vloeistofmechanica-aspect van het totale ontwerp volledig te onderzoeken.

T.a.v. de volgende punten zou een nader onderzoek gewenst zijn:

- a. Om de beste hoofdvorm van de landaanwinning te vinden kunnen meerdere getijberekeningen worden uitgevoerd bij verschillende mogelijke configuraties.
- b. Voor de juiste vorm en plaats van de dammen van de jachthaven en de verlenging van de Noorderdam zou een fysisch modelonderzoek moeten worden verricht.
- c. Een fysisch modelonderzoek zou ook op zijn plaats zijn voor het bepalen van de beste vorm van de haven, inclusief toegang.
- d. Het T_0 -model is gecontroleerd door de berekeningsresultaten te vergelijken met metingen over dezelfde periode van doodtij, waaruit ook de randvoorwaarden zijn bepaald. Na een eventuele aanpassing van het model zou een nieuwe controle moeten volgen door voor andere getijomstandigheden weer berekeningsresultaten te vergelijken met metingen. De hiervoor benodigde tweede serie meetresultaten was niet aanwezig.
- e. Dit zelfde gemis aan een tweede serie meetresultaten verhindert ook om een controle uit te voeren op de in paragraaf 3.3.4 bepaalde vermenigvuldigingsfactoren, die de snelheden bij doodtij moeten omzetten in waarden bij springtij en gemiddeld tij. De vermenigvuldigingsfactoren dienen eigenlijk bepaald te worden door nieuwe berekeningen uit te voeren met gemiddeld tij- en springtijgegevens.

6.2. Samenvatting van conclusies.

Uit de plots van snelheidsvectoren zijn voor het T_2 - en T_3 -model samenvattingen gemaakt van de maximaal optredende snelheden bij eb en vloed voor de volgende gebieden: - in de Eurogeul,

- langs de kustbogen,
- langs de kop van de Noorderdam,
- voor de mond van de jachthaven,
- langs de golfbrekers van het "vaste punt".

In fig. 6.1 en 6.2 zijn de globale richtingen van de snelheidsvectoren aangegeven met bijgeschreven de waarden voor de maximale snelheden bij doortij, gemiddeld tij en springtij.

De belangrijkste conclusies zijn:

- De maximale stroomsnelheid langs de kop van de Noorderdam is ca. 1,1 m/s (vloed - springtij).
- De stroomsnelheden langs de noordwestelijke golfbreker van het "vaste punt" zijn, zoals verwacht, vrij groot; bij springtij en vloed maximaal ca. 1,1 m/s en bij eb maximaal ca. 1,0 m/s.
- De strandbogen zijn dusdanig gunstig gesitueerd, dat de stroomsnelheden erlangs kleiner zijn dan de snelheden langs de oorspronkelijke kust tussen Monster en Kijkduin.
- In de Eurogeul blijkt het stroombeeld en dus de nautische situatie praktisch niet te worden beïnvloed door het landaanwinningproject.
- Stroomsnelheid voor de mond van de jachthaven is het grootst bij eb. Aan de berekende waarde van 0,64 m/s (springtij - eb) kan niet te veel waarde worden toegekend wegens de gebrekkige weergave in het model van de havenmond.

6.3. Waarde van het onderzoek.

De waarde van deze twee-dimensionale getijberekening is, dat waterstanden en stroomsnelheden kunnen worden voorspeld voor een niet bestaande situatie, zoals de verandering van een kustgebied.

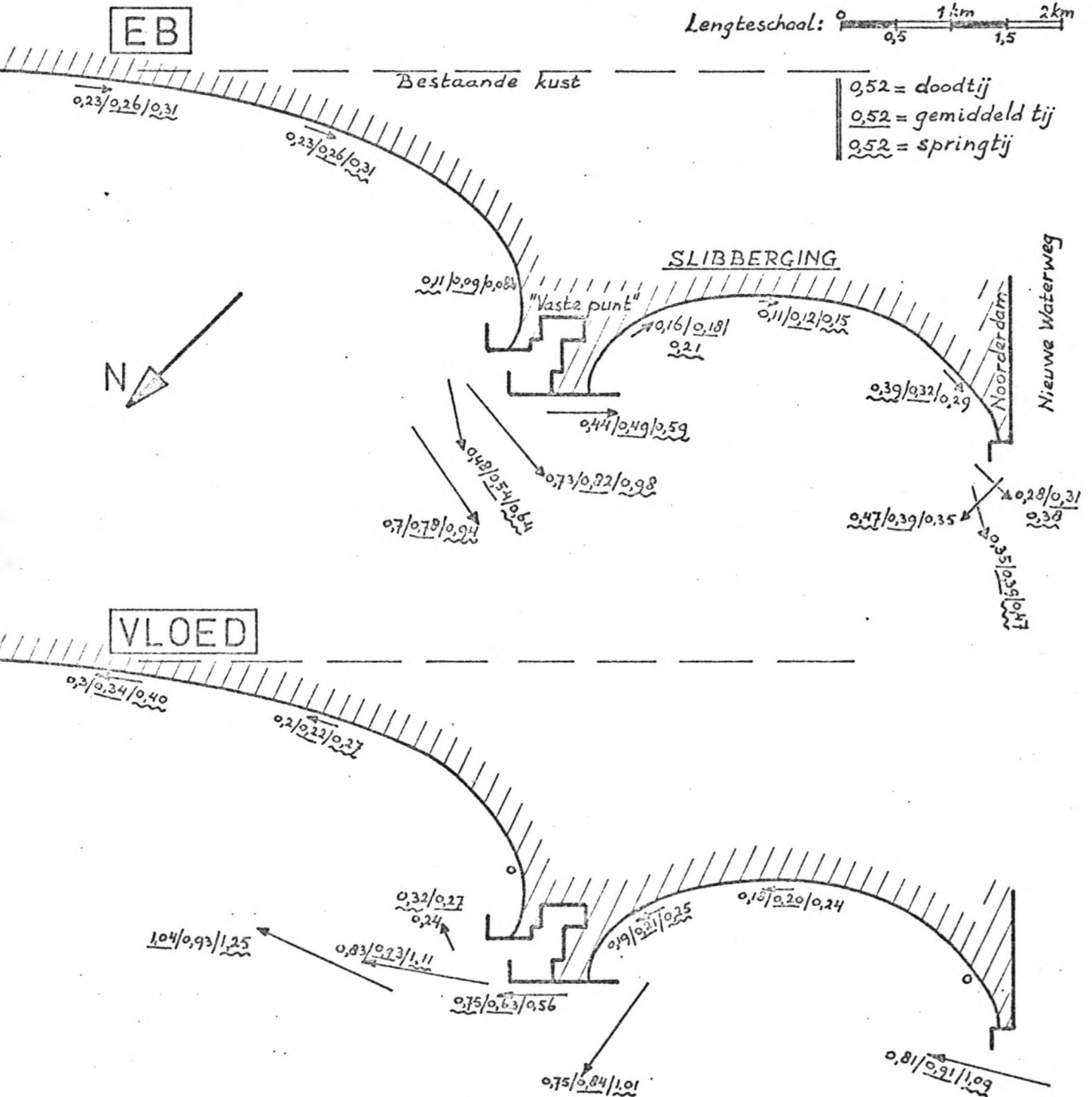
Verder kan het verloop in de tijd worden gevolgd van de termen van de bewegingsvergelijkingen en continuïteitsvergelijking, waardoor het inzicht wordt vergroot in de factoren, die de getijbeweging beïnvloeden (paragraaf 4.2). Een twee-dimensionale getijberekening levert t.o.v. een fysisch modelonderzoek snel en goedkoop globale resultaten, waarbij de mogelijkheden om in details te treden beperkter zijn.

De verfijning van 1600 m-mazen via 400 m- tot 200m-mazen is zinvol, omdat daardoor de bodem- en kustconfiguratie meer gedetailleerd in het model kan worden weergegeven (vergelijk fig. 5.1, 5.2 en 5.3). Zo zijn voor meer plaatsen berekeningsresultaten te verkrijgen. Deze resultaten zijn dan gemiddelden over een kleinere breedte, dus de uitkomsten zullen in het algemeen dichter bij de plaatselijk werkelijk optredende waarden liggen.

Fig. 6.1. Maximale stroomsnelheden t.g.v. het getij (in m/s) langs strand-
dammen en golfbrekers.

Samenvatting van de resultaten van de twee-dimensionale getijberekening T_3 .

De stroomsnelheden zijn berekend als gemiddelden over een maaswijdte van 200 m.

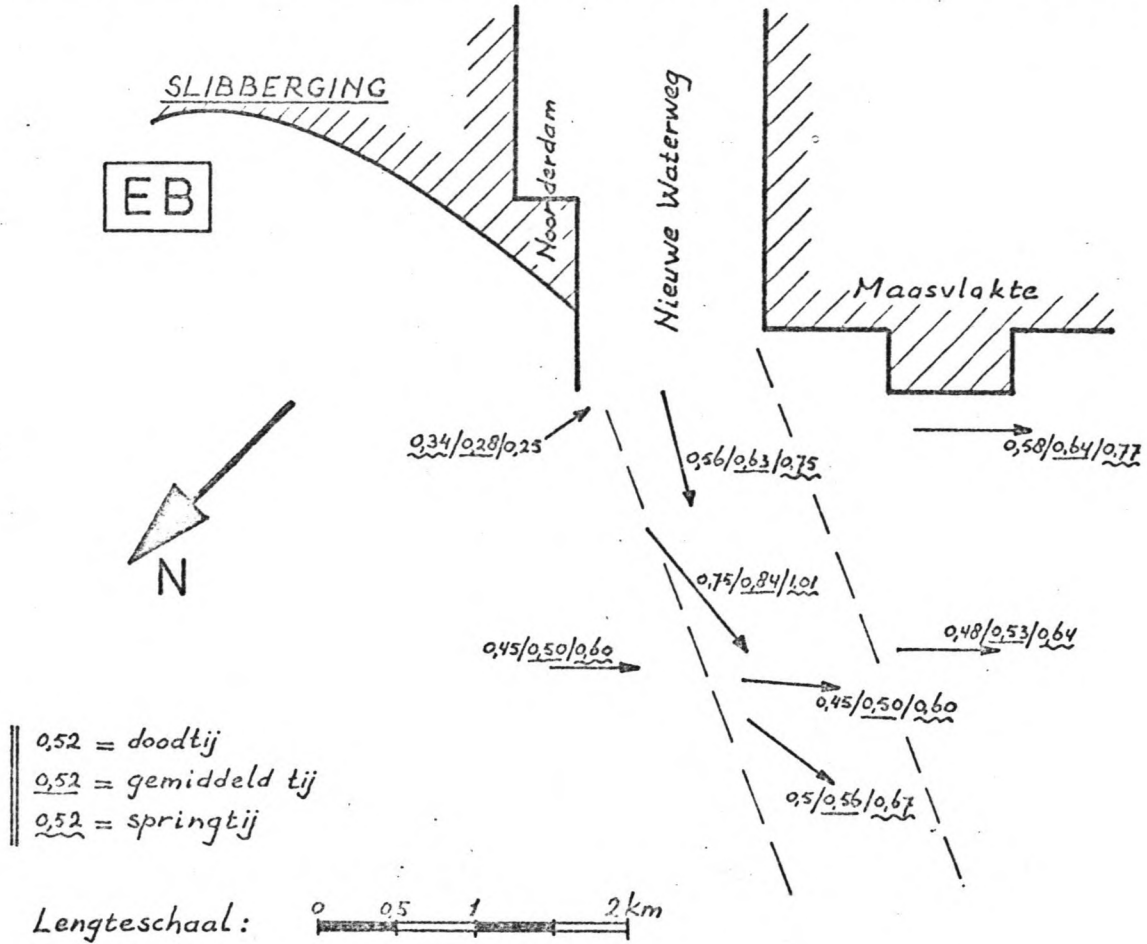


De strandbogen zijn dusdanig gunstig gesitueerd, dat de stroomsnelheden erlangs kleiner zijn dan de snelheden langs de oorspronkelijke kust tussen Monster en Kijkduin.

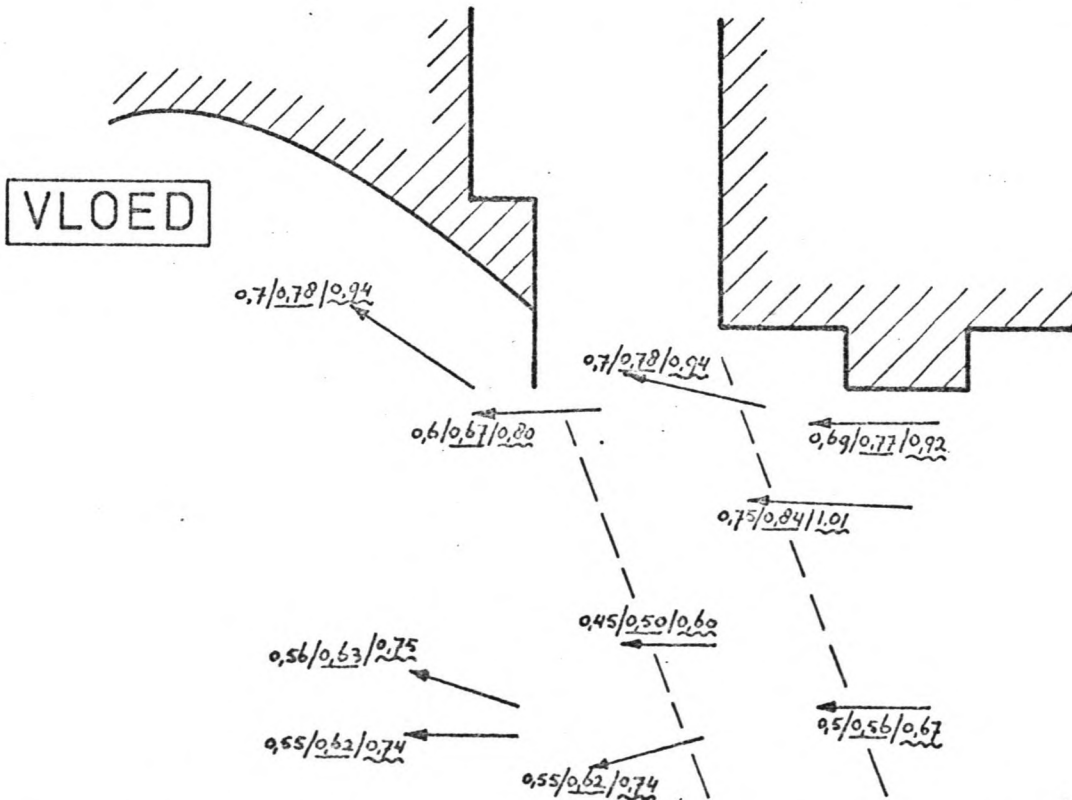
De stroomsnelheid langs de N.W.-golfbreker van de jachthaven is, zoals verwacht, vrij groot; bij springtij en eb maximaal ca. 1,0 m/s en bij vloed maximaal ca. 1,1 m/s. Deze laatste waarde is ongeveer gelijk aan de maximale stroomsnelheid langs de kop van de Noorderdam (1,1 m/s bij springtij en vloed).

Fig. 6.2.

Maximale stroomsnelheden t.g.v. het getij (in m/s) in en om de Eurogeul.



De stroomsnelheden zijn berekend als gemiddelden over een maaswijdte van 400 m.



Samenvatting van de resultaten van de twee-dimensionale getijberekening T₂.

In de omgeving van in zee uitstekende objecten blijkt dit duidelijk van belang te zijn.

- Bv. a. maximale stroomsnelheid langs golfbreker van de jachthaven (doodtij - vloed): T_1 -model 0,66 m/s, T_3 -model 0,83 m/s.
- b. maximale stroomsnelheid langs de kop van de Noorderdam (springtij - vloed): T_1 -model 0,63 m/s, T_2 -model 0,94 m/s, T_3 -model 1,01 m/s.

De uiteindelijke betrouwbaarheid van de berekeningsresultaten blijft uiteraard afhankelijk van de randvoorwaarden, zoals die in het 1600 m-model zijn ingevoerd. Dit aspect wordt door verfijning van het mazennet niet verbeterd.

Ter plaatse van een gebied met sterk gekromde stroomlijnen is een twee-dimensionale getijberekening weinig betrouwbaar. De waterbeweging is dan duidelijk drie-dimensionaal, zodat een twee-dimensionale berekening geen juist gedetailleerd resultaat kan verschaffen.

LITERATUUR.

Verwijzing in de tekst is aangegeven door [].

1. N.Booij.

Gebruikersgids voor het programma TIDES voor twee-dimensionale getijberekeningen; T.H.-Delft, 1979.

2. A.M.Burger.

Een twee-dimensionale getijberekening betreffende de aanleg van een zanddam t.b.v. de overslag van L.N.G. voor de kust van Voorne-Putten. Afstudeerdeelontwerp Vloeistofmechanica; T.H.-Delft, 1979.

3. C.Verspuy.

Collegedictaat Lange Golven; T.H.-Delft, 1978.

4. Deltadienst - Rijkswaterstaat.

Peilkaarten H.v.H. en Monster, nummers 1002, 1002 A, 1003, 1003 A; 1979.

5. Ministerie van Marine.

Stroomatlas voor de Nederlandse kust; Den Haag, 1951.

6. Rijkswaterstaat.

Getijtafels voor de zeehavens in Nederland, 1975.

7. Rijkswaterstaat.

Getijtafels voor Nederland, 1975.

8. Waterloopkundig Laboratorium Delft.

Verslag Modelonderzoek; Havenmond Hoek van Holland; M900-14; 1970.

LIJST VAN BIJLAGEN.

Gevoegd bij elke afdruk van het rapport:

BIJLAGEN A.

- A-I-1 t/m 28 Harmonische componenten van het getij in de punten van het Rand-Delta II-model t.b.v. randvoorwaarden voor het T_0 - en T_1 -model.
- A-II-1 Randvoorwaarden voor T_0 - en T_1 -berekening. Harmonische componenten van het verticale getij, gegeven in amplitude en fase.
- A-II-2 Randvoorwaarden voor T_0 - en T_1 -berekening. Fouriercoëfficiënten van het verticale getij.
- A-III T_0 -model; plot-uitvoer van snelheidsvectoren; verkleind.
- A-IV T_1 -model; plot-uitvoer van snelheidsvectoren; verkleind.
- A-V T_2 -model; plot-uitvoer van snelheidsvectoren; verkleind.
- A-VI T_3 -model; plot-uitvoer van snelheidsvectoren; verkleind.
- A-VII Vergelijking van de invloed van de termen van de differentiaalvergelijkingen.
- A-VII-4 t/m 10 Grafieken voor punt met rechte stroomlijnen.
- A-VII-11 Verzameltabel voor punt met rechte stroomlijnen.
- A-VII-14 t/m 20 Grafieken voor punt met gekromde stroomlijnen.
- A-VII-21 Verzameltabel voor punt met gekromde stroomlijnen.

In éénmalige uitvoering:

BIJLAGEN B.

Resultaten van berekeningen met programma TIDES.
Print-uitvoer van de T_0 -, T_1 -, T_2 - en T_3 -berekening.

BIJLAGEN C.

Resultaten van berekeningen met programma TIDES.
Plot-uitvoer van snelheidsvectoren voor het T_0 -, T_1 -, T_2 - en T_3 -model.

BIJLAGEN A

RANDVOORWAARDEN VOOR T₀ - EN T₁-BEREKENING.

Overzicht van de periodiek verlopende waterstand in de punten van de noordelijke helft van het Rand-Delta II-model van de Deltadienst-Rijkswaterstaat.

Gegeven zijn de harmonische componenten van het getij in amplitude A_n en fase φ_n voor $n = 0, 1, 2$ en 4 :

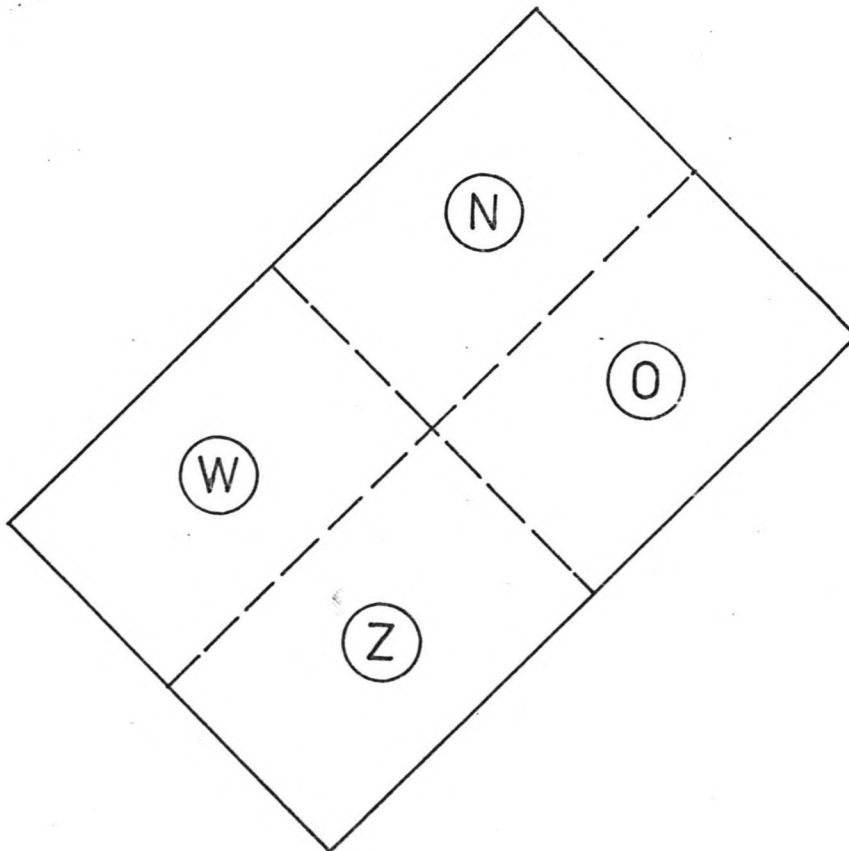
$$h = \sum A_n \cos \left(\frac{2\pi n t}{T} - \varphi_n \right), \text{ waarin } T = 25 \text{ uur.}$$

De harmonische componenten zijn met een Fourier-analyse bepaald uit waarnemingen gedurende de periode 1 t/m 5 september 1975.

Een complete lijst van één component is vanwege zijn grootte afgedrukt in 4 delen: Noord, West, Oost en Zuid.

Bijlage A-I bestaat uit totaal 28 pagina's.

De bedoelde randvoorwaarden zijn met pijlen aangegeven op de lijsten.



N	31	32	33	34	35	36	37	38	39	40	41	42	43	44	45	46	47	48	49	50	51	52	53	54	55	56	57	58	59	60
1	-15	-15	-15	-15	-15	0	0	0	0	0	0	0	0	0	0	0	0	0	0	0	0	0	0	0	0	0	0	0	0	
2	-15	-15	-15	-15	-15	0	0	0	0	0	0	0	0	0	0	0	0	0	0	0	0	0	0	0	0	0	0	0	0	
3	-15	-15	-15	-15	-15	0	0	0	0	0	0	0	0	0	0	0	0	0	0	0	0	0	0	0	0	0	0	0	0	
4	-15	-15	-15	-15	-15	0	0	0	0	0	0	0	0	0	0	0	0	0	0	0	0	0	0	0	0	0	0	0	0	
5	-15	-15	-15	-15	-15	0	0	0	0	0	0	0	0	0	0	0	0	0	0	0	0	0	0	0	0	0	0	0	0	
6	-14	-15	-15	-15	-15	0	0	0	0	0	0	0	0	0	0	0	0	0	0	0	0	0	0	0	0	0	0	0	0	
7	-14	-14	-14	-14	-14	0	0	0	0	0	0	0	0	0	0	0	0	0	0	0	0	0	0	0	0	0	0	0	0	
8	-14	-14	-14	-14	-14	0	0	0	0	0	0	0	0	0	0	0	0	0	0	0	0	0	0	0	0	0	0	0	0	
9	-14	-14	-14	-14	-14	0	0	0	0	0	0	0	0	0	0	0	0	0	0	0	0	0	0	0	0	0	0	0	0	
10	-14	-14	-14	-14	-14	0	0	0	0	0	0	0	0	0	0	0	0	0	0	0	0	0	0	0	0	0	0	0	0	
11	-14	-14	-14	-14	-14	0	0	0	0	0	0	0	0	0	0	0	0	0	0	0	0	0	0	0	0	0	0	0	0	
12	-14	-14	-14	-14	-14	0	0	0	0	0	0	0	0	0	0	0	0	0	0	0	0	0	0	0	0	0	0	0	0	
13	-14	-14	-14	-14	-14	0	0	0	0	0	0	0	0	0	0	0	0	0	0	0	0	0	0	0	0	0	0	0	0	
14	-14	-14	-14	-14	-14	0	0	0	0	0	0	0	0	0	0	0	0	0	0	0	0	0	0	0	0	0	0	0	0	
15	-14	-14	-14	-14	-14	0	0	0	0	0	0	0	0	0	0	0	0	0	0	0	0	0	0	0	0	0	0	0	0	
16	-14	-14	-14	-14	-14	0	0	0	0	0	0	0	0	0	0	0	0	0	0	0	0	0	0	0	0	0	0	0	0	
17	-14	-14	-14	-14	-14	0	0	0	0	0	0	0	0	0	0	0	0	0	0	0	0	0	0	0	0	0	0	0	0	
18	-14	-14	-14	-14	-14	0	0	0	0	0	0	0	0	0	0	0	0	0	0	0	0	0	0	0	0	0	0	0	0	
19	-15	-14	-14	-14	-14	-13	-13	0	0	0	0	0	0	0	0	0	0	0	0	0	0	0	0	0	0	0	0	0	0	
20	-15	0	C	0	0	0	0	0	0	0	0	0	0	0	0	0	0	0	0	0	0	0	0	0	0	0	0	0	0	
21	-15	-14	-14	-14	-14	-14	-14	0	0	0	0	0	0	0	0	0	0	0	0	0	0	0	0	0	0	0	0	0	0	
22	-14	-14	-14	-14	-14	-14	-14	0	0	0	0	0	0	0	0	0	0	0	0	0	0	0	0	0	0	0	0	0	0	
23	-14	C	C	0	0	0	0	0	0	0	0	0	0	0	0	0	0	0	0	0	0	0	0	0	0	0	0	0	0	
24	-14	C	C	0	0	0	0	0	0	0	0	0	0	0	0	0	0	0	0	0	0	0	0	0	0	0	0	0	0	
25	-14	MAASVLAAT																												
26	-14	C	C	0	0	0	0	0	0	0	0	0	0	0	0	0	0	0	0	0	0	0	0	0	0	0	0	0	0	
27	-14	C	0	0	0	0	0	0	0	0	0	0	0	0	0	0	0	0	0	0	0	0	0	0	0	0	0	0	0	
28	-15	0	0	0	0	0	0	0	0	0	0	0	0	0	0	0	0	0	0	0	0	0	0	0	0	0	0	0	0	
29	-14	-14	-14	-14	-14	0	0	0	0	0	0	0	0	0	0	0	0	0	0	0	0	0	0	0	0	0	0	0	0	
30	-14	-14	-14	-14	-14	0	0	0	0	0	0	0	0	0	0	0	0	0	0	0	0	0	0	0	0	0	0	0	0	
31	-14	-14	-14	-14	-14	0	0	0	0	0	0	0	0	0	0	0	0	0	0	0	0	0	0	0	0	0	0	0	0	
32	-14	-14	-14	-14	-14	-14	-14	0	0	0	0	0	0	0	0	0	0	0	0	0	0	0	0	0	0	0	0	0	0	
33	-14	-14	-14	-14	-14	-14	-14	0	0	0	0	0	0	0	0	0	0	0	0	0	0	0	0	0	0	0	0	0	0	
34	-14	-14	-14	-14	-14	-14	-14	0	0	0	0	0	0	0	0	0	0	0	0	0	0	0	0	0	0	0	0	0	0	
35	-14	-14	-14	-14	-14	-14	-14	0	0	0	0	0	0	0	0	0	0	0	0	0	0	0	0	0	0	0	0	0	0	
36	-14	-14	-14	-14	-14	-14	-14	0	0	0	0	0	0	0	0	0	0	0	0	0	0	0	0	0	0	0	0	0	0	
37	-14	-14	-14	-14	-14	-14	-14	0	0	0	0	0	0	0	0	0	0	0	0	0	0	0	0	0	0	0	0	0	0	
38	-14	-14	-14	-14	-14	-14	-14	0	0	0	0	0	0	0	0	0	0	0	0	0	0	0	0	0	0	0	0	0	0	
39	-14	-14	-14	-14	-14	-14	-14	0	0	0	0	0	0	0	0	0	0	0	0	0	0	0	0	0	0	0	0	0	0	
40	-14	-14	-14	-14	-14	-14	-14	0	0	0	0	0	0	0	0	0	0	0	0	0	0	0	0	0	0	0	0	0	0	
41	-14	-14	-14	-14	-14	-14	-14	0	0	0	0	0	0	0	0	0	0	0	0	0	0	0	0	0	0	0	0	0	0	
42	-14	-14	-14	-14	-14	-14	-14	0	0	0	0	0	0	0	0	0	0	0	0	0	0	0	0	0	0	0	0	0	0	
43	-14	-14	-14	-14	-14	-14	-14	0	0	0	0	0	0	0	0	0	0	0	0	0	0	0	0	0	0	0	0	0	0	
44	-14	-14	-14	-14	-14	-14	-14	0	0	0	0	0	0	0	0	0	0	0	0	0	0	0	0	0	0	0	0	0	0	
45	-14	-14	-14	-14	-14	-14	-14	0	0	0	0	0	0	0	0	0	0	0	0	0	0	0	0	0	0	0	0	0	0	
46	-14	-14	-14	-14	-14	-14	-14	0	0	0	0	0	0	0	0	0	0	0	0	0	0	0	0	0	0	0	0	0	0	
47	-14	-14	-14	-14	-14	-14	-14	0	0	0	0	0	0	0	0	0	0	0	0	0	0	0	0	0	0	0	0	0	0	
48	-14	-14	-14	-14	-14	-14	-14	0	0	0	0	0	0	0	0	0	0	0	0	0	0	0	0	0	0	0	0	0	0	
49	-14	-14	-14	-14	-14	-14	-14	0	0	0	0	0	0	0	0	0	0	0	0	0	0	0	0	0	0	0	0	0	0	
50	-14	-14	-14	-14	-14	-14	-14	0	0	0	0	0	0	0	0	0	0	0	0	0	0	0	0	0	0	0	0	0	0	
51	-15	-15	-15	-15	-15	-15	-15	0	0	0	0	0	0	0	0	0	0	0	0	0	0	0	0	0	0	0	0	0	0	
52	-15	-15	-15	-15	-15	-15	-15	0	0	0	0	0	0	0	0	0	0	0	0	0	0	0	0	0	0	0	0	0	0	
53	-15	-15	-15	-15	-15	-15	-15	0	0	0	0	0	0	0	0	0	0	0	0	0	0	0	0	0	0	0	0	0	0	
54	-15	-15	-15	-15	-15	-16	-16	0	0	0	0	0	0	0	0	0	0	0	0	0	0	0	0	0	0	0	0	0	0	

VOORNE

GOORNE

Harmonische componenten van het verticale getij als randvoorwaarden

$$M_k = c_k \cdot \cos \left(\frac{2\pi k t}{T} - \phi_k \right); \quad c_k \text{ in cm}; \quad \phi_k \text{ in graden.}$$

x,y	M_0 ; T=	M_1 ; T = 25 h.		M_2 ; T = 12.5 h.		M_4 ; T = 6,25 h.	
	c_0	c_1	ϕ_1	c_2	ϕ_2	c_4	ϕ_4
1,1	-12	8	352	53	312	14	241
4,1	-13	8	353	56	313	15	242
7,1	-13	8	353	59	314	16	244
10,1	-14	8	354	62	315	17	246
13,1	-14	9	354	65	316	17	248
15,1	-15	9	354	68	316	18	249
16,1	-15	9	354	69	317	18	250
17,1	-15	9	354	70	317	18	250
18,1	-15	9	354	71	317	18	251
19,1	-15	9	354	71	317	18	251
1,3	-12	8	353	54	309	14	239
1,6	-12	8	354	56	306	14	237
1,9	-12	9	355	57	303	14	235
1,12	-12	9	356	59	299	13	233
1,15	-12	9	355	60	295	13	231
1,18	-12	9	355	61	292	12	229
1,21	-12	9	353	63	288	12	227
1,24	-12	10	350	65	285	12	224
1,27	-12	10	347	67	283	12	221
1,30	-13	10	348	71	280	11	217
1,33	-13	10	351	75	277	11	212
1,36	-14	10	353	79	274	10	207
1,38	-14	11	354	82	273	10	205
4,38	-14	11	352	86	275	10	206
7,38	-15	11	351	91	276	11	207
10,38	-15	11	350	95	278	12	206
13,38	-16	11	349	99	279	12	206
16,38	-17	11	348	103	281	13	207
19,38	-18	10	348	113	286	11	202
H.v.H. 18,12				76	301		

Randvoorwaarden - Fouriercoëfficiënten van het verticale getij in meters.

$$M_k = A_k \cos \frac{2\pi kt}{T} + B_k \sin \frac{2\pi kt}{T}$$

x,y	M_0	M_1		M_2		M_4	
	A_0	A_1	B_1	A_2	B_2	A_4	B_4
1,1	-0,12	0,0792	-0,0111	0,3546	-0,3939	-0,0679	-0,1224
4,1	-0,13	0,0794	-0,0097	0,3819	-0,4096	-0,0704	-0,1324
7,1	-0,13	0,0794	-0,0097	0,4098	-0,4244	-0,0701	-0,1438
10,1	-0,14	0,0796	-0,0084	0,4384	-0,4384	-0,0691	-0,1553
13,1	-0,14	0,0895 ⁺	-0,0094	0,4676	-0,4515	-0,0637	-0,1576
15,1	-0,15	0,0895 ⁺	-0,0094	0,4892	-0,4724	-0,0645 ⁺	-0,1680
16,1	-0,15	0,0895 ⁺	-0,0094	0,5046	-0,4706	-0,0616	-0,1691
17,1	-0,15	0,0895 ⁺	-0,0094	0,5119	-0,4794	-0,0616	-0,1691
18,1	-0,15	0,0895 ⁺	-0,0094	0,5193	-0,4842	-0,0580	-0,1702
19,1	-0,15	0,0895 ⁺	-0,0094	0,5193	-0,4842	-0,0580	-0,1702
1,3	-0,12	0,0794	-0,0097	0,3398	-0,4197	-0,0721	-0,1200
1,6	-0,12	0,0895 ⁺	-0,0084	0,3292	-0,4530	-0,0762	-0,1174
1,9	-0,12	0,0897	-0,0078	0,3104	-0,4780	-0,0803	-0,1147
1,12	-0,12	0,0878	-0,0063	0,2860	-0,5160	-0,0782	-0,1038
1,15	-0,12	0,0897	-0,0078	0,2536	-0,5438	-0,0818	-0,1010
1,18	-0,12	0,0897	-0,0078	0,2285	-0,5656	-0,0787	-0,0957
1,21	-0,12	0,0893	-0,0110 ⁻	0,1947	-0,5992	-0,0818	-0,0876
1,24	-0,12	0,0985 ⁻	-0,0174	0,1682	-0,6279	-0,0863	-0,0834
1,27	-0,12	0,0974	-0,0225 ⁻	0,1507	-0,6528	-0,0957	-0,0787
1,30	-0,13	0,0978	-0,0208	0,1233	-0,6992	-0,0878	-0,0662
1,33	-0,13	0,0977	-0,0156	0,09140	-0,7444	-0,0933	-0,0583
1,36	-0,14	0,0993	-0,0122	0,05511	-0,7881	-0,0891	-0,0454
1,38	-0,14	0,1094	-0,0150	0,04292	-0,8189	-0,0906	-0,0423
4,38	-0,14	0,1089	-0,0153	0,0750	-0,8567	-0,0899	-0,0438
7,38	-0,15	0,1086	-0,0172	0,0951	-0,9050	-0,0980	-0,0499
10,38	-0,15	0,1083	-0,0191	0,1322	-0,9408	-0,1079	-0,0526
13,38	-0,16	0,1080	-0,0210	0,1549	-0,9778	-0,1079	-0,0526
16,38	-0,17	0,1076	-0,0287	0,1965	-1,0111	-0,1158	-0,0590
19,38	-0,18	0,0978	-0,0208	0,3115	-1,0862	-0,1020	-0,0412

BIJLAGE A-III.

T₀-model.

Plot-uitvoer van snelheidsvectoren; verkleind.

t = 23 uur komt ongeveer overeen met H.W.-H.v.H.

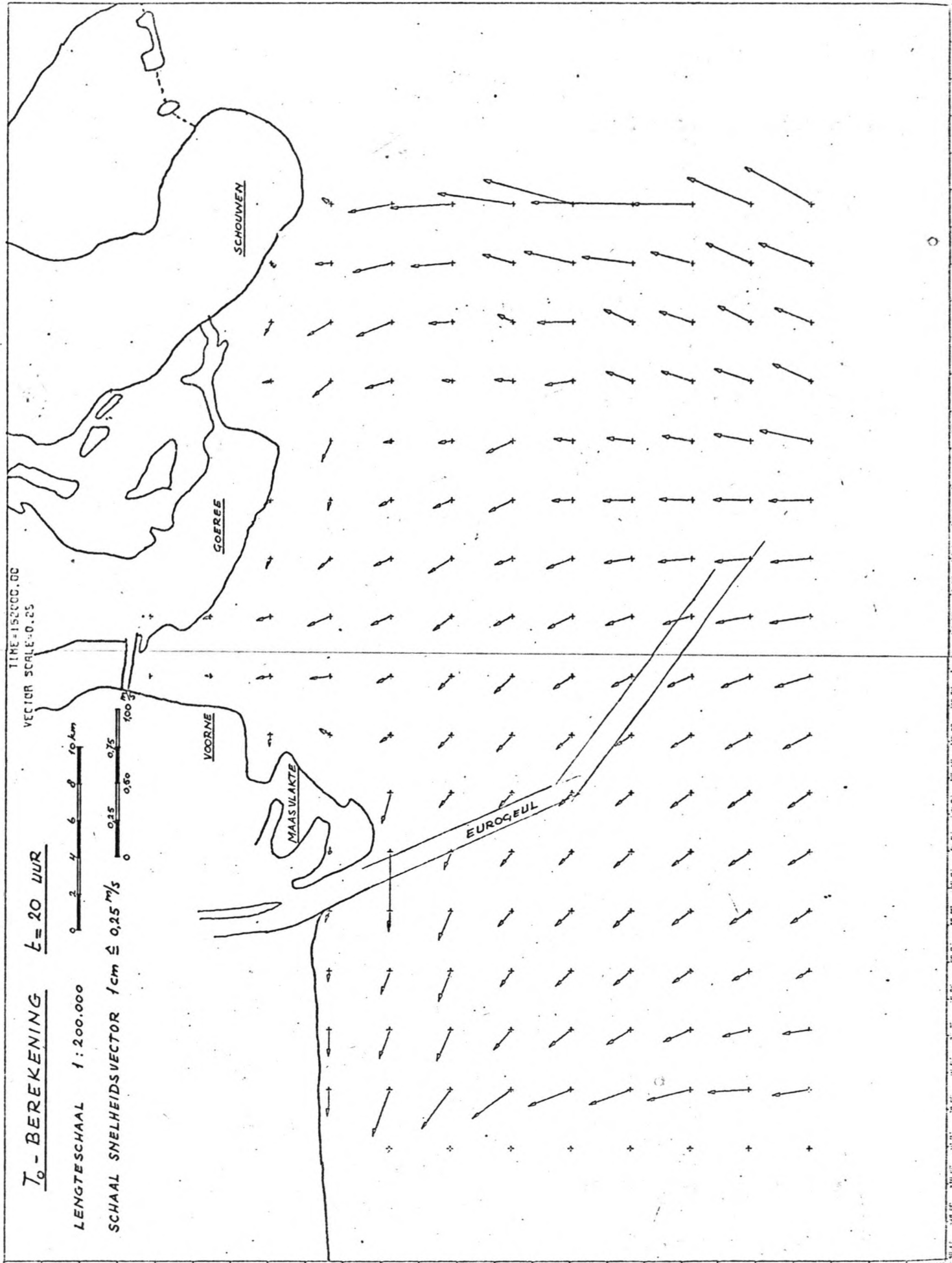
T₀ - BEREKENING

TIME = 15.000,00
VECTOR SCALE = 0,25

LENGTESCHAAL 1:200.000



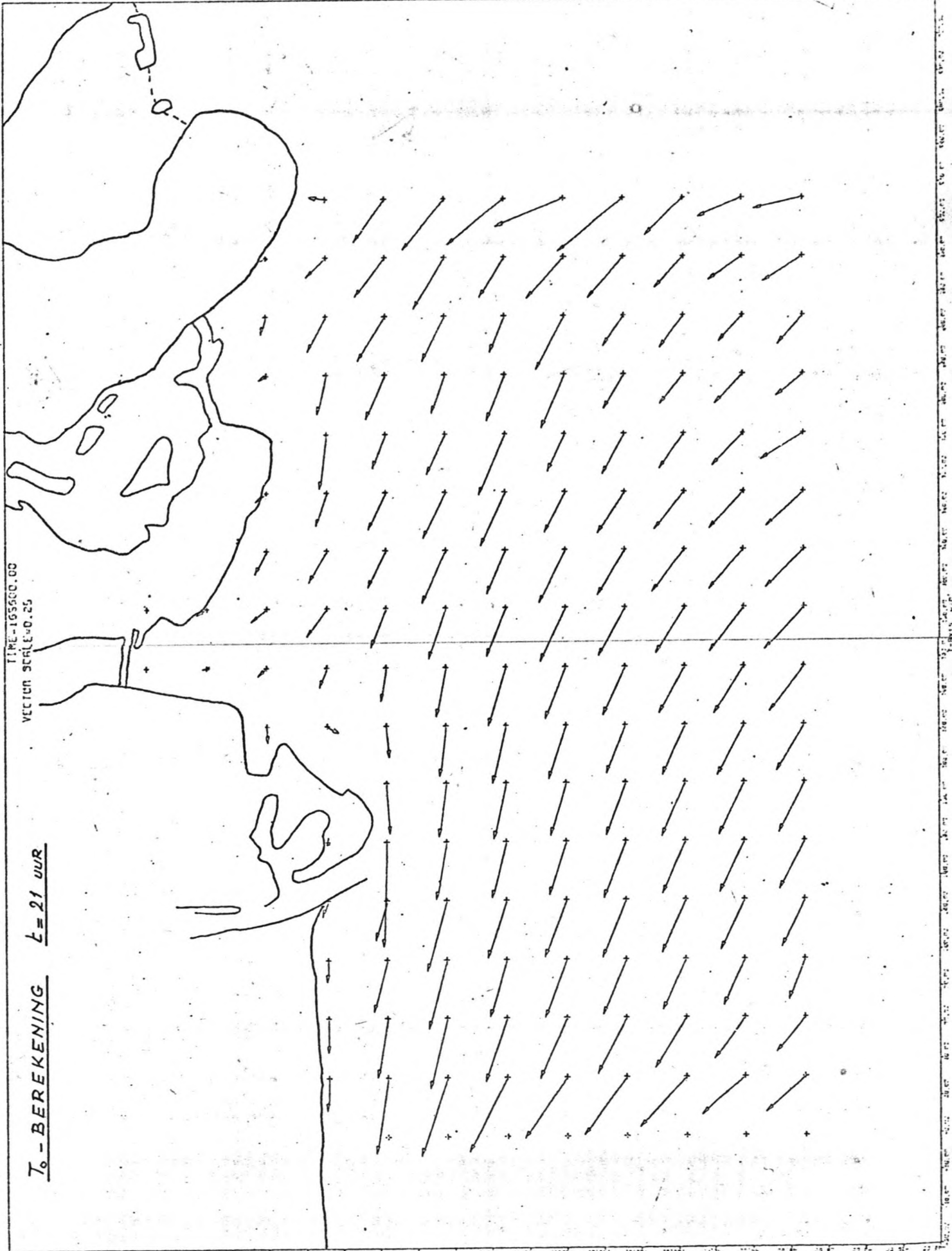
SCHAAL SNELHEIDSVECTOR 1cm $\hat{=}$ 0,25 m/s



Vertical text on the right edge of the page, likely a reference or identification number.

T₀ - BEREKENING L = 21 uur

TIME-105500.00
VECTOR SCALE=0.25

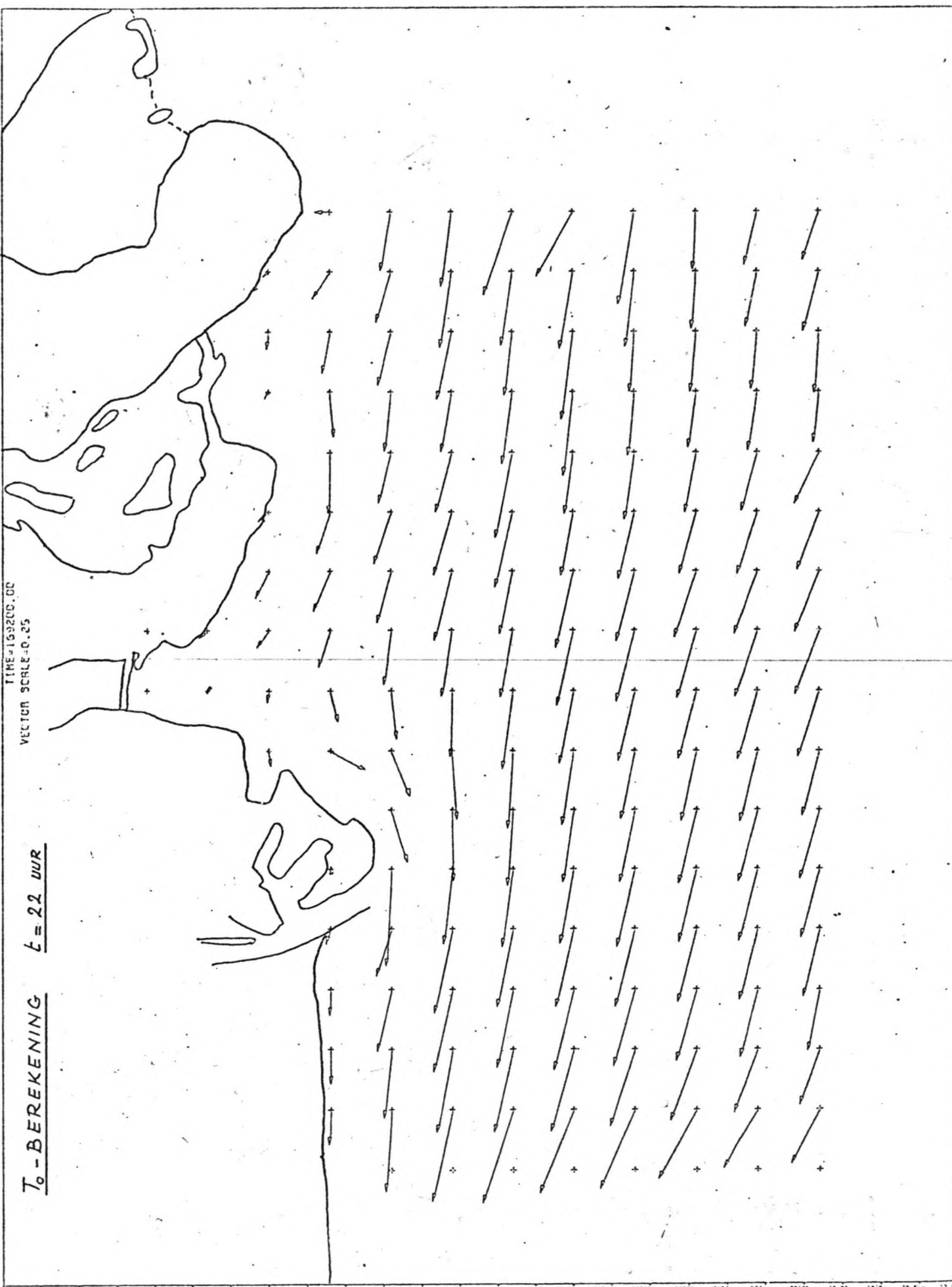


X-AXIS

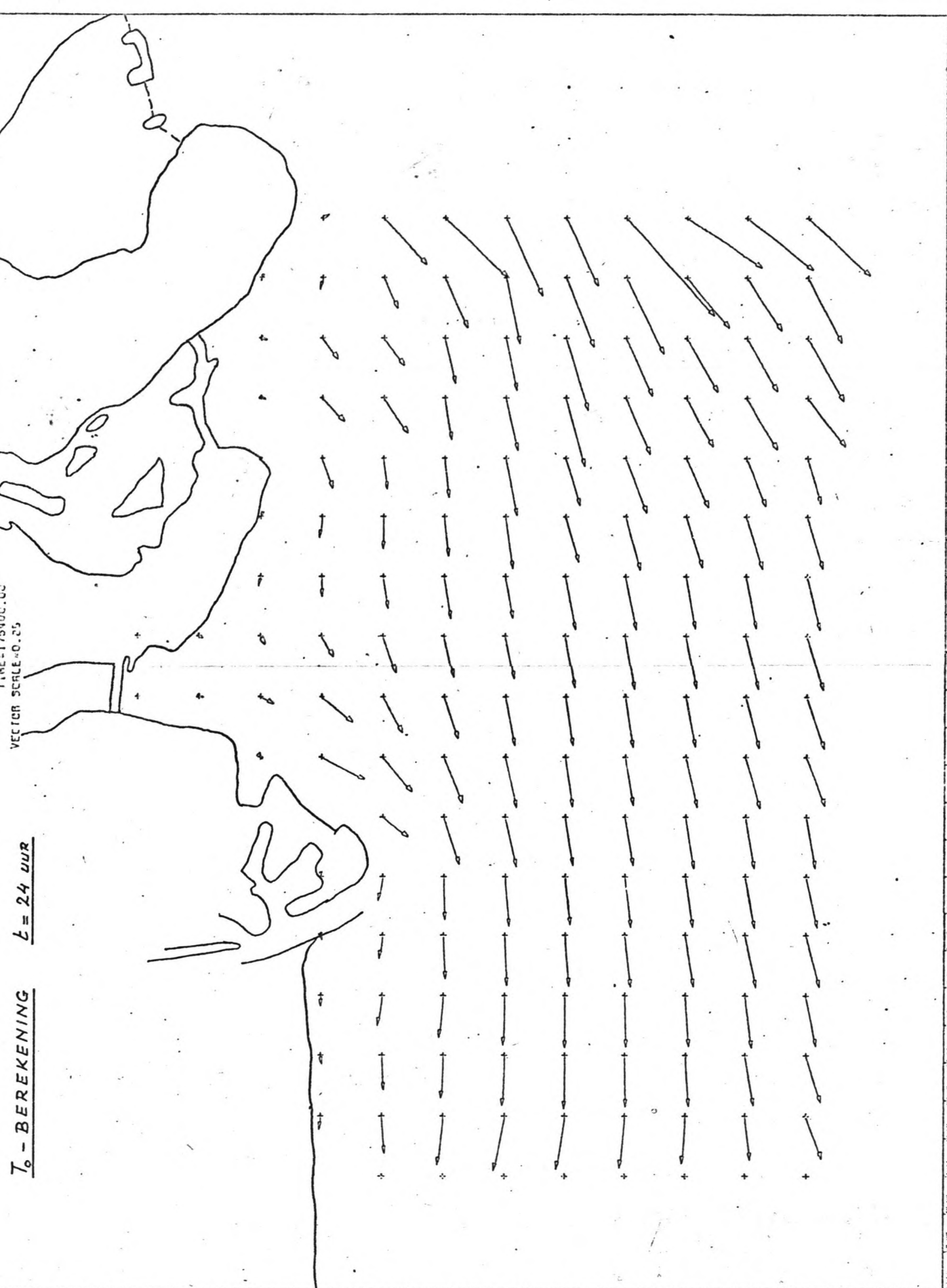
T₀ - BEREKENING

t = 22 uur

TIME = 193200.00
VECTOR SCALE = 0.25



23 22 21 20 19 18 17 16 15 14 13 12 11 10 9 8 7 6 5 4 3 2 1 0 1 2 3 4 5 6 7 8 9 10 11 12 13 14 15 16 17 18 19 20 21 22 23



SCALE 0.25

$L = 24$ uur

T_0 - BEREKENING

01 5180-7

BIJLAGE A-IV.

T₁-model.

Plot-uitvoer van snelheidsvectoren; verkleind.

t = 23 uur komt ongeveer overeen met H.W.-H.v.H.

T₁ - BEREKENING

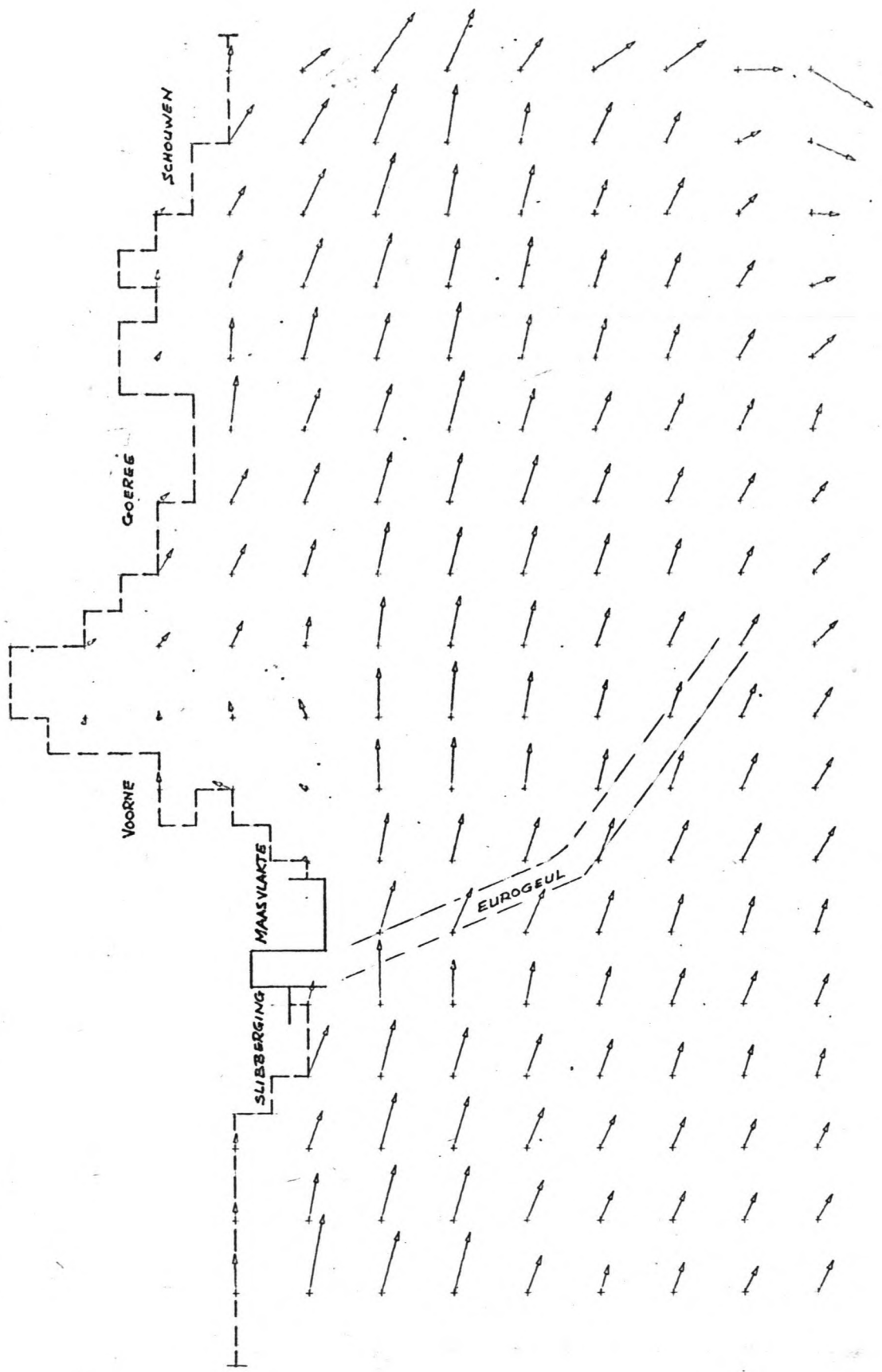
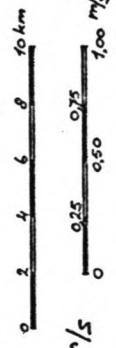
t = 2 uur

LENGTESCHAAL 1 : 200.000

SCHAAL SNELHEIDSVECTOR 1 cm $\hat{=}$ 0,25 m/s

TIME=97200.00

VECTOR SCALE=0.25



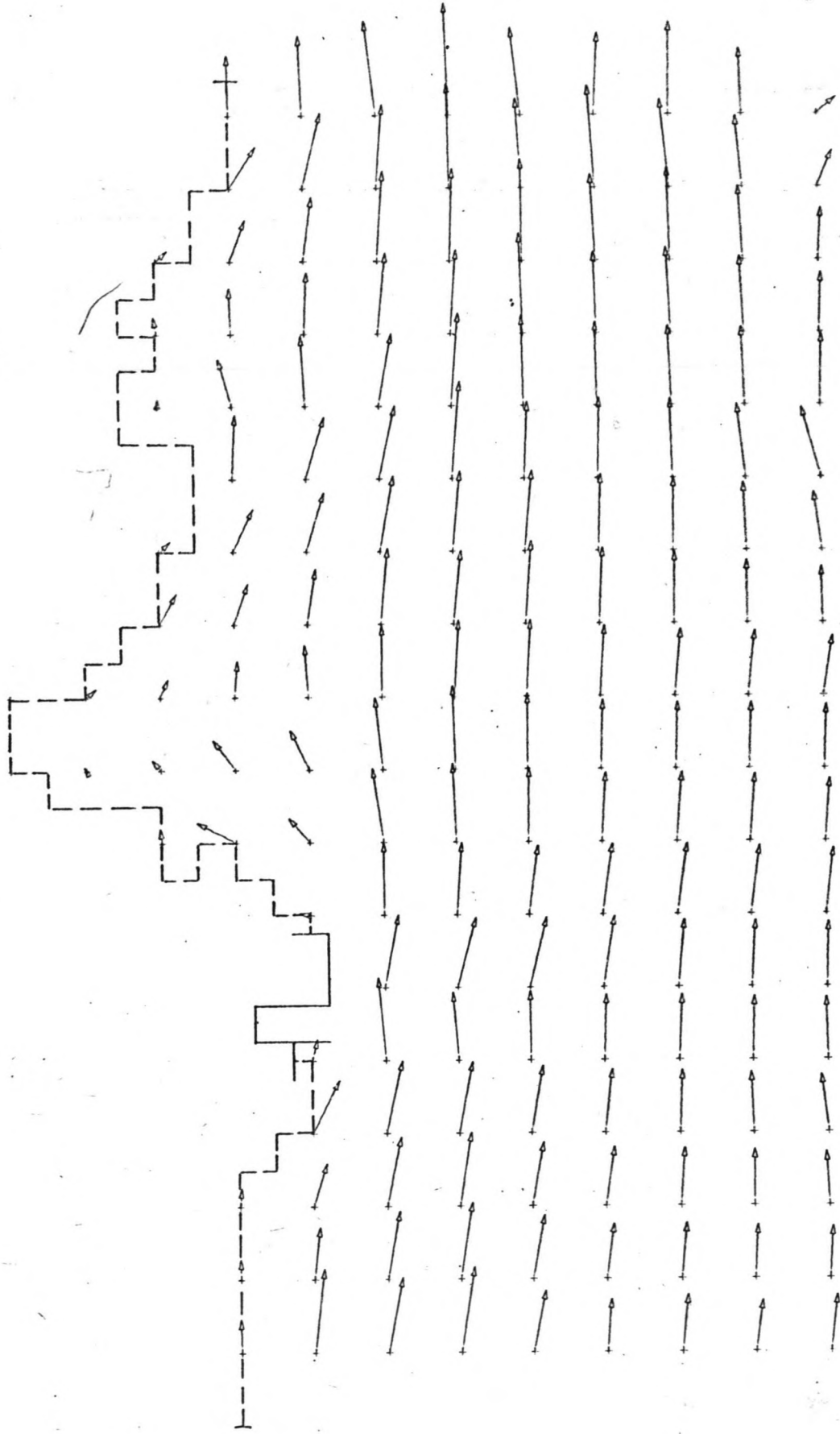
10.00 20.00 30.00 40.00 50.00 60.00 70.00 80.00 90.00 100.00 110.00 120.00 130.00 140.00 150.00 160.00 170.00 180.00 190.00 200.00 210.00 220.00 230.00 240.00 250.00 260.00 270.00 280.00 290.00 300.00 310.00 320.00 330.00 340.00 350.00 360.00 370.00 380.00 390.00 400.00 410.00 420.00 430.00 440.00 450.00 460.00 470.00 480.00 490.00 500.00 510.00 520.00 530.00 540.00 550.00 560.00 570.00 580.00 590.00 600.00 610.00 620.00 630.00 640.00 650.00 660.00 670.00 680.00 690.00 700.00 710.00 720.00 730.00 740.00 750.00 760.00 770.00 780.00 790.00 800.00 810.00 820.00 830.00 840.00 850.00 860.00 870.00 880.00 890.00 900.00 910.00 920.00 930.00 940.00 950.00 960.00 970.00 980.00 990.00 1000.00

T₁ - BEREKENING

L = 3 LUR

TIME=100800.00

VECTOR SCALE=0.25

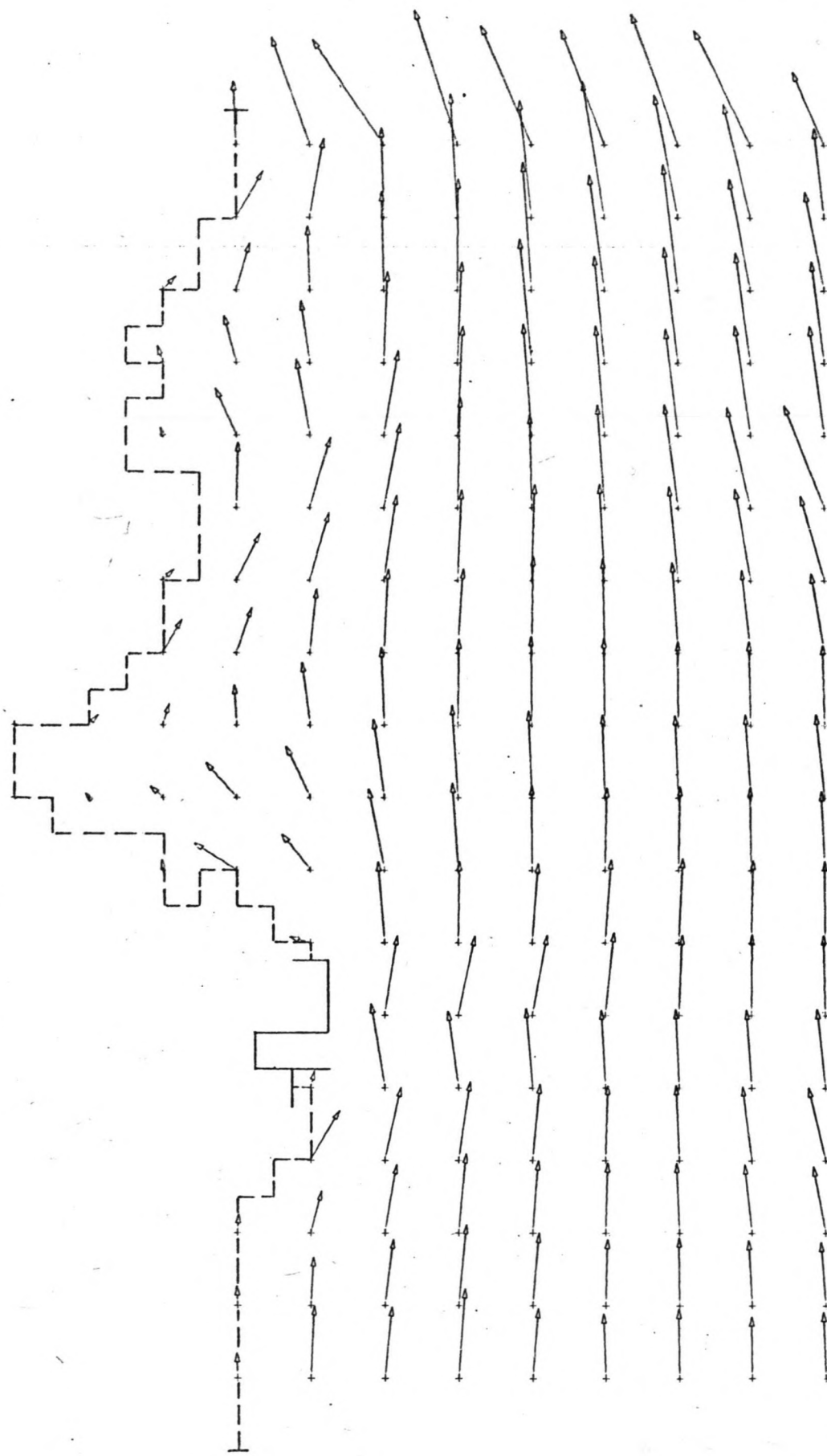


X AXIS
Y AXIS
-30.00 -20.00 -10.00 0.00 10.00 20.00 30.00 40.00 50.00 60.00 70.00 80.00 90.00 100.00 110.00 120.00 130.00 140.00 150.00 160.00 170.00 180.00 190.00 200.00 210.00 220.00 230.00 240.00 250.00 260.00 270.00 280.00 290.00 300.00 310.00 320.00 330.00 340.00 350.00 360.00 370.00 380.00 390.00 400.00 410.00 420.00 430.00 440.00 450.00 460.00 470.00 480.00 490.00 500.00 510.00 520.00 530.00 540.00 550.00 560.00 570.00 580.00 590.00 600.00 610.00 620.00 630.00 640.00 650.00

T₁ - BEREKENING

t = 4 uur

TIME=104400.00
VECTOR SCALE=0.25

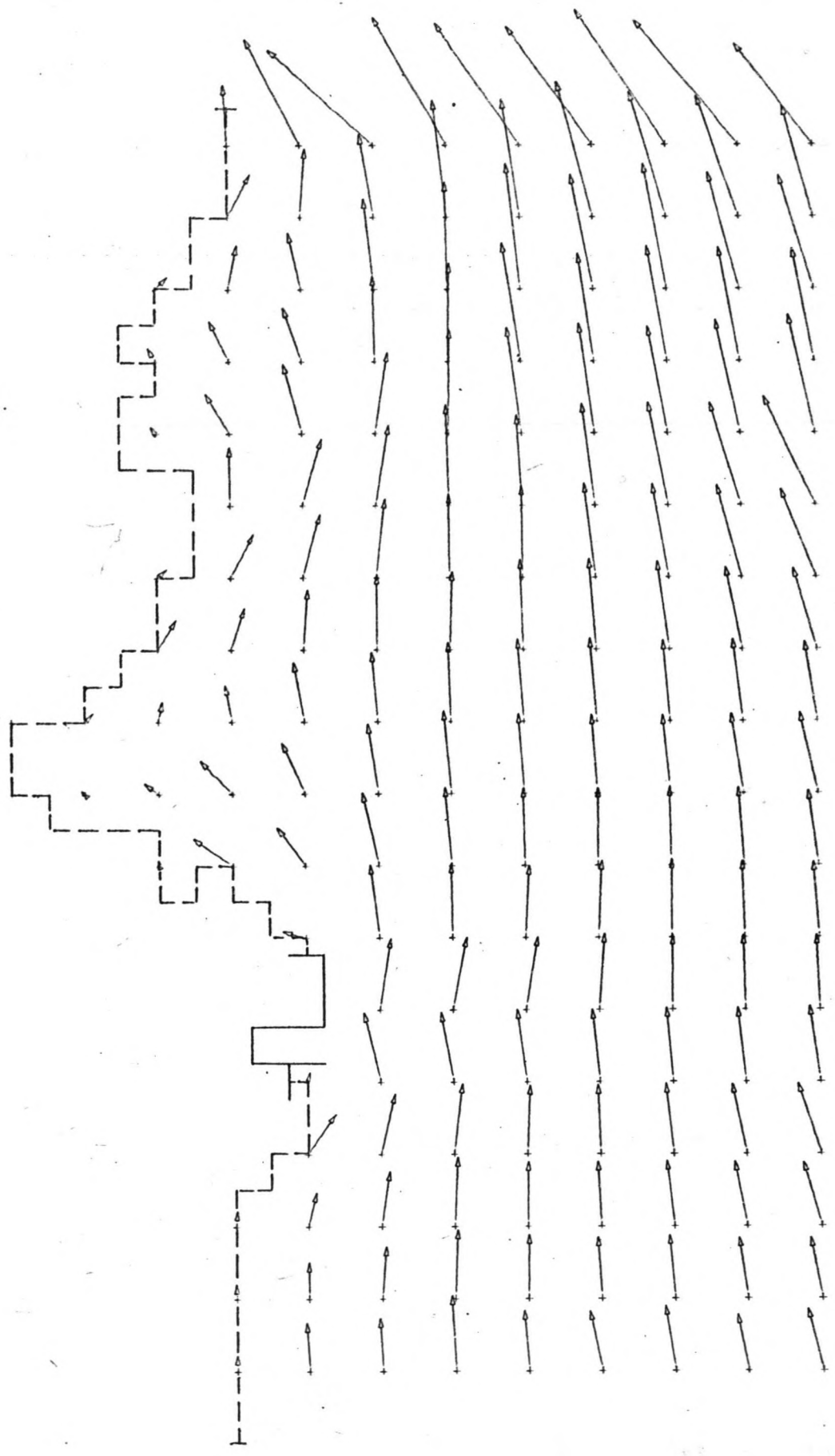


170.00 160.00 150.00 140.00 130.00 120.00 110.00 100.00 90.00 80.00 70.00 60.00 50.00 40.00 30.00 20.00
-30.00 -20.00 -10.00 0.00 10.00 20.00 30.00 40.00 50.00 60.00 70.00 80.00 90.00 100.00 110.00 120.00 130.00 140.00 150.00 160.00 170.00
Y-AXIS
X-AXIS
10

TIME=108000.00
VECTOR SCALE=0.25

$t = 5 \text{ UVR}$

T_1 - BEREKENING



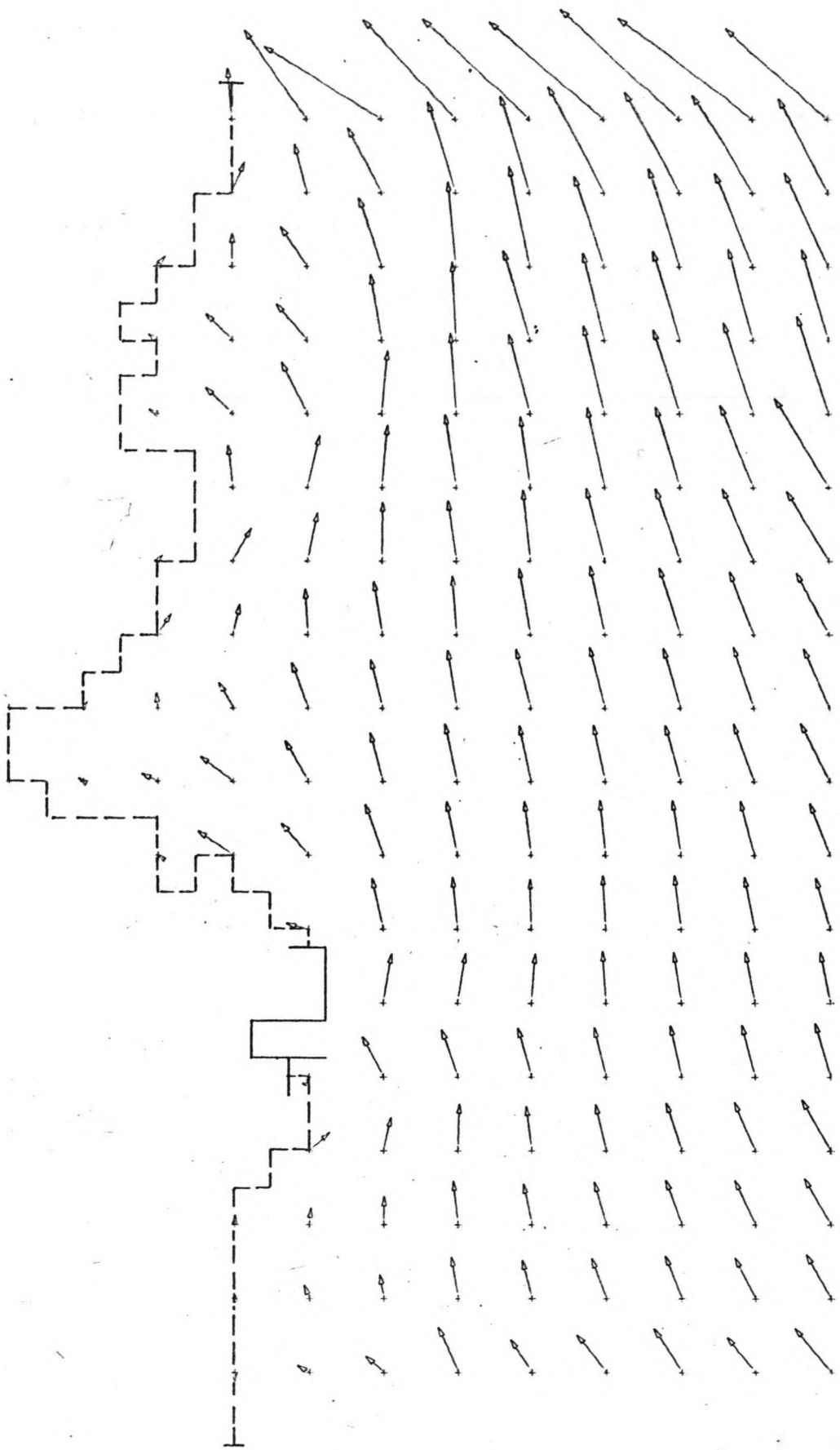
170.00 160.00 150.00 140.00 130.00 120.00 110.00 100.00 90.00 80.00 70.00 60.00 50.00 40.00 30.00 20.00 10.00 0.00 -10.00 -20.00 -30.00
970.00 960.00 950.00 940.00 930.00 920.00 910.00 900.00 890.00 880.00 870.00 860.00 850.00 840.00 830.00 820.00 810.00 800.00 790.00 780.00 770.00 760.00 750.00 740.00 730.00 720.00 710.00 700.00 690.00 680.00 670.00 660.00 650.00 640.00 630.00 620.00 610.00 600.00 590.00 580.00 570.00 560.00 550.00 540.00 530.00 520.00 510.00 500.00 490.00 480.00 470.00 460.00 450.00 440.00 430.00 420.00 410.00 400.00 390.00 380.00 370.00 360.00 350.00 340.00 330.00 320.00 310.00 300.00 290.00 280.00 270.00 260.00 250.00 240.00 230.00 220.00 210.00 200.00 190.00 180.00 170.00 160.00 150.00 140.00 130.00 120.00 110.00 100.00 90.00 80.00 70.00 60.00 50.00 40.00 30.00 20.00 10.00 0.00 -10.00 -20.00 -30.00

T₁ - BEREKENING

t = 6 uur

VECTOR SCALE = 0.25

TIME = 111600.00

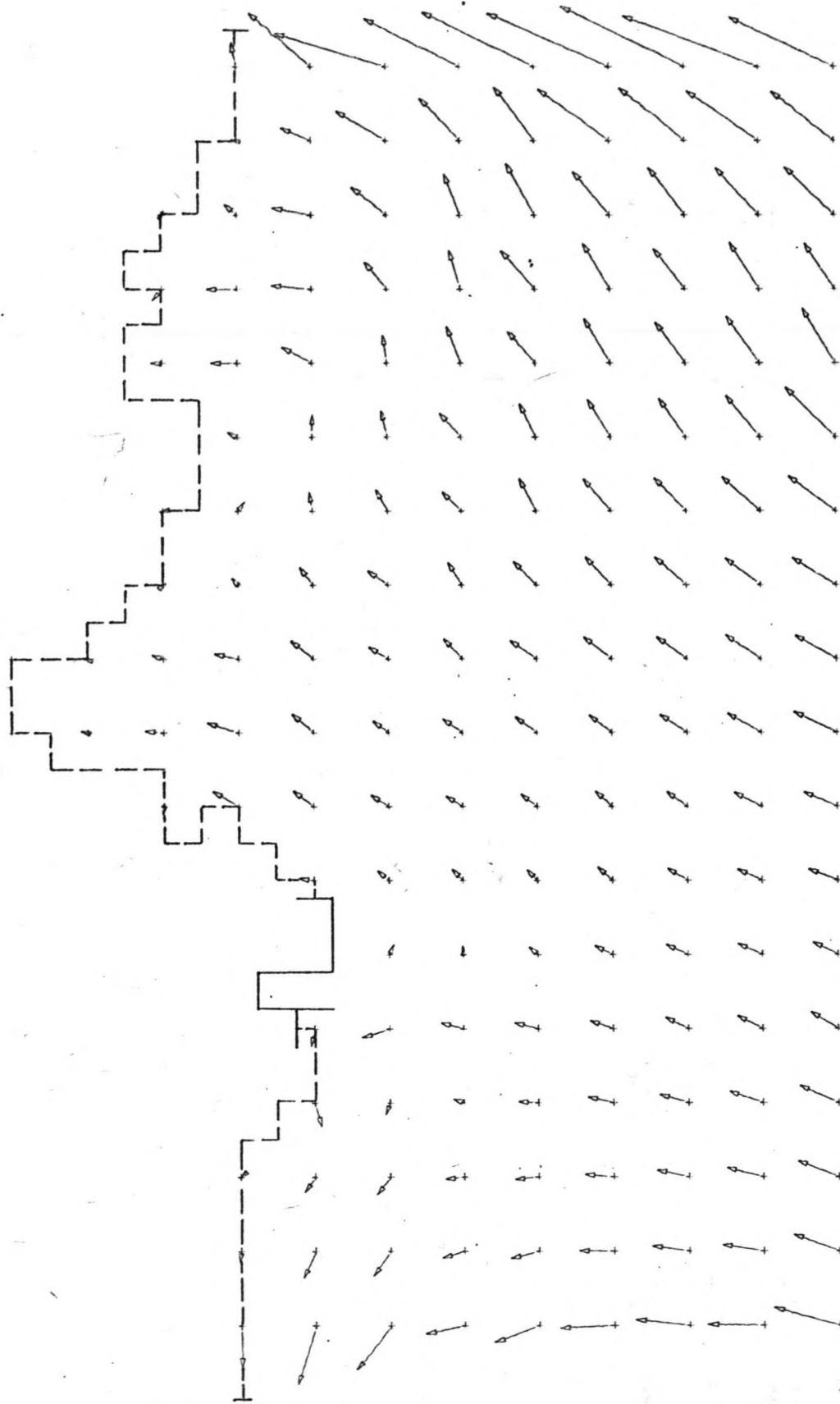


X AXIS 100.00 110.00 120.00 130.00 140.00 150.00 160.00 170.00 180.00 190.00 200.00 210.00 220.00 230.00 240.00 250.00 260.00 270.00 280.00 290.00 300.00 310.00 320.00 330.00 340.00 350.00 360.00 370.00 380.00 390.00 400.00 410.00 420.00 430.00 440.00 450.00 460.00 470.00 480.00 490.00 500.00 510.00 520.00 530.00 540.00 550.00 560.00 570.00 580.00 590.00 600.00 610.00 620.00 630.00 640.00 650.00 660.00 670.00 680.00 690.00 700.00 710.00 720.00 730.00 740.00 750.00 760.00 770.00 780.00 790.00 800.00 810.00 820.00 830.00 840.00 850.00 860.00 870.00 880.00 890.00 900.00 910.00 920.00 930.00 940.00 950.00 960.00 970.00 980.00 990.00 1000.00

T₁ - BEREKENING

t = 7 UUR

TIME=115200.00
VECTOR SCALE=0.25

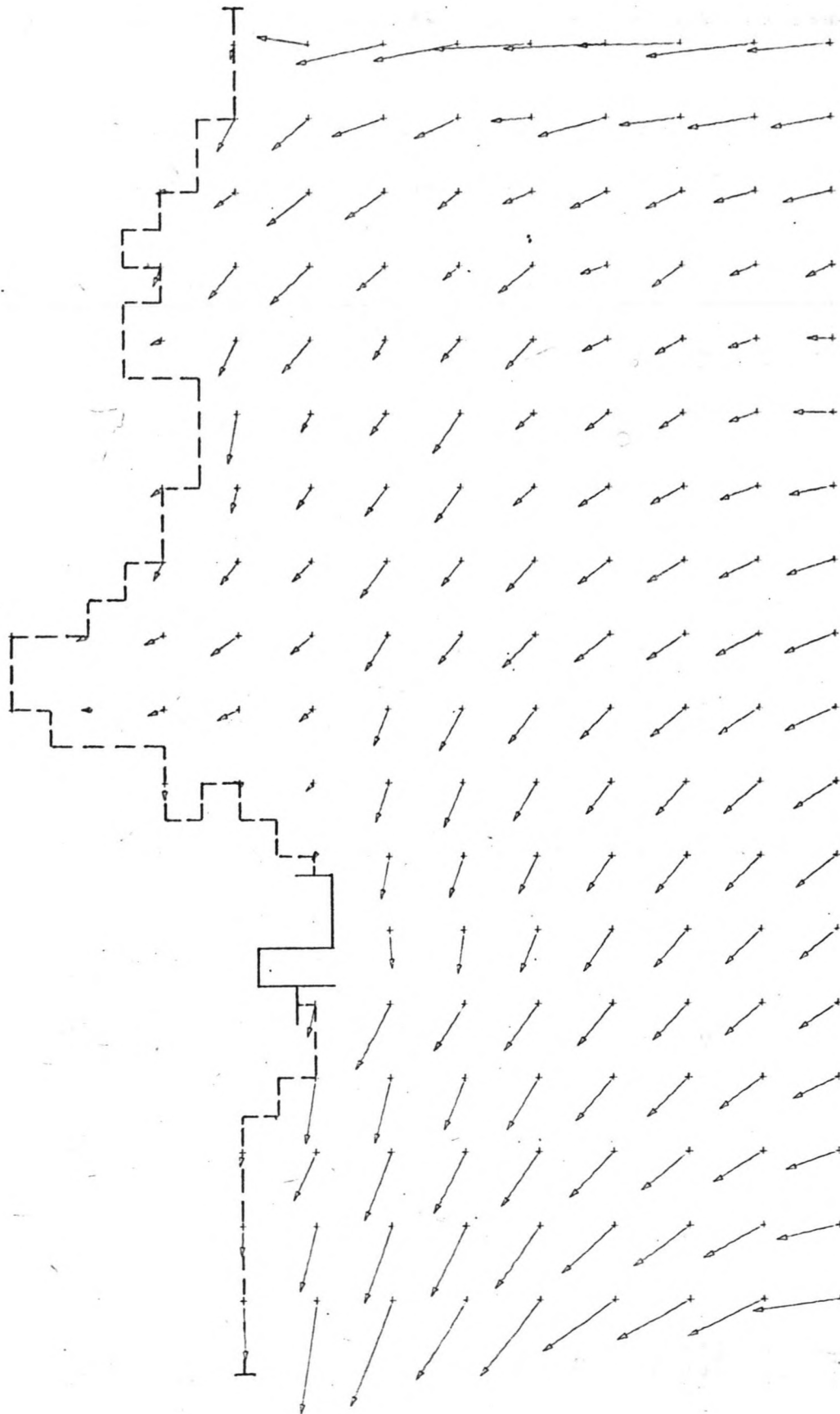


100.00 90.00 80.00 70.00 60.00 50.00 40.00 30.00 20.00 10.00 0.00 -10.00 -20.00 -30.00 -40.00
-20.00 -10.00 0.00 10.00 20.00 30.00 40.00 50.00 60.00 70.00 80.00 90.00 100.00 110.00 120.00 130.00 140.00 150.00 160.00 170.00
X-Y AXIS *10¹

TIME=118800.00
VECTOR SCALE=0.25

$t = 8 \text{ UUR}$

T₁ - BEREKENING

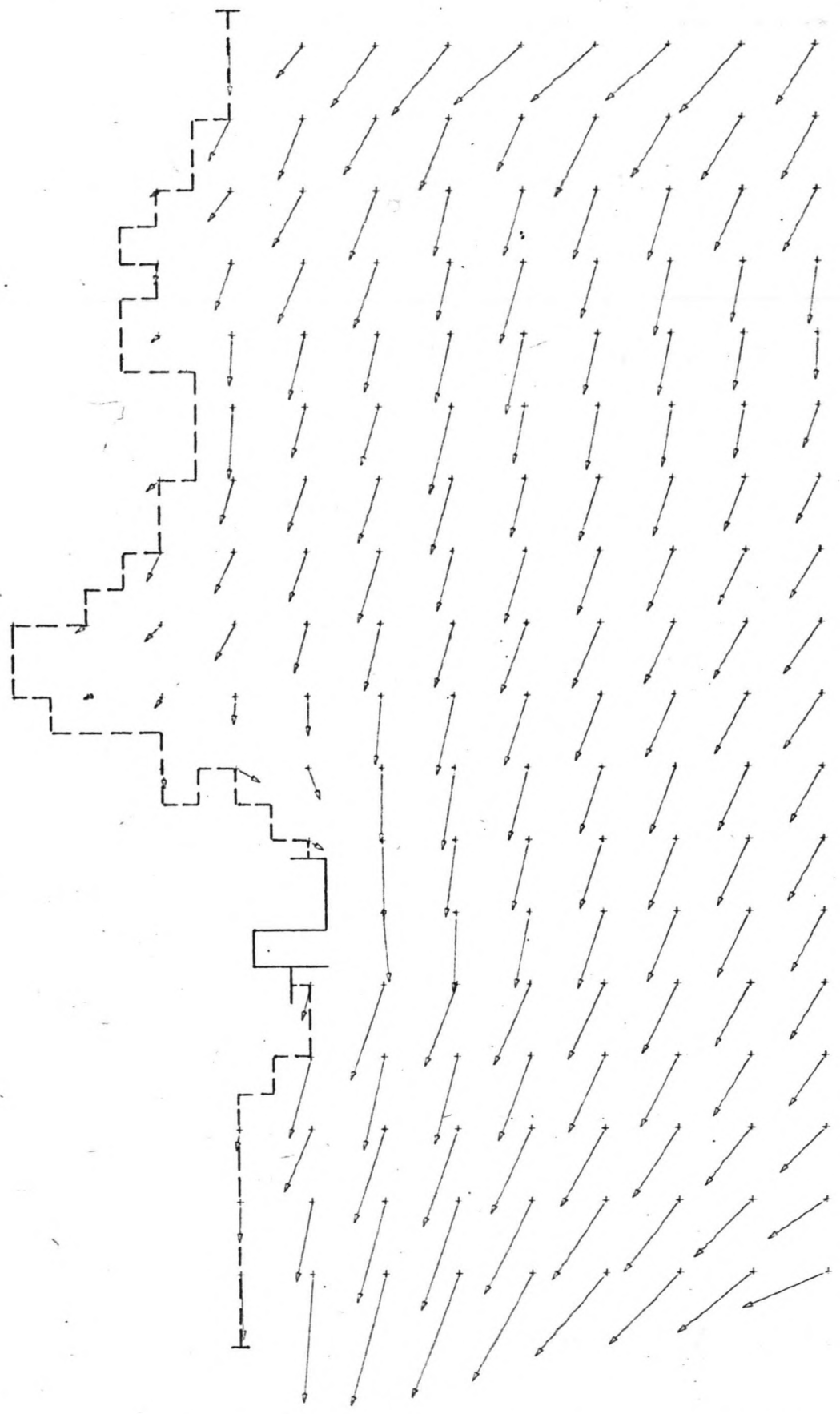


90.00 80.00 70.00 60.00 50.00 40.00 30.00 20.00 10.00 0.00 -10.00 -20.00 -30.00
-30.00 -20.00 -10.00 0.00 10.00 20.00 30.00 40.00 50.00 60.00 70.00 80.00 90.00
X-AXIS
Y-AXIS

TIME=122400.00
VECTOR SCALE=0.25

$t = 9$ UUR

T₁ - BEREKENING

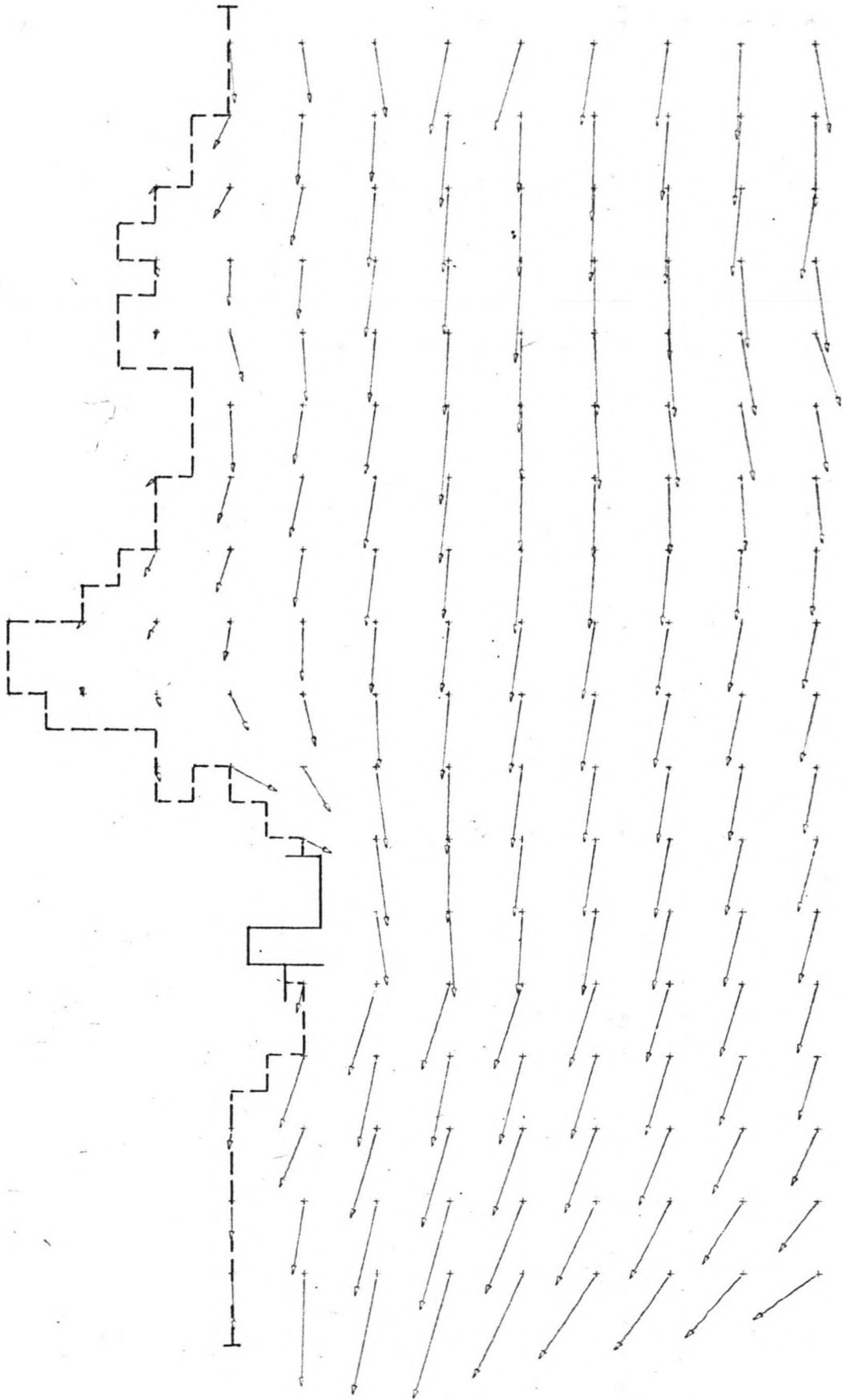


120.00 110.00 100.00 90.00 80.00 70.00 60.00 50.00 40.00 30.00 20.00 10.00 0.00 -10.00 -20.00 -30.00 -40.00 -50.00 -60.00 -70.00 -80.00 -90.00 -100.00 -110.00 -120.00
X-AXIS *10³
200.00 220.00 240.00 260.00 280.00 300.00 320.00 340.00 360.00 380.00 400.00 420.00 440.00 460.00 480.00 500.00 520.00 540.00 560.00 580.00 600.00 620.00 640.00 660.00 680.00 700.00 720.00 740.00 760.00 780.00 800.00 820.00 840.00 860.00 880.00 900.00 920.00 940.00 960.00 980.00 1000.00
Y-AXIS *10³

T₁ - BEREKENING

z = 10 uur

1:XS=126003.00
VECTOR SCALE=C.25

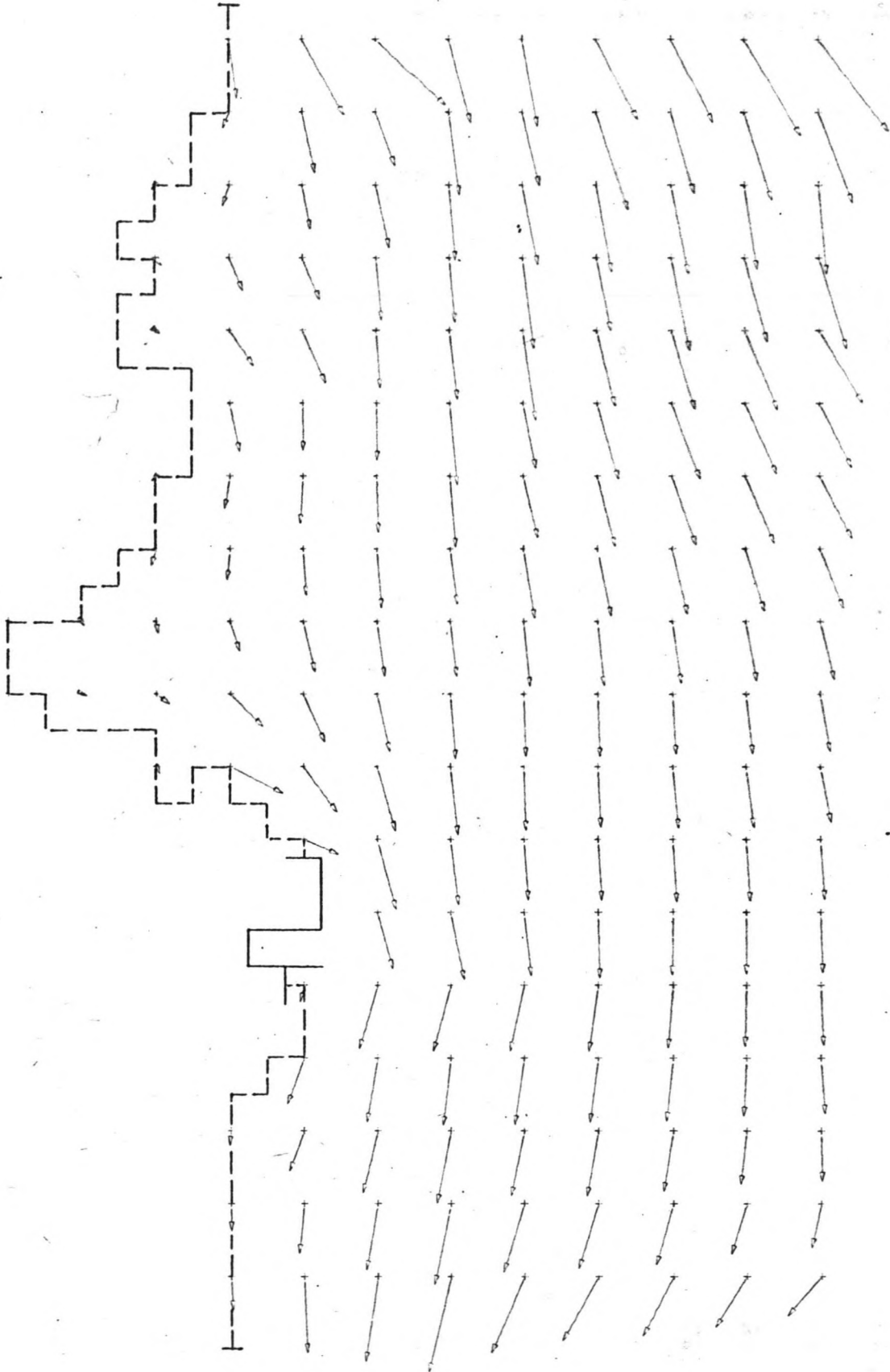


10.00 20.00 30.00 40.00 50.00 60.00 70.00 80.00 90.00 100.00 110.00 120.00 130.00 140.00 150.00 160.00 170.00 180.00 190.00 200.00 210.00 220.00 230.00 240.00 250.00 260.00 270.00 280.00 290.00 300.00 310.00 320.00 330.00 340.00 350.00 360.00 370.00 380.00 390.00 400.00 410.00 420.00 430.00 440.00 450.00 460.00 470.00 480.00 490.00 500.00 510.00 520.00 530.00 540.00 550.00 560.00 570.00 580.00 590.00 600.00 610.00 620.00 630.00 640.00 650.00 660.00 670.00 680.00 690.00 700.00 710.00 720.00 730.00 740.00 750.00 760.00 770.00 780.00 790.00 800.00 810.00 820.00 830.00 840.00 850.00 860.00 870.00 880.00 890.00 900.00 910.00 920.00 930.00 940.00 950.00 960.00 970.00 980.00 990.00 1000.00

T₁ - BEREKENING

t = 11 uur

T: 4E=129600.00
VECTOR SCALE=0.25

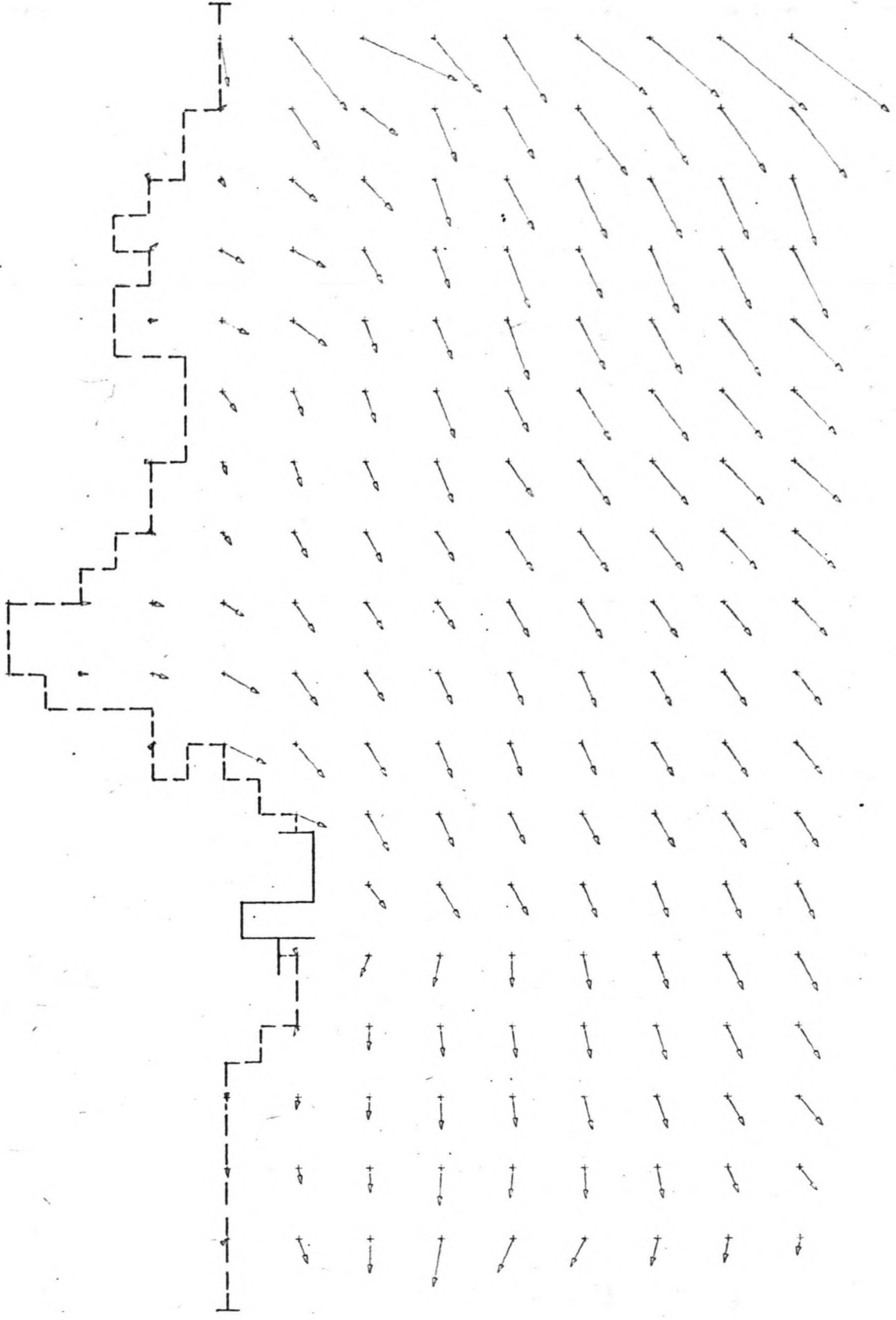


X: 5215 *10⁷
-10.00 -20.00 -30.00 -40.00 -50.00 -60.00 -70.00 -80.00 -90.00 -100.00 -110.00 -120.00 -130.00 -140.00 -150.00 -160.00 -170.00 -180.00 -190.00 -200.00 -210.00 -220.00 -230.00 -240.00 -250.00 -260.00 -270.00 -280.00 -290.00 -300.00 -310.00 -320.00 -330.00 -340.00 -350.00 -360.00 -370.00 -380.00 -390.00 -400.00 -410.00 -420.00 -430.00 -440.00 -450.00 -460.00 -470.00 -480.00 -490.00 -500.00 -510.00 -520.00 -530.00 -540.00 -550.00 -560.00 -570.00 -580.00 -590.00 -600.00 -610.00 -620.00 -630.00 -640.00 -650.00 -660.00 -670.00 -680.00 -690.00 -700.00 -710.00 -720.00 -730.00 -740.00 -750.00 -760.00 -770.00 -780.00 -790.00 -800.00 -810.00 -820.00 -830.00 -840.00 -850.00 -860.00 -870.00 -880.00 -890.00 -900.00 -910.00 -920.00 -930.00 -940.00 -950.00 -960.00 -970.00 -980.00 -990.00 -1000.00

T₁ - BEREKENING

t = 12 uur

TIME=133200.00
VECTOR SCALE=0.25

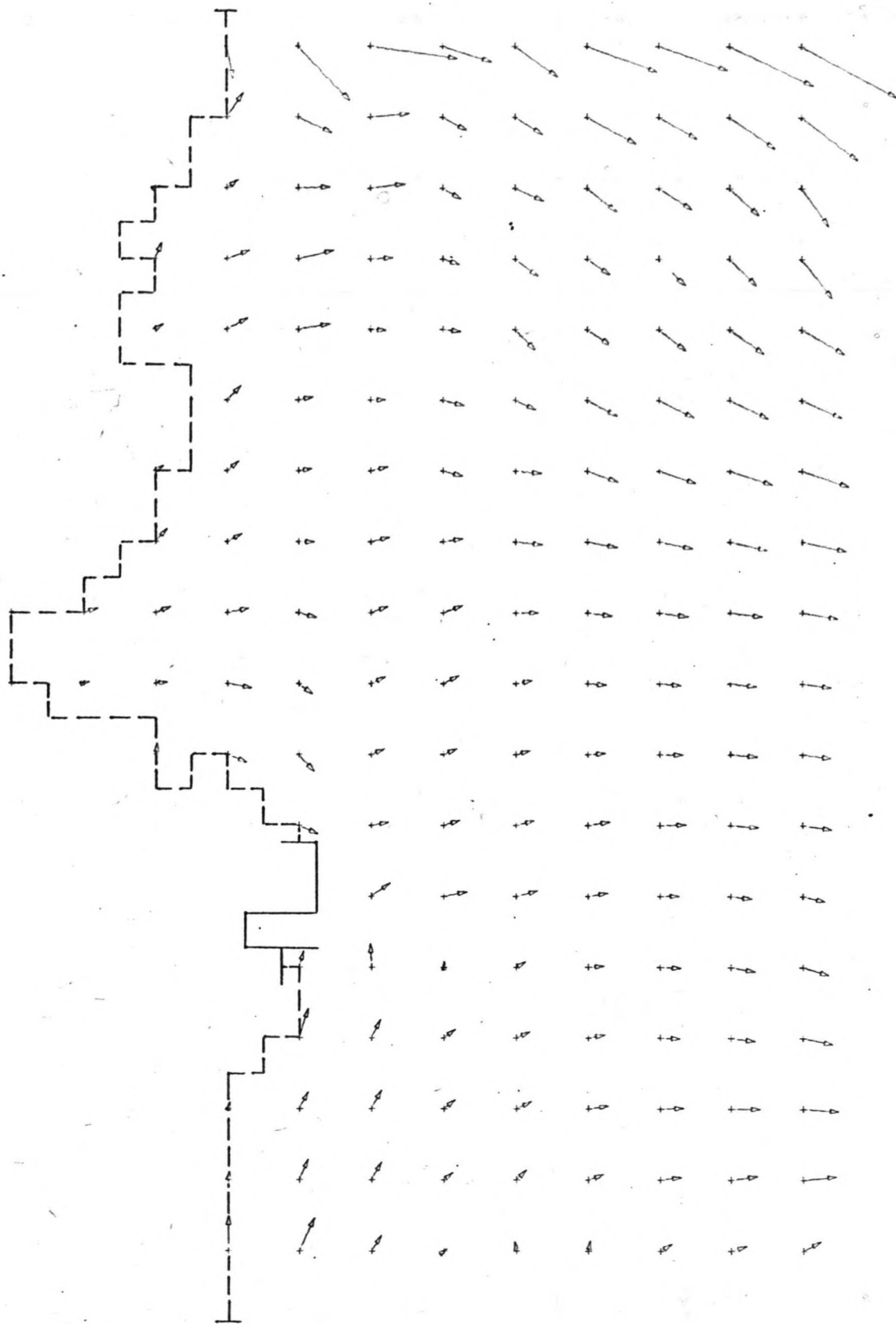


250.00 240.00 230.00 220.00 210.00 200.00 190.00 180.00 170.00 160.00 150.00 140.00 130.00 120.00 110.00 100.00 90.00 80.00 70.00 60.00 50.00 40.00 30.00 20.00 10.00 0.00 -10.00 -20.00

T₁ - BEREKENING

t = 13 uur

TIME=136800.00
VECTOR SCALE=0.25



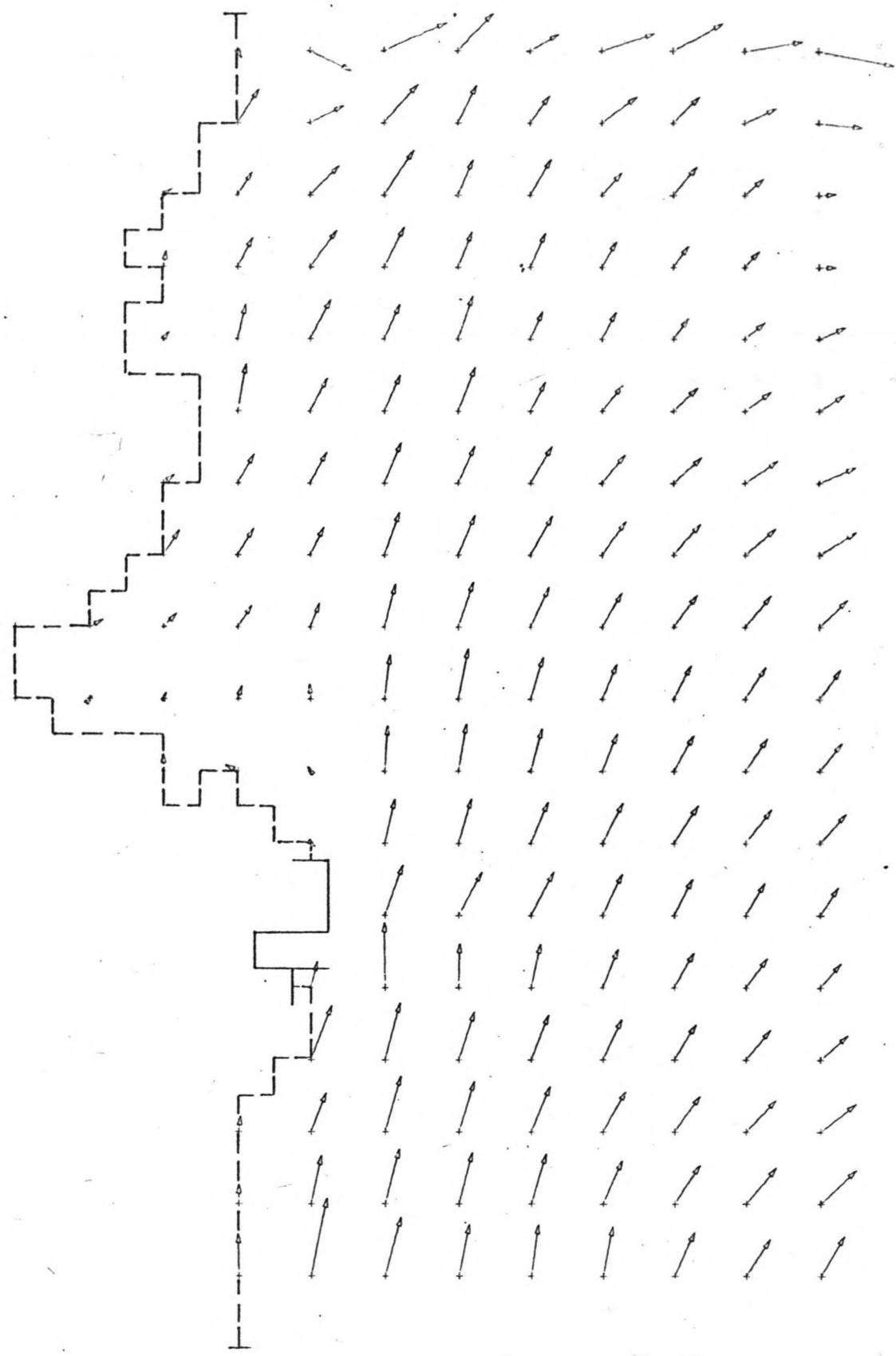
11.00 -82.00 -7.00 20.00 41.00 61.00 80.00 100.00 120.00 140.00 160.00 180.00 200.00 220.00 240.00 260.00 280.00 300.00 320.00 340.00 360.00 380.00 400.00 420.00 440.00 460.00 480.00 500.00 520.00 540.00 560.00 580.00 600.00 620.00 640.00 660.00 680.00 700.00 720.00 740.00 760.00 780.00 800.00 820.00 840.00 860.00 880.00 900.00 920.00 940.00 960.00 980.00 1000.00

X-RYS *10³

TIME: 140400.00
VECTOR SCALE: 0.25

t = 14 UHR

T₁ - BEREKENING

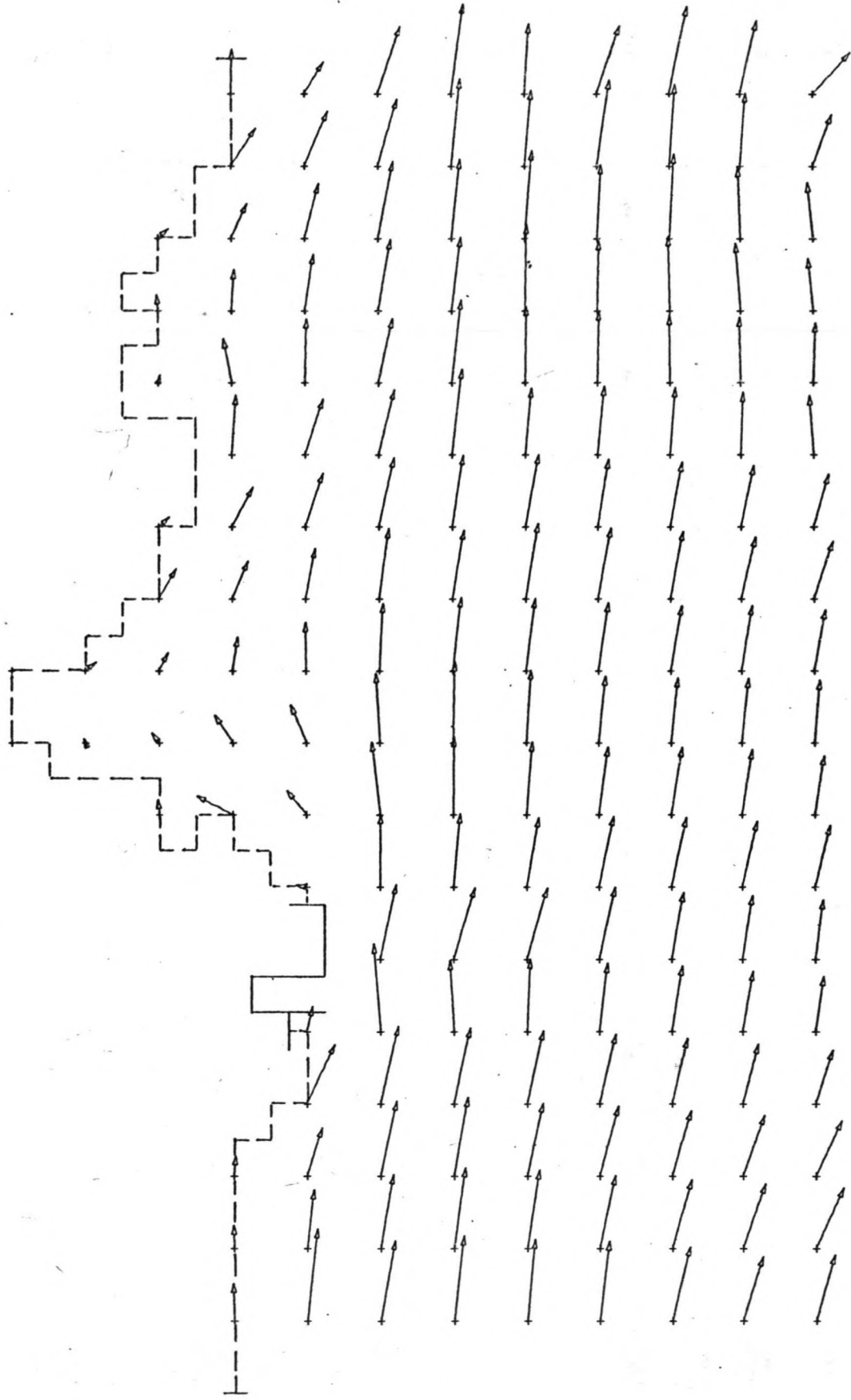


10.00 20.00 30.00 40.00 50.00 60.00 70.00 80.00 90.00 100.00 110.00 120.00 130.00 140.00 150.00 160.00 170.00
-10.00 -5.00 0.00 5.00 10.00 15.00 20.00 25.00 30.00 35.00 40.00 45.00 50.00 55.00 60.00 65.00 70.00 75.00 80.00 85.00 90.00 95.00 100.00 105.00 110.00 115.00 120.00 125.00 130.00 135.00 140.00 145.00 150.00 155.00 160.00 165.00 170.00

T₁ - BEREKENING

t = 15 uur

TIME = 144000.00
VECTOR SCALE = 0.25



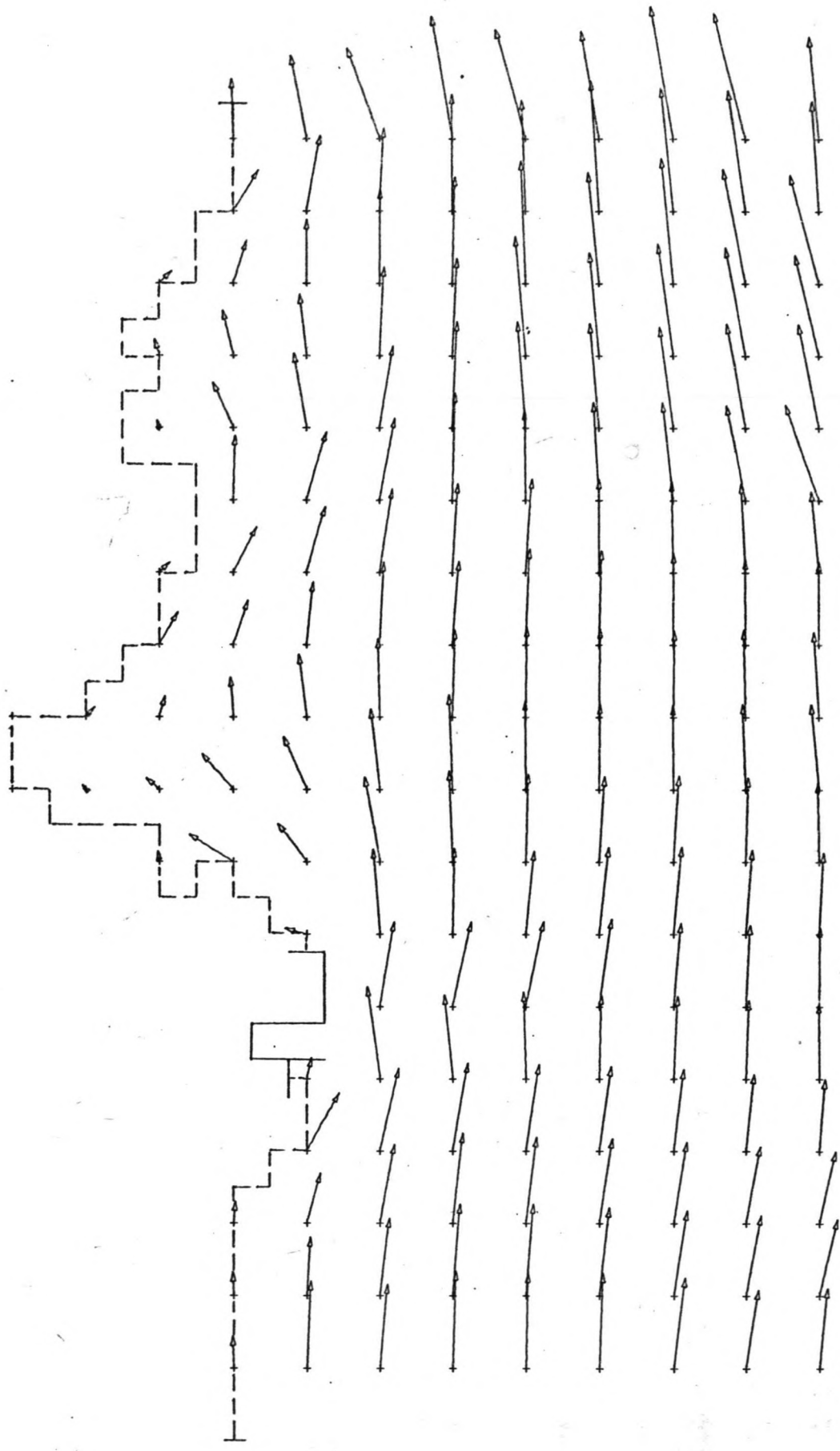
120.00 110.00 100.00 90.00 80.00 70.00 60.00 50.00 40.00 30.00 20.00 10.00 0.00 -10.00 -20.00
-50.00 0.00 50.00 100.00 150.00 200.00 250.00 300.00 350.00
X-RIS * 10³

T₁ - BEREKENING

t = 16 uur

TIME=147600.00

VECTOR SCALE=0.25

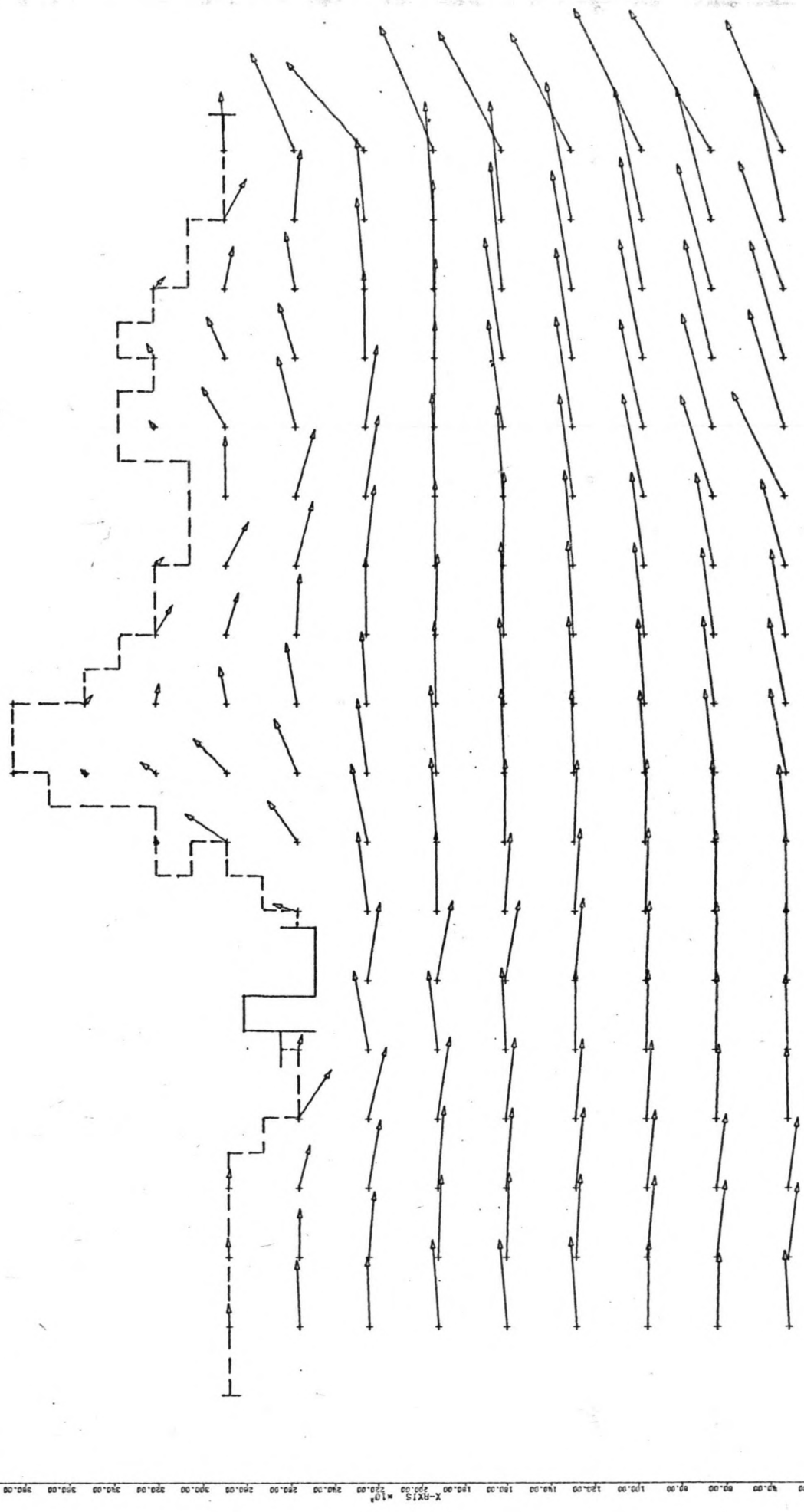


150.00 140.00 130.00 120.00 110.00 100.00 90.00 80.00 70.00 60.00 50.00 40.00 30.00 20.00 10.00 0.00
-30.00 -20.00 -10.00 0.00 10.00 20.00 30.00 40.00 50.00 60.00 70.00 80.00 90.00 100.00 110.00 120.00 130.00 140.00 150.00
X-AXIS *10³
Y-AXIS *10

T₁ - BEREKENING

t = 17 uur

TIME=151200.00
VECTOR SCALE=0.25

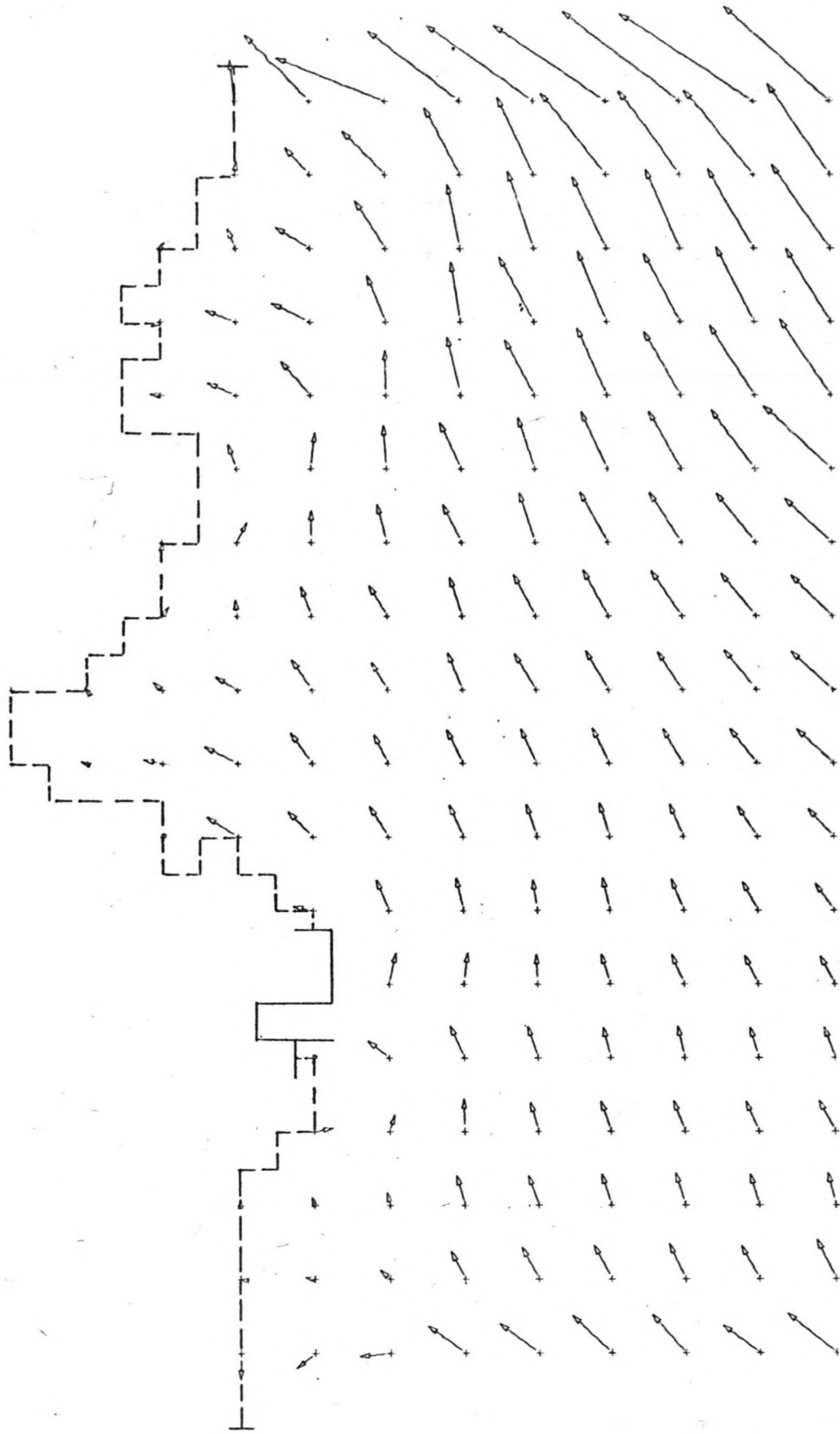


700.00 680.00 660.00 640.00 620.00 600.00 580.00 560.00 540.00 520.00 500.00 480.00 460.00 440.00 420.00 400.00 380.00 360.00 340.00 320.00 300.00 280.00 260.00 240.00 220.00 200.00 180.00 160.00 140.00 120.00 100.00 80.00 60.00 40.00 20.00 0.00 -20.00 -40.00

T₁ - BEREKENING

t = 19 uur

T:ME=158400.00
VECTOR SCALE=0.25

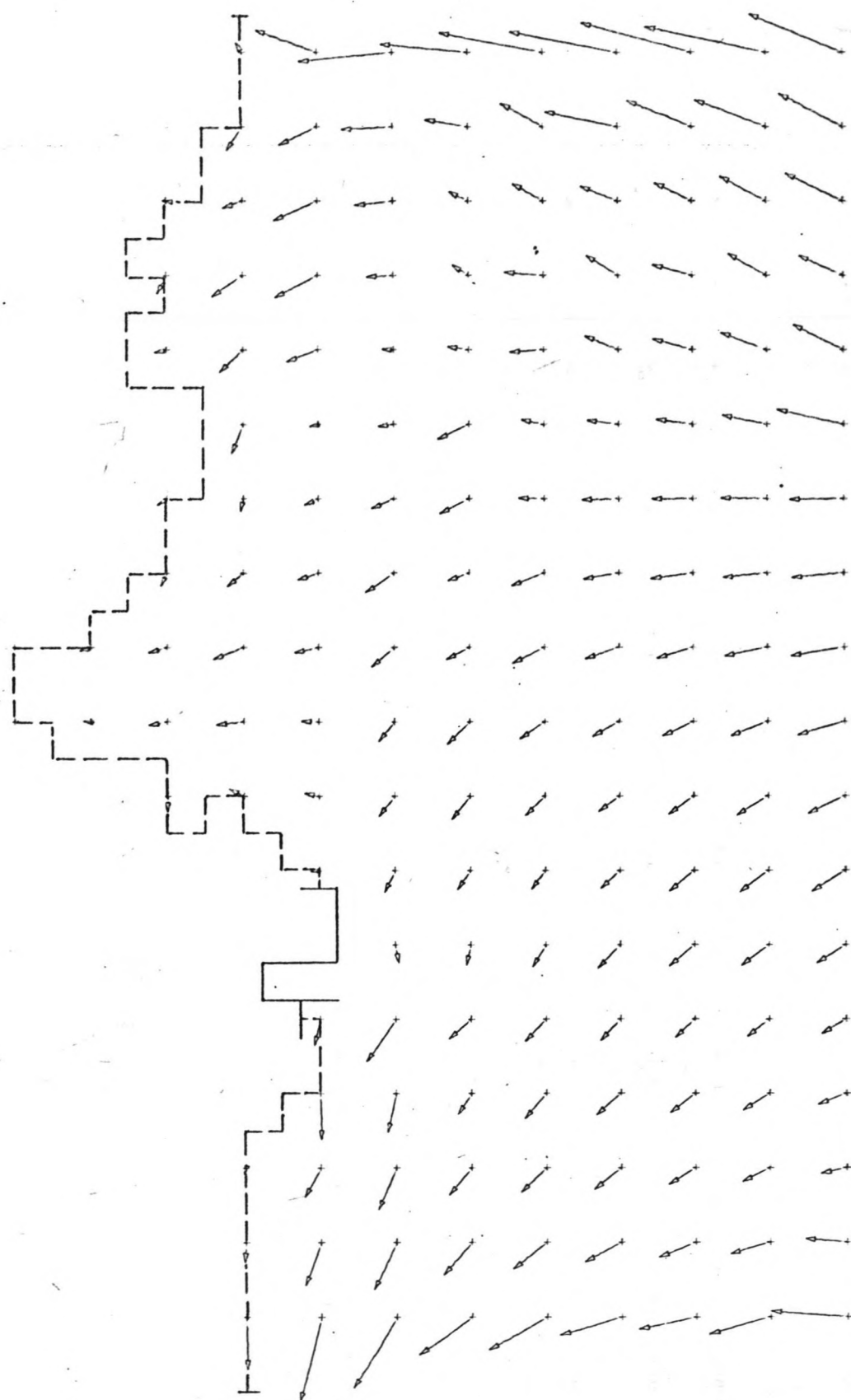


0.00 20.00 40.00 60.00 80.00 100.00 120.00 140.00 160.00 180.00 200.00 220.00 240.00 260.00 280.00 300.00
0.00 20.00 40.00 60.00 80.00 100.00 120.00 140.00 160.00 180.00 200.00 220.00 240.00 260.00 280.00 300.00

T₁ - BEREKENING

t = 20 UUR

TIME=162000.00
VECTOR SCALE=0.25

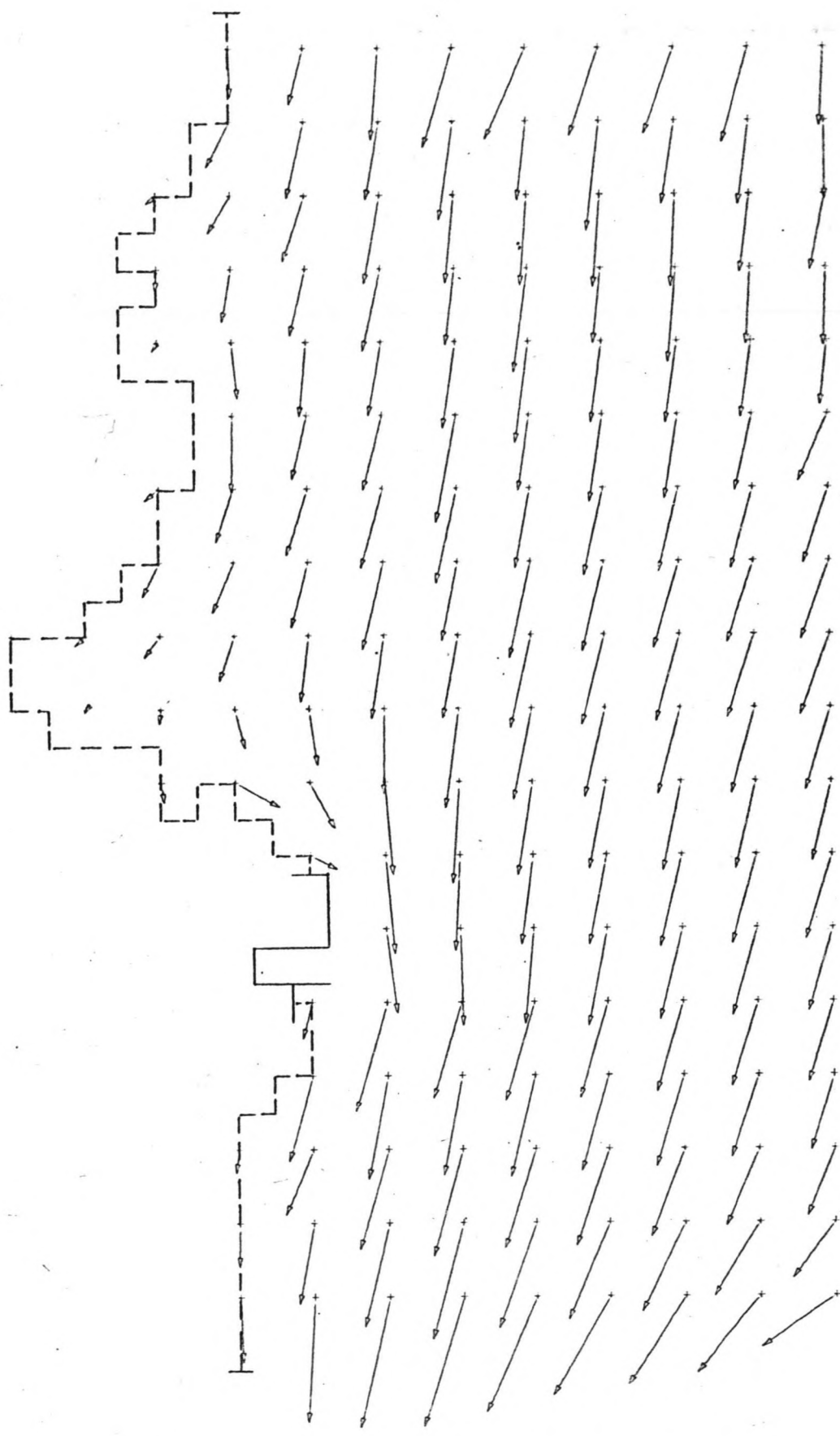


100.00 90.00 80.00 70.00 60.00 50.00 40.00 30.00 20.00 10.00 0.00 -10.00 -20.00 -30.00 -40.00 -50.00 -60.00 -70.00 -80.00 -90.00 -100.00
100.00 110.00 120.00 130.00 140.00 150.00 160.00 170.00 180.00 190.00 200.00 210.00 220.00 230.00 240.00 250.00 260.00 270.00 280.00 290.00 300.00 310.00 320.00 330.00 340.00 350.00 360.00 370.00 380.00 390.00 400.00 410.00 420.00 430.00 440.00 450.00 460.00 470.00 480.00 490.00 500.00 510.00 520.00 530.00 540.00 550.00 560.00 570.00 580.00 590.00 600.00 610.00 620.00 630.00 640.00 650.00 660.00 670.00 680.00 690.00 700.00 710.00 720.00 730.00 740.00 750.00 760.00 770.00 780.00 790.00 800.00 810.00 820.00 830.00 840.00 850.00 860.00 870.00 880.00 890.00 900.00 910.00 920.00 930.00 940.00 950.00 960.00 970.00 980.00 990.00 1000.00

T₁ - BEREKENING

t = 22 uur

TIME=189200.00
VECTOR SCALE=0.25



10.00 -2.00 -4.00 -6.00 -8.00 -10.00 -12.00 -14.00 -16.00 -18.00 -20.00 -22.00 -24.00 -26.00 -28.00 -30.00 -32.00 -34.00 -36.00 -38.00 -40.00 -42.00 -44.00 -46.00 -48.00 -50.00 -52.00 -54.00 -56.00 -58.00 -60.00 -62.00 -64.00 -66.00 -68.00 -70.00 -72.00 -74.00 -76.00 -78.00 -80.00 -82.00 -84.00 -86.00 -88.00 -90.00 -92.00 -94.00 -96.00 -98.00 -100.00

10.00 20.00 30.00 40.00 50.00 60.00 70.00 80.00 90.00 100.00 110.00 120.00 130.00 140.00 150.00 160.00 170.00 180.00 190.00 200.00 210.00 220.00 230.00 240.00 250.00 260.00 270.00 280.00 290.00 300.00 310.00 320.00 330.00 340.00 350.00 360.00 370.00 380.00 390.00 400.00 410.00 420.00 430.00 440.00 450.00 460.00 470.00 480.00 490.00 500.00 510.00 520.00 530.00 540.00 550.00 560.00 570.00 580.00 590.00 600.00 610.00 620.00 630.00 640.00 650.00 660.00 670.00 680.00 690.00 700.00 710.00 720.00 730.00 740.00 750.00 760.00 770.00 780.00 790.00 800.00 810.00 820.00 830.00 840.00 850.00 860.00 870.00 880.00 890.00 900.00 910.00 920.00 930.00 940.00 950.00 960.00 970.00 980.00 990.00 1000.00

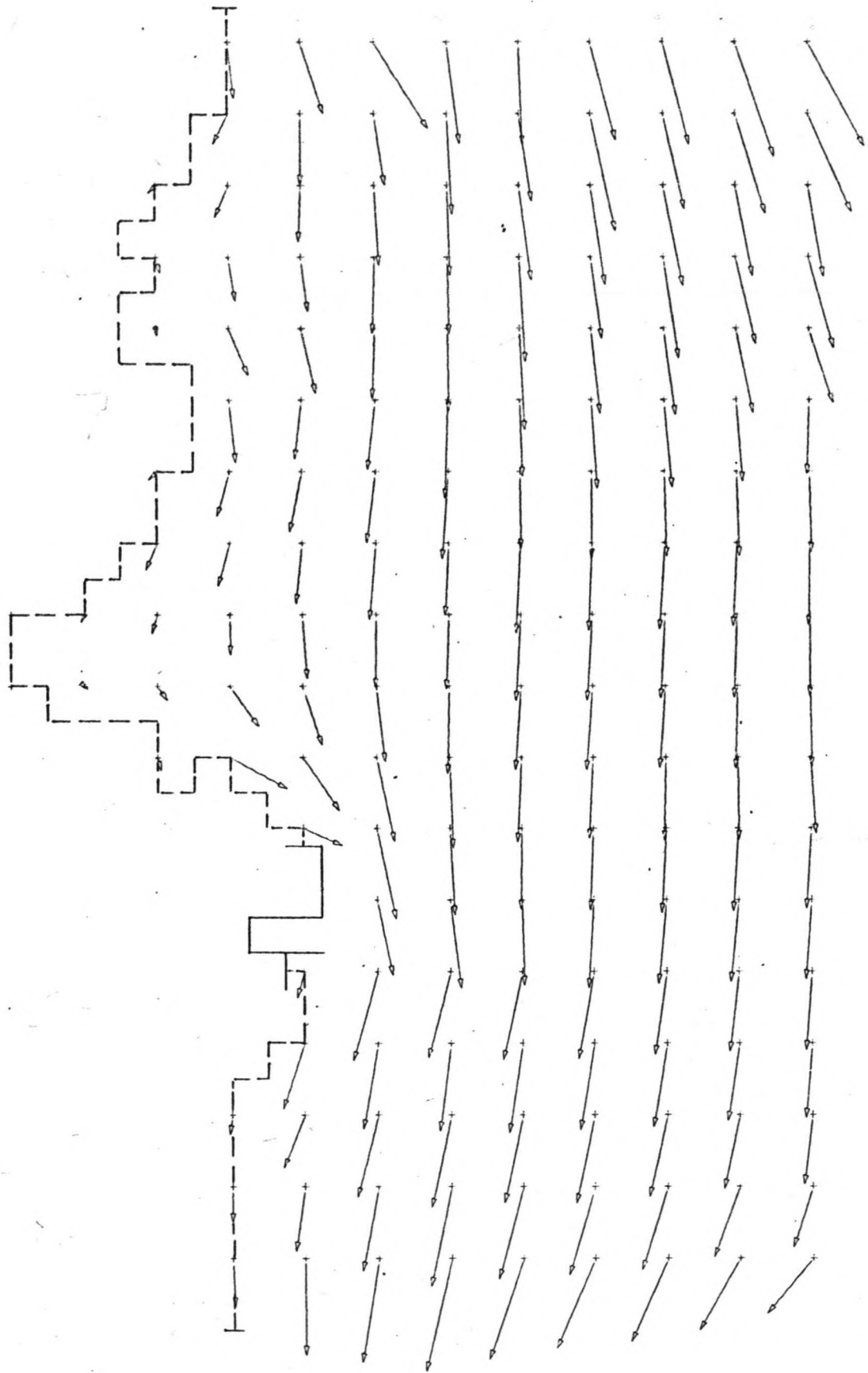
T₁ - BEREKENING

t = 23 uur

HW - HvH

TIME = 172600.00

VECTOR SCALE = 0.25



100.00 98.00 96.00 94.00 92.00 90.00 88.00 86.00 84.00 82.00 80.00 78.00 76.00 74.00 72.00 70.00 68.00 66.00 64.00 62.00 60.00 58.00 56.00 54.00 52.00 50.00 48.00 46.00 44.00 42.00 40.00 38.00 36.00 34.00 32.00 30.00 28.00 26.00 24.00 22.00 20.00 18.00 16.00 14.00 12.00 10.00 8.00 6.00 4.00 2.00 0.00 -2.00 -4.00 -6.00 -8.00 -10.00

BIJLAGE A-V.

T₂-model.

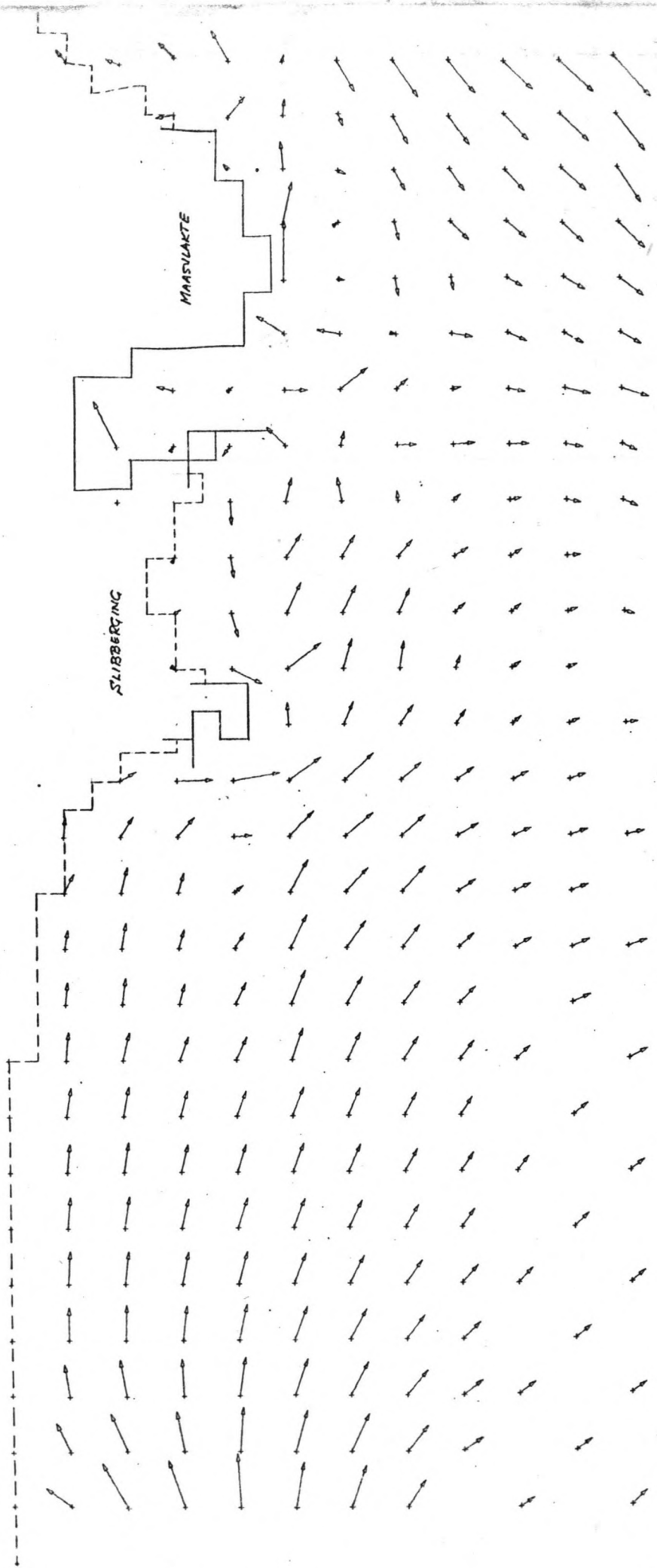
Plot-uitvoer van snelheidsvectoren; verkleind.

t = 23 uur komt ongeveer overeen met H.W.-H.v.H.

TIME=93600.00
VECTOR SCALE=0.25

$t = 1 \text{ uur}$

LENGTESCHAAL 1:50.000
SCHAAAL SNELHEIDSVECTOR 1 cm $\hat{=}$ 0,25 m/s

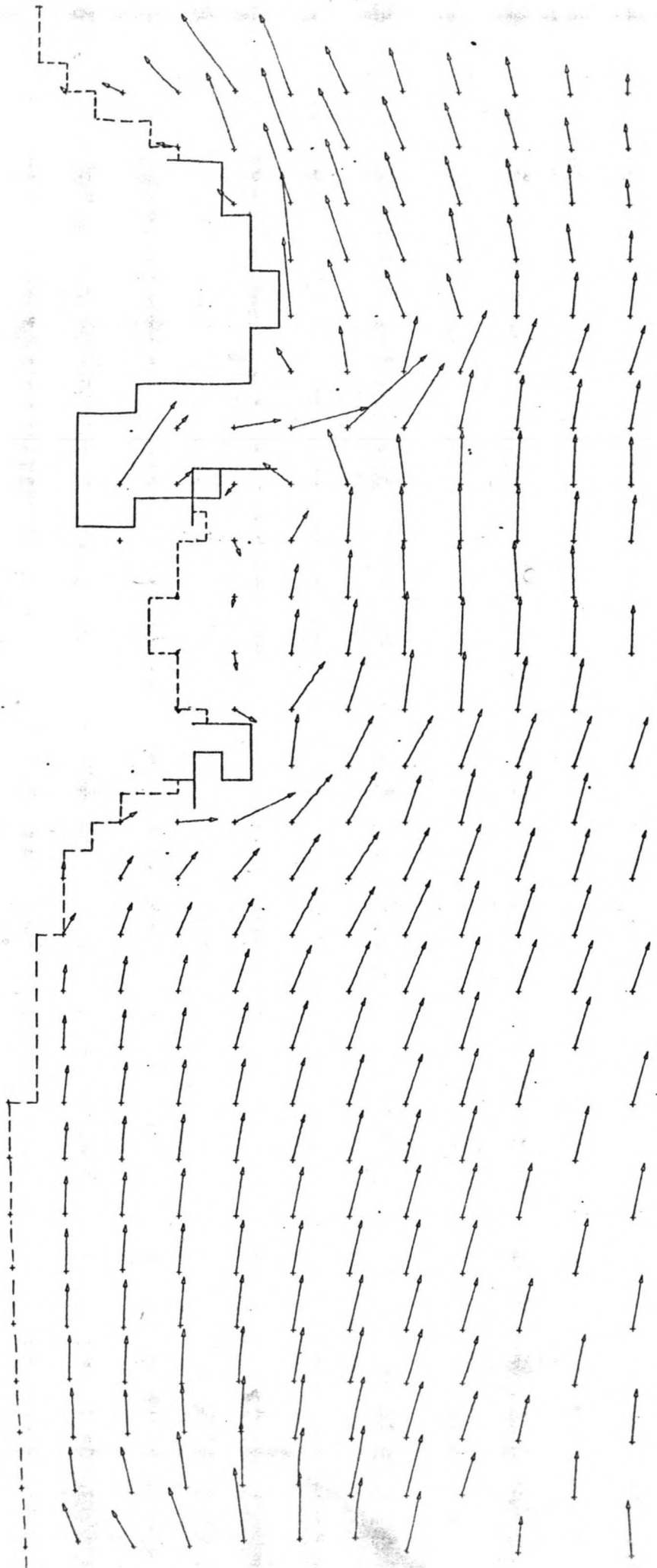


120.00 121.00 122.00 123.00 124.00 125.00 126.00 127.00 128.00 129.00 130.00 131.00 132.00 133.00 134.00 135.00 136.00 137.00 138.00 139.00 140.00 141.00 142.00 143.00 144.00 145.00 146.00 147.00 148.00 149.00 150.00 151.00 152.00 153.00 154.00 155.00 156.00 157.00 158.00 159.00 160.00 161.00 162.00 163.00 164.00 165.00 166.00 167.00 168.00 169.00 170.00 171.00 172.00 173.00 174.00 175.00 176.00 177.00 178.00 179.00 180.00 181.00 182.00 183.00 184.00 185.00 186.00 187.00 188.00 189.00 190.00 191.00 192.00 193.00 194.00 195.00 196.00 197.00 198.00 199.00 200.00

TIME=100800.00
VECTOR SCALE=0.25

L = 3 uR

T₂ - BEREMENING

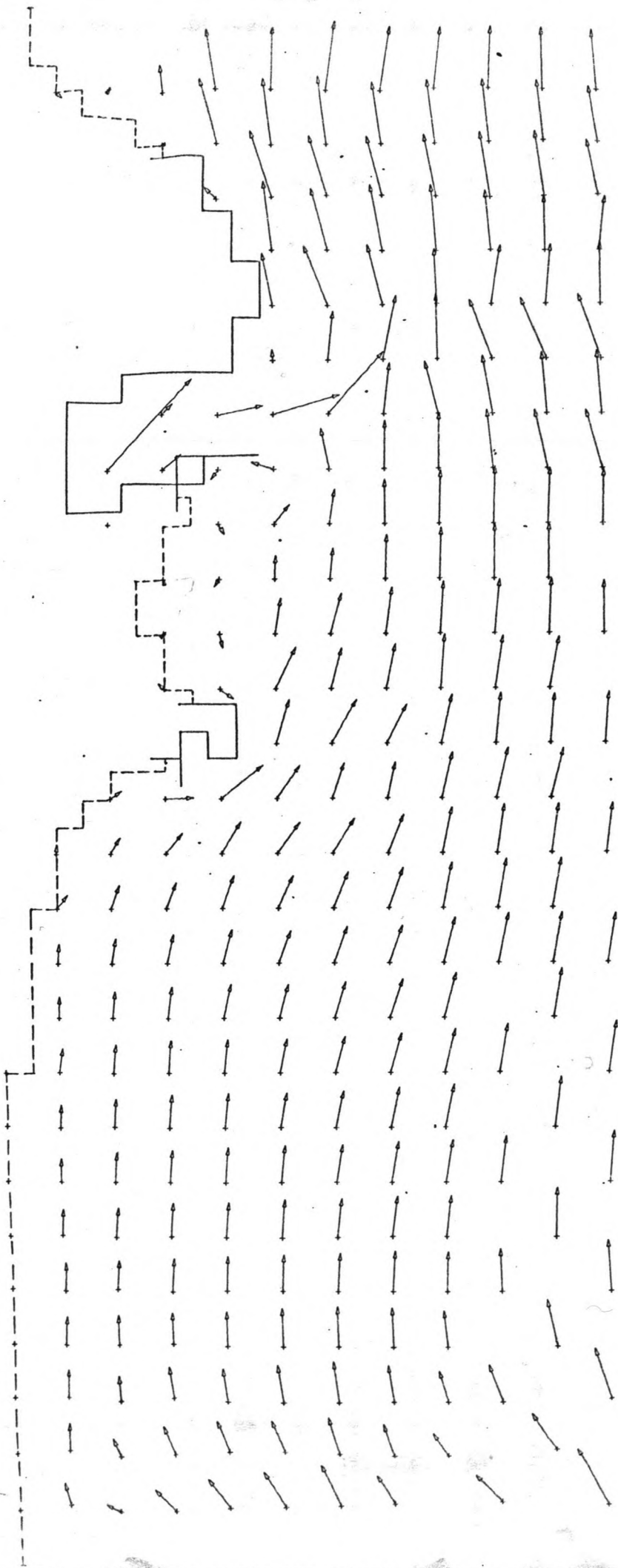


15.00 16.00 17.00 18.00 19.00 20.00 21.00 22.00 23.00 24.00 25.00 26.00 27.00 28.00 29.00 30.00 31.00 32.00 33.00 34.00 35.00 36.00 37.00 38.00 39.00 40.00 41.00 42.00 43.00 44.00 45.00 46.00 47.00 48.00 49.00 50.00 51.00 52.00 53.00 54.00 55.00 56.00 57.00 58.00 59.00 60.00 61.00 62.00 63.00 64.00 65.00 66.00 67.00 68.00 69.00 70.00 71.00 72.00 73.00 74.00 75.00 76.00 77.00 78.00 79.00 80.00 81.00 82.00 83.00 84.00 85.00 86.00 87.00 88.00 89.00 90.00 91.00 92.00 93.00 94.00 95.00 96.00 97.00 98.00 99.00 100.00

TIME=108000.00
VECTOR SCALE=0.25

$t = 5 \text{ HLR}$

$T_2 - \text{BEREKENING}$



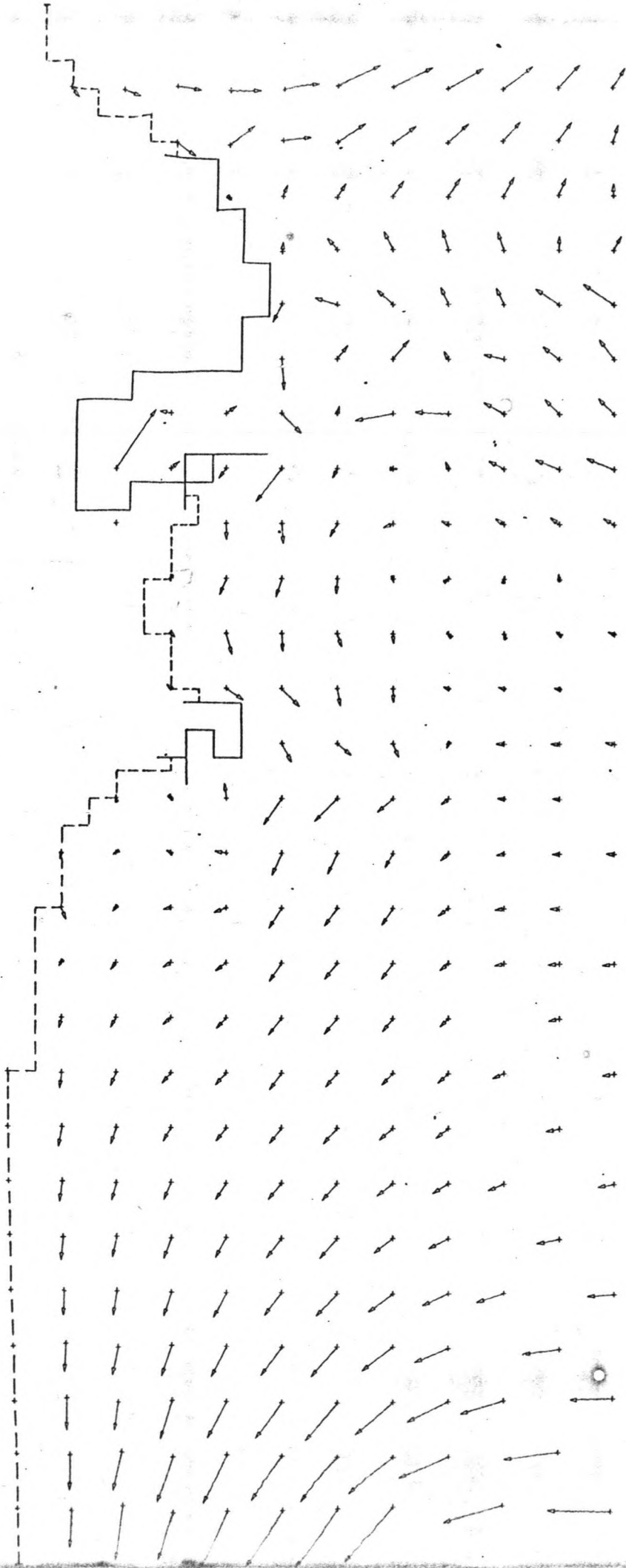
00.00 100.00 200.00 300.00 400.00 500.00 600.00 700.00 800.00 900.00 1000.00 1100.00 1200.00 1300.00 1400.00 1500.00 1600.00 1700.00 1800.00 1900.00 2000.00 2100.00 2200.00 2300.00 2400.00 2500.00 2600.00 2700.00 2800.00 2900.00 3000.00 3100.00 3200.00 3300.00 3400.00 3500.00 3600.00 3700.00 3800.00 3900.00 4000.00 4100.00 4200.00 4300.00 4400.00 4500.00 4600.00 4700.00 4800.00 4900.00 5000.00 5100.00 5200.00 5300.00 5400.00 5500.00 5600.00 5700.00 5800.00 5900.00 6000.00 6100.00 6200.00 6300.00 6400.00 6500.00 6600.00 6700.00 6800.00 6900.00 7000.00 7100.00 7200.00 7300.00 7400.00 7500.00 7600.00 7700.00 7800.00 7900.00 8000.00 8100.00 8200.00 8300.00 8400.00 8500.00 8600.00 8700.00 8800.00 8900.00 9000.00 9100.00 9200.00 9300.00 9400.00 9500.00 9600.00 9700.00 9800.00 9900.00 10000.00



T₂ - BEREKENING

$\lambda = 7 \mu\text{m}$

TIME=115200.00
VECTOR SCALE=0.25



0.00 10.00 20.00 30.00 40.00 50.00 60.00 70.00 80.00 90.00 100.00 110.00 120.00 130.00 140.00 150.00 160.00 170.00 180.00 190.00 200.00 210.00 220.00 230.00 240.00 250.00 260.00 270.00 280.00 290.00 300.00 310.00 320.00 330.00 340.00 350.00 360.00 370.00 380.00 390.00 400.00 410.00 420.00 430.00 440.00 450.00 460.00 470.00 480.00 490.00 500.00 510.00 520.00 530.00 540.00 550.00 560.00 570.00 580.00 590.00 600.00 610.00 620.00 630.00 640.00 650.00 660.00 670.00 680.00 690.00 700.00 710.00 720.00 730.00 740.00 750.00 760.00 770.00 780.00 790.00 800.00 810.00 820.00 830.00 840.00 850.00 860.00 870.00 880.00 890.00 900.00 910.00 920.00 930.00 940.00 950.00 960.00 970.00 980.00 990.00 1000.00



T₂ - BEREKENING

TIME = 122400.00

VECTOR SCALE = 0.25

t = 9 uur

V = 1.13

V = 1.14

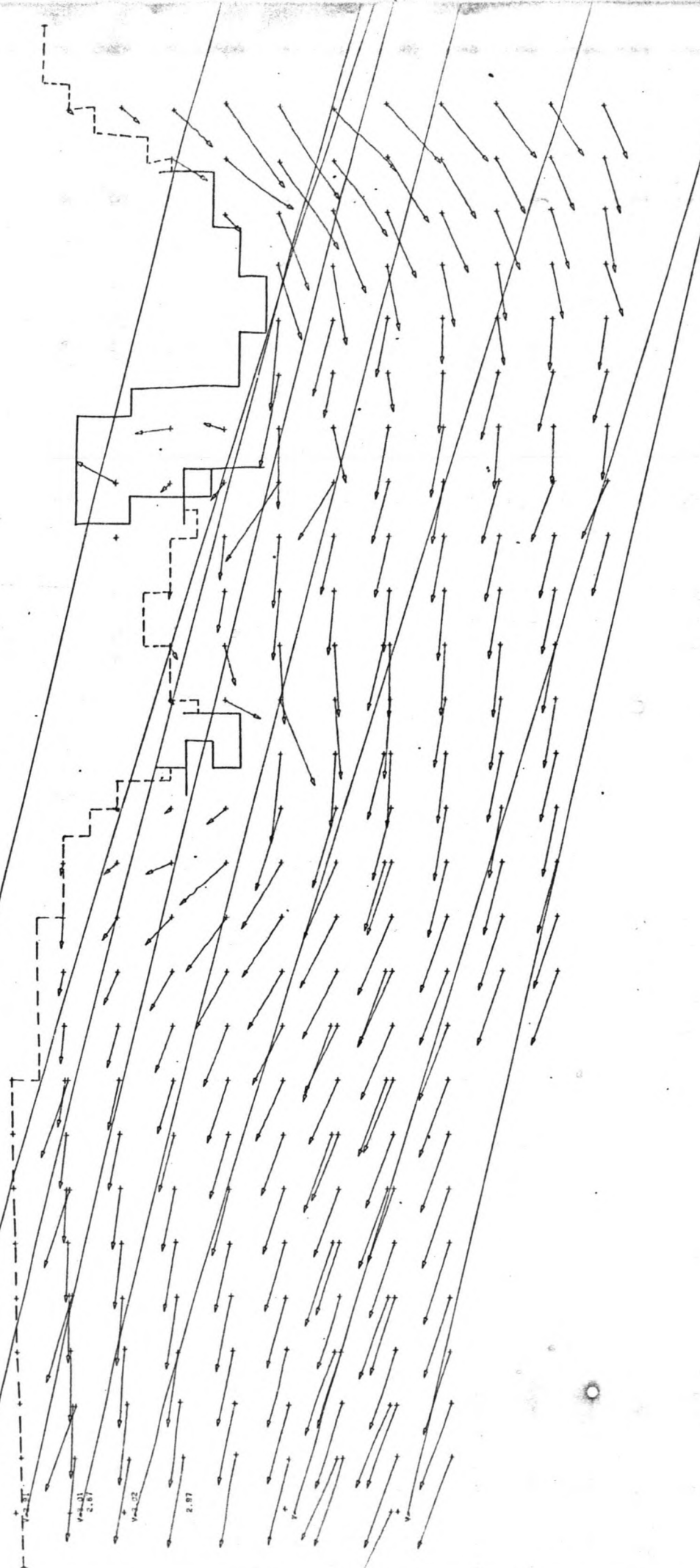
V = 1.80

V = 2.37

V = 2.61
2.67

V = 2.02

2.87

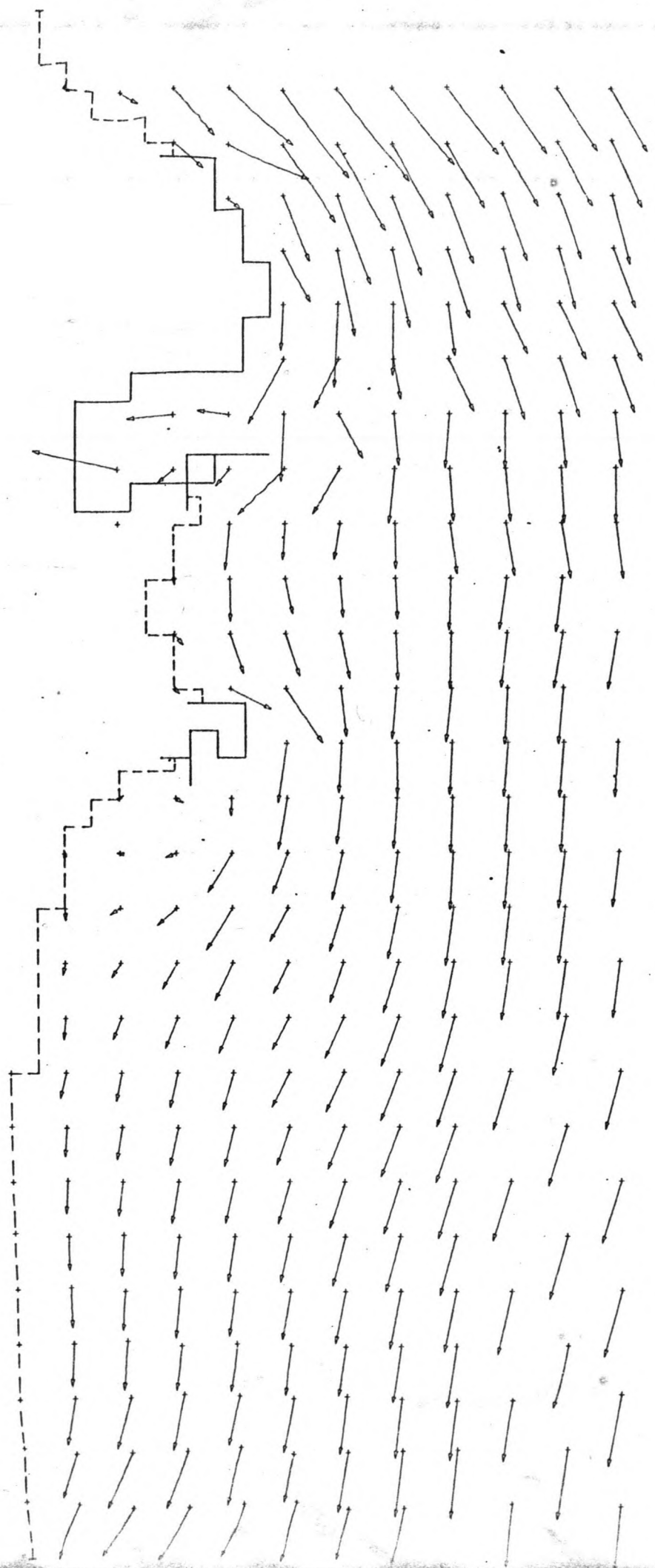


0.00 100.00 200.00 300.00 400.00 500.00 600.00 700.00 800.00 900.00 1000.00 1100.00 1200.00 1300.00 1400.00 1500.00 1600.00 1700.00 1800.00 1900.00 2000.00 2100.00 2200.00 2300.00 2400.00 2500.00 2600.00 2700.00 2800.00 2900.00 3000.00 3100.00 3200.00 3300.00 3400.00 3500.00 3600.00 3700.00 3800.00 3900.00 4000.00 4100.00 4200.00 4300.00 4400.00 4500.00 4600.00 4700.00 4800.00 4900.00 5000.00 5100.00 5200.00 5300.00 5400.00 5500.00 5600.00 5700.00 5800.00 5900.00 6000.00 6100.00 6200.00 6300.00 6400.00 6500.00 6600.00 6700.00 6800.00 6900.00 7000.00 7100.00 7200.00 7300.00 7400.00 7500.00 7600.00 7700.00 7800.00 7900.00 8000.00 8100.00 8200.00 8300.00 8400.00 8500.00 8600.00 8700.00 8800.00 8900.00 9000.00 9100.00 9200.00 9300.00 9400.00 9500.00 9600.00 9700.00 9800.00 9900.00 10000.00

TIME=129600.00
VECTOR SCALE=0.25

t = 11 uur

T₀ - BEREKENING



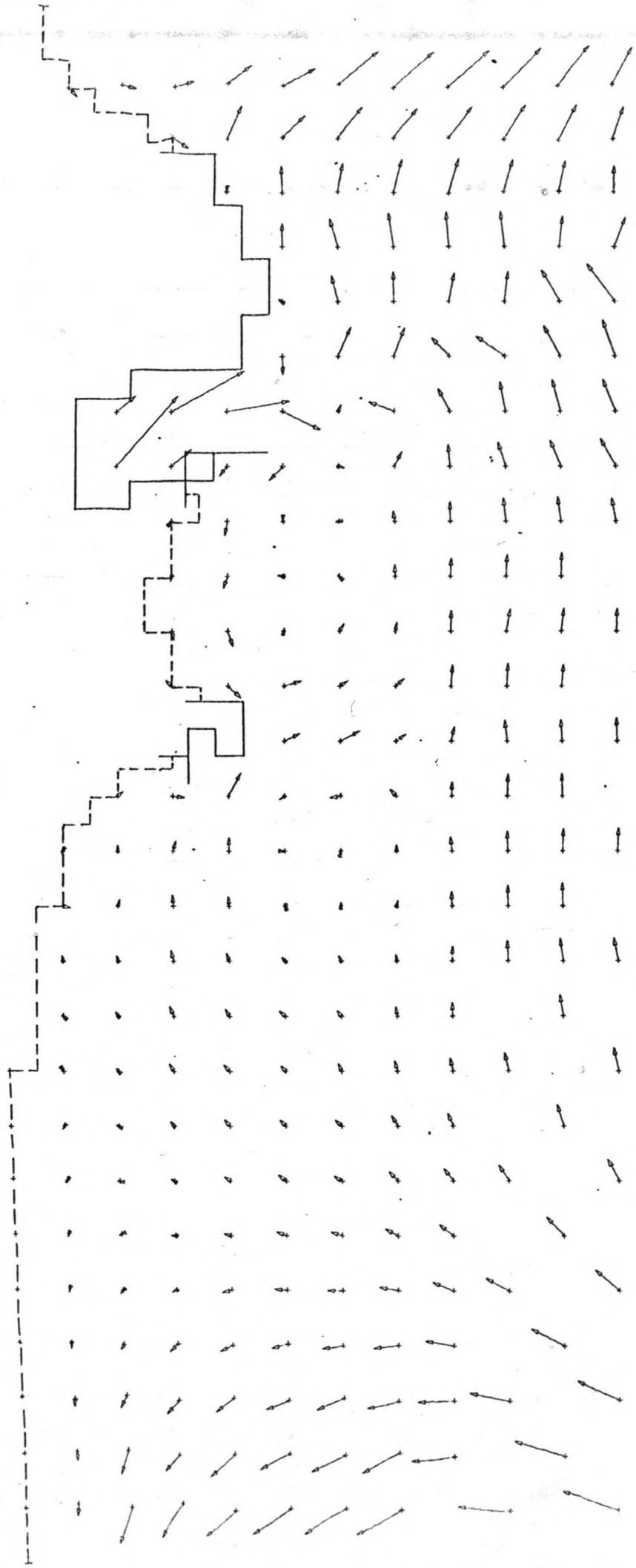
0 100.00 120.00 140.00 160.00 180.00 200.00 220.00 240.00 260.00 280.00 300.00 320.00 340.00 360.00 380.00 400.00 420.00 440.00 460.00 480.00 500.00 520.00 540.00 560.00 580.00 600.00 620.00 640.00 660.00 680.00 700.00 720.00 740.00 760.00 780.00 800.00 820.00 840.00 860.00 880.00 900.00 920.00 940.00 960.00 980.00 1000.00



T₂ - BERREKENING

t = 19 uur

TIME=158400.00
VECTOR SCALE=0.25



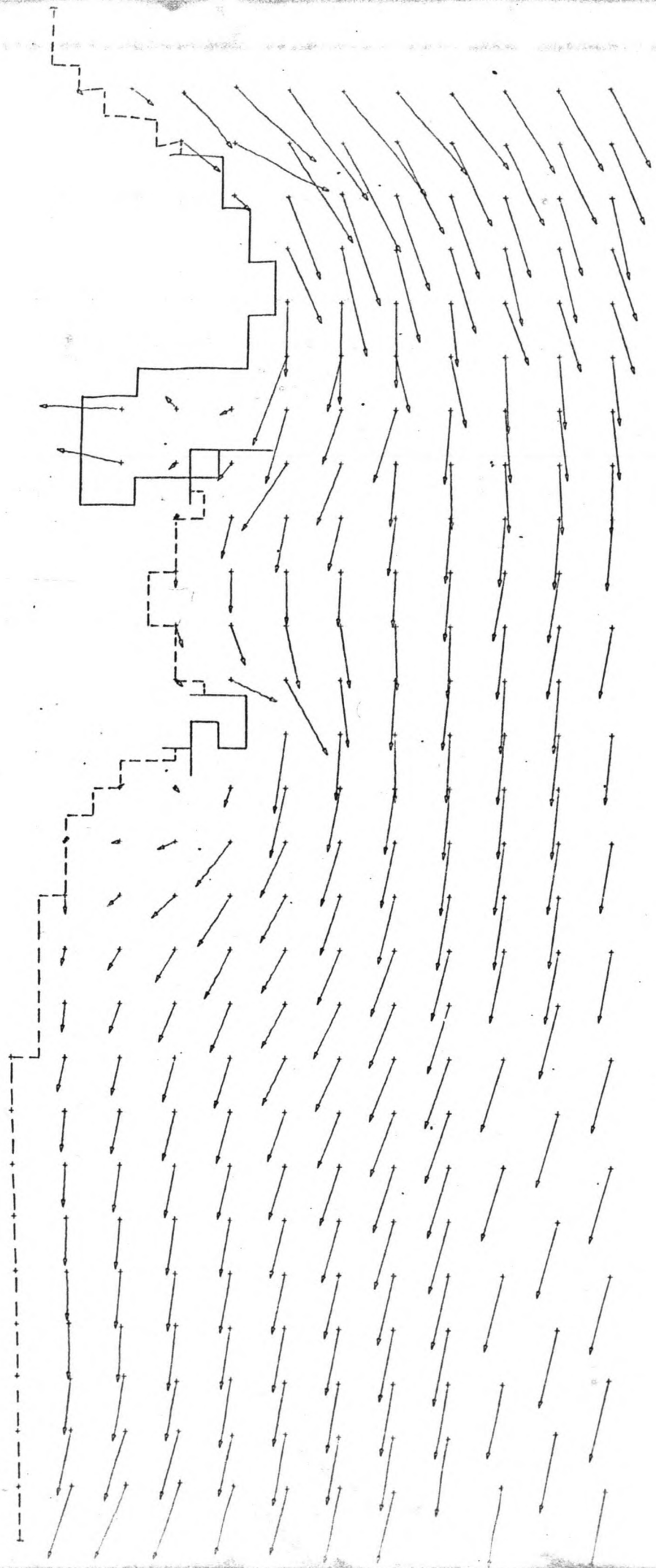
0.00 0.25 0.50 0.75 1.00 1.25 1.50 1.75 2.00 2.25 2.50 2.75 3.00 3.25 3.50 3.75 4.00 4.25 4.50 4.75 5.00 5.25 5.50 5.75 6.00 6.25 6.50 6.75 7.00 7.25 7.50 7.75 8.00 8.25 8.50 8.75 9.00 9.25 9.50 9.75 10.00 10.25 10.50 10.75 11.00 11.25 11.50 11.75 12.00 12.25 12.50 12.75 13.00 13.25 13.50 13.75 14.00 14.25 14.50 14.75 15.00 15.25 15.50 15.75 16.00 16.25 16.50 16.75 17.00 17.25 17.50 17.75 18.00 18.25 18.50 18.75 19.00 19.25 19.50 19.75 20.00 20.25 20.50 20.75 21.00 21.25 21.50 21.75 22.00 22.25 22.50 22.75 23.00 23.25 23.50 23.75 24.00 24.25 24.50 24.75 25.00 25.25 25.50 25.75 26.00 26.25 26.50 26.75 27.00 27.25 27.50 27.75 28.00 28.25 28.50 28.75 29.00 29.25 29.50 29.75 30.00 30.25 30.50 30.75 31.00 31.25 31.50 31.75 32.00 32.25 32.50 32.75 33.00 33.25 33.50 33.75 34.00 34.25 34.50 34.75 35.00 35.25 35.50 35.75 36.00 36.25 36.50 36.75 37.00 37.25 37.50 37.75 38.00 38.25 38.50 38.75 39.00 39.25 39.50 39.75 40.00 40.25 40.50 40.75 41.00 41.25 41.50 41.75 42.00 42.25 42.50 42.75 43.00 43.25 43.50 43.75 44.00 44.25 44.50 44.75 45.00 45.25 45.50 45.75 46.00 46.25 46.50 46.75 47.00 47.25 47.50 47.75 48.00 48.25 48.50 48.75 49.00 49.25 49.50 49.75 50.00 50.25 50.50 50.75 51.00 51.25 51.50 51.75 52.00 52.25 52.50 52.75 53.00 53.25 53.50 53.75 54.00 54.25 54.50 54.75 55.00 55.25 55.50 55.75 56.00 56.25 56.50 56.75 57.00 57.25 57.50 57.75 58.00 58.25 58.50 58.75 59.00 59.25 59.50 59.75 60.00 60.25 60.50 60.75 61.00 61.25 61.50 61.75 62.00 62.25 62.50 62.75 63.00 63.25 63.50 63.75 64.00 64.25 64.50 64.75 65.00 65.25 65.50 65.75 66.00 66.25 66.50 66.75 67.00 67.25 67.50 67.75 68.00 68.25 68.50 68.75 69.00 69.25 69.50 69.75 70.00 70.25 70.50 70.75 71.00 71.25 71.50 71.75 72.00 72.25 72.50 72.75 73.00 73.25 73.50 73.75 74.00 74.25 74.50 74.75 75.00 75.25 75.50 75.75 76.00 76.25 76.50 76.75 77.00 77.25 77.50 77.75 78.00 78.25 78.50 78.75 79.00 79.25 79.50 79.75 80.00 80.25 80.50 80.75 81.00 81.25 81.50 81.75 82.00 82.25 82.50 82.75 83.00 83.25 83.50 83.75 84.00 84.25 84.50 84.75 85.00 85.25 85.50 85.75 86.00 86.25 86.50 86.75 87.00 87.25 87.50 87.75 88.00 88.25 88.50 88.75 89.00 89.25 89.50 89.75 90.00 90.25 90.50 90.75 91.00 91.25 91.50 91.75 92.00 92.25 92.50 92.75 93.00 93.25 93.50 93.75 94.00 94.25 94.50 94.75 95.00 95.25 95.50 95.75 96.00 96.25 96.50 96.75 97.00 97.25 97.50 97.75 98.00 98.25 98.50 98.75 99.00 99.25 99.50 99.75 100.00

TIME=172800.00
VECTOR SCALE=0.25

t = 23 uur

HW - HvH

T₂ - BEREKENING

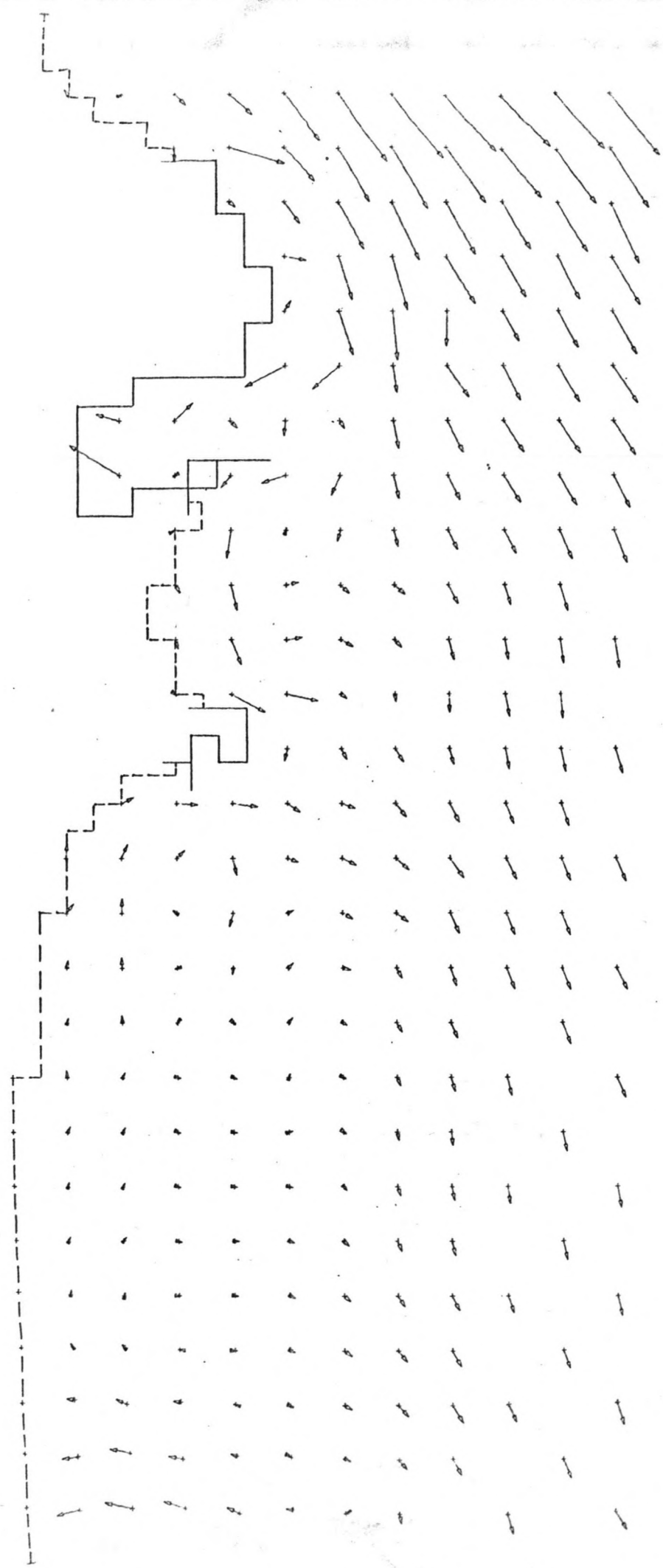


0.00 10.00 20.00 30.00 40.00 50.00 60.00 70.00 80.00 90.00 100.00 110.00 120.00 130.00 140.00 150.00 160.00 170.00 180.00 190.00 200.00 210.00 220.00 230.00 240.00 250.00 260.00 270.00 280.00 290.00 300.00 310.00 320.00 330.00 340.00 350.00 360.00 370.00 380.00 390.00 400.00 410.00 420.00 430.00 440.00 450.00 460.00 470.00 480.00 490.00 500.00 510.00 520.00 530.00 540.00 550.00 560.00 570.00 580.00 590.00 600.00 610.00 620.00 630.00 640.00 650.00 660.00 670.00 680.00 690.00 700.00 710.00 720.00 730.00 740.00 750.00 760.00 770.00 780.00 790.00 800.00 810.00 820.00 830.00 840.00 850.00 860.00 870.00 880.00 890.00 900.00 910.00 920.00 930.00 940.00 950.00 960.00 970.00 980.00 990.00 1000.00

T₂ - BEREKENING

t = 25 uur

TIME=180000.00
VECTOR SCALE=0.25



0.00 100.00 200.00 300.00 400.00 500.00 600.00 700.00 800.00 900.00 1000.00 1100.00 1200.00 1300.00 1400.00 1500.00 1600.00 1700.00 1800.00 1900.00 2000.00 2100.00 2200.00 2300.00 2400.00 2500.00 2600.00 2700.00 2800.00 2900.00 3000.00 3100.00 3200.00 3300.00 3400.00 3500.00 3600.00 3700.00 3800.00 3900.00 4000.00 4100.00 4200.00 4300.00 4400.00 4500.00 4600.00 4700.00 4800.00 4900.00 5000.00 5100.00 5200.00 5300.00 5400.00 5500.00 5600.00 5700.00 5800.00 5900.00 6000.00 6100.00 6200.00 6300.00 6400.00 6500.00 6600.00 6700.00 6800.00 6900.00 7000.00 7100.00 7200.00 7300.00 7400.00 7500.00 7600.00 7700.00 7800.00 7900.00 8000.00 8100.00 8200.00 8300.00 8400.00 8500.00 8600.00 8700.00 8800.00 8900.00 9000.00 9100.00 9200.00 9300.00 9400.00 9500.00 9600.00 9700.00 9800.00 9900.00 10000.00

BIJLAGE A-VI.

T₃-model.

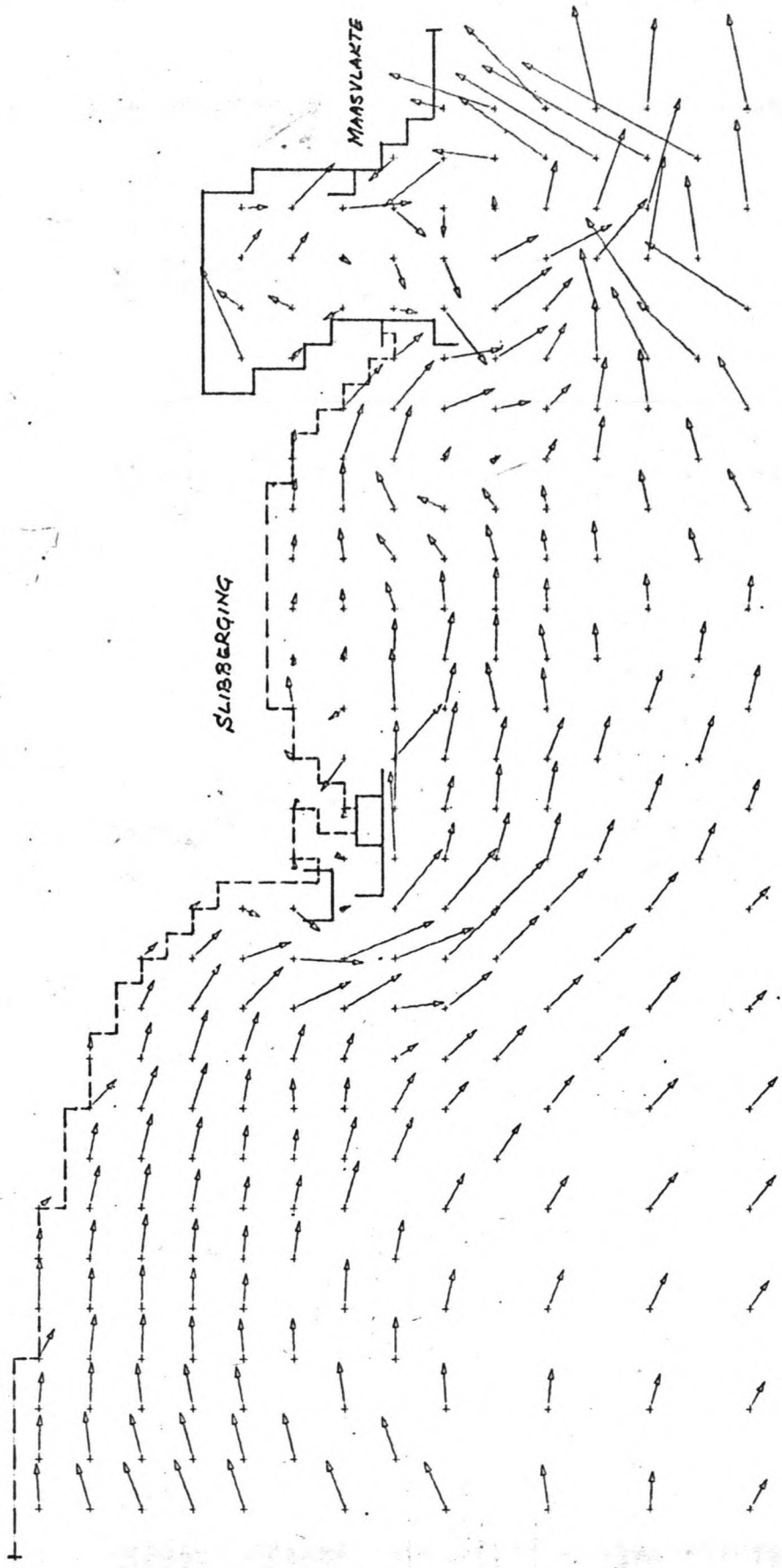
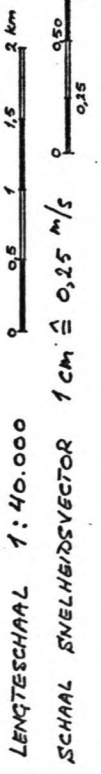
Plot-uitvoer van snelheidsvectoren; verkleind.

t = 23 uur komt ongeveer overeen met H.W.-H.v.H.

T₃ - BEREKENING

t = 1 uur

TIME=93600.00
VECTOR SCALE=0.25

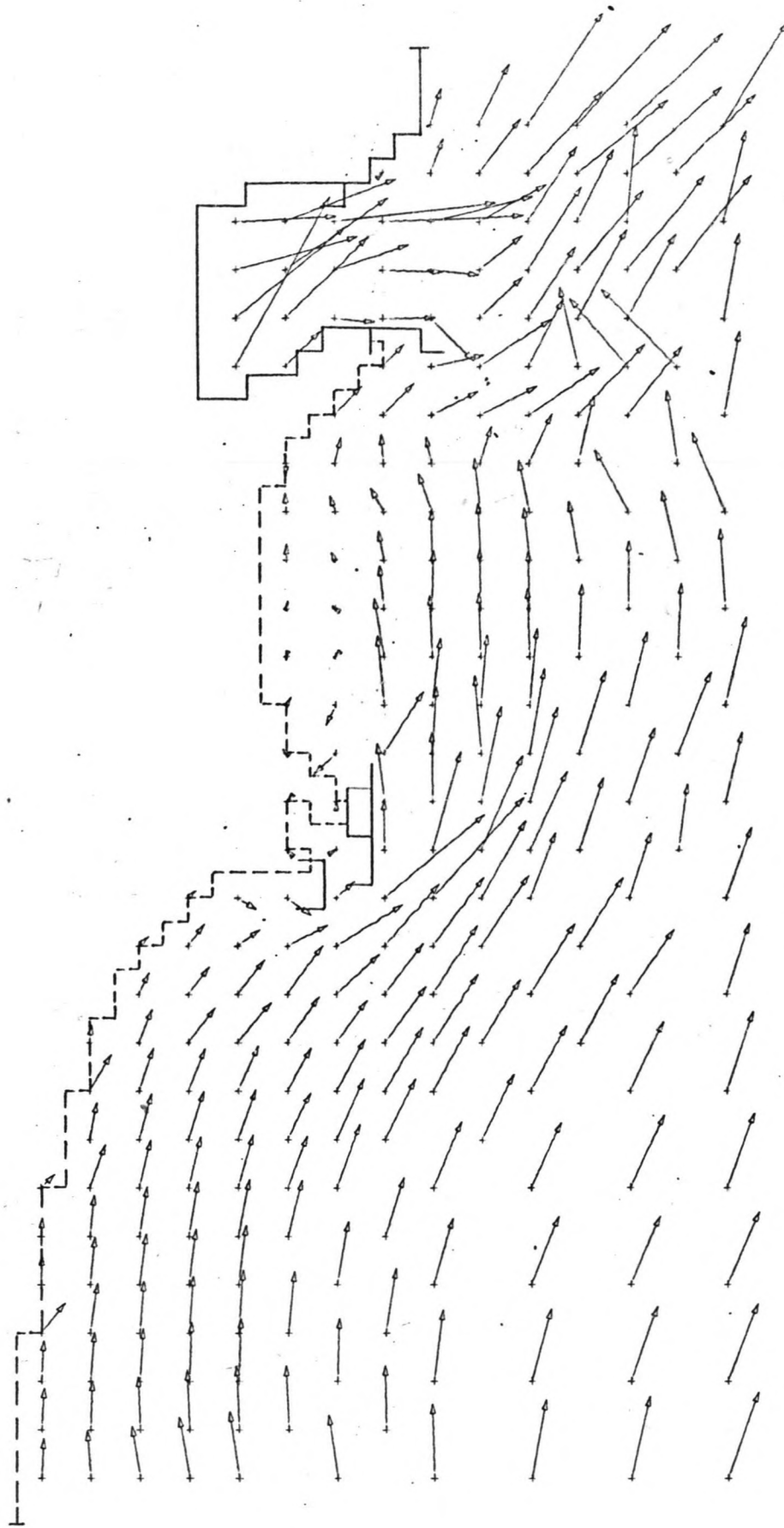


0.00 1.70 40.70 130.00 161.00 200.00 240.00 280.00 320.00 360.00 400.00 440.00 480.00 520.00 560.00 600.00 640.00 680.00 720.00 760.00 800.00 840.00 880.00 920.00 960.00 1000.00 1040.00 1080.00 1120.00 1160.00 1200.00 1240.00 1280.00 1320.00 1360.00 1400.00 1440.00 1480.00 1520.00 1560.00 1600.00 1640.00 1680.00 1720.00 1760.00 1800.00 1840.00 1880.00 1920.00 1960.00 2000.00

T₃ - BERREKENING

t = 3 uur

TIME=100800.00
VECTOR SCALE=0.25

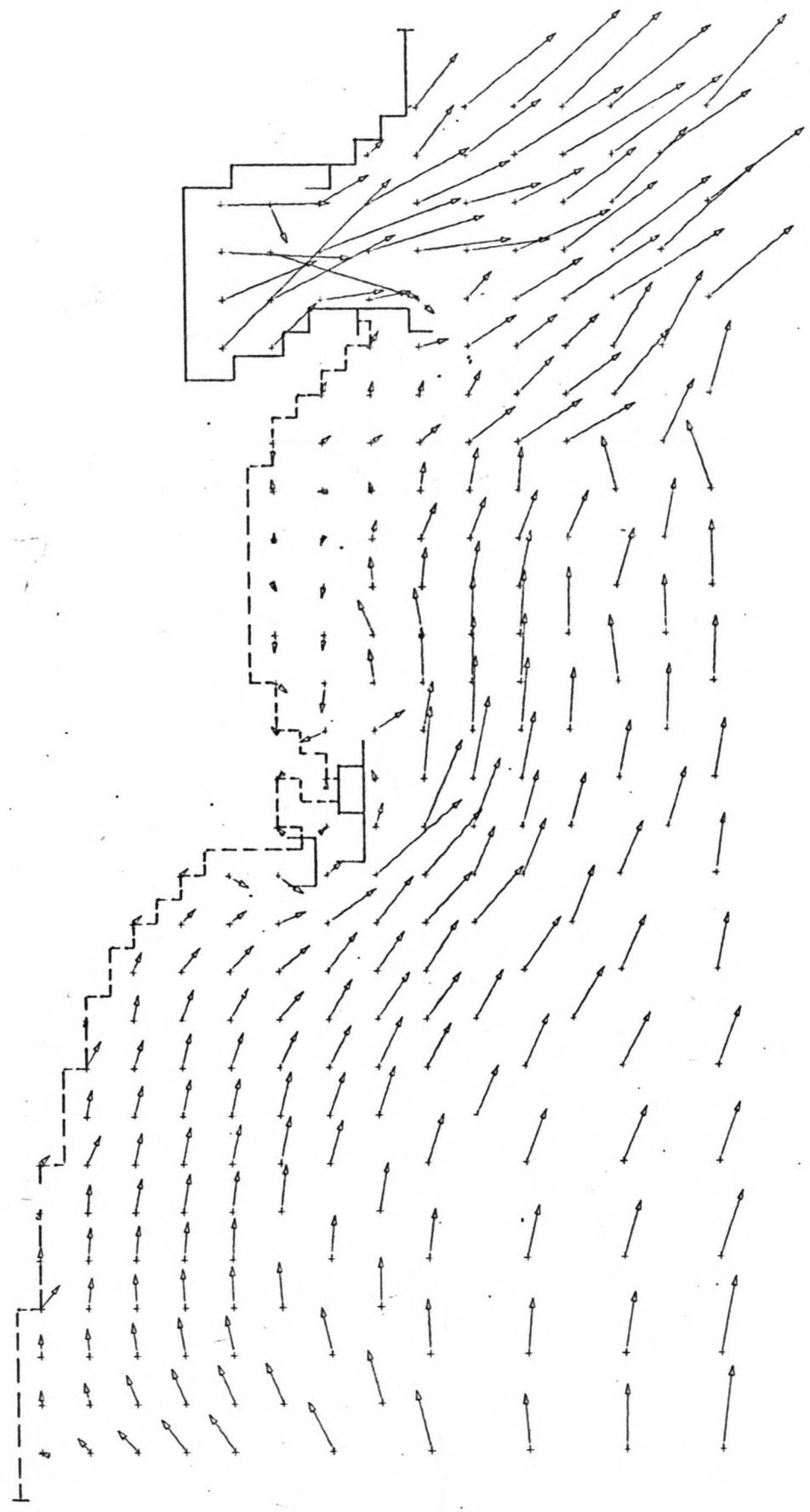


110.00 100.00 90.00 80.00 70.00 60.00 50.00 40.00 30.00 20.00 10.00 0.00 -10.00 -20.00 -30.00 -40.00 -50.00 -60.00 -70.00 -80.00 -90.00 -100.00

T₃ - BEREKENING

t = 5 uhr

TIME=108000.00
VECTOR SCALE=0.25

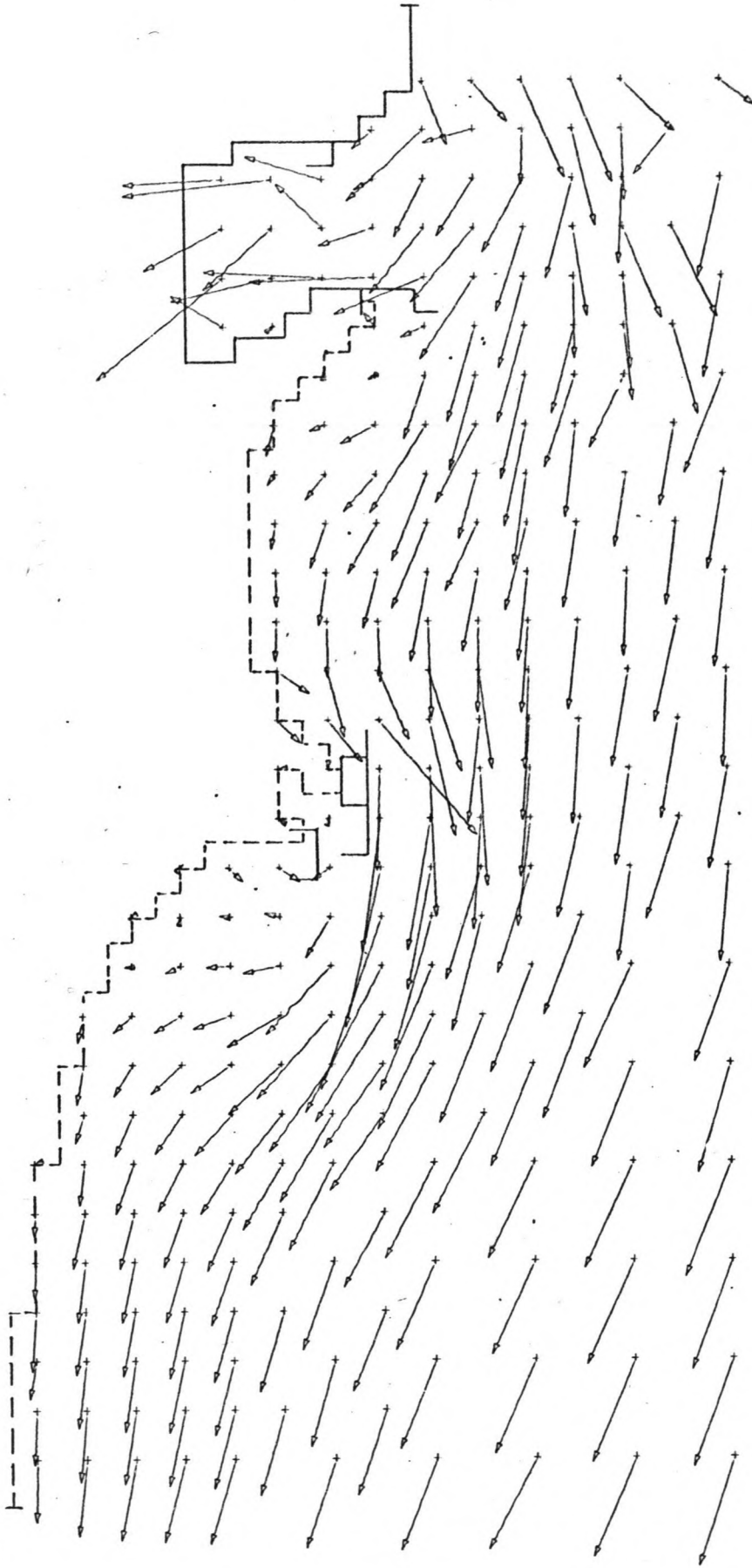


0.00 10.00 20.00 30.00 40.00 50.00 60.00 70.00 80.00 90.00 100.00 110.00 120.00 130.00 140.00 150.00 160.00 170.00 180.00 190.00 200.00 210.00 220.00 230.00 240.00 250.00 260.00 270.00 280.00 290.00 300.00 310.00 320.00 330.00 340.00 350.00 360.00 370.00 380.00 390.00 400.00 410.00 420.00 430.00 440.00 450.00 460.00 470.00 480.00 490.00 500.00 510.00 520.00 530.00 540.00 550.00 560.00 570.00 580.00 590.00 600.00 610.00 620.00 630.00 640.00 650.00 660.00 670.00 680.00 690.00 700.00 710.00 720.00 730.00 740.00 750.00 760.00 770.00 780.00 790.00 800.00 810.00 820.00 830.00 840.00 850.00 860.00 870.00 880.00 890.00 900.00 910.00 920.00 930.00 940.00 950.00 960.00 970.00 980.00 990.00 1000.00

T₃ - BEREKENING

t = 9 uur

TIME = 122400.00
VECTOR SCALE = 0.25



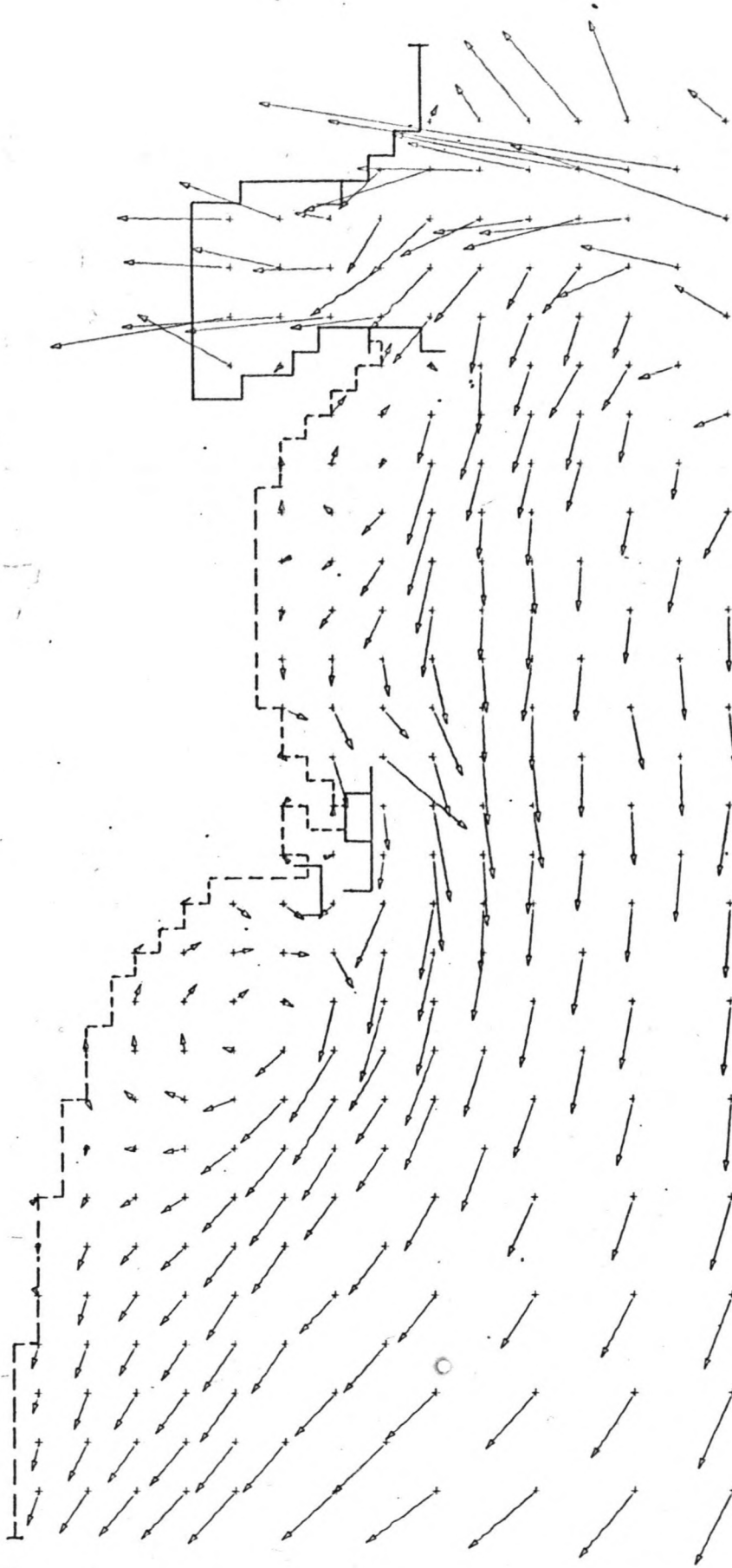
1219.00 1218.00 1217.00 1216.00 1215.00 1214.00 1213.00 1212.00 1211.00 1210.00 1209.00 1208.00 1207.00 1206.00 1205.00 1204.00 1203.00 1202.00 1201.00 1200.00 1199.00 1198.00 1197.00 1196.00 1195.00 1194.00 1193.00 1192.00 1191.00 1190.00 1189.00 1188.00 1187.00 1186.00 1185.00 1184.00 1183.00 1182.00 1181.00 1180.00 1179.00 1178.00 1177.00 1176.00 1175.00 1174.00 1173.00 1172.00 1171.00 1170.00 1169.00 1168.00 1167.00 1166.00 1165.00 1164.00 1163.00 1162.00 1161.00 1160.00 1159.00 1158.00 1157.00 1156.00 1155.00 1154.00 1153.00 1152.00 1151.00 1150.00 1149.00 1148.00 1147.00 1146.00 1145.00 1144.00 1143.00 1142.00 1141.00 1140.00 1139.00 1138.00 1137.00 1136.00 1135.00 1134.00 1133.00 1132.00 1131.00 1130.00 1129.00 1128.00 1127.00 1126.00 1125.00 1124.00 1123.00 1122.00 1121.00 1120.00 1119.00 1118.00 1117.00 1116.00 1115.00 1114.00 1113.00 1112.00 1111.00 1110.00 1109.00 1108.00 1107.00 1106.00 1105.00 1104.00 1103.00 1102.00 1101.00 1100.00 1099.00 1098.00 1097.00 1096.00 1095.00 1094.00 1093.00 1092.00 1091.00 1090.00 1089.00 1088.00 1087.00 1086.00 1085.00 1084.00 1083.00 1082.00 1081.00 1080.00 1079.00 1078.00 1077.00 1076.00 1075.00 1074.00 1073.00 1072.00 1071.00 1070.00 1069.00 1068.00 1067.00 1066.00 1065.00 1064.00 1063.00 1062.00 1061.00 1060.00 1059.00 1058.00 1057.00 1056.00 1055.00 1054.00 1053.00 1052.00 1051.00 1050.00 1049.00 1048.00 1047.00 1046.00 1045.00 1044.00 1043.00 1042.00 1041.00 1040.00 1039.00 1038.00 1037.00 1036.00 1035.00 1034.00 1033.00 1032.00 1031.00 1030.00 1029.00 1028.00 1027.00 1026.00 1025.00 1024.00 1023.00 1022.00 1021.00 1020.00 1019.00 1018.00 1017.00 1016.00 1015.00 1014.00 1013.00 1012.00 1011.00 1010.00 1009.00 1008.00 1007.00 1006.00 1005.00 1004.00 1003.00 1002.00 1001.00 1000.00 999.00 998.00 997.00 996.00 995.00 994.00 993.00 992.00 991.00 990.00 989.00 988.00 987.00 986.00 985.00 984.00 983.00 982.00 981.00 980.00 979.00 978.00 977.00 976.00 975.00 974.00 973.00 972.00 971.00 970.00 969.00 968.00 967.00 966.00 965.00 964.00 963.00 962.00 961.00 960.00 959.00 958.00 957.00 956.00 955.00 954.00 953.00 952.00 951.00 950.00 949.00 948.00 947.00 946.00 945.00 944.00 943.00 942.00 941.00 940.00 939.00 938.00 937.00 936.00 935.00 934.00 933.00 932.00 931.00 930.00 929.00 928.00 927.00 926.00 925.00 924.00 923.00 922.00 921.00 920.00 919.00 918.00 917.00 916.00 915.00 914.00 913.00 912.00 911.00 910.00 909.00 908.00 907.00 906.00 905.00 904.00 903.00 902.00 901.00 900.00 899.00 898.00 897.00 896.00 895.00 894.00 893.00 892.00 891.00 890.00 889.00 888.00 887.00 886.00 885.00 884.00 883.00 882.00 881.00 880.00 879.00 878.00 877.00 876.00 875.00 874.00 873.00 872.00 871.00 870.00 869.00 868.00 867.00 866.00 865.00 864.00 863.00 862.00 861.00 860.00 859.00 858.00 857.00 856.00 855.00 854.00 853.00 852.00 851.00 850.00 849.00 848.00 847.00 846.00 845.00 844.00 843.00 842.00 841.00 840.00 839.00 838.00 837.00 836.00 835.00 834.00 833.00 832.00 831.00 830.00 829.00 828.00 827.00 826.00 825.00 824.00 823.00 822.00 821.00 820.00 819.00 818.00 817.00 816.00 815.00 814.00 813.00 812.00 811.00 810.00 809.00 808.00 807.00 806.00 805.00 804.00 803.00 802.00 801.00 800.00 799.00 798.00 797.00 796.00 795.00 794.00 793.00 792.00 791.00 790.00 789.00 788.00 787.00 786.00 785.00 784.00 783.00 782.00 781.00 780.00 779.00 778.00 777.00 776.00 775.00 774.00 773.00 772.00 771.00 770.00 769.00 768.00 767.00 766.00 765.00 764.00 763.00 762.00 761.00 760.00 759.00 758.00 757.00 756.00 755.00 754.00 753.00 752.00 751.00 750.00 749.00 748.00 747.00 746.00 745.00 744.00 743.00 742.00 741.00 740.00 739.00 738.00 737.00 736.00 735.00 734.00 733.00 732.00 731.00 730.00 729.00 728.00 727.00 726.00 725.00 724.00 723.00 722.00 721.00 720.00 719.00 718.00 717.00 716.00 715.00 714.00 713.00 712.00 711.00 710.00 709.00 708.00 707.00 706.00 705.00 704.00 703.00 702.00 701.00 700.00 699.00 698.00 697.00 696.00 695.00 694.00 693.00 692.00 691.00 690.00 689.00 688.00 687.00 686.00 685.00 684.00 683.00 682.00 681.00 680.00 679.00 678.00 677.00 676.00 675.00 674.00 673.00 672.00 671.00 670.00 669.00 668.00 667.00 666.00 665.00 664.00 663.00 662.00 661.00 660.00 659.00 658.00 657.00 656.00 655.00 654.00 653.00 652.00 651.00 650.00 649.00 648.00 647.00 646.00 645.00 644.00 643.00 642.00 641.00 640.00 639.00 638.00 637.00 636.00 635.00 634.00 633.00 632.00 631.00 630.00 629.00 628.00 627.00 626.00 625.00 624.00 623.00 622.00 621.00 620.00 619.00 618.00 617.00 616.00 615.00 614.00 613.00 612.00 611.00 610.00 609.00 608.00 607.00 606.00 605.00 604.00 603.00 602.00 601.00 600.00 599.00 598.00 597.00 596.00 595.00 594.00 593.00 592.00 591.00 590.00 589.00 588.00 587.00 586.00 585.00 584.00 583.00 582.00 581.00 580.00 579.00 578.00 577.00 576.00 575.00 574.00 573.00 572.00 571.00 570.00 569.00 568.00 567.00 566.00 565.00 564.00 563.00 562.00 561.00 560.00 559.00 558.00 557.00 556.00 555.00 554.00 553.00 552.00 551.00 550.00 549.00 548.00 547.00 546.00 545.00 544.00 543.00 542.00 541.00 540.00 539.00 538.00 537.00 536.00 535.00 534.00 533.00 532.00 531.00 530.00 529.00 528.00 527.00 526.00 525.00 524.00 523.00 522.00 521.00 520.00 519.00 518.00 517.00 516.00 515.00 514.00 513.00 512.00 511.00 510.00 509.00 508.00 507.00 506.00 505.00 504.00 503.00 502.00 501.00 500.00 499.00 498.00 497.00 496.00 495.00 494.00 493.00 492.00 491.00 490.00 489.00 488.00 487.00 486.00 485.00 484.00 483.00 482.00 481.00 480.00 479.00 478.00 477.00 476.00 475.00 474.00 473.00 472.00 471.00 470.00 469.00 468.00 467.00 466.00 465.00 464.00 463.00 462.00 461.00 460.00 459.00 458.00 457.00 456.00 455.00 454.00 453.00 452.00 451.00 450.00 449.00 448.00 447.00 446.00 445.00 444.00 443.00 442.00 441.00 440.00 439.00 438.00 437.00 436.00 435.00 434.00 433.00 432.00 431.00 430.00 429.00 428.00 427.00 426.00 425.00 424.00 423.00 422.00 421.00 420.00 419.00 418.00 417.00 416.00 415.00 414.00 413.00 412.00 411.00 410.00 409.00 408.00 407.00 406.00 405.00 404.00 403.00 402.00 401.00 400.00 399.00 398.00 397.00 396.00 395.00 394.00 393.00 392.00 391.00 390.00 389.00 388.00 387.00 386.00 385.00 384.00 383.00 382.00 381.00 380.00 379.00 378.00 377.00 376.00 375.00 374.00 373.00 372.00 371.00 370.00 369.00 368.00 367.00 366.00 365.00 364.00 363.00 362.00 361.00 360.00 359.00 358.00 357.00 356.00 355.00 354.00 353.00 352.00 351.00 350.00 349.00 348.00 347.00 346.00 345.00 344.00 343.00 342.00 341.00 340.00 339.00 338.00 337.00 336.00 335.00 334.00 333.00 332.00 331.00 330.00 329.00 328.00 327.00 326.00 325.00 324.00 323.00 322.00 321.00 320.00 319.00 318.00 317.00 316.00 315.00 314.00 313.00 312.00 311.00 310.00 309.00 308.00 307.00 306.00 305.00 304.00 303.00 302.00 301.00 300.00 299.00 298.00 297.00 296.00 295.00 294.00 293.00 292.00 291.00 290.00 289.00 288.00 287.00 286.00 285.00 284.00 283.00 282.00 281.00 280.00 279.00 278.00 277.00 276.00 275.00 274.00 273.00 272.00 271.00 270.00 269.00 268.00 267.00 266.00 265.00 264.00 263.00 262.00 261.00 260.00 259.00 258.00 257.00 256.00 255.00 254.00 253.00 252.00 251.00 250.00 249.00 248.00 247.00 246.00 245.00 244.00 243.00 242.00 241.00 240.00 239.00 238.00 237.00 236.00 235.00 234.00 233.00 232.00 231.00 230.00 229.00 228.00 227.00 226.00 225.00 224.00 223.00 222.00 221.00 220.00 219.00 218.00 217.00 216.00 215.00 214.00 213.00 212.00 211.00 210.00 209.00 208.00 207.00 206.00 205.00 204.00 203.00 202.00 201.00 200.00 199.00 198.00 197.00 196.00 195.00 194.00 193.00 192.00 191.00 190.00 189.00 188.00 187.00 186.00 185.00 184.00 183.00 182.00 181.00 180.00 179.00 178.00 177.00 176.00 175.00 174.00 173.00 172.00 171.00 170.00 169.00 168.00 167.00 166.00 165.00 164.00 163.00 162.00 161.00 160.00 159.00 158.00 157.00 156.00 155.00 154.00 153.00 152.00 151.00 150.00 149.00 148.00 147.00 146.00 145.00 144.00 143.00 142.00 141.00 140.00 139.00 138.00 137.00 136.00 135.00 134.00 133.00 132.00 131.00 130.00 129.00 128.00 127.00 126.00 125.00 124.00 123.00 122.00 121.00 120.00 119.00 118.00 117.00 116.00 115.00 114.00 113.00 112.00 111.00 110.00 109.00 108.00 107.00 106.00 105.00 104.00 103.00 102.00 101.00 100.00 99.00 98.00 97.00 96.00 95.00 94.00 93.00 92.00 91.00 90.00 89.00 88.00 87.00 86.00 85.00 84.00 83.00 82.00 81.00 80.00 79.00 78.00 77.00 76.00 75.00 74.00 73.00 72.00 71.00 70.00 69.00 68.00 67.00 66.00 65.00 64.00 63.00 62.00 61.00 60.00 59.00 58.00 57.00 56.00 55.00 54.00 53.00 52.00 51.00 50.00 49.00 48.00 47.00 46.00 45.00 44.00 43.00 42.00 41.00 40.00 39.00 38.00 37.00 36.00 35.00 34.00 33.00 32.00 31.00 30.00 29.00 28.00 27.00 26.00 25.00 24.00 23.00 22.00 21.00 20.00 19.00 18.00 17.00 16.00 15.00 14.00 13.00 12.00 11.00 10.00 9.00 8.00 7.00 6.00 5.00 4.00 3.00 2.00 1.00 0.00 -1.00 -2.00 -3.00 -4.00 -5.00 -6.00 -7.00 -8.00 -9.00 -10.00 -11.00 -12.00 -13.00 -14.00 -15.00 -16.00 -17.00 -18.00 -19.00 -20.00 -21.00 -22.00 -23.00 -24.00 -25.00 -26.00 -27.00 -28.00 -29.00 -30.00 -31.00 -32.00 -33.00 -34.00 -35.00 -36.00 -37.00 -38.00 -39.00 -40.00 -41.00 -42.00 -43.00 -44.00 -45.00 -46.00 -47.00 -48.00 -49.00 -50.00 -51.00 -52.00 -53.00 -54.00 -55.00 -56.00 -57.00 -58.00 -59.00 -60.00 -61.00 -62.00 -63.00 -64.00 -65.00 -66.00 -67.00 -68.00 -69.00 -70.00 -71.00 -72.00 -73.00 -74.00 -75.00 -76.00 -77.00 -78.00 -79.00 -80.00 -81.00 -82.00 -83.00 -84.00 -85.00 -86.00 -87.00 -88.00 -89.00 -90.00 -91.00 -92.00 -93.00 -94.00 -95.00 -96.00 -97.00 -98.00 -99.00 -100.00

TIME=129600.00

VECTOR SCALE=0.25

t = 11 uur

T3 - BEREKENING

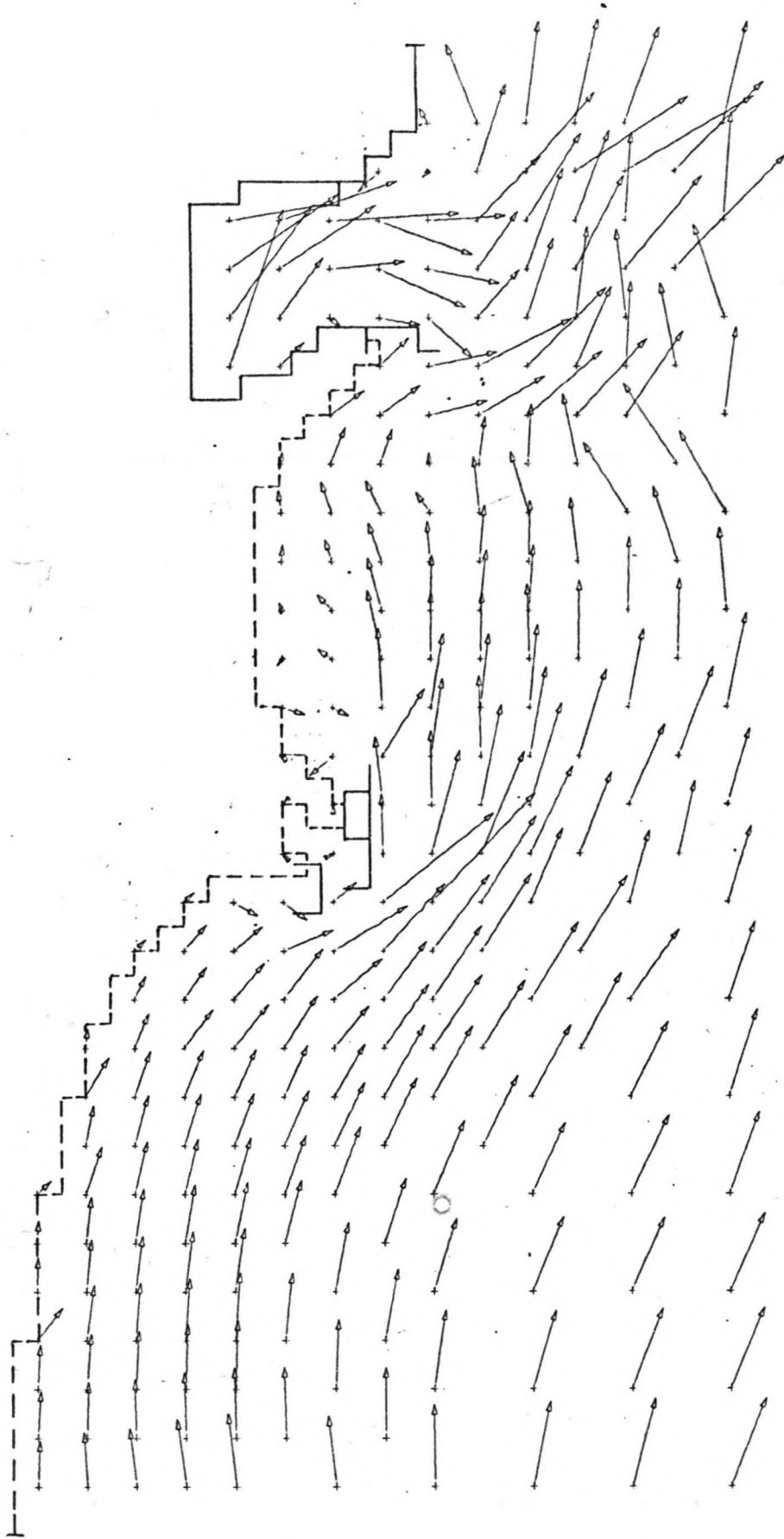


117.00 118.00 119.00 120.00 121.00 122.00 123.00 124.00 125.00 126.00 127.00 128.00 129.00 130.00 131.00 132.00 133.00 134.00 135.00 136.00 137.00 138.00 139.00 140.00 141.00 142.00 143.00 144.00 145.00 146.00 147.00 148.00 149.00 150.00 151.00 152.00 153.00 154.00 155.00 156.00 157.00 158.00 159.00 160.00 161.00 162.00 163.00 164.00 165.00 166.00 167.00 168.00 169.00 170.00 171.00 172.00 173.00 174.00 175.00 176.00 177.00 178.00 179.00 180.00 181.00 182.00 183.00 184.00 185.00 186.00 187.00 188.00 189.00 190.00 191.00 192.00 193.00 194.00 195.00 196.00 197.00 198.00 199.00 200.00

T₃ - BEREKENING

t = 15 uur

TIME=144000.00
VECTOR SCALE=0.25

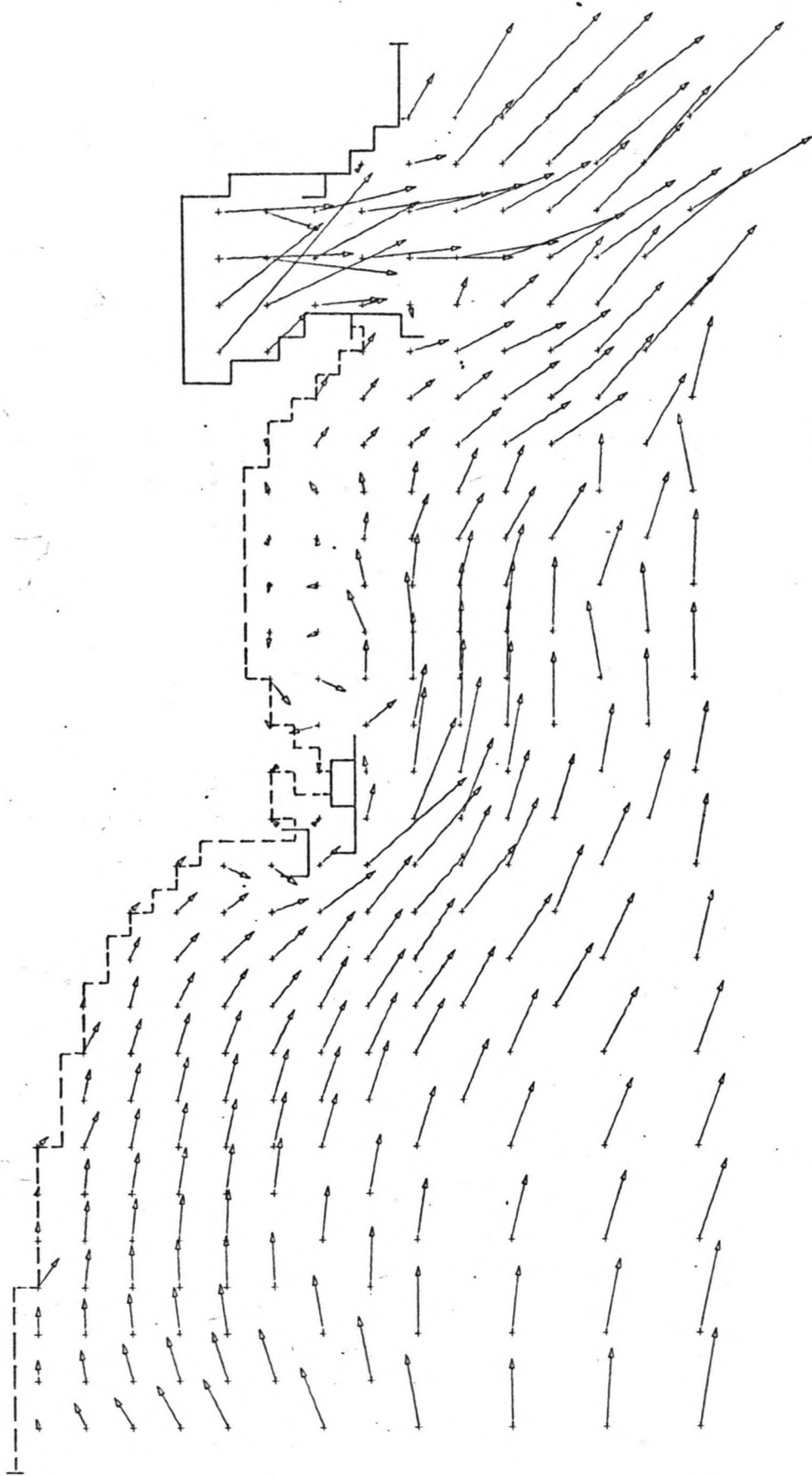


0.00 10.00 20.00 30.00 40.00 50.00 60.00 70.00 80.00 90.00 100.00 110.00 120.00 130.00 140.00 150.00 160.00 170.00 180.00 190.00 200.00 210.00 220.00 230.00 240.00 250.00 260.00 270.00 280.00 290.00 300.00 310.00 320.00 330.00 340.00 350.00 360.00 370.00 380.00 390.00 400.00 410.00 420.00 430.00 440.00 450.00 460.00 470.00 480.00 490.00 500.00 510.00 520.00 530.00 540.00 550.00 560.00 570.00 580.00 590.00 600.00 610.00 620.00 630.00 640.00 650.00 660.00 670.00 680.00 690.00 700.00 710.00 720.00 730.00 740.00 750.00 760.00 770.00 780.00 790.00 800.00 810.00 820.00 830.00 840.00 850.00 860.00 870.00 880.00 890.00 900.00 910.00 920.00 930.00 940.00 950.00 960.00 970.00 980.00 990.00 1000.00

T₃ - BEREKENING

t = 17 uur

TIME=151200.00
VECTOR SCALE=0.25

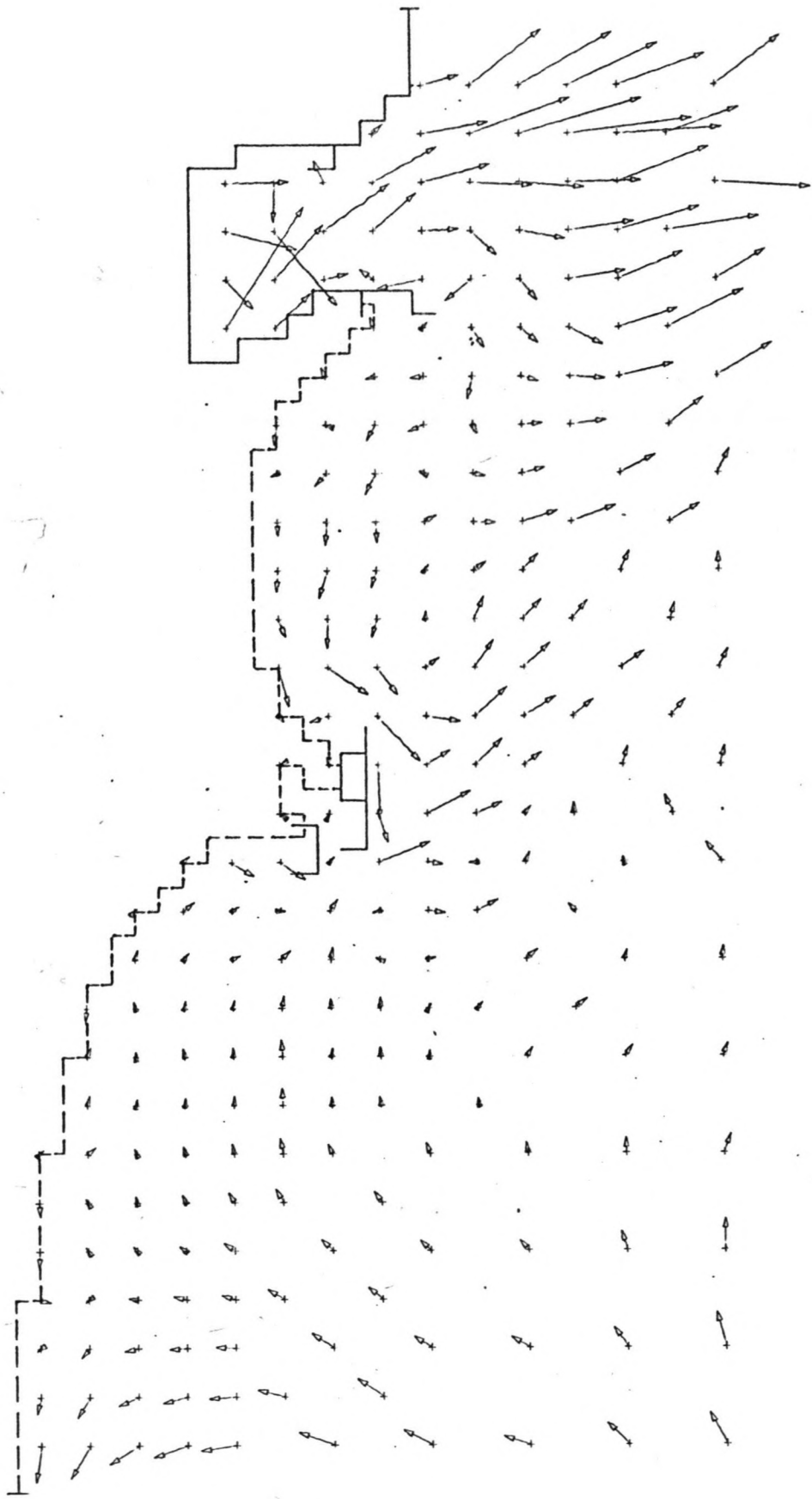


0.00 10.00 20.00 30.00 40.00 50.00 60.00 70.00 80.00 90.00 100.00 110.00 120.00 130.00 140.00 150.00 160.00 170.00 180.00 190.00 200.00 210.00 220.00 230.00 240.00 250.00 260.00 270.00 280.00 290.00 300.00 310.00 320.00 330.00 340.00 350.00 360.00 370.00 380.00 390.00 400.00 410.00 420.00 430.00 440.00 450.00 460.00 470.00 480.00 490.00 500.00 510.00 520.00 530.00 540.00 550.00 560.00 570.00 580.00 590.00 600.00 610.00 620.00 630.00 640.00 650.00 660.00 670.00 680.00 690.00 700.00 710.00 720.00 730.00 740.00 750.00 760.00 770.00 780.00 790.00 800.00 810.00 820.00 830.00 840.00 850.00 860.00 870.00 880.00 890.00 900.00 910.00 920.00 930.00 940.00 950.00 960.00 970.00 980.00 990.00 1000.00

T₃ - BEREKENING

t = 19 uur

TIME = 158400.00
VECTOR SCALE = 0.25



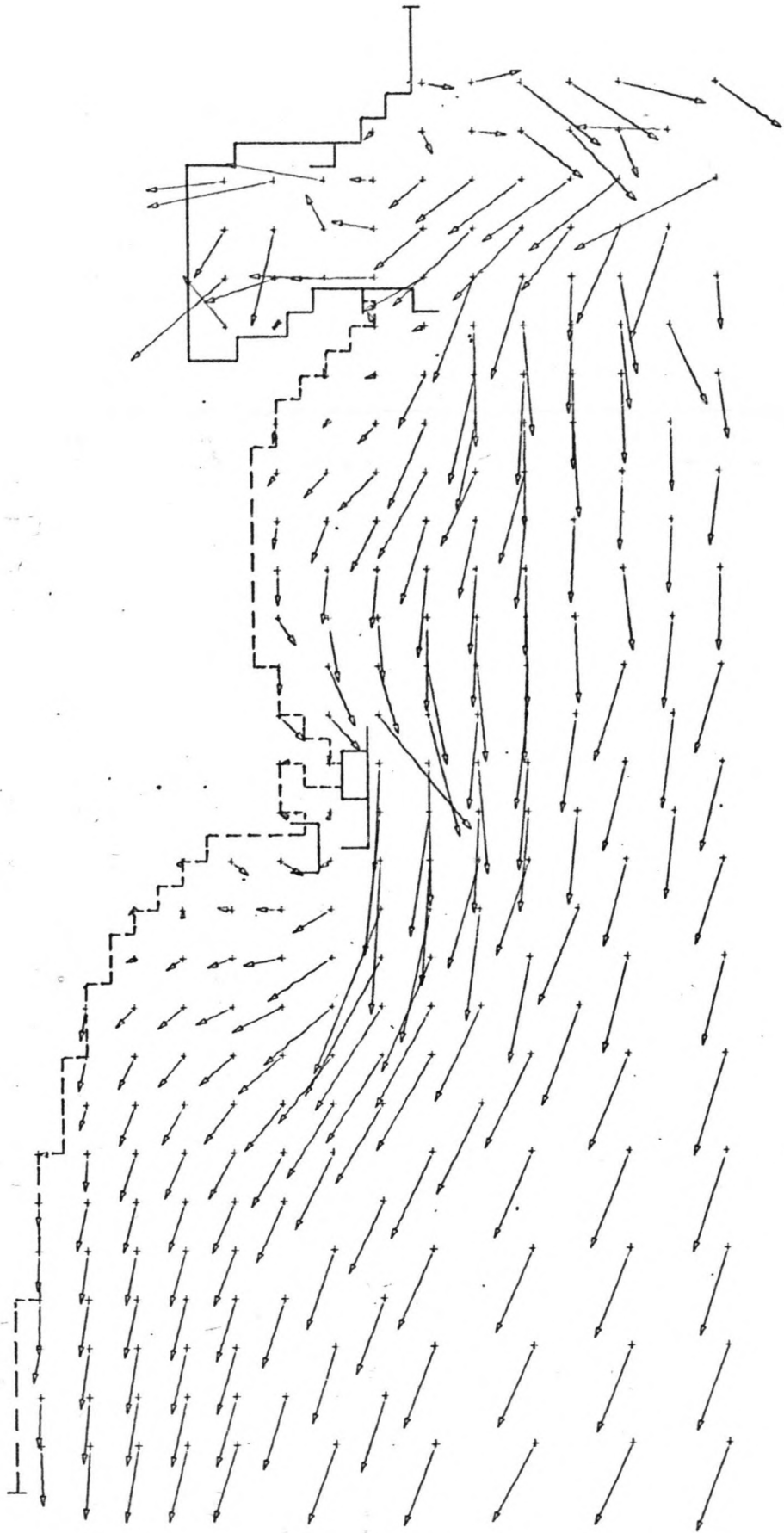
10.00 20.00 30.00 40.00 50.00 60.00 70.00 80.00 90.00 100.00 110.00 120.00 130.00 140.00 150.00 160.00 170.00 180.00 190.00 200.00 210.00 220.00 230.00 240.00 250.00 260.00 270.00 280.00 290.00 300.00 310.00 320.00 330.00 340.00 350.00 360.00 370.00 380.00 390.00 400.00 410.00 420.00 430.00 440.00 450.00 460.00 470.00 480.00 490.00 500.00 510.00 520.00 530.00 540.00 550.00 560.00 570.00 580.00 590.00 600.00 610.00 620.00 630.00 640.00 650.00 660.00 670.00 680.00 690.00 700.00 710.00 720.00 730.00 740.00 750.00 760.00 770.00 780.00 790.00 800.00 810.00 820.00 830.00 840.00 850.00 860.00 870.00 880.00 890.00 900.00 910.00 920.00 930.00 940.00 950.00 960.00 970.00 980.00 990.00 1000.00

TIME=165600.00
VECTOR SCALE=0.25

t = 2.1 UUR

NA 25 UUR INSPLEELPERIODE.

T₃ - BEREKENING



11.00 -507.00 -189.00 -133.00 -84.00 40.00 80.00 120.00 160.00 199.00 200.00 240.00 240.00 280.00 280.00 320.00 320.00 360.00 360.00 400.00 400.00 440.00 440.00 480.00 480.00 520.00 520.00 560.00 560.00 600.00 600.00 640.00 640.00 680.00 680.00 720.00 720.00 760.00 760.00 800.00 800.00 840.00 840.00 880.00 880.00 920.00 920.00 960.00 960.00 1000.00 1000.00 1040.00 1040.00 1080.00 1080.00 1120.00 1120.00 1160.00 1160.00 1200.00 1200.00 1240.00 1240.00 1280.00 1280.00 1320.00 1320.00 1360.00 1360.00 1400.00 1400.00 1440.00 1440.00 1480.00 1480.00 1520.00 1520.00 1560.00 1560.00 1600.00 1600.00 1640.00 1640.00 1680.00 1680.00 1720.00 1720.00 1760.00 1760.00 1800.00 1800.00 1840.00 1840.00 1880.00 1880.00 1920.00 1920.00 1960.00 1960.00 2000.00 2000.00

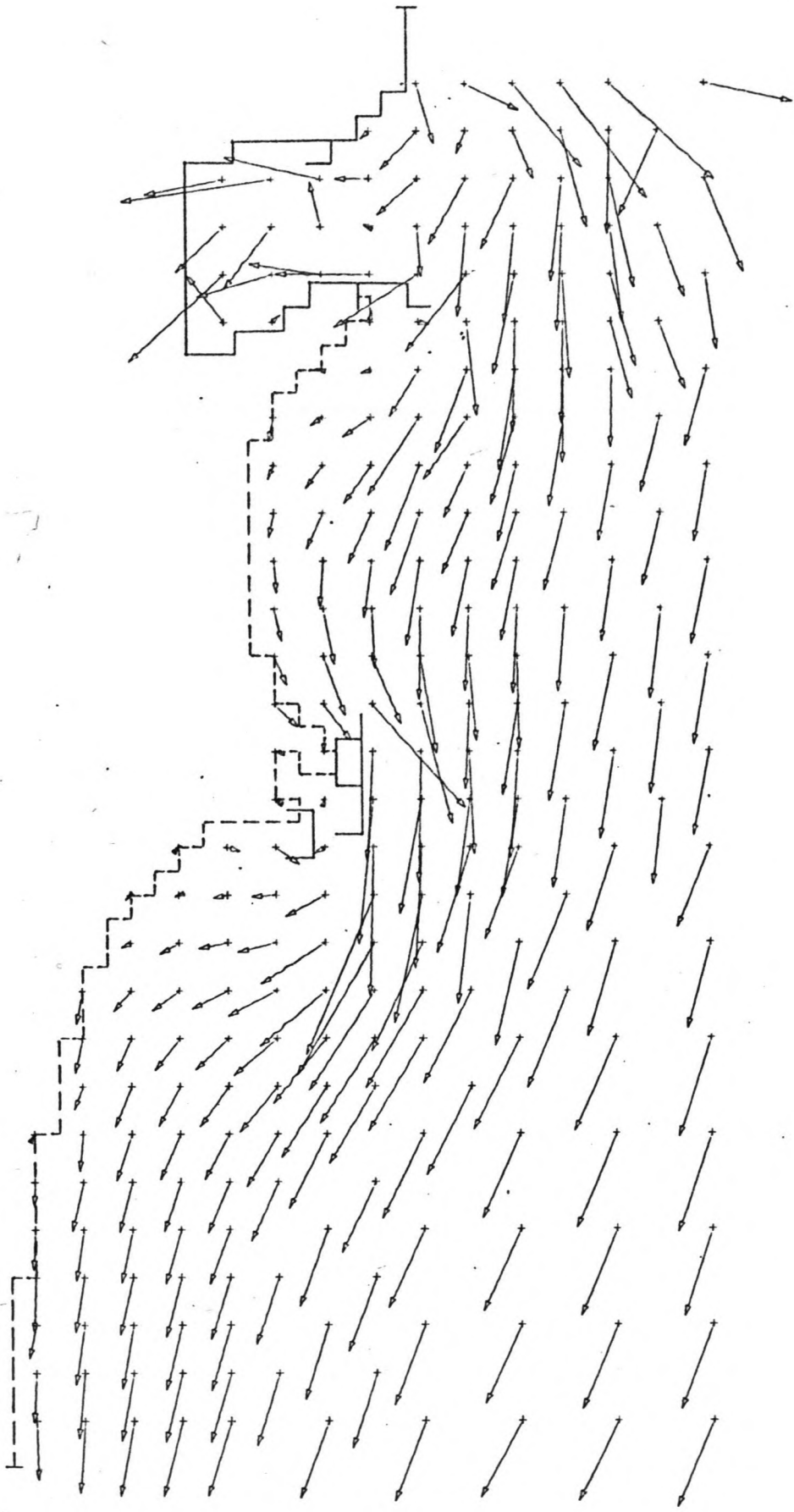
T₃ - BEREKENING

TIME=75600.00

VECTOR SCALE=0.25

t=21 uur

ZONDER 25 UUR INSPELPERIODE.



0.00 10.00 20.00 30.00 40.00 50.00 60.00 70.00 80.00 90.00 100.00 110.00 120.00 130.00 140.00 150.00 160.00 170.00 180.00 190.00 200.00 210.00 220.00 230.00 240.00 250.00 260.00 270.00 280.00 290.00 300.00 310.00 320.00 330.00 340.00 350.00 360.00 370.00 380.00 390.00 400.00 410.00 420.00 430.00 440.00 450.00 460.00 470.00 480.00 490.00 500.00 510.00 520.00 530.00 540.00 550.00 560.00 570.00 580.00 590.00 600.00 610.00 620.00 630.00 640.00 650.00 660.00 670.00 680.00 690.00 700.00 710.00 720.00 730.00 740.00 750.00 760.00 770.00 780.00 790.00 800.00 810.00 820.00 830.00 840.00 850.00 860.00 870.00 880.00 890.00 900.00 910.00 920.00 930.00 940.00 950.00 960.00 970.00 980.00 990.00 1000.00

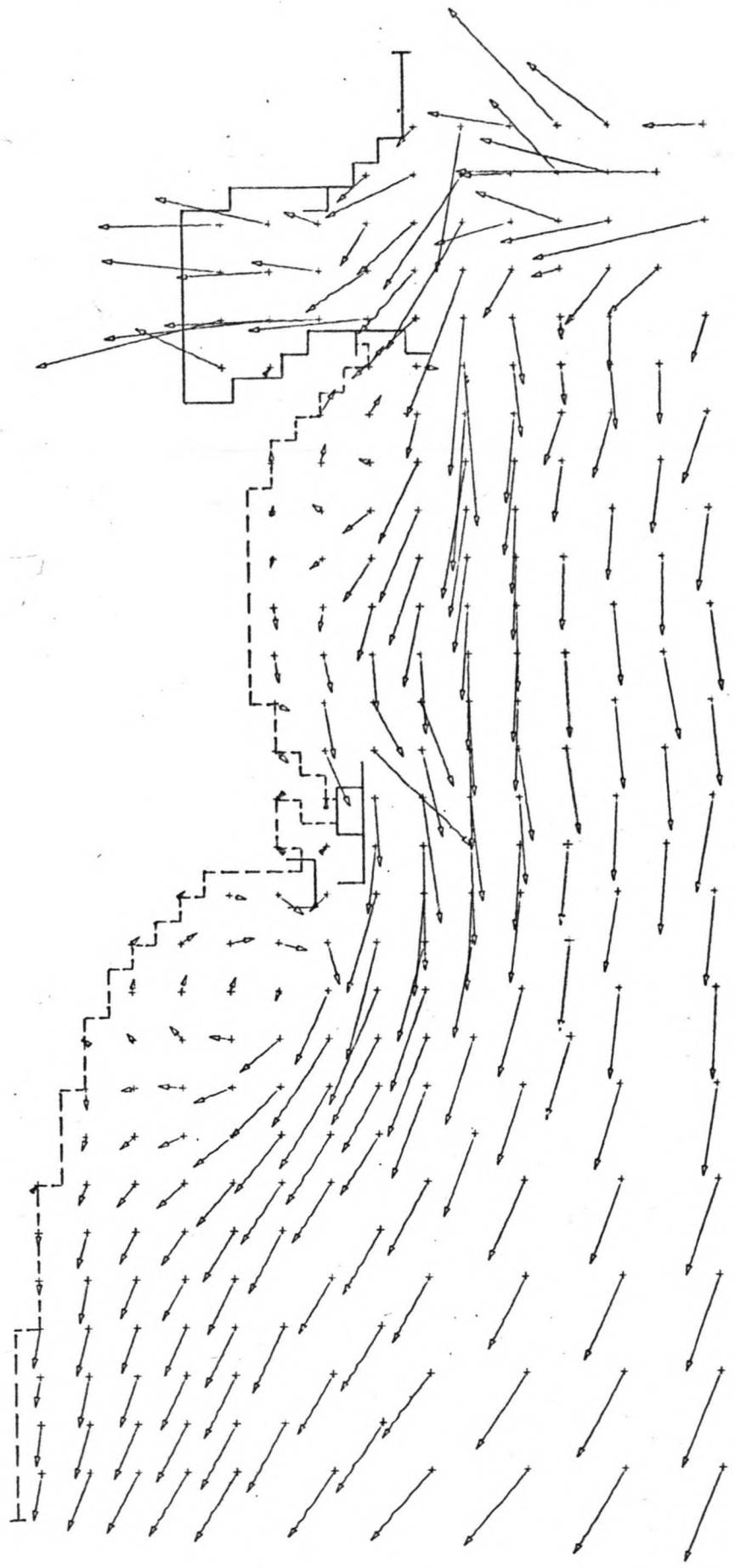
ZONDER 25 UUR INSPPELPERIODE.

$t = 23$ UUR

HW - HVH

TIME = 62800.00
VECTOR SCALE = 0.25

T_3 - BEREKENING



0.00 10.00 20.00 30.00 40.00 50.00 60.00 70.00 80.00 90.00 100.00 110.00 120.00 130.00 140.00 150.00 160.00 170.00 180.00 190.00 200.00 210.00 220.00 230.00 240.00 250.00 260.00 270.00 280.00 290.00 300.00 310.00 320.00 330.00 340.00 350.00 360.00 370.00 380.00 390.00 400.00 410.00 420.00 430.00 440.00 450.00 460.00 470.00 480.00 490.00 500.00 510.00 520.00 530.00 540.00 550.00 560.00 570.00 580.00 590.00 600.00 610.00 620.00 630.00 640.00 650.00 660.00 670.00 680.00 690.00 700.00 710.00 720.00 730.00 740.00 750.00 760.00 770.00 780.00 790.00 800.00 810.00 820.00 830.00 840.00 850.00 860.00 870.00 880.00 890.00 900.00 910.00 920.00 930.00 940.00 950.00 960.00 970.00 980.00 990.00 1000.00

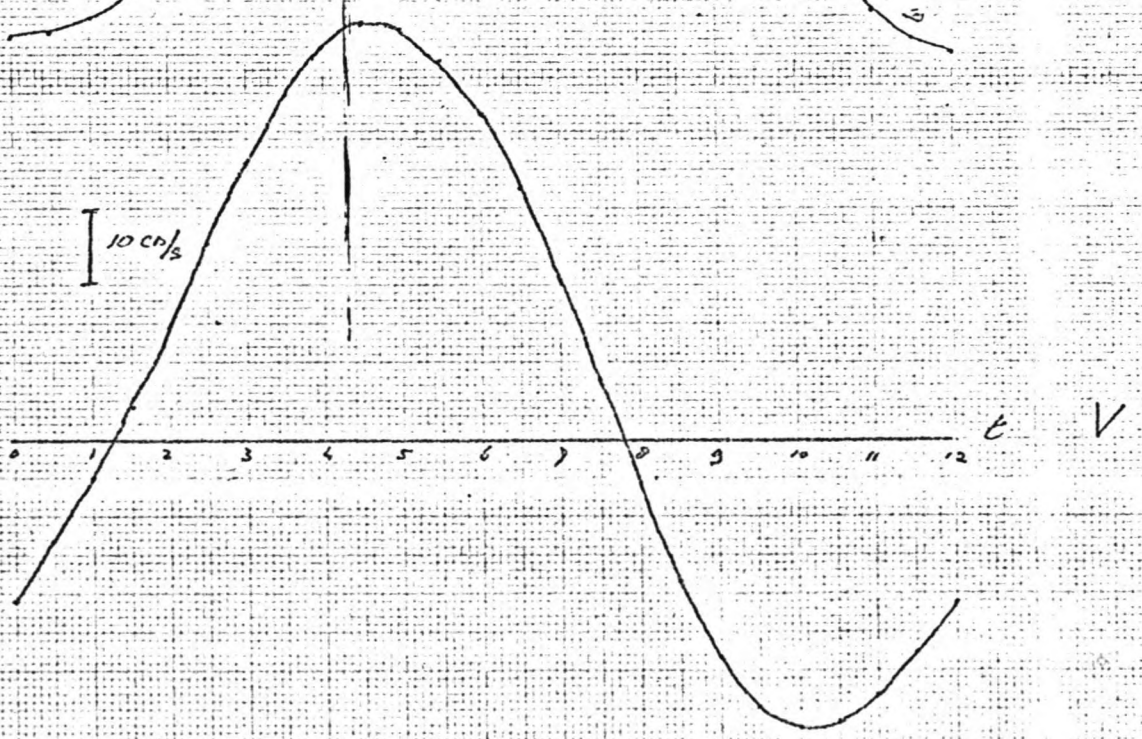
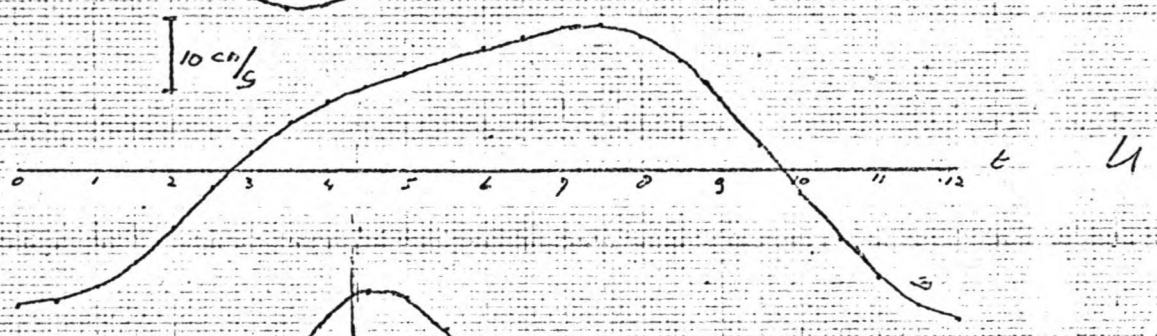
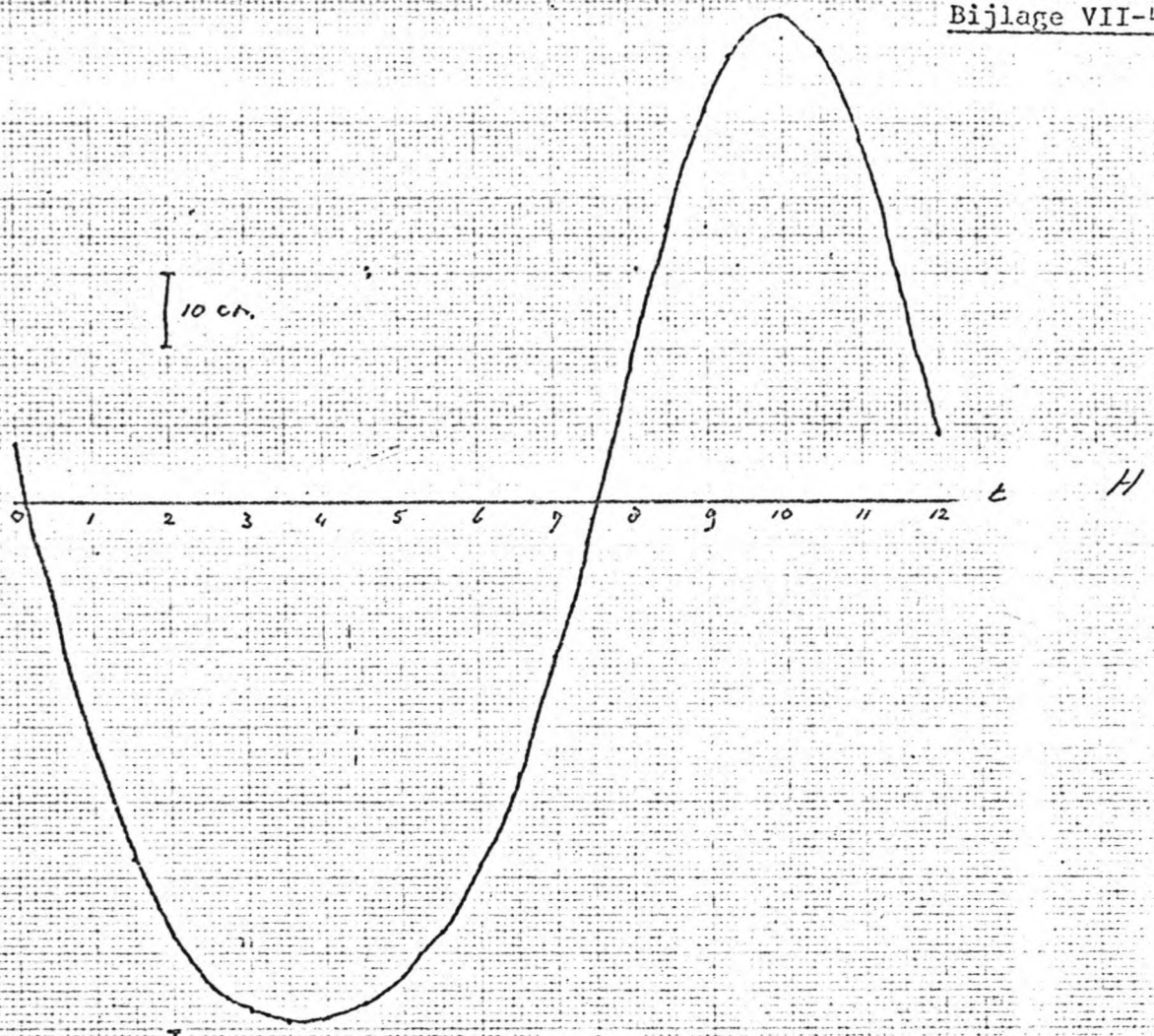
BIJLAGE A-VII.

VERGELIJKING VAN DE INVLOED VAN DE TERMEN VAN DE DIFFERENTIAAL-
VERGELIJKINGEN.

Punt (7,24) - rechte stroomlijnen.

Punt (15,22) - gekromde stroomlijnen.

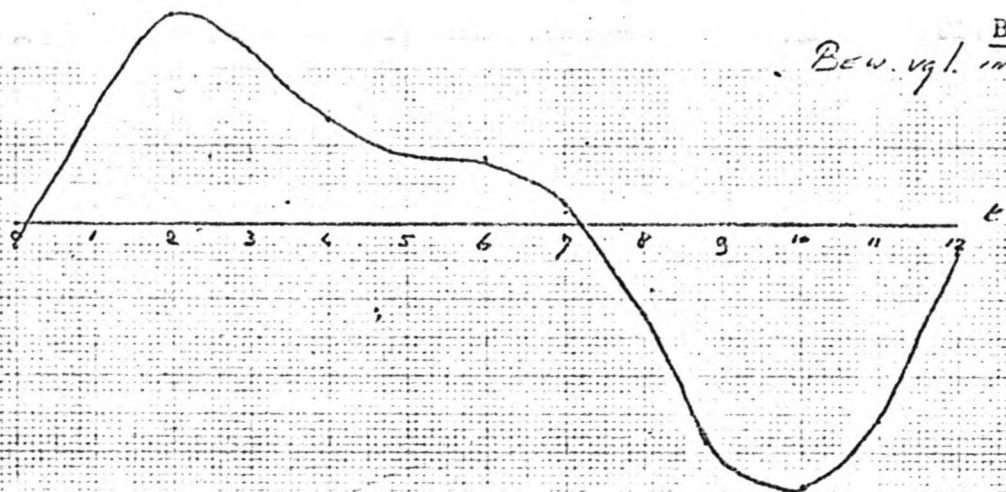
Bron: [2]



7,24

Bew. vgl. in x-richting

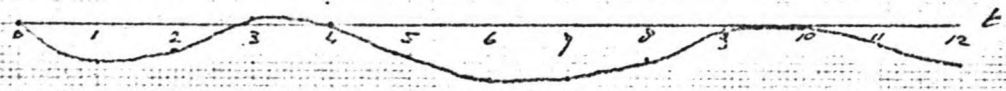
①



$\frac{dU}{dt}$

②

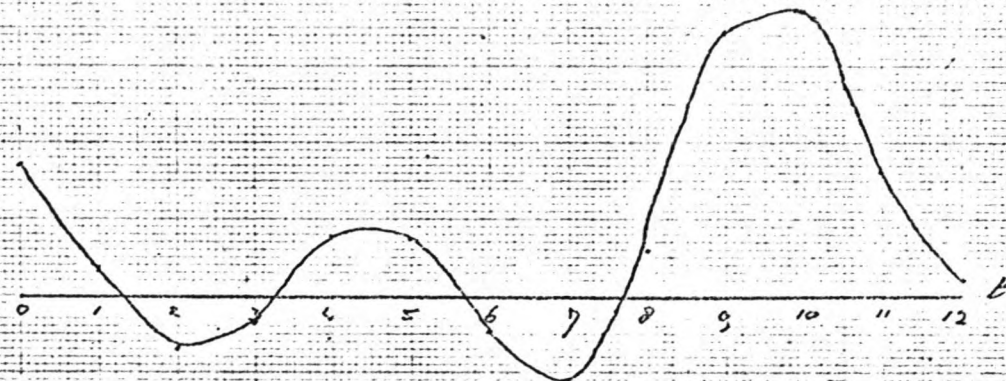
x 10



$U \cdot \frac{dU}{dx}$

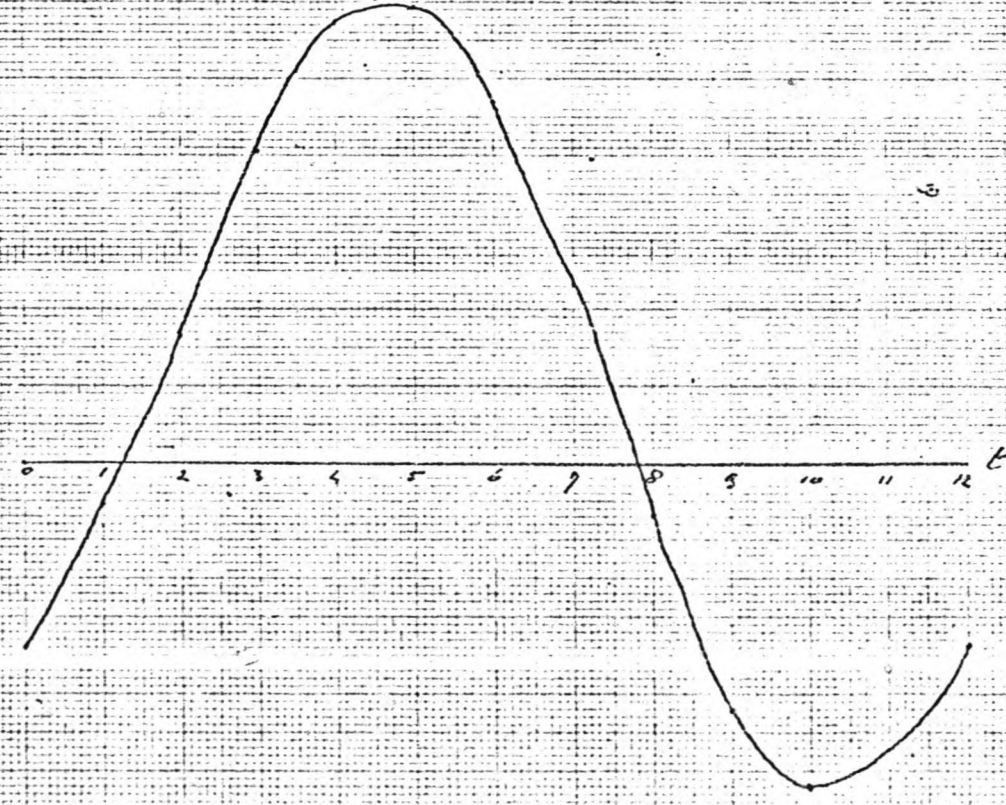
③

x 10



$V \cdot \frac{dU}{dt}$

④



$\Omega \cdot V$

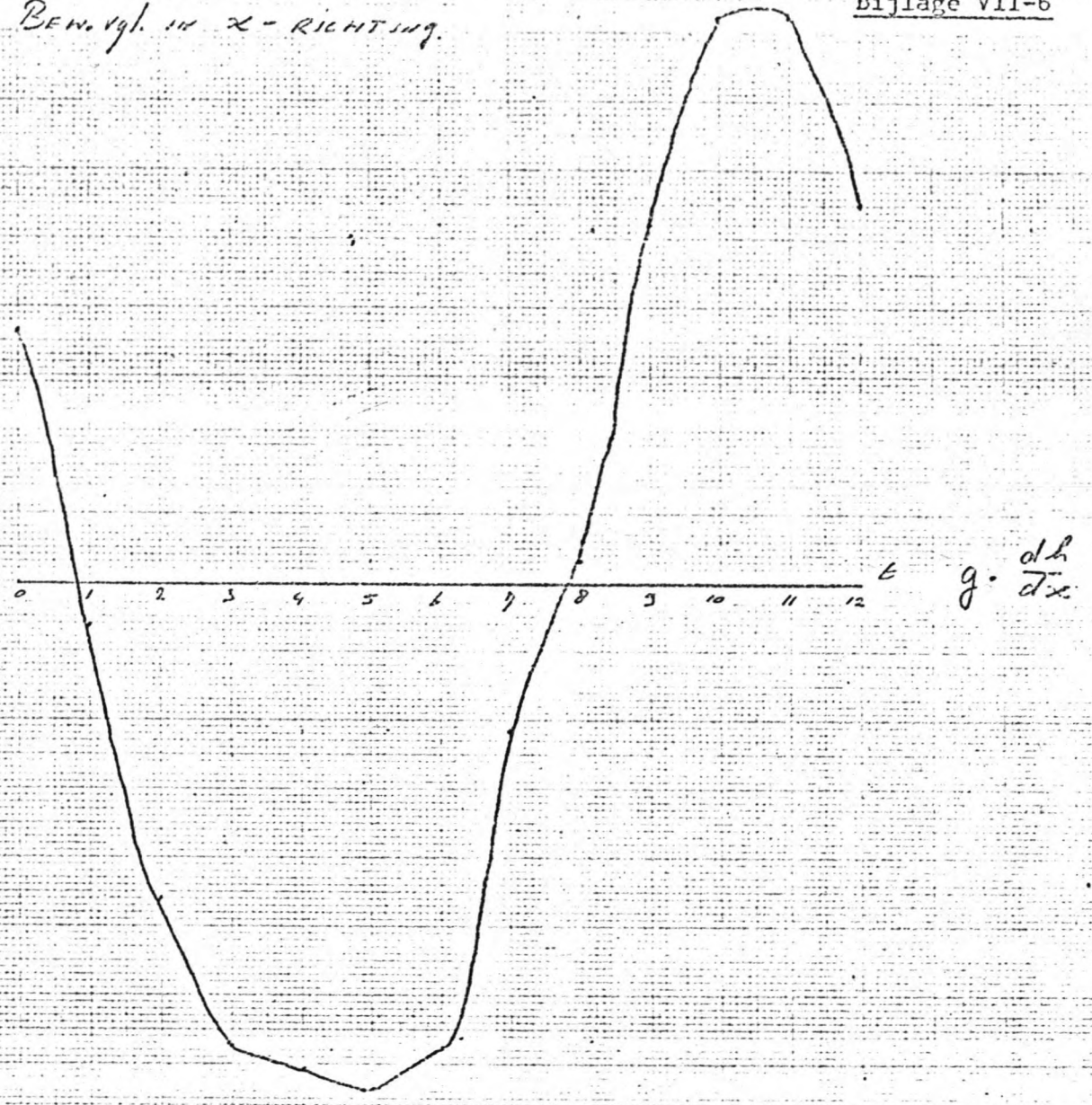
$\lceil = 10^{-5} \text{ 1/2}$

Tijd in ure.

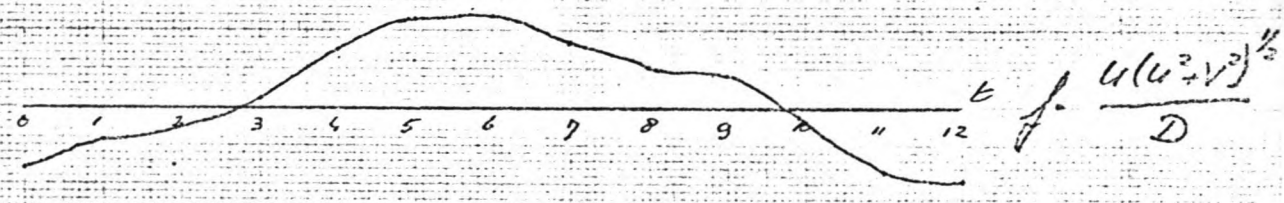
(7,24)

Bew. vgl. in x-richting.

5



6



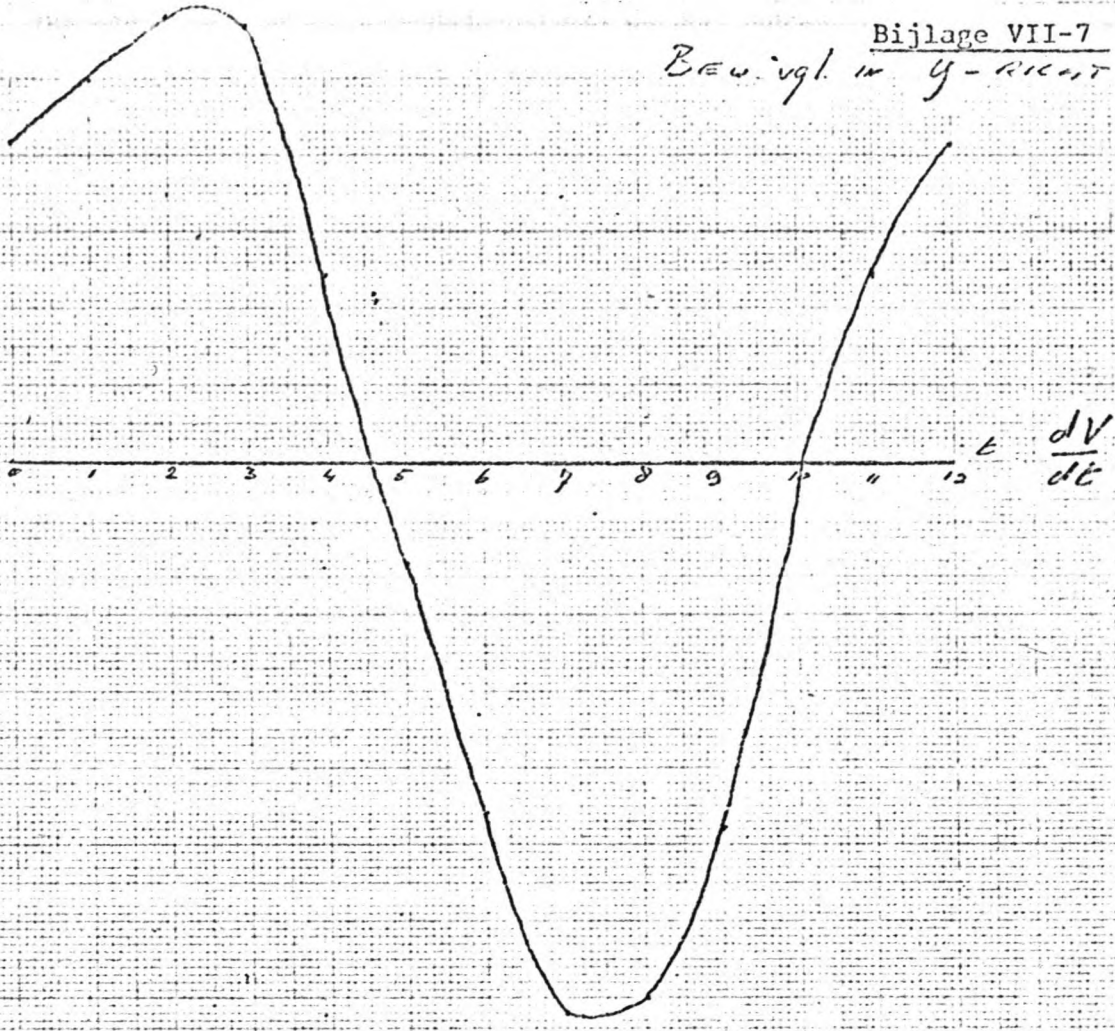
$$| = 10^{-5} \text{ m}^2$$

Tijd in uren

(7.24)

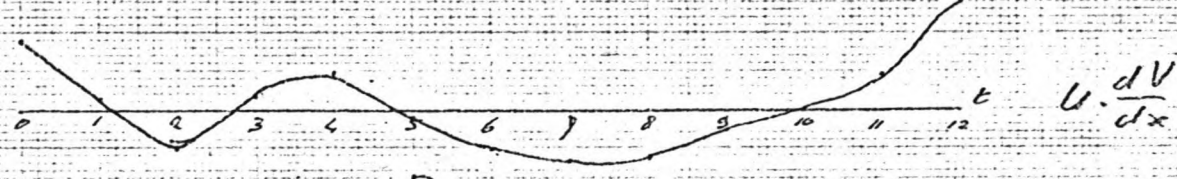
Bijlage VII-7
Bew. vgl. in y-richting

①



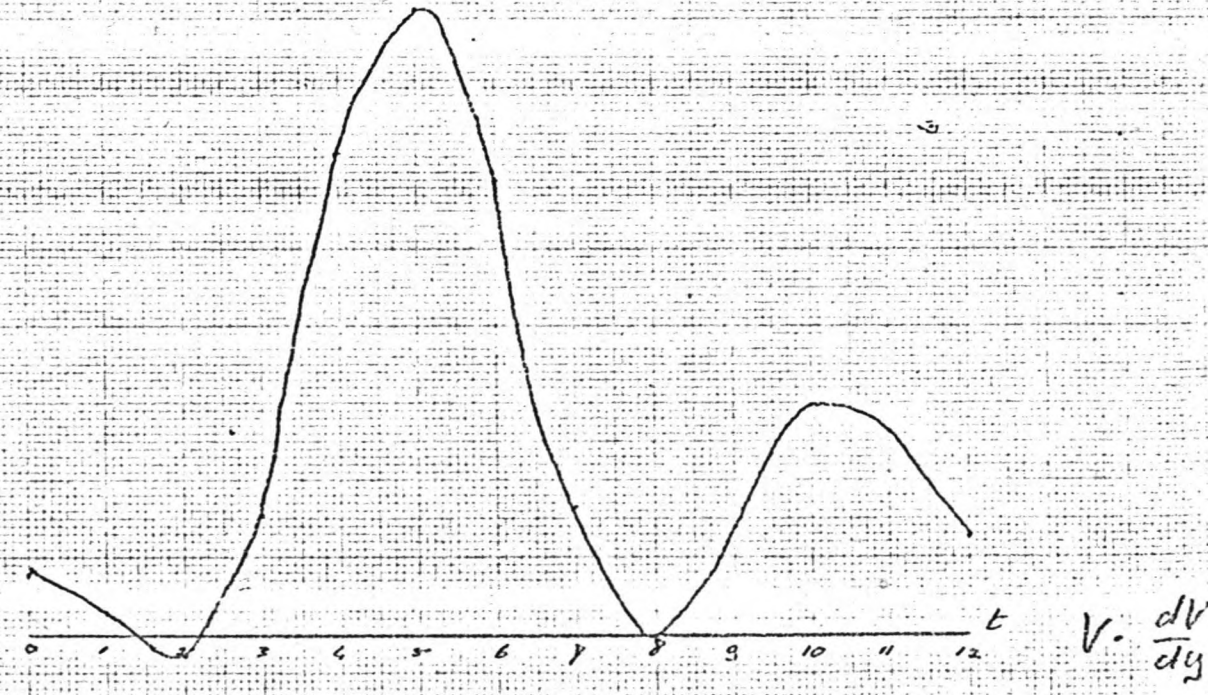
②

x 10



③

x 10



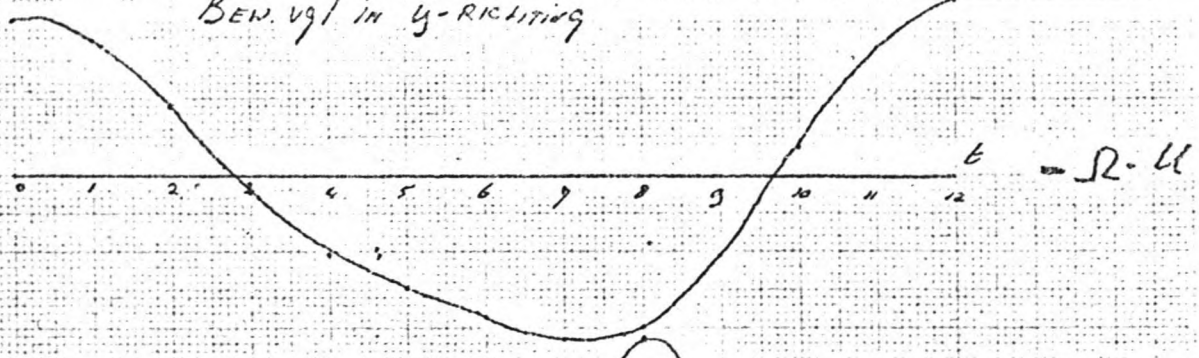
[= 10⁻⁵ 1/2

Tijd in uren

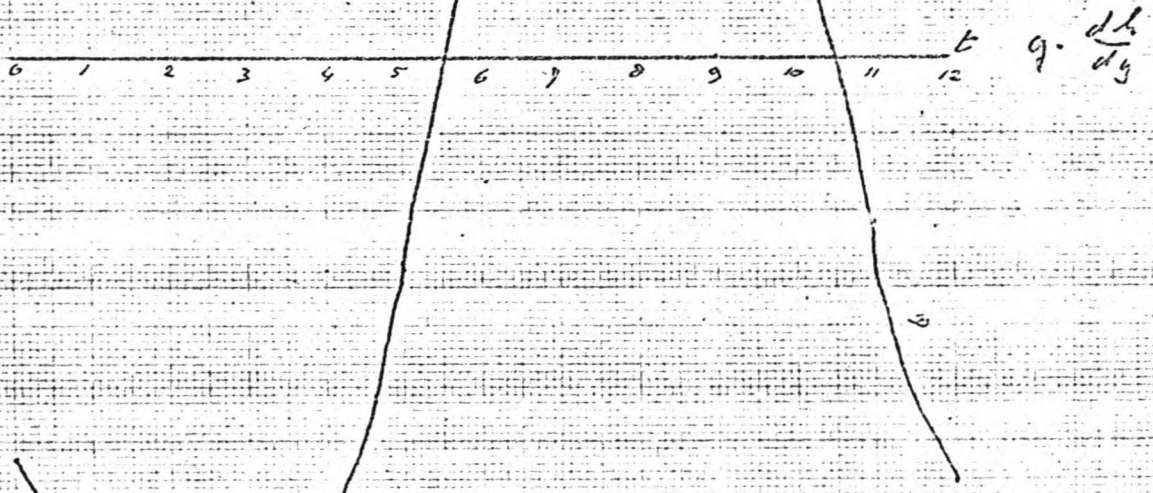
(7.24)

Bew. vgl in y-richting

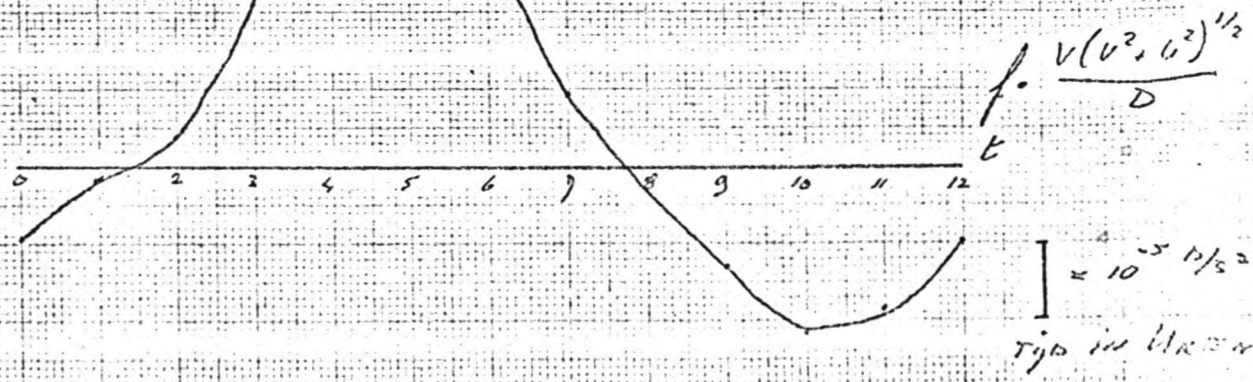
④



⑤



⑥

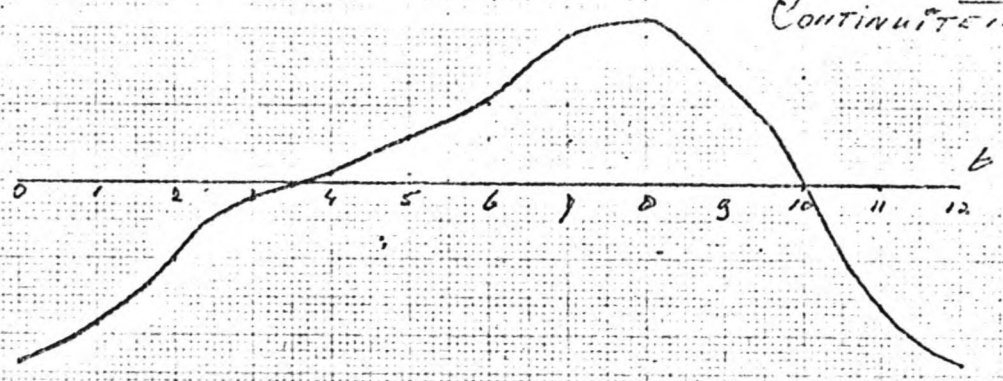


$$f = \frac{v(v^2 + u^2)^{1/2}}{D}$$

10⁻⁵ 1/2
Tijd in Uren

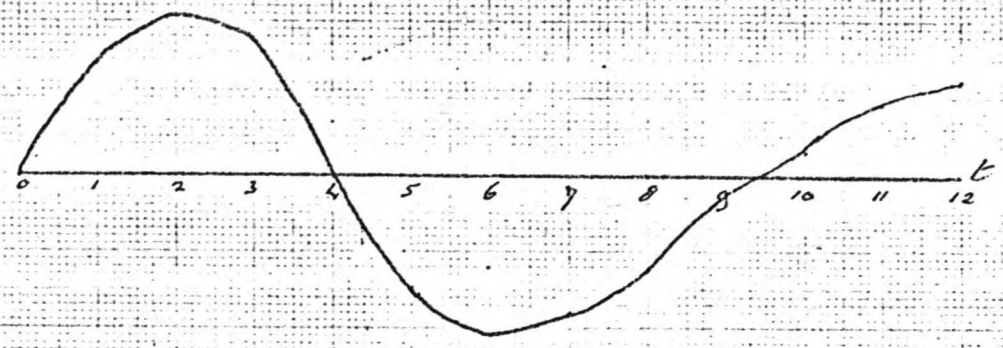
(7.24)

①



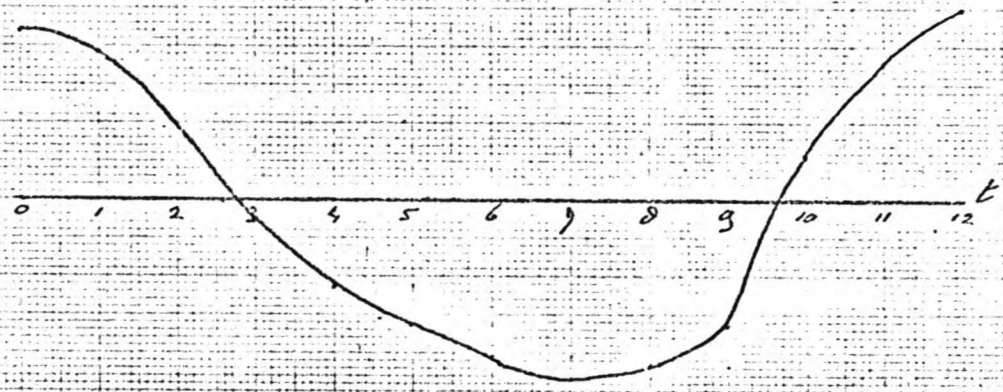
$$\frac{dh}{dt}$$

②



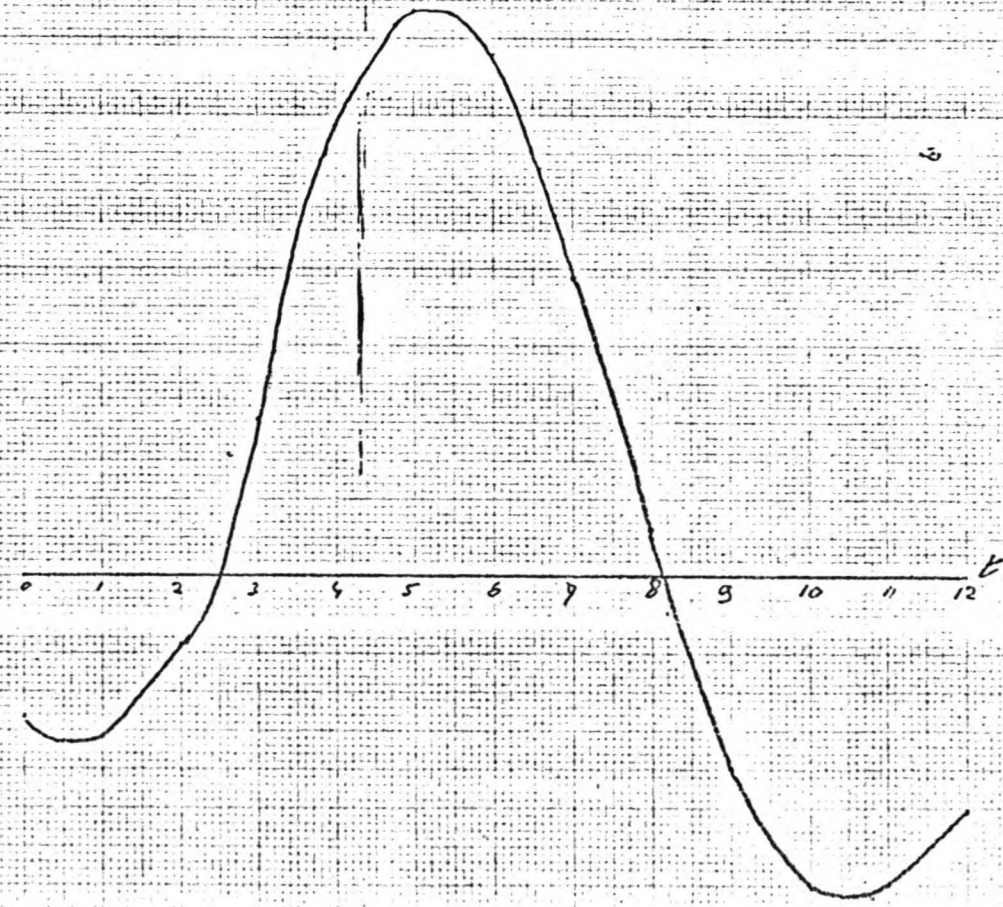
$$D \cdot \frac{dh}{dx}$$

③



$$u \cdot \frac{dD}{dx}$$

④



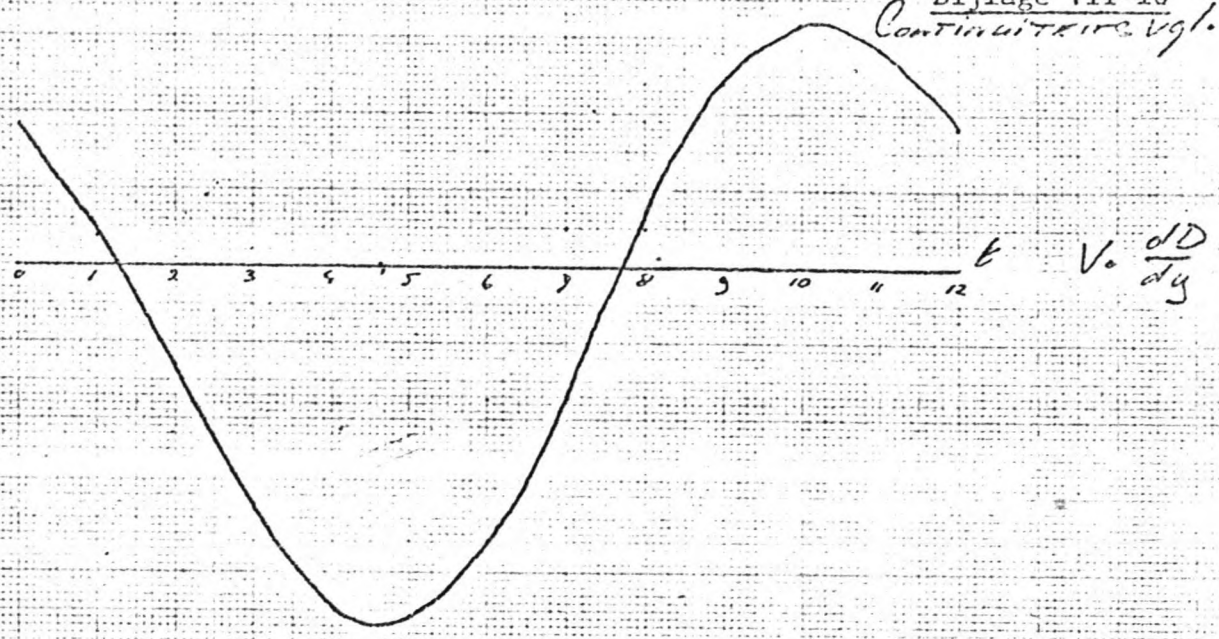
$$D \cdot \frac{dV}{dy}$$

$I = 5 \cdot 10^{-5} \text{ m}^2$
TijD IN LIKEN

(7,24)

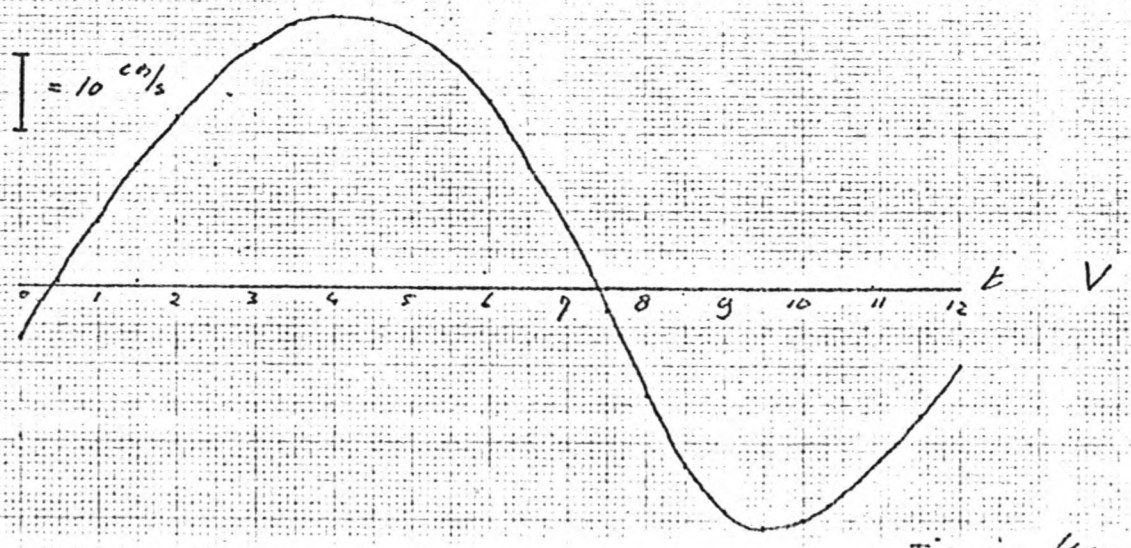
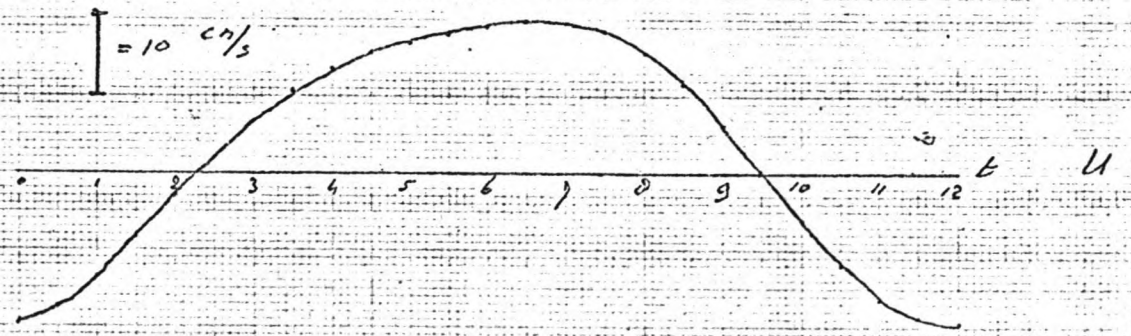
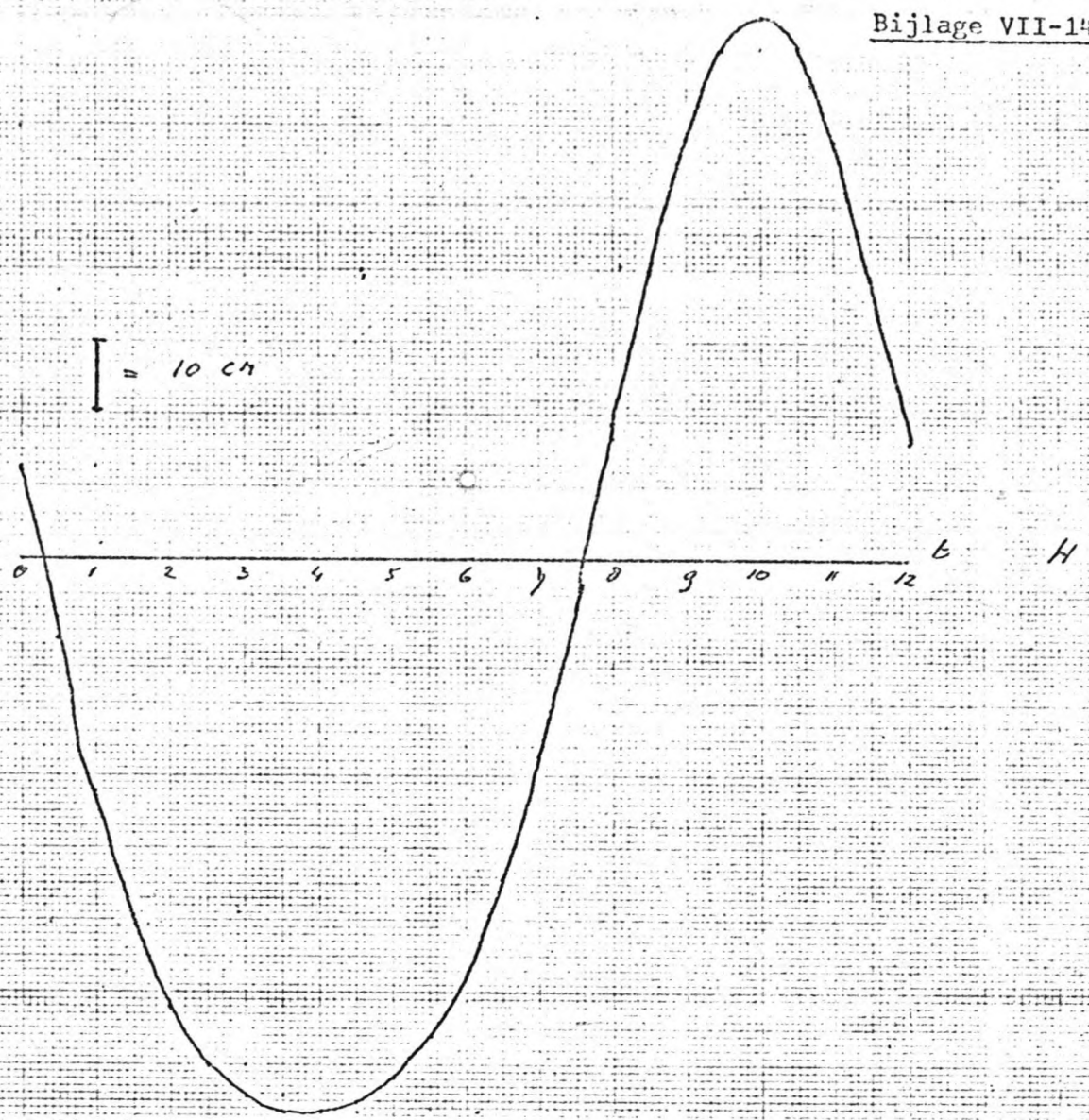
Bijlage VII-10
Continuïteitsvgl.

5



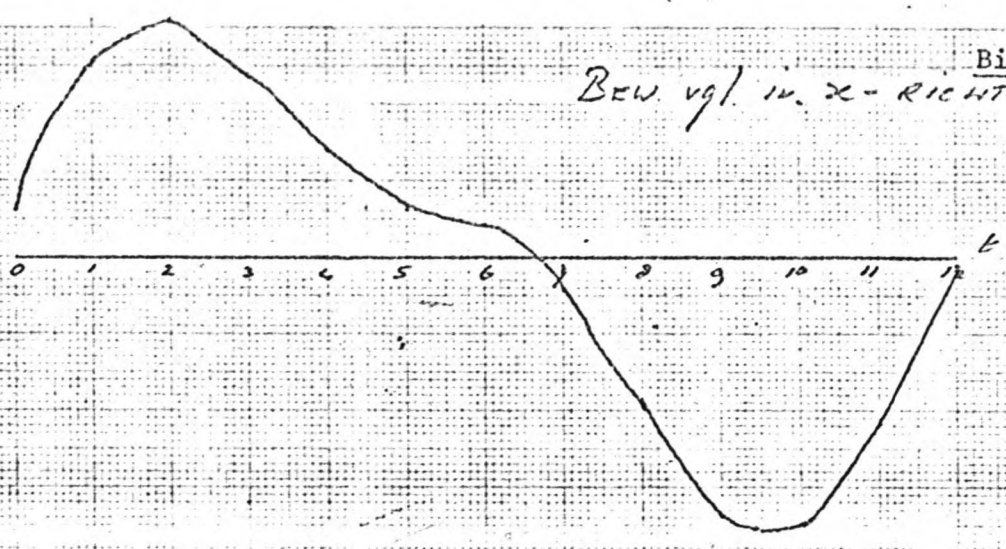
6

$\left[= 5 \cdot 10^{-5} \text{ m/s} \right]$
Tjd in hren.



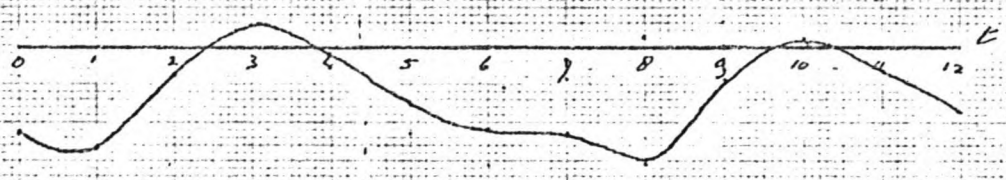
Bew. vgl. in x-richting

①



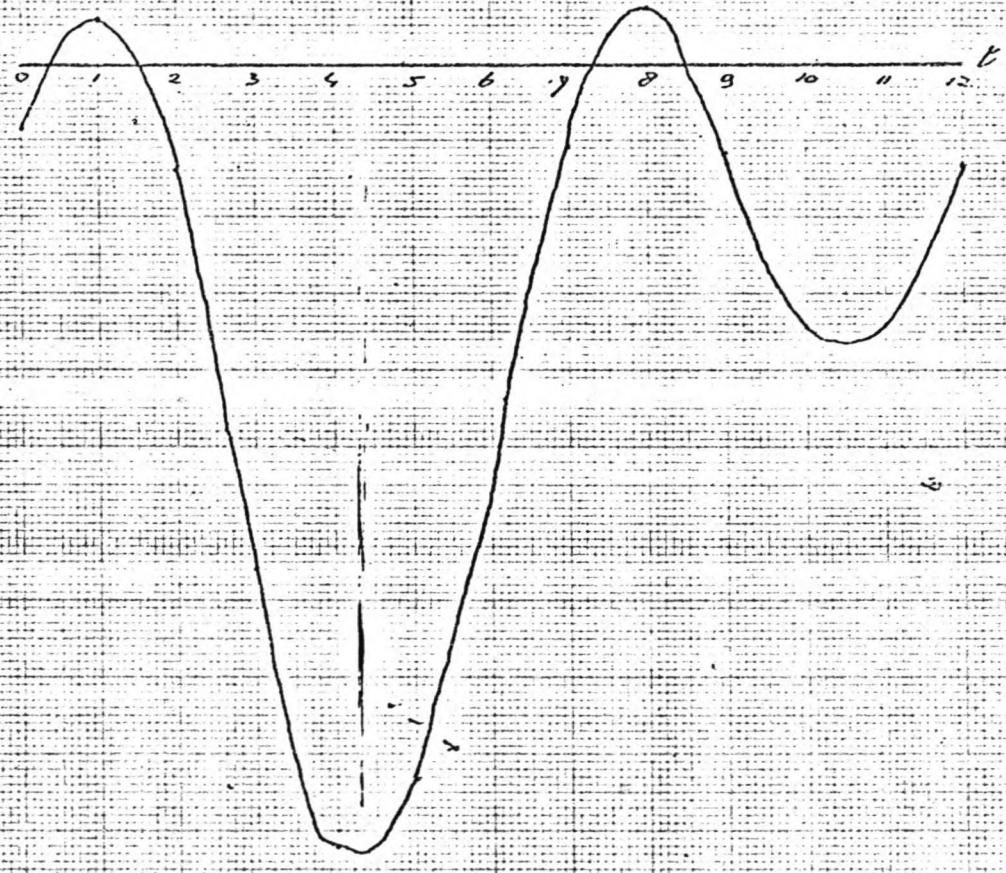
$\frac{du}{dt}$

② x 10



$u \cdot \frac{du}{dx}$

③ x 10

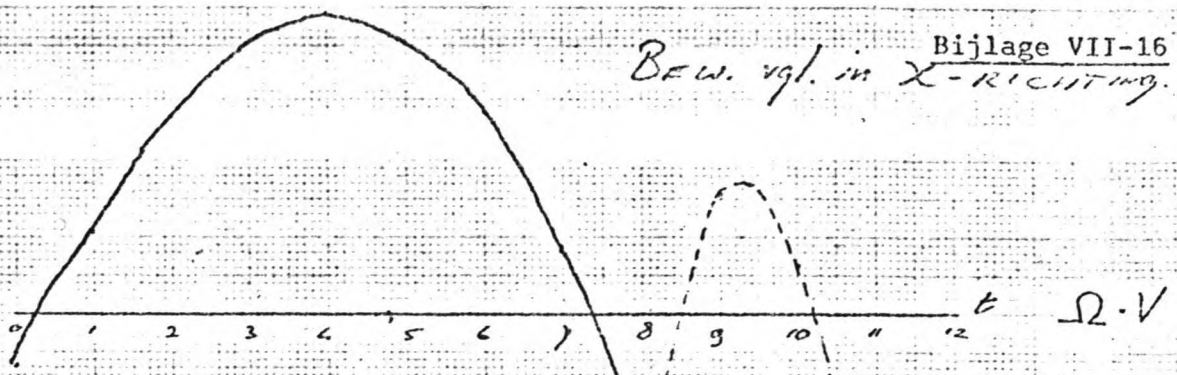


$v \cdot \frac{dv}{dy}$

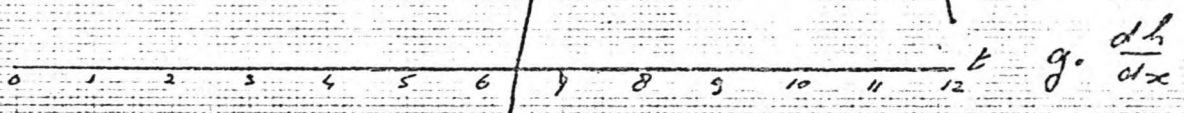
$\tau = 10^{-5} \frac{m}{s}$
Tijd in uren

Bijlage VII-16
Bew. vgl. in X-RICHTING.

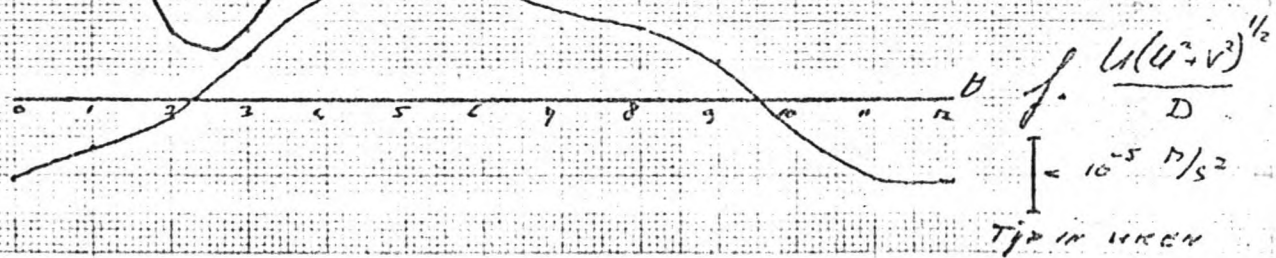
4



5



6



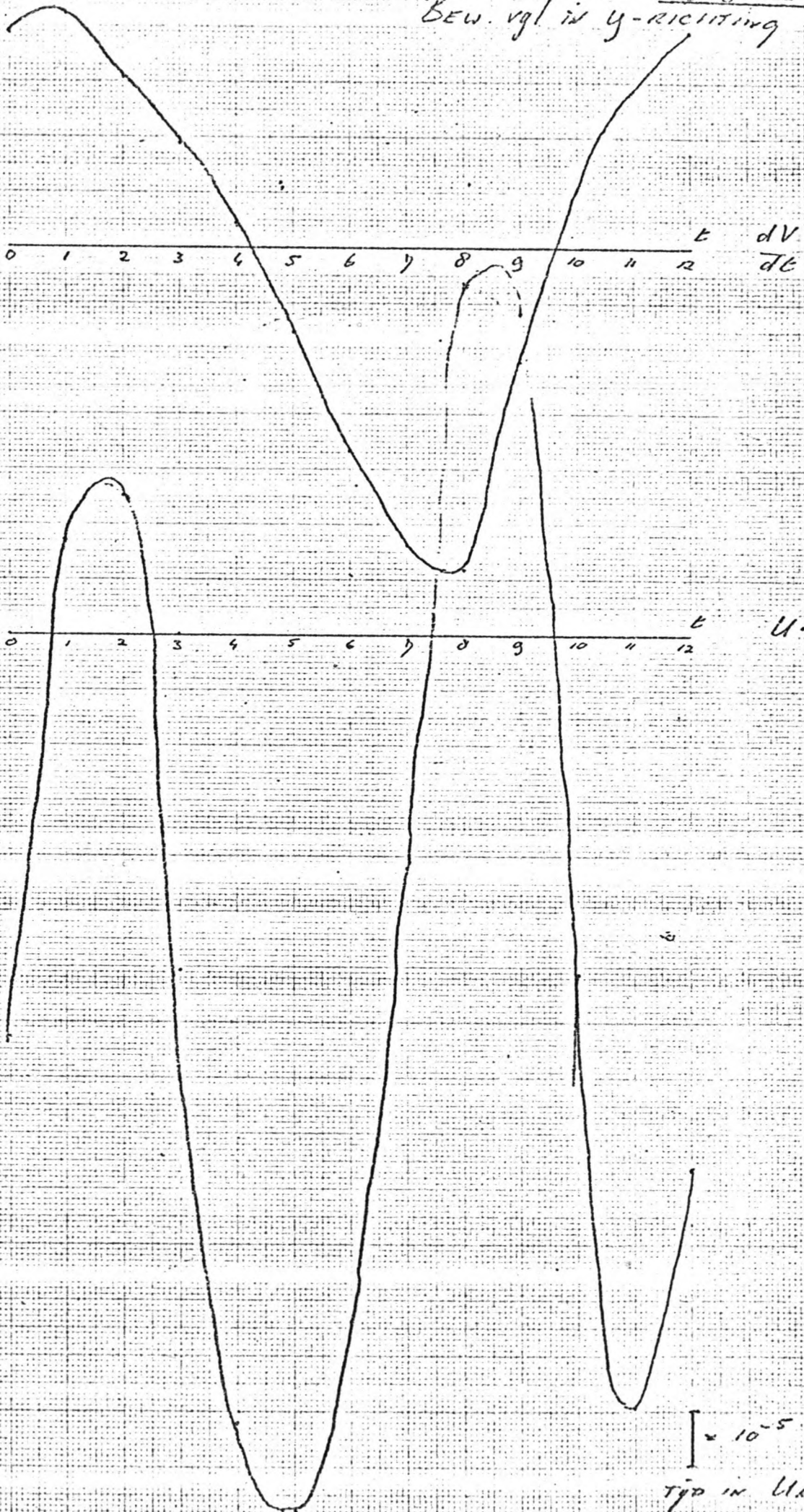
(15, 22)

Bijlage VII-17

Bew. vgl in y-richting

①

0 1 2 3 4 5 6 7 8 9 10 11 12 $\frac{dV}{dt}$



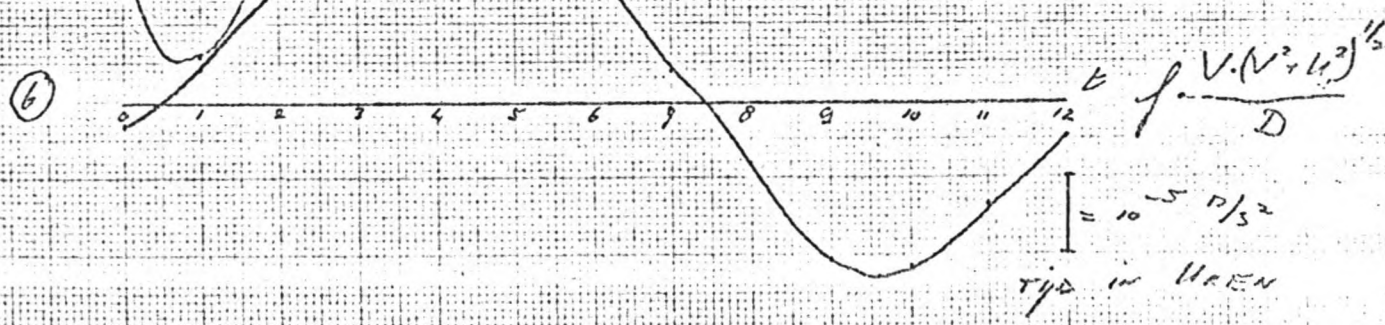
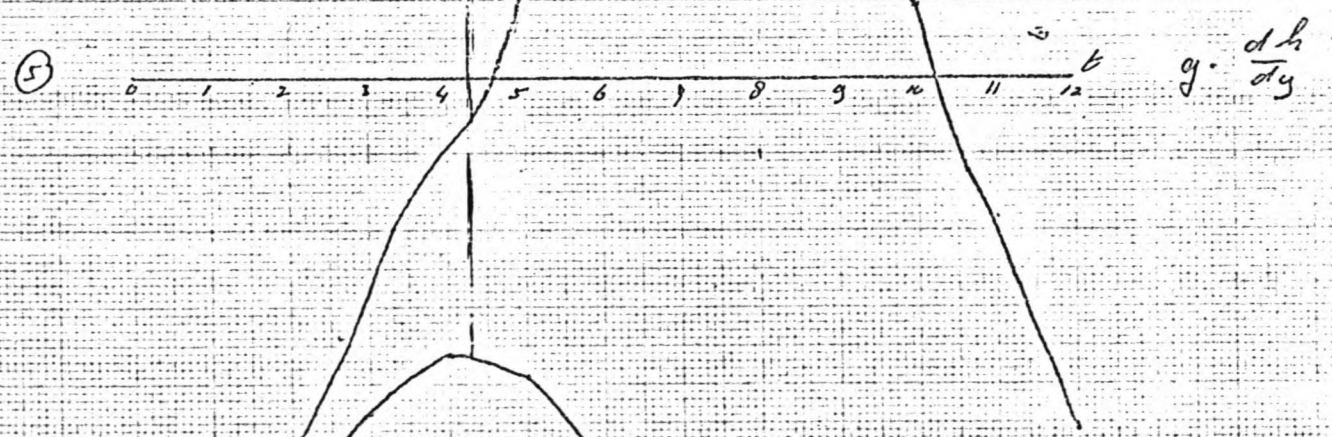
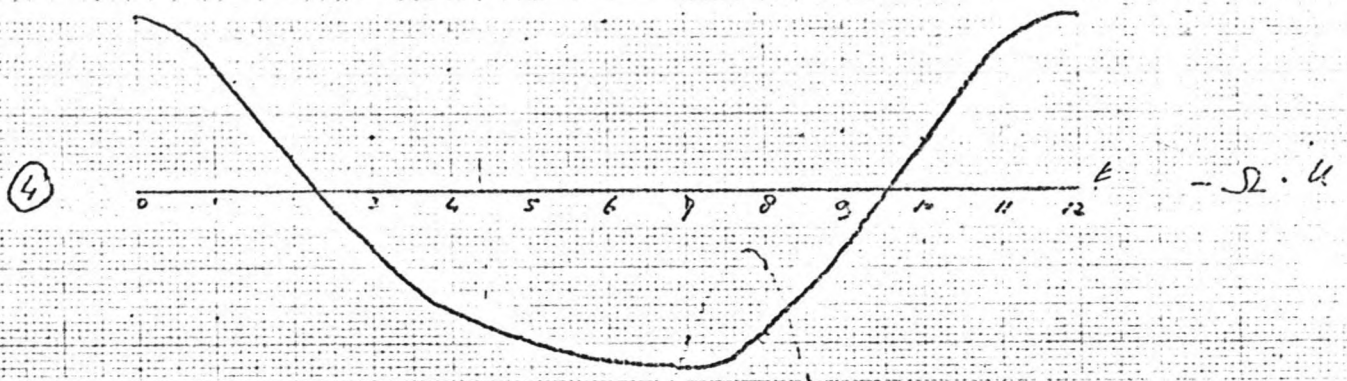
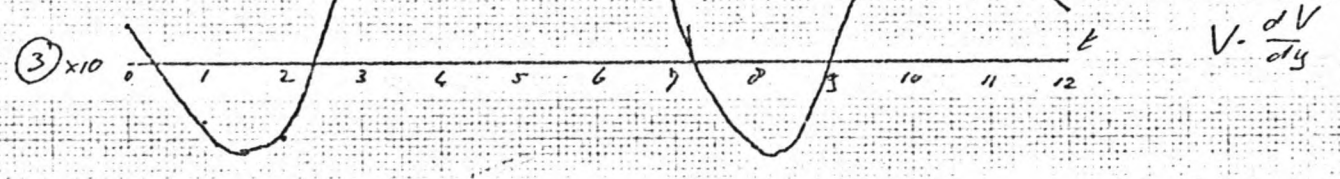
! ② x 10

0 1 2 3 4 5 6 7 8 9 10 11 12 $U \cdot \frac{dV}{dx}$

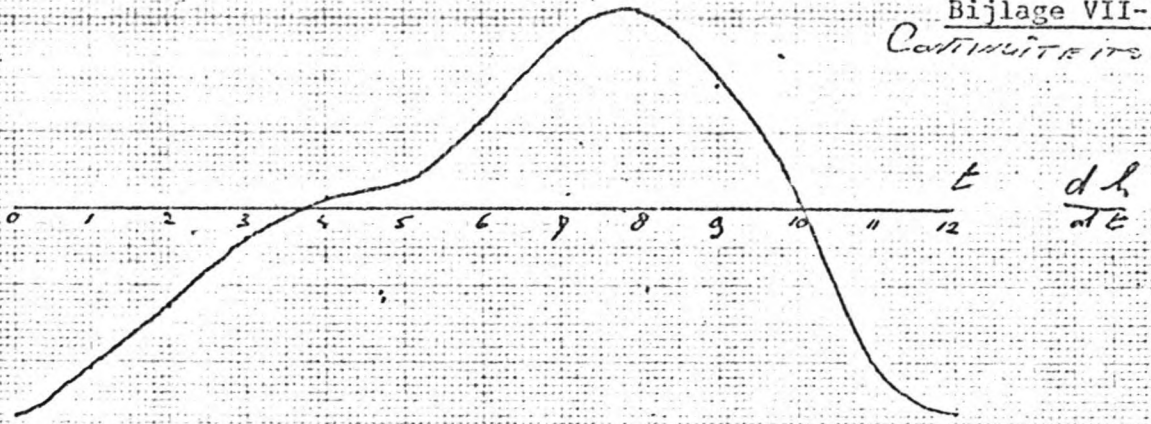
$\times 10^{-5} 17/52$
Tijd in UREN

(15,22)

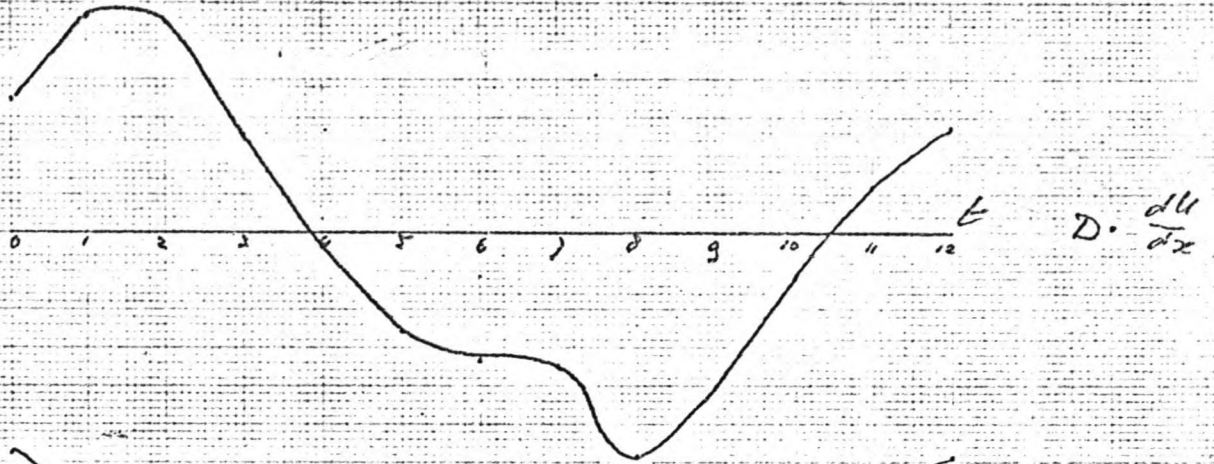
Bew. vgl. in y -Richtung Bijlage VII-18



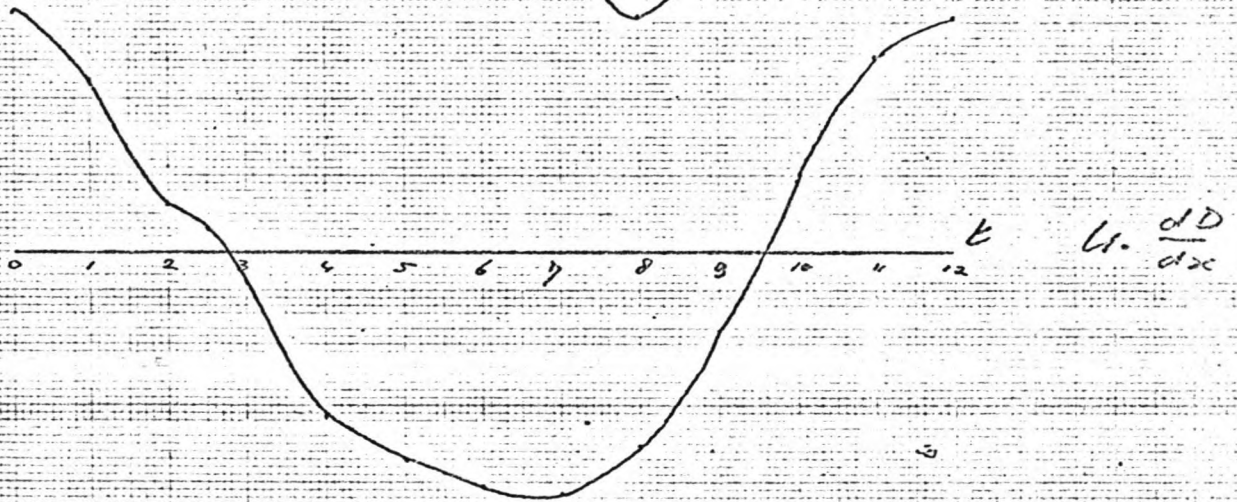
①



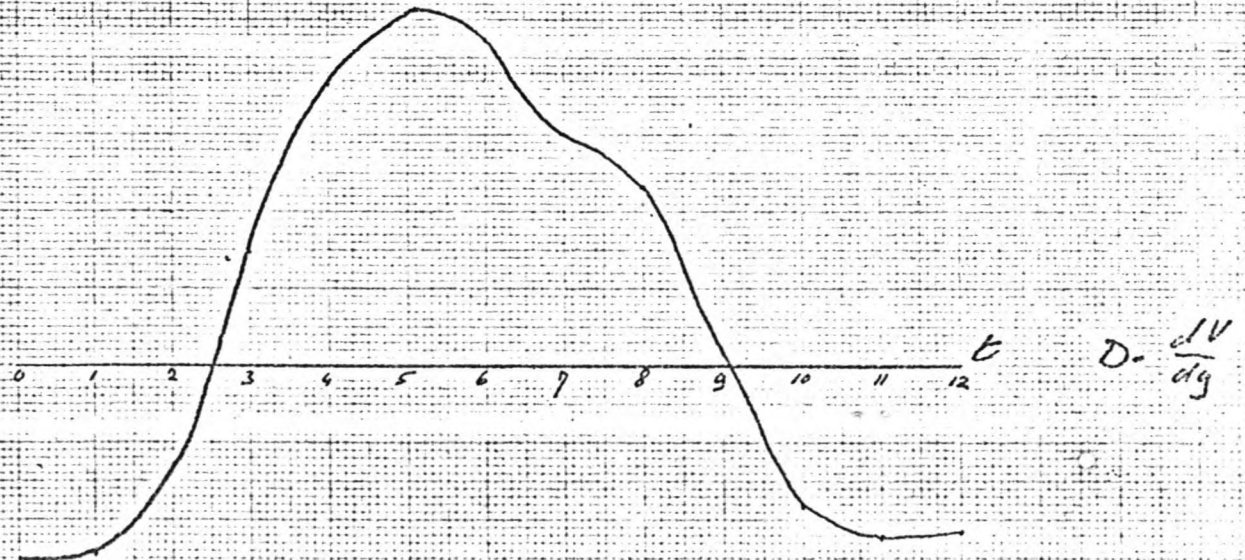
②



③



④



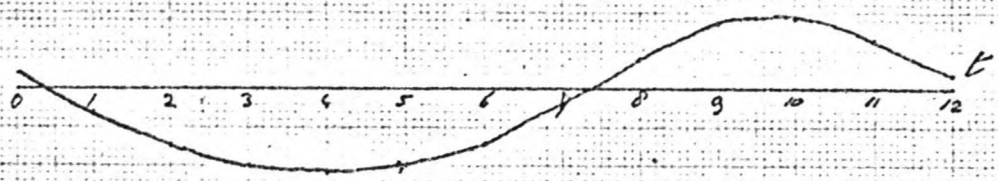
$\left| = 5 \cdot 10^{-5} \text{ r/s} \right.$
Tijd in uren

(15,22)

Bijlage VII-20

CONTINUITÉIT EN VERGELIJKING

5



$V = \frac{dD}{dt}$

$5 \cdot 10^{-5} \text{ m}^2/\text{s}^2$
Tijd in UREN

Verzamel tabel voor het punt (15, 22)

Tijdstip	Bewegingsverwijzing in x-richting 1 ^o						Bewegingsverwijzing in y-richting 1 ^o						Continuïteitsverwijzing 2 ^o								
	①	②	③	④	⑤	⑥	⑦	⑧	⑨	⑩	⑪	⑫	⑬	⑭	⑮	⑯	⑰	⑱	⑲	⑳	
0	$\frac{dV}{dt} + 1,00$	$U \cdot \frac{dV}{dt} - 0,10$	$V \cdot \frac{dU}{dt} - 0,14$	$\Omega \cdot V - 1,09$	$g \cdot \frac{dV}{dt} - 1,50$	$\frac{V(dV/dt)}{D} - 1,73$	$\frac{dV}{dt} + 6,30$	$U \cdot \frac{dV}{dt} - 1,19$	$V \cdot \frac{dU}{dt} + 0,08$	$-\Omega \cdot U + 3,75$	$g \cdot \frac{dU}{dt} - 0,50$	$\frac{dU}{dt} \cdot \frac{V(dV/dt)}{D} - 0,50$	$\frac{dU}{dt} - 13,64$	$U \cdot \frac{dU}{dt} + 0,87$	$V \cdot \frac{dV}{dt} + 15,72$	$\frac{dU}{dt} - 10,52$	$U \cdot \frac{dV}{dt} + 11,20$	$V \cdot \frac{dU}{dt} - 13,03$	$-\Omega \cdot U - 6,58$	$g \cdot \frac{dU}{dt} - 1,51$	$\frac{dU}{dt} + 9,95$
1	$+ 5,11$	$- 0,22$	$+ 0,09$	$+ 1,73$	$- 1,50$	$- 1,03$	$+ 6,93$	$+ 0,28$	$- 0,12$	$+ 3,66$	$- 0,50$	$+ 0,67$	$- 19,52$	$+ 15,11$	$+ 11,20$	$- 10,52$	$+ 11,20$	$- 6,58$	$- 1,51$	$+ 9,95$	
2	$+ 5,12$	$- 0,06$	$- 0,23$	$+ 3,23$	$- 1,50$	$- 0,50$	$+ 5,03$	$+ 0,51$	$- 0,16$	$+ 3,60$	$- 0,00$	$+ 2,26$	$- 6,58$	$+ 12,02$	$+ 3,13$	$- 6,58$	$+ 12,02$	$- 3,60$	$- 3,60$	$+ 9,95$	
3	$+ 3,90$	$+ 0,05$	$- 1,01$	$+ 5,79$	$- 1,50$	$+ 0,88$	$+ 3,08$	$- 0,99$	$+ 0,25$	$- 1,19$	$- 0,50$	$+ 5,29$	$- 1,96$	$+ 6,10$	$- 3,03$	$- 1,96$	$+ 6,10$	$+ 3,03$	$- 1,96$	$+ 9,95$	
4	$+ 3,27$	$- 0,01$	$- 1,67$	$+ 6,39$	$- 1,50$	$+ 2,22$	$+ 0,12$	$- 2,32$	$+ 0,70$	$- 2,57$	$- 0,35$	$+ 5,52$	$+ 0,50$	$- 0,91$	$- 10,06$	$+ 0,50$	$- 10,06$	$+ 10,06$	$- 0,91$	$+ 9,95$	
5	$+ 1,04$	$- 0,12$	$- 1,52$	$+ 5,95$	$- 0,20$	$+ 3,72$	$- 3,39$	$- 2,58$	$+ 0,01$	$- 3,22$	$+ 2,00$	$+ 5,01$	$+ 1,03$	$- 6,11$	$- 11,57$	$+ 1,03$	$- 11,57$	$+ 2,190$	$- 5,02$	$+ 9,95$	
6	$+ 0,72$	$- 0,08$	$- 0,90$	$+ 5,29$	$- 2,00$	$+ 2,53$	$- 5,28$	$- 3,02$	$+ 0,54$	$- 3,63$	$+ 2,00$	$+ 2,98$	$+ 0,70$	$- 0,32$	$- 15,23$	$+ 0,70$	$- 15,23$	$+ 2,220$	$- 3,19$	$+ 9,95$	
7	$- 0,69$	$- 0,18$	$- 0,18$	$+ 5,23$	$+ 1,50$	$+ 1,23$	$- 0,74$	$- 0,69$	$+ 0,12$	$- 3,37$	$+ 11,50$	$+ 0,6348$	$+ 1,00$	$- 0,19$	$- 15,69$	$+ 1,00$	$- 15,69$	$+ 15,00$	$- 1,06$	$+ 9,95$	
8	$- 3,17$	$- 0,25$	$+ 0,12$	$- 3,73$	$+ 1,50$	$+ 1,10$	$- 0,17$	$+ 1,04$	$- 0,18$	$- 3,06$	$+ 13,00$	$- 1,32$	$+ 13,16$	$- 1,57$	$- 13,63$	$+ 13,16$	$- 13,63$	$+ 11,66$	$+ 3,16$	$+ 9,95$	
9	$- 5,28$	$- 0,07$	$- 0,19$	$- 5,27$	$+ 2,00$	$+ 0,18$	$- 3,35$	$+ 0,95$	$- 0,03$	$- 1,23$	$+ 1,50$	$- 3,10$	$+ 0,77$	$- 3,07$	$- 5,07$	$+ 0,77$	$- 5,07$	$+ 0,99$	$+ 3,06$	$+ 9,95$	
10	$- 5,66$	$+ 0,02$	$- 0,56$	$- 5,50$	$+ 0,50$	$- 0,72$	$+ 1,68$	$- 1,00$	$+ 0,27$	$+ 1,13$	$+ 1,50$	$- 3,52$	$+ 0,66$	$- 3,02$	$+ 4,65$	$+ 0,66$	$- 3,02$	$+ 4,65$	$- 3,06$	$+ 9,95$	
11	$- 3,53$	$- 0,05$	$- 0,56$	$- 5,03$	$+ 0,00$	$- 1,70$	$+ 1,67$	$- 2,27$	$+ 0,26$	$+ 3,09$	$- 3,00$	$- 3,21$	$- 10,66$	$+ 2,09$	$+ 13,82$	$- 10,66$	$+ 2,09$	$- 13,82$	$+ 3,11$	$+ 9,95$	
12	$- 0,18$	$- 0,14$	$- 0,22$	$- 1,77$	$+ 1,00$	$- 1,67$	$+ 6,39$	$- 1,57$	$+ 0,11$	$+ 3,69$	$- 7,50$	$- 0,80$	$- 13,17$	$+ 6,00$	$+ 15,36$	$- 13,17$	$+ 6,00$	$- 15,36$	$+ 15,22$	$+ 9,95$	

1^o Door vermenigvuldiging $\frac{1}{g}$ waarden uit de parabel met $\frac{1600}{g} \cdot 10^3$ zijn alle waarden opgegeven in 10^3 verml over 1600 meter.

2^o Alle waarden in 10^{-5} 1/s.

3^o De eerste is de som van de termen ① t/m ⑫.

